

สำนักหอสมุดกลาง พระจอมเกล้าลาดกระบัง

เครื่องตัดโลหะแบบพลาสมา
PLASMA CUTTING MACHINE



โดย

นาย สุขสันต์ โอวาทสารพร
นาย สุระนนท์ กนกบรรพต
นาย สุรียนต์ จันลวด
นาย โสภณ สายเจริญ

เลขหมู่.....
เลขทะเบียน.....
วัน,เดือน,ปี.....

b. 11442014
i.....

ปริญญานิพนธ์นี้เป็นส่วนหนึ่งของการศึกษาตามหลักสูตรปริญญาวิศวกรรมศาสตรบัณฑิต
สาขาวิชาวิศวกรรมไฟฟ้า
สถาบันเทคโนโลยีพระจอมเกล้าเจ้าคุณทหารลาดกระบัง
ปีการศึกษา 2549

เอกสารนี้เป็นเอกสารที่สงวนไว้สำหรับการใช้งานเพื่อการศึกษาเท่านั้น ไม่อนุญาตให้นำไปใช้ประโยชน์ด้านการค้า
ไม่ว่ากรณีใดๆ ทั้งสิ้น อีกทั้งห้ามมิให้ตัดแปลงเนื้อหา และต้องอ้างอิงถึงเจ้าของเอกสารทุกครั้งที่มีการนำไปใช้

เครื่องตัดโลหะแบบพลาสมา
PLASMA CUTTING MACHINE



อาจารย์ที่ปรึกษา

ผศ.ดร. อนุวัฒน์ จางวนิชเลิศ

เอกสารนี้เป็นเอกสารที่สงวนไว้สำหรับการใช้งานเพื่อการศึกษาเท่านั้น ไม่อนุญาตให้นำไปใช้ประโยชน์ด้านการค้า
ไม่ว่ากรณีใดๆ ทั้งสิ้น อีกทั้งห้ามมิให้ดัดแปลงเนื้อหา และต้องอ้างอิงถึงเจ้าของเอกสารทุกครั้งที่มีการนำไปใช้

ปริญญานิพนธ์ปีการศึกษา 2549

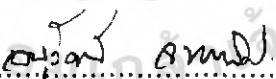
ภาควิชาวิศวกรรมไฟฟ้า

คณะวิศวกรรมศาสตร์ สถาบันเทคโนโลยีพระจอมเกล้าเจ้าคุณทหารลาดกระบัง

เรื่อง เครื่องตัดโลหะแบบพลาสมา

ผู้จัดทำ

1. นาย สุขสันต์ โอวาทพารพร
2. นาย สุระนนท์ กนกบรรพต
3. นาย สุริยันต์ จันลอด
4. นาย โสภณ สายเจริญ


..... อาจารย์ที่ปรึกษา
(ผู้ช่วยศาสตราจารย์ ดร. อนุวัฒน์ จางวนิชเลิศ)

เอกสารนี้เป็นเอกสารที่สงวนไว้สำหรับการใช้งานเพื่อการศึกษาเท่านั้น ไม่อนุญาตให้นำไปใช้ประโยชน์ด้านการค้า
ไม่ว่ากรณีใดๆ ทั้งสิ้น อีกทั้งห้ามมิให้ตัดแปลงเนื้อหา และต้องอ้างอิงถึงเจ้าของเอกสารทุกครั้งที่มีการนำไปใช้

เครื่องตัดโลหะแบบพลาสมา

นาย สุขสันต์ โอวาทพารพร

นาย สุระนนท์ กนกบรรพต

นาย สุริยันต์ จันลวด

นาย โสภณ สายเจริญ

ผศ.ดร. อนุวัฒน์ จางวนิชเลิศ อาจารย์ที่ปรึกษา

ปีการศึกษา 2549

บทคัดย่อ

ปฏิญานิพนธ์ฉบับนี้จัดทำขึ้นเพื่อเป็นการศึกษา ทดลอง วิจัย และสร้างเครื่องตัดโลหะแบบพลาสมาขึ้นโดยนำความรู้ทางด้านการสวิตชิงความถี่สูงซึ่งเป็นเทคนิคที่สำคัญในการทำอิเล็กทรอนิกส์กำลังมาใช้ให้เกิดประโยชน์ เครื่องตัดโลหะแบบพลาสมาประกอบไปด้วย 2 ส่วนหลัก คือ แหล่งจ่ายกำลังไฟฟ้าแบบไฟฟ้ากระแสตรงและแหล่งกำเนิดไฟฟ้าแรงดันสูงความถี่สูง แหล่งจ่ายกำลังไฟฟ้าแบบไฟฟ้ากระแสตรงถูกพัฒนาขึ้นจากวงจรฟลูบริดจ์ ดีซี-ดีซี คอนเวอร์เตอร์แบบสวิตชิงขณะแรงดันไฟฟ้าเป็นศูนย์ด้วยเทคนิควงจรเลื่อนเฟส และแหล่งกำเนิดไฟฟ้าแรงดันสูงความถี่สูงก็ถูกพัฒนาขึ้นจากวงจรพุก-พูลคอนเวอร์เตอร์ ส่วนประกอบภายในของเครื่องตัดโลหะแบบพลาสมานั้นประกอบไปด้วย วงจรเรียงกระแสความถี่ต่ำ วงจรอินเวอร์เตอร์แบบฟลูบริดจ์ หม้อแปลงความถี่สูง วงจรเรียงกระแสความถี่สูง หม้อแปลงเชื่อมโยง วงจรพุก-พูลคอนเวอร์เตอร์ หม้อแปลงฟลายแบค และชุดวงจรควบคุม หลักการทำงานของแหล่งจ่ายกำลังไฟฟ้ากระแสตรงนั้นเริ่มจากแปลงแรงดันไฟฟ้ากระแสสลับ 220 โวลต์ เป็นแรงดันไฟฟ้ากระแสตรงด้วยวงจรกรองกระแสได้แรงดัน 310 โวลต์ ต่อจากนั้นจะถูกเปลี่ยนเป็นไฟฟ้ากระแสสลับแบบพัลส์สี่เหลี่ยมด้วยวงจรอินเวอร์เตอร์แบบฟลูบริดจ์แล้วผ่านเข้าสู่หม้อแปลงความถี่สูงแปลงแรงดันลงและเข้าสู่วงจรกรองกระแสความถี่สูงเพื่อให้ได้แรงดันไฟฟ้ากระแสตรงที่ประมาณ 200-100 โวลต์ 10-20 แอมป์ สำหรับเป็นอาร์คหลักในการตัดโลหะ ส่วนหลักการทำงานของแหล่งกำเนิดไฟฟ้าแรงดันสูงความถี่สูงนั้นจะเริ่มจากการจ่ายแรงดันไฟฟ้ากระแสตรงประมาณ 50 โวลต์ เข้าสู่วงจรพุก-พูลคอนเวอร์เตอร์แล้วแปลงแรงดันขึ้นเป็นแรงดันไฟฟ้ากระแสสลับแบบพัลส์สี่เหลี่ยมความถี่สูงโดยใช้หม้อแปลงฟลายแบคเพื่อทำให้เกิดไฟฟ้าแรงดันสูงความถี่สูงที่ประมาณ 2-6 กิโลโวลต์ เพื่อใช้เป็นอาร์คขณะเริ่มตัด สำหรับปฏิญานิพนธ์นี้จะพัฒนาเครื่องตัดโลหะแบบพลาสมาเพื่อใช้เป็นต้นแบบ โดยมีจุดประสงค์เพื่อลดราคาค่าต้นทุน ขนาดและน้ำหนัก และเพิ่มประสิทธิภาพทางไฟฟ้าให้สูงขึ้น เพื่อพัฒนาไปสู่การผลิตเป็นการพาณิชย์ต่อไป

เอกสารนี้เป็นเอกสารที่สงวนไว้สำหรับการใช้งานเพื่อการศึกษาเท่านั้น ไม่อนุญาตให้นำไปใช้ประโยชน์ด้านการค้า ไม่ว่ากรณีใดๆ ทั้งสิ้น อีกทั้งห้ามมิให้คัดแปลงเนื้อหา และต้องอ้างอิงถึงเจ้าของเอกสารทุกครั้งที่มีการนำไปใช้

PLASMA CUTTING MACHINE

Suksan Owatlanporn

Suranon Kanokbanpot

Suriyan Chanlot

Sopon Sayjarean

Asst. Prof. Dr. Anuwat Jangwanitlert Advisor

2006

ABSTRACT

The project focuses on a study, practice, research and development of a plasma cutting machine. This principle of this project is based on a high frequency switching power supply. The high frequency switching power supply is very important technology in power electronics that is useful for this project. The plasma cutting machine consists of two essential parts that are the dc switching power supply and the high-voltage high-frequency switching power supply. The dc switching power supply is developed from the zero-voltage-switching phase-shift full-bridge dc-dc converter, and the high-voltage high-frequency switching power supply is developed from a push-pull converter. This inside machine comprises the full-bridge low frequency rectifier, the full-bridge inverter, the high frequency transformer, the full-bridge high frequency rectifier, a coupling transformer, a push-pull converter circuit, a flyback transformer and a control circuit. The dc switching power supply is from an ac input 1 phase 220V converting to the 310V dc voltage. Then, the dc 310V converts to a high frequency voltage and steps down by transformer and then the high frequency voltage converts to the dc voltage approximately 200-100V, 10-20A that is main arc. The principle of high-voltage high-frequency switching power supply is the 50V dc voltage converting to the ac pulse voltage and stepping up to high voltage by flyback transformer at 2-6kV, which is starting arc. The objective of this project is to decrease cost, size, and weight. In addition, it also increases electrical power efficiency and development to the business.

กิตติกรรมประกาศ

ปริญญาพินิจฉบับนี้ประสบความสำเร็จได้ด้วยดีตามวัตถุประสงค์ ความสำเร็จในครั้งนี้ไม่ได้มาจากความตั้งใจ ความรู้ ความสามารถและความสามัคคีของสมาชิกในกลุ่มเพียงอย่างเดียว แต่ได้มาจากความร่วมมือและความช่วยเหลือจากหลายๆ ฝ่ายด้วยกัน จึงต้องขอกล่าวถึงเพื่อเป็นการขอบคุณเป็นอย่างสูงและให้เกียรติระลึกถึง

ผศ.ดร. อนุวัฒน์ จางวนิชเลิศ อาจารย์ที่ปรึกษา ผู้จุดประกายความคิดในการริเริ่มการทำโครงการเครื่องตัดโลหะแบบพลาสมาและยังคอยให้คำแนะนำ เอาใจใส่ ติดตามผลการดำเนินงาน และชี้แนะแก้ไขในส่วนที่บกพร่อง ตลอดเวลา 1 ปีเต็มในการทำวิจัยครั้งนี้

อ. จิระศักดิ์ ส่งบุญแก้ว อาจารย์ที่ปรึกษาอีกท่านหนึ่งที่คอยให้คำปรึกษาและความช่วยเหลือ รวมถึงการให้อุปกรณ์ในการทำโครงการในครั้งนี้ ถึงแม้ว่าท่านจะไม่ได้เป็นอาจารย์สอนในสถาบันแห่งนี้แต่ท่านก็ยังแวะเข้ามาอยู่บ่อยๆ เพื่อคอยดูแลและติดตามโครงการนี้ด้วยดีเสมอมา

บิดา มารดา ของสมาชิกในกลุ่มที่ทำโครงการนี้ เพราะท่านเป็นผู้ที่สมาชิกทุกคนในกลุ่มรักและเคารพยิ่ง ท่านเป็นผู้มอบความรัก ความเอาใจใส่ และโอกาสทางการศึกษาจนได้มาถึงในขณะนี้ ไม่ว่าจะอุปสรรคจะยากหนักหนาสักเพียงใด กำลังใจจากท่านจะคอยเป็นแรงผลักดันให้เราทุกคนลุกขึ้นและก้าวเดินใหม่อีกครั้ง อีกทั้งทุกๆ คนในครอบครัวที่คอยให้กำลังใจด้วยดีตลอดมา ข้าพเจ้าขอกราบขอบพระคุณ บิดา มารดา ในพระคุณอันหาที่เปรียบมิได้

คุณณรงค์ฤทธิ์ เสนาจิตร มหาวิทยาลัยเทคโนโลยีมหานคร ที่ได้คอยให้ความช่วยเหลือและให้คำปรึกษาในการทำเครื่องตัดโลหะแบบพลาสมาโดยเฉพาะ อีกทั้งยังสละเวลามาเยี่ยมเยียนและติดตามดูการดำเนินงาน และชี้แนะข้อผิดพลาดหรือวิธีการที่ดีมาใช้

คุณธรรมจักร กงวิรัตน์ นักศึกษาระดับปริญญาโท ที่คอยให้คำปรึกษาและชี้แนะในการทำแหล่งจ่ายกำลังไฟฟ้า อีกทั้งยังให้เทคนิคและข้อมูลดีๆ ในการทำโครงการครั้งนี้

พี่ป.โท ห้อง ECC406, เจ้าหน้าที่ห้องธุรการ, คุณป้าแม่บ้านประจำชั้น 3-4 ตึก ECC, เพื่อนๆ ห้อง 4B และห้อง 9 (K) ทุกคนที่คอยเป็นกำลังใจและให้ความช่วยเหลือในทุกๆ ด้าน

สุดท้ายนี้ขอขอบคุณสถาบันและท่านอาจารย์อันเป็นที่เคารพรักทุกท่านที่ได้อบรมสั่งสอนและมอบความรู้อันเป็นประโยชน์แก่ข้าพเจ้าทั้งหลายตั้งแต่เยาว์วัยจนถึงปัจจุบัน ข้าพเจ้าขอกราบขอบพระคุณมา ณ ที่นี้

นาย สุภสันต์ โอวาทพารพร

นาย สุระนนท์ กนกบรรพต

นาย สุริยันต์ จันลวด

นาย ไสภณ สายเจริญ

เอกสารนี้เป็นเอกสารที่สงวนไว้สำหรับการใช้งานเพื่อการศึกษาเท่านั้น ไม่อนุญาตให้นำไปใช้ประโยชน์ด้านการค้าไม่ว่ากรณีใดๆ ทั้งสิ้น อีกทั้งห้ามมิให้คัดแปลงเนื้อหา และต้องอ้างอิงถึงเจ้าของเอกสารทุกครั้งที่มีการนำไปใช้

สารบัญ

	หน้า
บทคัดย่อ	I
ABSTRACT.....	II
สารบัญรูป.....	III
สารบัญตาราง.....	VI
บทที่ 1 บทนำ.....	1
1.1 พลาสมา.....	1
1.2 ความสำคัญของปัญหา.....	3
1.3 วัตถุประสงค์ของการวิจัย.....	4
1.4 ขอบเขตและข้อกำหนดในการวิจัย.....	4
1.5 ขั้นตอนและวิธีการดำเนินงาน.....	4
1.6 ประโยชน์ที่ได้รับจากการวิจัย.....	5
บทที่ 2 พลาสมา.....	6
2.1 พลาสมา.....	6
2.2 การดิสชาร์จไฟฟ้าที่ความดันก๊าซต่ำ.....	6
2.3 เครื่องตัดโลหะแบบพลาสมา.....	8
2.4 เครื่องจ่ายกำลังไฟฟ้าของเครื่องตัดโลหะแบบพลาสมา.....	9
2.5 วัสดุที่ใช้เป็นขั้วไฟฟ้าในต้นกำเนิดอาร์คพลาสมา.....	10
บทที่ 3 ทฤษฎีที่เกี่ยวข้อง.....	12
3.1 แหล่งจ่ายกำลังไฟฟ้าสำหรับเครื่องตัดโลหะแบบพลาสมา.....	12
3.2 วงจรเรียงกระแสและกรองกระแส.....	12
3.2.1 ไดโอดเรียงกระแส.....	13
3.2.2 ตัวเก็บประจุกรองกระแส.....	14
3.3 วงจรแปลงผันไฟฟ้ากระแสตรงเป็นกระแสตรง.....	15
3.3.1 ฟลายแบคคอนเวอร์เตอร์.....	16
3.3.2 พอร์เวิร์ดคอนเวอร์เตอร์.....	17
3.3.3 พุช-พูลคอนเวอร์เตอร์.....	18
3.3.4 ฮาล์ฟบริดจ์คอนเวอร์เตอร์.....	19
3.3.5 ฟูลบริดจ์คอนเวอร์เตอร์.....	20
3.4 การเลือกแหล่งจ่ายกำลังไฟฟ้าแบบสวิตชิงสำหรับเครื่องตัดโลหะแบบพลาสมา.....	20
3.5 คอนเวอร์เตอร์ฟูลบริดจ์แบบสวิตชิงขณะแรงดันไฟฟ้าเป็นศูนย์.....	22
3.5.1 โครงสร้างของวงจรหลัก.....	23
3.5.2 โครงสร้างของวงจรเลื่อนเฟส.....	24

เอกสารนี้เป็นเอกสารที่สงวนไว้สำหรับการใช้งานเพื่อการศึกษาเท่านั้น ไม่อนุญาตให้นำไปใช้ประโยชน์ด้านการค้า
ไม่ว่ากรณีใดๆ ทั้งสิ้น อีกทั้งห้ามมิให้ดัดแปลงเนื้อหา และต้องอ้างอิงถึงเจ้าของเอกสารทุกครั้งที่มีการนำไปใช้

สารบัญ (ต่อ)

	หน้า
3.5.3 สภาวะการสวิตช์ที่แรงดันศูนย์.....	25
3.5.4 การวิเคราะห์เชิงสมการแต่ละสภาวะการทำงาน.....	28
3.5.5 หลักการออกแบบ.....	31
3.6 หม้อแปลงสวิตช์ซึ่งความถี่สูง.....	31
3.6.1 ส่วนประกอบของหม้อแปลงสวิตช์ซึ่ง.....	31
3.6.2 การเลือกใช้แกนเฟอร์ไรต์.....	31
3.6.3 การเลือกหลอดทองแดง.....	37
3.6.4 การออกแบบหม้อแปลงสวิตช์ซึ่งความถี่สูง.....	40
3.7 วงจรเรียงกระแสและวงจรกรองทางด้านออก.....	40
3.7.1 ไดโอด.....	41
3.7.2 ตัวเหนี่ยวนำ.....	43
3.7.3 ตัวเก็บประจุ.....	45
3.8 วงจรกำเนิดไฟฟ้าแรงดันสูงความถี่สูง.....	46
3.8.1 แหล่งกำเนิดไฟฟ้าแรงดันสูงความถี่สูงด้วยฟลายแบคคอนเวอร์เตอร์.....	46
3.8.2 แหล่งกำเนิดไฟฟ้าแรงดันสูงความถี่สูงด้วยวงจรพุก-พูลคอนเวอร์เตอร์.....	47
3.9 วงจรขับเพาเวอร์มอสเฟต.....	49
3.9.1 วงจรขับเพาเวอร์มอสเฟตด้วย TTL.....	49
3.9.2 วงจรขับเพาเวอร์มอสเฟตด้วยไอซี CMOS.....	50
3.9.3 วงจรขับเพาเวอร์มอสเฟตด้วยหม้อแปลง.....	50
3.10 ไมโครคอนโทรลเลอร์.....	51
3.10.1 การทำงานของไมโครคอนโทรลเลอร์.....	52
3.10.2 โครงสร้างและคุณสมบัติของไมโครคอนโทรลเลอร์ 16F628.....	52
3.10.3 โครงสร้างของไมโครคอนโทรลเลอร์ PIC16F628.....	55
3.10.4 คุณสมบัติทางเทคนิคของ PIC16F62X.....	57
3.11 หัวคอปลาสมา.....	58
3.12 เครื่องอัดอากาศ.....	59
บทที่ 4 การออกแบบแหล่งจ่ายกำลังไฟฟ้าแบบสวิตซ์.....	61
4.1 วงจรเรียงกระแสและกรองกระแส.....	61
4.1.1 การเลือกฟิวส์.....	61
4.1.2 การเลือกขนาดของไดโอดเรียงกระแสแบบฟลูบริดจ์.....	62
4.1.3 การคำนวณหาตัวเก็บประจุ.....	62
4.2 วงจรฟลูบริดจ์คอนเวอร์เตอร์.....	63

เอกสารนี้เป็นเอกสารที่สงวนไว้สำหรับการใช้งานเพื่อการศึกษาเท่านั้น ไม่อนุญาตให้นำไปใช้ประโยชน์ด้านการค้า
ไม่ว่ากรณีใดๆ ทั้งสิ้น อีกทั้งห้ามมิให้ดัดแปลงเนื้อหา และต้องอ้างอิงถึงเจ้าของเอกสารทุกครั้งที่มีการนำไปใช้

สารบัญ (ต่อ)

	หน้า
4.3 วงจรฟลูบรีตจึคองเวอร้เคอร้.....	63
4.4 หม้อแปลงสวิตช์ชิ่งความถี่สูง.....	64
4.5 วงจรเรียงกระแสและวงจรรองทางด้ำนออก.....	67
4.5.1 ไลโอด.....	67
4.5.2 ด้วเห็ยวนำ.....	67
4.5.3 ด้วเก็บประจุ.....	69
4.6 วงจรก้ำเน็ดไฟฟ้ำแรงด้นสูงความถี่สูง.....	70
4.7 วงจรควบคุม.....	71
4.8 วงจรขั้บเพาเวอร้มอสเฟ็ดหรือวงจรรแยกกราวด์.....	72
บทที่ 5 ผลการทดลอง.....	73
5.1 ผลทดสอบรูปสัณญ์ณ.....	75
5.2 ผลการทดลองก้ำล้งไฟฟ้ำและประสัทธิภำ.....	84
5.3 การทดสอบตัดขั้นงำนโลหะ.....	85
บทที่ 6 สรุปละเสนอแนวทงที่จะด้ำเน็การ.....	88
6.1 สรุปละว้จำรณ้ผลการทดลอง.....	88
6.2 แนวทงที่จะด้ำเน็การ.....	88
กัด้ดักรรรมประกาศ.....	89
บรรณำนุกรม.....	90
ภำคผนวก.....	91

เอกสารนี้เป็นเอกสารที่สงวนไว้สำหรับการใช้งานเพื่อการศึกษาเท่านั้น ไม่อนุญาตให้นำไปใช้ประโยชน์ด้านการค้า
ไม่ว่ากรณีใดๆ ทั้งสิ้น อีกทั้งห้ามมิให้ดัดแปลงเนื้อหา และต้องอ้างอิงถึงเจ้าของเอกสารทุกครั้งที่มีการนำไปใช้

สารบัญญรูป

รูปที่	หน้า
1.1 การเกิดอาร์คด้วยไฟฟ้าแรงดันสูงความถี่สูง.....	1
1.2 การเกิดอาร์คหลักตามแนวอาร์คไฟฟ้าแรงดันสูงความถี่สูง.....	2
1.3 การเกิดอาร์คหลักเต็มที่ใช้ในการตัดชิ้นงาน.....	2
2.1 ลักษณะการเกิดพลาสมาในหลอดสุญญากาศด้วยแรงดันไฟฟ้าสูง.....	6
2.2 ช่วงการเกิดพลาสมาตามแรงดันและกระแสไฟฟ้า.....	8
2.3 วงจรไฟฟ้าแรงดันสูงความถี่สูง.....	10
3.1 โครงสร้างทางไฟฟ้าของแหล่งจ่ายกำลังไฟฟ้าของเครื่องตัดโลหะแบบพลาสมา.....	12
3.2 วงจรเรียงกระแส.....	13
3.3 ฟลายแบคคอนเวอร์เตอร์.....	16
3.4 ฟอร์เวิร์ดคอนเวอร์เตอร์.....	17
3.5 พุช-พูลคอนเวอร์เตอร์.....	18
3.6 ฮาล์ฟบริดจ์คอนเวอร์เตอร์.....	19
3.7 ฟูลบริดจ์คอนเวอร์เตอร์.....	20
3.8 วงจรฟูลบริดจ์คอนเวอร์เตอร์โดยมีมอสเฟตกำลังเป็นตัวสวิตชิง.....	21
3.9 มอสเฟตกำลัง.....	22
3.10 วงจรหลักคอนเวอร์เตอร์พัลส์วิตช์มอดูเลตสวิตช์ที่แรงดันศูนย์แบบฟูลบริดจ์.....	23
3.11 สัญญาณการควบคุมการทำงานของมอสเฟต (ก) แบบพัลส์วิตช์มอดูเลตแบบธรรมชาติ (ข) แบบทำให้เกิดสภาวะสวิตช์ที่แรงดันศูนย์..	24
3.12 รูปสัญญาณการสวิตช์ที่แรงดันศูนย์.....	27
3.13 แสดงตัวอย่างขนาดของแกนเฟอร์ไรต์แบบ EE.....	33
3.14 การเรียงตัวของโมเมนต์แม่เหล็ก.....	34
3.15 การหาวงรอบฮีสเทอรีซิสของสารเฟอร์โรแมกเนติก.....	35
3.16 แสดงส่วนของวงจรเรียงกระแสและวงจรกรองทางด้านออก.....	41
3.17 สัญลักษณ์ คุณสมบัติของกระแสและแรงดันไฟฟ้าของไดโอด.....	41
3.18 ไดโอดขณะหยุดนำกระแส.....	42
3.19 ไดโอดฟื้นตัวเร็ว.....	43
3.20 ภาพตัวอย่างจริงของตัวเหนี่ยวนำไฟฟ้า.....	44
3.21 แหล่งกำเนิดไฟฟ้าแรงดันสูงความถี่สูงด้วยวงจรฟลายแบคคอนเวอร์เตอร์.....	46
3.22 แหล่งกำเนิดไฟฟ้าแรงดันสูงความถี่สูงด้วยวงจรพุช-พูลคอนเวอร์เตอร์.....	47
3.23 แสดงการขับเพาเวอร์มอสเฟตด้วยไอซี TTL.....	49
3.24 แสดงการขับเพาเวอร์มอสเฟตด้วยไอซี CMOS.....	50
3.25 แสดงวงจรขับเพาเวอร์มอสเฟตด้วยหม้อแปลง.....	50

เอกสารนี้เป็นเอกสารที่สงวนไว้สำหรับการใช้งานเพื่อการศึกษาเท่านั้น ไม่อนุญาตให้นำไปใช้ประโยชน์ด้านการค้า
ไม่ว่ากรณีใดๆ ทั้งสิ้น อีกทั้งห้ามมิให้ดัดแปลงเนื้อหา และต้องอ้างอิงถึงเจ้าของเอกสารทุกครั้งที่มีการนำไปใช้

สารบัญรูป (ต่อ)

รูปที่	หน้า
3.26 แสดงโครงสร้างและส่วนประกอบหลักเบื้องต้นของไมโครคอนโทรลเลอร์.....	51
3.27 ไดอะแกรมการทำงานพื้นฐานของไมโครคอนโทรลเลอร์ที่ใช้ สถาปัตยกรรมแบบฮาร์วาร์ด.....	53
3.28 แสดงไดอะแกรมของกระบวนการไปป์ไลน์ที่ใช้ในไมโครคอนโทรลเลอร์ PIC.....	54
3.29 แสดงไดอะแกรมของกระบวนการไปป์ไลน์เมื่อกระทำคำสั่งการกระโดด.....	54
3.30 ไดอะแกรมโครงสร้างการทำงานและการจัดขาของไมโครคอนโทรลเลอร์ PIC16F628..	56
3.31 แสดงหวัคบพลาสติก.....	58
3.32 แสดงโมเลกุลและความดันของก๊าซ.....	59
4.1 วงจรเรียงกระแสความถี่ต่ำและฟิวส์.....	61
4.2 กราฟแสดงความสัมพันธ์ระหว่างกระแสพิกัดและอุณหภูมิ.....	61
4.3 วงจรฟลูปรีดจ์คอนเวอร์เตอร์.....	63
4.4 หม้อแปลงความถี่สูงแบบแกน EE80.....	64
4.5 ลักษณะโครงสร้างและขนาดของแกนแม่เหล็ก.....	65
4.6 วงจรเรียงกระแสและวงจรกรองทางด้านออก.....	67
4.7 แกนเหล็กเฟอร์ไรต์ที่ใช้สำหรับเป็นหม้อแปลงฟลายแบค.....	70
4.8 วงจรควบคุมและจ่ายแรงดันสัญญาณ.....	71
4.9 วงจรแยกกราวด์ซับซ้อนของมอสเฟต.....	72
5.1 วงจรไฟฟ้าของแหล่งจ่ายกำลังไฟฟ้ากระแสตรง.....	74
5.2 แรงดันและกระแสที่ขดลวดปฐมภูมิของหม้อแปลงขณะไม่มีโหลด.....	75
5.3 แรงดันและกระแสที่ขดลวดปฐมภูมิของหม้อแปลงขณะมีโหลด 10 แอมป์.....	75
5.4 แรงดันและกระแสที่ขดลวดปฐมภูมิของหม้อแปลงขณะมีโหลด 20 แอมป์.....	76
5.5 แรงดันและกระแสที่ขดลวดปฐมภูมิของหม้อแปลงขณะมีโหลด 30 แอมป์.....	76
5.6 แรงดันและกระแสที่ขดลวดทุติยภูมิของหม้อแปลงขณะไม่มีโหลด.....	77
5.7 แรงดันและกระแสที่ขดลวดทุติยภูมิของหม้อแปลงขณะมีโหลด 10 แอมป์.....	77
5.8 แรงดันและกระแสที่ขดลวดทุติยภูมิของหม้อแปลงขณะมีโหลด 20 แอมป์.....	78
5.9 แรงดันและกระแสที่ขดลวดทุติยภูมิของหม้อแปลงขณะมีโหลด 30 แอมป์.....	78
5.10 กระแสอินพุท 30 แอมป์.....	79
5.11 กระแสอินพุท 20 แอมป์.....	79
5.12 กระแสอินพุท 10 แอมป์.....	80
5.13 กระแสเอาต์พุท 10 แอมป์.....	80
5.14 กระแสเอาต์พุท 20 แอมป์.....	81
5.15 กระแสเอาต์พุท 30 แอมป์.....	81

เอกสารนี้เป็นเอกสารที่สงวนไว้สำหรับการใช้งานเพื่อการศึกษาเท่านั้น ไม่อนุญาตให้นำไปใช้ประโยชน์ด้านการค้า
ไม่ว่ากรณีใดๆ ทั้งสิ้น อีกทั้งห้ามมิให้ตัดแปลงเนื้อหา และต้องอ้างอิงถึงเจ้าของเอกสารทุกครั้งที่มีการนำไปใช้

สารบัญรูป (ต่อ)

รูปที่	หน้า
5.16 แรงดันเอาต์พุตขณะมีโหลด กระแส 30 แอมป์.....	82
5.17 แรงดันเอาต์พุตขณะมีโหลด กระแส 20 แอมป์.....	82
5.18 แรงดันเอาต์พุตขณะมีโหลด กระแส 10 แอมป์.....	83
5.19 แรงดันเอาต์พุตขณะไม่มีโหลด.....	83
5.20 รูปกราฟแสดงประสิทธิภาพของแหล่งจ่ายกำลังไฟฟ้ากระแสตรง.....	84
5.21 วงจรไฟฟ้ารวมของเครื่องตัดโลหะแบบพลาสมา.....	85
5.22 เริ่มเกิดล้าพลาสมา.....	86
5.23 เกิดล้าพลาสมาเต็มในขณะทำการตัด.....	86
5.24 การตัดโลหะด้วยล้าพลาสมา.....	87



สารบัญตาราง

ตารางที่		หน้า
2.1	ตารางแสดงกลุ่มแรงดันและกระแสไฟฟ้าที่เกิดจากดิซชาร์จไฟฟ้ากระแสตรงที่ความดันก๊าซต่ำ.....	7
3.1	ตารางแสดงรายละเอียดของแกนเฟอร์ไรต์แบบ EE.....	33
3.2	ตารางแสดงขนาดของเส้นลวดทองแดง.....	37
3.3	ตารางแสดงองค์ประกอบของอากาศ.....	60
5.1	ตารางแสดงแรงดัน, กระแส และกำลังไฟฟ้าด้านออก.....	84
5.2	ตารางแสดงประสิทธิภาพของแหล่งจ่ายกำลังไฟฟ้ากระแสตรงเป็นกระแสดรง.....	84



เอกสารนี้เป็นเอกสารที่สงวนไว้สำหรับการใช้งานเพื่อการศึกษาเท่านั้น ไม่อนุญาตให้นำไปใช้ประโยชน์ด้านการค้าไม่ว่ากรณีใดๆ ทั้งสิ้น อีกทั้งห้ามมิให้ดัดแปลงเนื้อหา และต้องอ้างอิงถึงเจ้าของเอกสารทุกครั้งที่มีการนำไปใช้

บทที่ 1

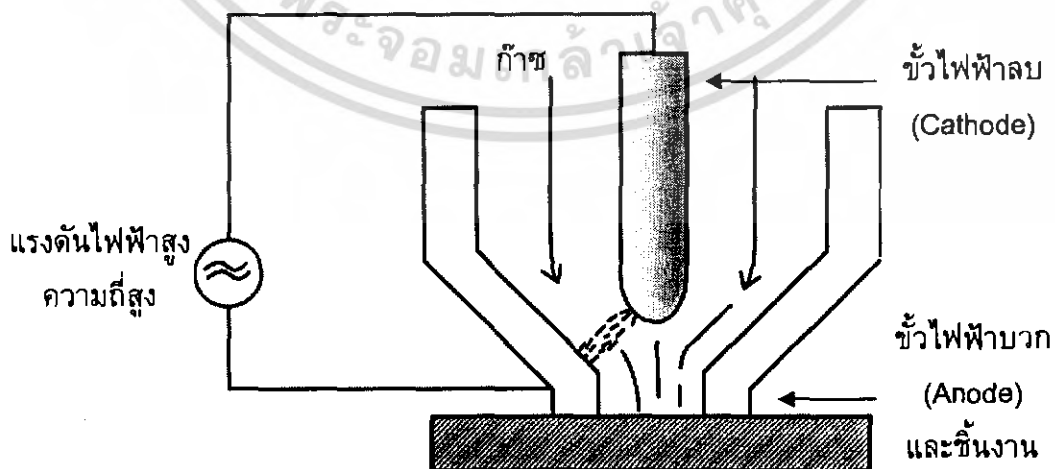
บทนำ

1.1 พลาสมา

พลาสมา (Plasma) ในความหมายทางวิทยาศาสตร์นั้นจะหมายถึงสถานะที่สี่ของสสารที่นอกเหนือไปจากสถานะของ ของแข็ง ของเหลว และก๊าซ ซึ่งในชีวิตประจำวันของคนเรานั้น ได้สัมผัสกับพลาสมาอยู่ตลอดเวลา ซึ่งถ้าเราได้สัมผัสกับพลาสมาในปริมาณมากๆ เราอาจจะได้รับความเจ็บปวดจากพลังงานของพลาสมาที่ถ่ายเทมาสู่ตัวเรา พลาสมาสามารถทำให้เกิดได้ง่าย เช่น การจุดไม้ขีดไฟ การจุดไลท์เดอร์เพื่อจุดบุหรี่ การจุดไฟในเตาแก๊ส รถยนต์ที่เรากำลังขับอยู่ก็ถูกขับเคลื่อนด้วยพลาสมาที่ร้อนจัดที่ได้จากการจุดระเบิดในลูกสูบของเครื่องยนต์ ภายในตัวรถ หรือแม้แต่กระทั่งเครื่องบินไอพ่นก็ถูกขับเคลื่อนด้วยพลาสมาที่พุ่งออกมาที่ท้ายเครื่องยนต์ตลอดเวลา แสดงว่าเรากำลังเกี่ยวข้องกับพลาสมาในชีวิตประจำวันแทบทั้งสิ้น

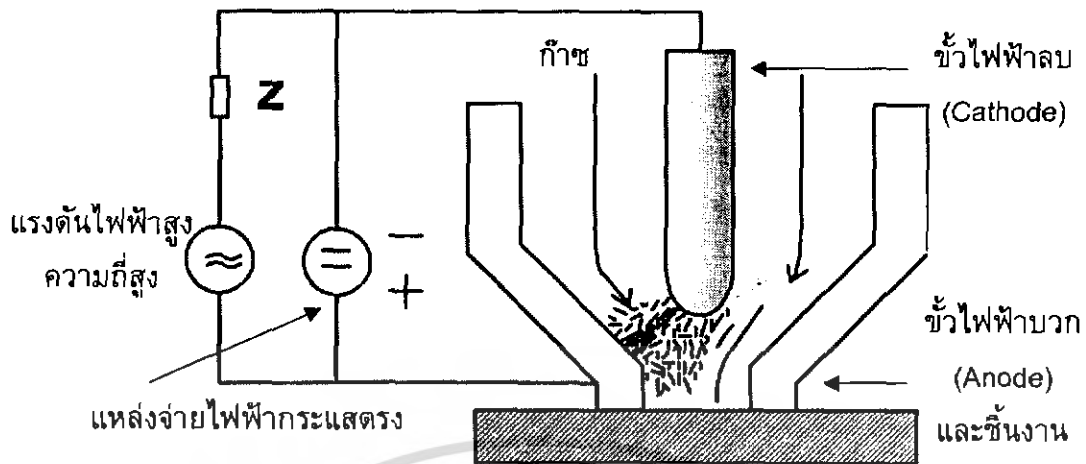
โลหกรรมพลาสมา เป็นการนำความร้อนของพลาสมามาใช้ให้เกิดประโยชน์ พลาสมาที่ใช้ในงานโลหกรรมได้จากกระแสไฟฟ้า เราเรียกว่า อาร์คพลาสมา (Arc Plasma) พลาสมาที่เกิดจากกระแสไฟฟ้านอกจากจะทำให้เกิดแสงสว่างแล้วยังใช้ประโยชน์ในการเชื่อมโลหะ (Plasma Welding) การตัดโลหะด้วยลำพลาสมา (Plasma Cutting) และการพ่นของเหลวด้วยพลาสมา (Plasma Spraying) เป็นต้น ได้อีกด้วย

สำหรับการวิจัยในครั้งนี้จะเป็นการพัฒนาขั้นพื้นฐานของพลาสมาเพื่อนำไปสู่การพัฒนาการตัดโลหะแบบพลาสมา สำหรับใช้ในอุตสาหกรรมที่เกี่ยวข้องกับโลหะ โดยทำให้เกิดการอาร์คด้วยวิธีไฟฟ้าแรงดันสูงความถี่สูง (High-Voltage and High-Frequency Arc) และจ่ายกระแสไฟฟ้าต่อเนื่องเพื่อใช้ในการตัดโลหะด้วยไฟฟ้ากระแสตรงที่มีกระแสไฟฟ้าสูง ซึ่งเป็นแบบทรานสเฟอร์อาร์ค (Transferred Arc) คือจะอาศัยชิ้นงานเป็นขั้วไฟฟ้าบวก (Anode) และหัวตัดโลหะเป็นขั้วไฟฟ้าลบ (Cathode) โดยมีขั้นตอนการเกิดพลาสมาเพื่อใช้ในการตัดโลหะดังรูป

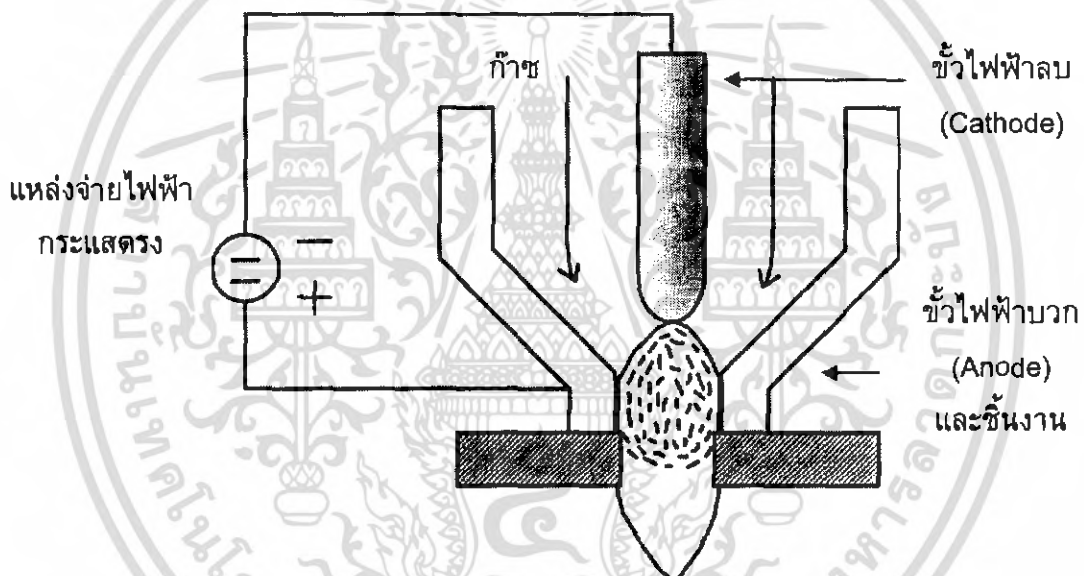


รูปที่ 1.1 การเกิดอาร์คด้วยไฟฟ้าแรงดันสูงความถี่สูง

เอกสารนี้เป็นเอกสารที่สงวนลิขสิทธิ์ไว้เพื่อการศึกษาเท่านั้น ไม่อนุญาตให้นำไปใช้ประโยชน์ด้านการค้าไม่ว่ากรณีใดๆ ทั้งสิ้น อีกทั้งห้ามมิให้ตัดแปลงเนื้อหา และต้องอ้างอิงถึงเจ้าของเอกสารทุกครั้งที่มีการนำไปใช้



รูปที่ 1.2 การเกิดอาร์คหลักตามแนวอาร์คไฟฟ้าแรงดันสูงความถี่สูง



รูปที่ 1.3 การเกิดอาร์คหลักเต็มที่เพื่อใช้ในการตัดชิ้นงาน

อาร์คไฟฟ้าแรงดันสูงความถี่สูงที่เกิดขึ้นดังรูปที่ 1.1 จะทำหน้าที่เป็นแนวทางเดินให้เกิดอาร์คหลักที่ได้จากเครื่องจ่ายพลังงานไฟฟ้ากระแสตรงได้ดังรูปที่ 1.2 เมื่อเกิดอาร์คหลักแล้วในช่วงเวลาอันสั้นพลาสมาที่เกิดขึ้นจะทำให้เกิดอาร์คหลักรอบช่องว่างที่เป็นทางผ่านของก๊าซดังรูปที่ 1.3 และในลักษณะเช่นนี้จะแสดงให้เห็นว่าลำของอาร์คหลักและลำพลาสมาคงที่พร้อมที่จะนำไปใช้ตัดโลหะโดยไม่จำเป็นต้องใช้เครื่องกำเนิดไฟฟ้าแรงสูงความถี่สูงอีกต่อไป แต่ถ้าหากไม่จุดอาร์คด้วยไฟฟ้าแรงดันสูงความถี่สูงแล้วก็จะทำให้เกิดอาร์คหลักได้ยาก ดังนั้นในการศึกษาครั้งนี้พลาสมาจะเกิดไม่ได้ถ้าไม่มีการอาร์คไฟฟ้าแรงดันสูงความถี่สูง

เอกสารนี้เป็นเอกสารที่สงวนไว้สำหรับการใช้งานเพื่อการศึกษาเท่านั้น ไม่อนุญาตให้นำไปใช้ประโยชน์ด้านการค้าไม่ว่ากรณีใดๆ ทั้งสิ้น อีกทั้งห้ามมิให้คัดแปลงเนื้อหา และต้องอ้างอิงถึงเจ้าของเอกสารทุกครั้งที่มีการนำไปใช้

1.2 ความสำคัญของปัญหา

เนื่องจากในปัจจุบันนี้ ประเทศไทยของเรามีการนำเข้าสินค้าจากต่างประเทศในปริมาณสูง โดยเฉพาะเครื่องใช้ไฟฟ้า อีกทั้งสินค้าบางชนิดก็ยังไม่มีการผลิตขึ้นใช้ภายในประเทศ หรืออาจมีการผลิตแล้วแต่ยังมีราคาที่สูงเกินไป ทำให้เกิดการเสียดุลการค้า อาทิเช่น เครื่องเชื่อมพลาสติกและเครื่องตัดโลหะแบบพลาสติก สำหรับเครื่องตัดโลหะแบบพลาสติกที่ใช้หลักการในการผลิตคล้ายกับเครื่องเชื่อมพลาสติกก็ยังมีผู้ที่เข้าใจในหลักการทำงานของการทำงานของการกำเนิดพลาสติกน้อยคนอยู่ เป็นสาเหตุที่ทำให้ไม่ค่อยมีการผลิตขึ้นใช้เองภายในประเทศ จึงทำให้ต้องสั่งซื้อและนำเข้าเครื่องตัดโลหะแบบพลาสติกจากต่างประเทศที่มีราคาสูงมาใช้

เครื่องตัดโลหะแบบพลาสติกนั้นมืองค์ประกอบหลักใหญ่ๆ 2 ส่วนด้วยกัน คือ ส่วนที่เป็นแหล่งจ่ายไฟฟ้ากระแสตรง และส่วนที่เป็นแหล่งกำเนิดไฟฟ้าแรงดันสูงความถี่สูง ดังนั้นการคิดค้นและหาวิธีสร้างแหล่งจ่ายพลังงานไฟฟ้าที่จะนำไปใช้กับหัวตัดโลหะแบบพลาสติกจึงเป็นสิ่งสำคัญที่ต้องคำนึงถึง การนำเอาเทคโนโลยีการสวิตชิงที่ความถี่สูงมาใช้ในการสร้างแหล่งจ่ายไฟฟ้ากระแสตรงจะช่วยสร้างข้อได้เปรียบมากกว่าการใช้เทคโนโลยีที่ใช้ความถี่ต่ำ ทั้งในเรื่องของขนาดและประสิทธิภาพทางไฟฟ้า แหล่งจ่ายกำลังไฟฟ้าแบบสวิตชิงของเครื่องตัดโลหะแบบพลาสติกนี้ ได้นำความรู้ทางด้านการแปลงรูปพลังงานด้วยการสวิตชิงที่ความถี่สูงมาใช้ โดยนำวงจรแปลงผันกำลังไฟฟ้ากระแสตรงเป็นกระแสตรง (DC-DC Converter) และการใช้เทคนิคการสวิตชิงที่แรงดันเป็นศูนย์ (Zero Voltage Switching) มาประยุกต์ใช้ แหล่งจ่ายกำลังแบบสวิตชิงของเครื่องตัดโลหะแบบพลาสติกที่ออกแบบนี้จะทำงานที่ความถี่ประมาณ 20 - 100 กิโลเฮิร์ต มีกำลังด้านออกประมาณ 3 กิโลวัตต์ ซึ่งคาดว่าจะสามารถตัดโลหะได้หนาถึง 10 มิลลิเมตร โดยประกอบด้วย วงจรย่อยภายในดังนี้

- วงจรเรียงกระแสเฟสเดียวเต็มคลื่น
- วงจรฟลูบริดจ์คอนเวอร์เตอร์ที่ใช้มอสเฟตกำลังเป็นตัวสวิตชิง
- หม้อแปลงความถี่สูง
- วงจรเรียงกระแสแบบเต็มคลื่นทางออก
- วงจรกำเนิดไฟฟ้าแรงดันสูงความถี่สูง
- วงจรควบคุมการทำงาน
- วงจรป้องกันกระแสและแรงดันเกินพิกัด

ซึ่งวงจรทั้งหมดนี้ได้ออกแบบขึ้นเพื่อพัฒนาเป็นเครื่องต้นแบบสำหรับการตัดโลหะแบบพลาสติก เพื่อใช้เป็นแนวทางในการศึกษาและการผลิตเพื่อเป็นการค้า จากที่ได้กล่าวมานี้เป็นเหตุผลสำคัญของการศึกษาวิจัยเครื่องตัดโลหะแบบพลาสติก เพื่อสร้างเครื่องที่มีราคาถูกและมีประสิทธิภาพการใช้งานที่ดีต่อไป

1.3 วัตถุประสงค์ของการวิจัย

1. เพื่อศึกษาหาข้อมูลขั้นพื้นฐาน สำหรับการพัฒนาต้นกำเนิดความร้อนจากพลาสมา สำหรับใช้ในอุตสาหกรรมโลหะ
2. เพื่อศึกษาหลักการการทำงานของแหล่งจ่ายกำลังแบบสวิตชิงของเครื่องตัดโลหะแบบพลาสมา
3. เพื่อพัฒนาแหล่งจ่ายกำลังแบบสวิตชิงของเครื่องตัดโลหะแบบพลาสมาที่ใช้ความถี่ประมาณ 20 – 100 กิโลเฮิร์ต โดยใช้อากาศจากเครื่องอัดอากาศ (Air Compressor) เป็นพลาสมาก๊าซ
4. เพื่อเป็นแนวทางในการศึกษาและการผลิตเพื่อเป็นการค้าต่อไปได้

1.4 ขอบเขตและข้อกำหนดในการวิจัย

1. แรงดันไฟฟ้าด้านเข้า 220 โวลต์ 50 เฮิร์ต 1 เฟส
2. กำลังไฟฟ้าด้านออกประมาณ 3 กิโลวัตต์
3. กำลังไฟฟ้าด้านเข้าประมาณ 4 กิโลวัตต์
4. แรงดันไฟฟ้าที่พิกัด 100 โวลต์ กระแส 30 แอมป์
5. ใช้ความถี่สวิตชิงประมาณ 20 – 100 กิโลเฮิร์ต
6. สามารถที่จะตัดโลหะได้ประมาณ 3/8 นิ้ว (9.5 มิลลิเมตร)
7. ทำงานด้วยวงจรแปลงผันกำลังไฟกระแสตรงเป็นกระแสตรง ภายใต้สภาวะการสวิสชิงที่แรงดันศูนย์ (Zero Voltage Switching)
8. นำ Flyback จากอุปกรณ์จอภาพมาเป็นวงจรกำเนิดไฟฟ้าแรงดันสูงความถี่สูง เพื่อใช้ในกระบวนการเริ่มเกิดอาร์ค

1.5 ขั้นตอนและวิธีการดำเนินงาน

1. ค้นคว้าและศึกษาข้อมูล
2. จำลองการทำงานของวงจร โดยใช้โปรแกรมจำลองในคอมพิวเตอร์
3. ออกแบบโครงสร้างของเครื่องและวงจรรย่อยแต่ละส่วน
4. สร้างและทดสอบวงจรรย่อย
5. แก้ไขและปรับปรุงวงจร
6. นำวงจรรย่อยส่วนต่างๆ มาประกอบเข้าด้วยกัน
7. ทดสอบการทำงานของเครื่องและเก็บข้อมูล
8. ประเมินผล และสรุปงาน

เอกสารนี้เป็นเอกสารที่สงวนไว้สำหรับการใช้งานเพื่อการศึกษาเท่านั้น ไม่อนุญาตให้นำไปใช้ประโยชน์ด้านการค้า ไม่ว่ากรณีใดๆ ทั้งสิ้น อีกทั้งห้ามมิให้ตัดแปลงเนื้อหา และต้องอ้างอิงถึงเจ้าของเอกสารทุกครั้งที่มีการนำไปใช้

1.6 ประโยชน์ที่ได้รับจากการวิจัย

1. ได้ศึกษาและเข้าใจวิธีการเปลี่ยนสถานะของก๊าซเป็นพลาสมาที่อุณหภูมิสูงซึ่งสามารถนำไปใช้เป็นตัวกำเนิดความร้อนสำหรับใช้ตัดโลหะในอุตสาหกรรมโลหะได้
2. ได้เรียนรู้เทคนิคการเปลี่ยนรูปพลังงานด้วยเทคนิคการสวิตชิงที่ความถี่สูง โดยใช้วงจรแปลงผันกำลังไฟฟ้ากระแสตรงเป็นกระแสตรง (DC-DC Converter) และการสวิตชิงที่แรงดันศูนย์ (Zero Voltage Switching) เพื่อเพิ่มประสิทธิภาพทางไฟฟ้า ลดขนาดของอุปกรณ์ไฟฟ้า และมีต้นทุนต่ำ
3. สามารถพัฒนาเครื่องต้นแบบสำหรับการตัดโลหะด้วยพลาสมา เพื่อเป็นแนวทางในการผลิตเพื่อเป็นการค้าต่อไป



เอกสารนี้เป็นเอกสารที่สงวนไว้สำหรับการใช้งานเพื่อการศึกษาเท่านั้น ไม่อนุญาตให้นำไปใช้ประโยชน์ด้านการค้าไม่ว่ากรณีใดๆ ทั้งสิ้น อีกทั้งห้ามมิให้ดัดแปลงเนื้อหา และต้องอ้างอิงถึงเจ้าของเอกสารทุกครั้งที่มีการนำไปใช้

บทที่ 2

พลาสมา

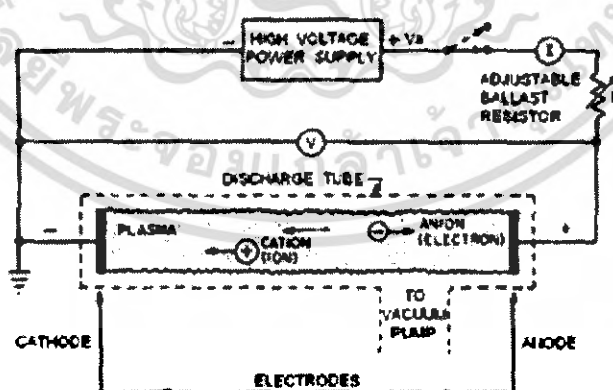
2.1 พลาสมา

ในทางฟิสิกส์และเคมี พลาสมา คือ ก๊าซที่มีสภาพเป็นไอออน และมักจะถือเป็นสถานะหนึ่งของสสาร การมีสภาพเป็นไอออนดังกล่าวนี้ หมายความว่า จะมีอิเล็กตรอนอย่างน้อย 1 ตัว ถูกดึงออกจากโมเลกุล ประจุไฟฟ้าอิสระทำให้พลาสมามีสภาพการนำไฟฟ้าเกิดขึ้น

สถานะที่ 4 ของสสารนี้ มีการเอ่ยถึงครั้งแรก โดยเซอร์ วิลเลียม ครูกส์ (Sir William Crookes) เมื่อ ค.ศ. 1879 และคิดคำว่าพลาสมา (Plasma) โดย เออร์วิง แลงมัวร์ (Irving Langmuir) เมื่อ ค.ศ. 1928 เนื่องจากเขานึกถึงพลาสมาของเลือด

2.2 การดิสชาร์จไฟฟ้าที่ความดันก๊าซต่ำ

การค้นคว้าวิจัยในยุคแรกๆ - การดิสชาร์จไฟฟ้าฟิสิกส์ถูกกระทำภายในหลอดดิสชาร์จไฟฟ้าด้วยความดันก๊าซต่ำแบบเก่าได้ดังรูปที่ 2.1 ในรูปนั้นคือรูปแบบดั้งเดิมของหลอดดิสชาร์จไฟฟ้าที่ใช้ความดันก๊าซต่ำนั้นคือนีออน (Neon) ที่เรารู้จักในชื่อของหลอดไฟลูออเรสเซนต์ ซึ่งจะประกอบไปด้วยหลอดสูญญากาศและแผ่นอิเล็กโทรดกลม 2 แผ่นที่ปิดทั้ง 2 ข้างของตัวหลอดแก้วและเชื่อมต่อกับแหล่งจ่ายไฟฟ้ากระแสตรงแรงดันสูง โดยเราจะสามารถปรับค่าความต้านทานของบาลาส R และสามารถปรับค่าคุณลักษณะของแรงดันและกระแสไปเรื่อยๆ ซึ่งการเปลี่ยนแปลงจะเป็นแบบไม่เป็นเชิงเส้นสูง อิเล็กตรอนของพลาสมาจะวิ่งเข้าหาขั้วบวก (Anode) และไอออนบวกจะวิ่งเข้าหาขั้วลบ (Cathode) โดยที่ทั้งสองจะชนและปะทะกันด้วยความถี่กับก๊าซธรรมชาติที่อยู่ภายใน



รูปที่ 2.1 ลักษณะการเกิดพลาสมาในหลอดสูญญากาศด้วยไฟฟ้าแรงดันสูง

กลุ่มของแรงดันและกระแสของการดิสชาร์จไฟฟ้ากระแสตรงด้วยความดันก๊าซต่ำถูกแสดงไว้ดังตารางที่ 2.1 และเราสามารถทำการทดลองการดิสชาร์จไฟฟ้าที่ความดันก๊าซต่ำและเอกสารนี้เป็นเอกสารที่สงวนลิขสิทธิ์ไว้เพื่อการค้าเท่านั้น ไม่อนุญาตให้เผยแพร่โดยไม่ได้รับอนุญาตจากเจ้าของลิขสิทธิ์ หากท่านต้องการข้อมูลเพิ่มเติม กรุณาติดต่อเจ้าของลิขสิทธิ์ หรือติดต่อฝ่ายขายของเอกสารทุกครั้งที่มีการนำไปใช้

นำมาเขียนเป็นกราฟของแรงดันและกระแสไฟฟ้าตามในรูปที่ 2.2 เมื่อเราทำการปรับแรงดันและกระแสในขณะนั้นแล้วทำการวัดกระแสไหลผ่านตอนเกิดการดิสชาร์จ การเกิดดิสชาร์จนี้จะนำมาเขียนเป็นเส้นกราฟที่ไม่เป็นเชิงเส้นระหว่างแรงดันและกระแสได้ดังรูปที่ 2.2 โดยเริ่มจากแรงดันต่ำสุดที่ทางด้านซ้ายมือล่างขอบเขตระหว่าง A และ B บนเส้นโค้งและนั่นคือกลุ่มของไอออไนซ์หลัก (Background ionization regime)

ตารางที่ 2.1 ตารางแสดงกลุ่มแรงดันและกระแสไฟฟ้าที่เกิดจากดิสชาร์จไฟฟ้ากระแสตรงที่ความดันก๊าซต่ำ

Voltage – Current regimes of low pressure DC electrical discharges.

(1) Dark discharges

- a) Background ionization
- b) The saturation regime
- c) The Townsend regime
- d) Corona discharges
- e) Electrical breakdown

(2) Glow Discharges

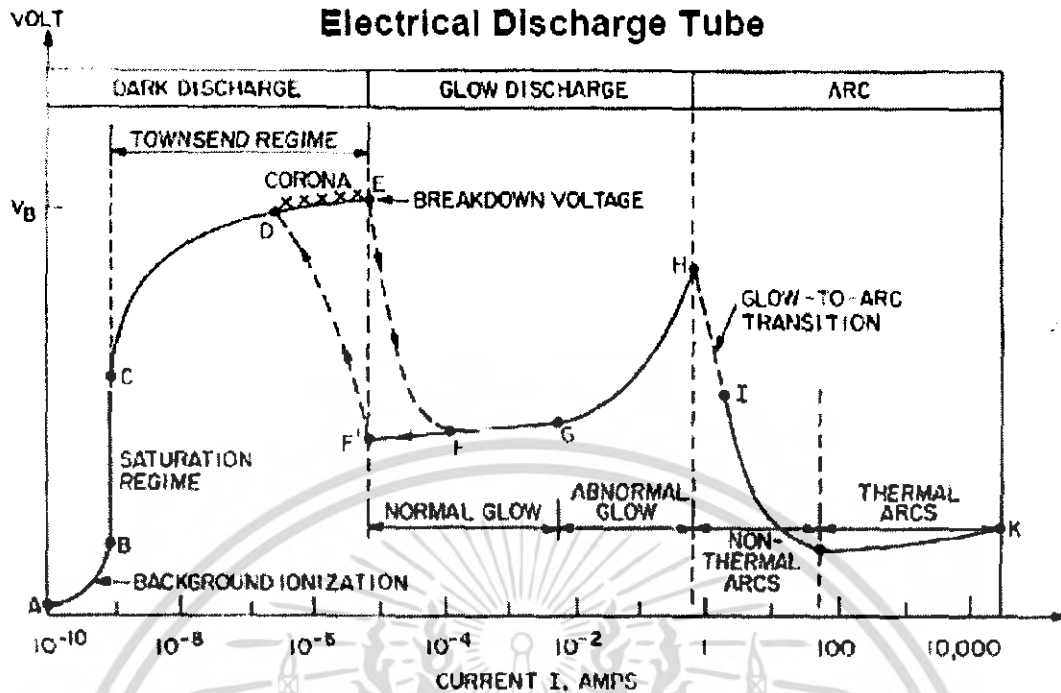
- a) The normal glow discharge
- b) The abnormal glow discharge

(3) Arc discharges

- a) The glow – to – arc transition
 - b) Non-thermal arcs
 - c) Thermal arcs
-

เอกสารนี้เป็นเอกสารที่สงวนไว้สำหรับการใช้งานเพื่อการศึกษาเท่านั้น ไม่อนุญาตให้นำไปใช้ประโยชน์ด้านการค้าไม่ว่ากรณีใดๆ ทั้งสิ้น อีกทั้งห้ามมิให้ดัดแปลงเนื้อหา และต้องอ้างอิงถึงเจ้าของเอกสารทุกครั้งที่มีการนำไปใช้

Voltage-Current Characteristic of the DC Low Pressure Electrical Discharge Tube



รูปที่ 2.2 ช่วงการเกิดพลาสมาตามแรงดันและกระแสไฟฟ้า

2.3 เครื่องตัดโลหะแบบพลาสมา (Plasma Cutting Machine)

เครื่องตัดโลหะแบบพลาสมานั้นมีคุณสมบัติทางความร้อนและความรุนแรงสูงกว่าเครื่องตัดโลหะที่ใช้แก๊สธรรมดาทั่วไป เช่น เครื่องตัดโลหะก๊าซทังสเตน (Tungsten Inert-Gas: TIG) เครื่องตัดโลหะก๊าซโลหะ (Metal Inert-Gas: MIG) ซึ่งโดยปกติแล้วอุณหภูมิของพลาสมานั้นจะอยู่ที่ประมาณ $11,650^{\circ}\text{C}$ ซึ่งจะเห็นได้ว่าเป็นความร้อนที่สูงมากทีเดียว

การต่อใช้งานของเครื่องตัดโลหะแบบพลาสมานั้นจะต่อได้ 2 ลักษณะ คือ แบบส่งผ่าน (Transferred Arc) และแบบไม่ส่งผ่าน (Non-Transferred Arc) ก่อนที่จะกล่าวถึงการต่อใช้งานทั้ง 2 แบบนั้นเราจะเริ่มต้นการจุดระเบิดพลาสมาก่อน คือ เมื่อเริ่มปล่อยก๊าซที่ลำเลียงจากถังมาสู่หัวตัดแล้วนั้นก็ทำการตั้งค่ากระแสที่เครื่องแหล่งจ่ายกำลังไฟฟ้าค่าหนึ่ง ลำดับต่อไปให้ทำการจุดพลาสมาด้วยการอาร์คด้วยไฟฟ้าแรงดันสูงความถี่สูง (High-Voltage High-Frequency Arc Starting) ซึ่งลำดับขั้นตอนจะเหมือนกับการจุดของเครื่องตัดโลหะก๊าซทังสเตน

การใช้เครื่องตัดโลหะแบบพลาสมานั้นสามารถต่อใช้งานได้ 2 รูปแบบ คือ แบบส่งผ่านและไม่ส่งผ่าน แบบส่งผ่าน (Transferred Arc) นั้นหมายความว่ากระแสจากแหล่งจ่ายกำลังนั้นไหลผ่านจากแท่งอิเล็กโทรด (ขั้วลบ) ที่อยู่ภายในหัวตัดและไหลผ่านปากท่อของน็อนเซิลันที่อยู่ติดกับชิ้นงาน กระแสไฟฟ้าจะไหลกลับจากชิ้นงานเข้าสู่แหล่งจ่ายกำลังไฟฟ้าครบวงจร ส่วนแบบไม่ส่งผ่าน (Non-Transferred Arc) นั้น กระแสจะไม่ไหลลงสู่ชิ้นงานแต่จะไหลจากปากท่อของน็อนเซิลันแล้วเข้าสู่แหล่งจ่ายกำลังไฟฟ้าเลย แสดงให้เห็นได้ว่าทั้งสองแบบนี้แตกต่างกันตรงที่กระแสไหลผ่านสู่ชิ้นงานหรือไม่ไหลเข้าสู่ชิ้นงานเท่านั้นและเรานิยมเรียกการต่อแบบ

เอกสารนี้เป็นเอกสารลิขสิทธิ์สงวนไว้เพื่อใช้ในการศึกษาเท่านั้น เมื่อผู้ใดเห็นประโยชน์ประการใดไม่ว่ากรณีใดๆ ทั้งสิ้น อีกทั้งห้ามมิให้คัดลอกเนื้อหา และต้องอ้างอิงถึงเจ้าของเอกสารทุกครั้งที่มีการนำไปใช้

ส่งผ่านว่าแบบ “พลาสมาอาร์ค” (Plasma Arc) และในแบบไม่ส่งผ่านนั้นเรียกว่า “พลาสมาเจ็ต” (Plasma Jet) ในแบบส่งผ่านนั้นจะเป็นที่นิยมใช้งานตัดโลหะมากกว่าแบบไม่ส่งผ่าน ในส่วนของ การปรับเปลวพลาสมาให้มีลักษณะกรวยบางนั้นสามารถปรับแต่งอัตราการใช้ของก๊าซ การปรับนั้นเราควรที่จะปรับแต่งให้เปลวที่ออกมาเป็นเส้นตรงหรือทรงกระบอกและส่วน ปลายเป็นกรวยและนี่ก็เป็นเหตุผลหนึ่งที่หัวตัดของพลาสมามีลักษณะเป็นน็อนเซิลล์เซรามิกที่ ปากท่อบีบแคบ เพราะมันจะช่วยให้เกิดพลาสมาเป็นลำและมีความร้อนสูงได้ดี และเมื่อเราได้ทำ การเพิ่มจำนวนของกระแสและแรงดันจากแหล่งจ่ายกำลังไฟฟ้าจะทำให้พลาสมานั้นมีความแรง ขึ้นอีก

น็อนเซิลล์เป็นส่วนสำคัญที่สุดของหัวเชื่อมพลาสมาเพราะเส้นผ่านศูนย์กลางของ ปากน็อนเซิลล์นั้นเล็กกว่าเส้นผ่านศูนย์กลางของลำพลาสมาอาร์คซึ่งอยู่ในน็อนเซิลล์ทำให้ เกิดการรวมตัวกันของพลังงานเพื่อปลดปล่อยลำพลาสมาออกมาใช้งานโดยจะมีลักษณะที่ตีบ อย่างไม่กี่ตามอุณหภูมิที่สูงของพลาสมาก็จะส่งผลกระทบต่อกับน็อนเซิลล์โดยตรง หัวตัดโลหะแบบ พลาสมามีการใช้งานทั้งแบบส่งผ่าน (การอาร์คเกิดขึ้นระหว่างอิเล็กโทรดและชิ้นงาน) และไม่ ส่งผ่าน (การอาร์คเกิดขึ้นระหว่างอิเล็กโทรดและน็อนเซิลล์) ในแบบไม่ส่งผ่านนั้นลำพลาสมาจะ ออกมาในลักษณะกรวยพุ่งออกมาและมีความร้อนต่ำเพราะพลาสมาในแบบไม่ส่งผ่านนั้นมี ลักษณะเหมือนการฟ่นละอองก๊าซเผาไหม้ออกมาทำให้ความหนาแน่นของพลังงานและความ ร้อนต่ำจึงเหมาะที่จะใช้งานกับแผ่นโลหะที่มีความหนาไม่มาก ในแบบส่งผ่านนั้นเป็นการใช้งาน ที่มีความร้อนออกมามากเพราะลำพลาสมาพุ่งออกมาเป็นลักษณะทรงกระบอกลำเล็กๆ และ อิเล็กตรอนที่อยู่ภายในชิ้นงานสามารถกระโดดเข้าหาแท่งอิเล็กโทรดของหัวตัดได้สะดวกจึงเกิด พลังงานที่บริเวณชิ้นงานสูง

2.4 เครื่องจ่ายกำลังไฟฟ้าของเครื่องตัดโลหะแบบพลาสมา

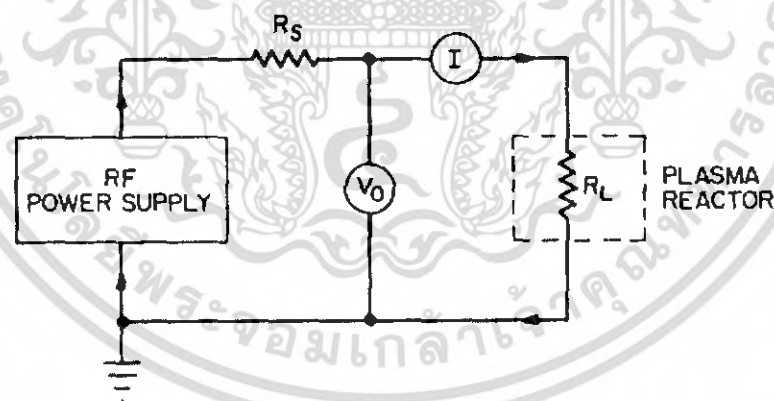
แหล่งจ่ายกำลังไฟฟ้าที่จะนำมาใช้งานกับเครื่องตัดพลาสมานั้นจะต้องออกแบบเป็น พิเศษโดยที่จะต้องให้เอาท์พุทเปิดวงจรอยู่ในช่วง 120 – 400 โวลต์ (แตกต่างกับแหล่งจ่ายกำลัง ของเครื่องเชื่อมพลาสมาอยู่ประมาณ 70 – 85 โวลต์) หลักสำคัญที่จะมากำหนดขนาดของ แหล่งจ่าย คือ ชนิดและความหนาของโลหะที่จะนำมาตัด ความเร็วที่ต้องการในการตัด กระแส คงที่และค่าแรงดันที่ตกคร่อมในขณะที่ตัดชิ้นงาน เครื่องตัดพลาสมาที่ใช้ในโหมด DSCP อิเล็กโทรดต่อขั้วลบของแหล่งจ่ายกำลังไฟฟ้าต่อใช้งานแบบส่งผ่าน ในงานที่ต่อลักษณะนี้เมื่อ นำไปใช้กับงานหนักๆ แล้วระบบต้องการแรงดันเปิดวงจรถึง 400 โวลต์ เพื่อใช้เจาะโลหะที่หนา ประมาณ 2 นิ้ว (51 มม.) ที่เครื่องตัดที่ใช้มีอัตราตัดและที่กระแสต่ำ ระบบต้องการแรงดันเมื่อเปิด วงจรประมาณ 120 – 200 โวลต์ ในกรณีที่เป็นเครื่องเซาะร่องด้วยแล้วนั้นแรงดันจะจ่ายให้ ชิ้นงานในขณะที่ทำงานควรปรับได้ด้วยเพื่อเพิ่มความยืดหยุ่นให้รับกับชิ้นงานหลากหลายชนิด ผู้ผลิตเครื่องตัดโลหะแบบพลาสมาทั้งหลายนั้นส่วนใหญ่แล้วจะไม่ผลิตแหล่งจ่ายกำลังไฟฟ้าที่ใช้

เอกสารนี้เป็นเอกสารที่สงวนไว้สำหรับการใช้งานเพื่อการศึกษาเท่านั้น ไม่อนุญาตให้นำไปใช้ประโยชน์ด้านการค้า ไม่ว่ากรณีใดๆ ทั้งสิ้น อีกทั้งห้ามมิให้คัดแปลงเนื้อหา และต้องอ้างอิงถึงเจ้าของเอกสารทุกครั้งที่มีการนำไปใช้

กับการตัดด้วยมือเพราะเกิดปัญหาเรื่องความปลอดภัยมากจึงไม่คุ้มที่จะสร้าง ส่วนใหญ่จะสร้างแบบที่ใช้กับเครื่องอัตโนมัติ

กระแสเออาร์ท์พุกจากแหล่งจ่ายกำลังไฟฟ้าของเครื่องพลาสมานั้นจะมีค่าประมาณที่ 10 – 50 แอมป์ ขึ้นอยู่กับชิ้นงานที่นำมาตัดว่าหนาแค่ไหน และต้องการความเร็วในการตัดแค่ไหน ถ้าชิ้นงานที่นำมาตัดหนาและเราต้องการความเร็วในการตัดเราจะต้องใช้กระแสที่สูงจากแหล่งจ่ายกำลังในการตัดเป็นต้น ในแหล่งจ่ายกำลังไฟฟ้าโดยทั่วๆ ไปนั้นจะมีวงจรไฟฟ้าแรงดันสูงความถี่สูง (High-Voltage High-Frequency Circuit) ดังรูปที่ 2.3 ที่ใช้ในการจุดพลาสมา รวมอยู่ด้วย โดยส่วนมากแล้วแหล่งจ่ายกำลังไฟฟ้าจะเป็นลักษณะของแหล่งจ่ายกำลังไฟฟ้ากระแสตรง สาเหตุนั้นเป็นเพราะการบำรุงรักษาง่ายกว่าการใช้กระแสสลับและสาเหตุที่สำคัญอีกอย่างนั้นเป็นเพราะไฟฟ้ากระแสสลับมีรูปคลื่นเป็นแบบไซน์เคิลและทุกๆ ของไซน์เคิลจะมีจุดที่กระแสนั้นมีค่าเป็นศูนย์ทำให้มีกระแสทางเออาร์ท์พุกไม่คงที่ จุดที่แตกต่างกันของแหล่งจ่ายกำลังไฟฟ้าคือค่าโวลท์เตจทางด้านเออาร์ท์พุกของพลาสมาในขณะที่เปิดวงจรนั้นมีค่าสูงประมาณ 200 – 400 โวลต์ และแรงดันที่ตกคร่อมชิ้นงานในขณะที่ตัดมีค่าประมาณ 80 โวลต์

โดยมากแล้วแหล่งจ่ายกำลังไฟฟ้าของเครื่องตัดโลหะแบบพลาสมานั้น จะมีค่าเออาร์ท์พุกเป็นกิโลวัตต์ เช่น 15 แอมป์ 200 โวลต์ มีค่ากำลังไฟฟ้าเท่ากับ 3 กิโลวัตต์ เป็นต้น แต่ก็มีเครื่องบางเครื่องที่แสดงค่าเออาร์ท์พุกแยกเป็นจำนวนกระแส และจำนวนแรงดัน แต่เราก็สามารถที่จะหาค่าของกำลังงานทางเออาร์ท์พุกได้โดยนำค่ากระแสและแรงดันทางเออาร์ท์พุกมาทำการคูณกัน ผลคูณนี้จะเป็นค่ากำลังไฟฟ้าทางด้านเออาร์ท์พุกนั่นเอง



รูปที่ 2.3 วงจรแรงดันไฟฟ้าสูงความถี่สูง

2.5 วัสดุที่ใช้เป็นขั้วไฟฟ้าในต้นกำเนิดอาร์คพลาสมา

วัสดุที่นิยมใช้เป็นขั้วไฟฟ้าในต้นกำเนิดอาร์คพลาสมามี 3 ชนิด คือ ทังสเตน ทองแดง และแกรไฟต์ ตามปกติจะใช้ทังสเตนเป็นขั้วไฟฟาลบ และทองแดงเป็นขั้วไฟฟ้าบวก ทังสเตนที่ใช้จะเป็นโลหะทังสเตนบริสุทธิ์ หรือจะมีทอเรียม (Thorium) หรือเซอร์โคเนีย (Zirconia) ปนอยู่ก็ได้ เหตุที่นิยมใช้ทังสเตนเป็นขั้วไฟฟ้า เพราะทังสเตนมีคุณสมบัติให้อิเล็กตรอนได้ง่ายเมื่อได้รับเอกสารนี้เป็นเอกสารที่สงวนไว้สำหรับการใช้งานเพื่อการศึกษาเท่านั้น ไม่อนุญาตให้นำไปใช้ประโยชน์ด้านการค้าไม่ว่ากรณีใดๆ ทั้งสิ้น อีกทั้งห้ามมิให้ดัดแปลงเนื้อหา และต้องอ้างอิงถึงเจ้าของเอกสารทุกครั้งที่มีการนำไปใช้

ความร้อน (Thermal Emission) และมีจุดหลอมตัวสูง ส่วนทองแดงนั้นนิยมใช้เนื่องจากนำความร้อนและนำไฟฟ้าได้ดี ข้อเสียของทองแดงคือ มีจุดหลอมตัวต่ำ ($1,083^{\circ}\text{C}$) การใช้ทองแดงเป็นขั้วไฟฟ้าจึงต้องมีการระบายความร้อนให้เพียงพอ หรือมีกลไกมาหมุนตรงบริเวณที่รองรับอาร์ค เพื่อกระจายความร้อนมิให้ได้รับมากเกินไปจนเกิดหลอมละลายได้ ถ้ากำลังไฟฟ้าที่ใช้ไม่สูงนัก อาร์คก๊าศที่ใช้จะระบายความร้อนได้พอเพียงอยู่แล้ว เรายินยมใช้แกรไฟต์เป็นขั้วไฟฟ้าเนื่องจากนำไฟฟ้าได้ดี แต่งรูปเป็นเบ้าได้สะดวก แต่มีข้อเสียคือ ที่อุณหภูมิสูงแกรไฟต์จะกลายเป็นไอได้ง่าย ในการใช้งานจะต้องมีการระบายความร้อนจากขั้วไฟฟ้า หรือหมุนขั้วไฟฟ้าตลอดเวลา และจะมีไอของแกรไฟต์ปน อยู่ในลำพลาสมาเสมอ

การออกแบบลักษณะขั้วไฟฟ้ามีความสำคัญมากในการใช้งานต้นกำเนิดพลาสมา เนื่องจากการออกแบบที่ไม่เหมาะสมจะทำให้อาร์คไม่ทั่วถึง เป็นผลทำให้พลาสมาที่เกิดขึ้นไม่มีเสถียรภาพ โดยปกติจะออกแบบให้ขั้วไฟฟ้านั้นมีลักษณะเป็นแท่ง และอีกด้านหนึ่งเป็นวงแหวนหรือรูปทรงกระบอก พลาสมาที่เข้าจะผ่านเข้ามารอบๆ ขั้วไฟฟ้าผ่านอาร์คแล้วพุ่งผ่านรูของขั้วไฟฟ้าที่เจาะไว้ออกไปด้านนอก หรือผ่านอาร์คในบริเวณที่มีช่องว่างระหว่างขั้วไฟฟ้าทั้งสองที่น้อยที่สุด ในกรณีที่ขั้วไฟฟ้าอีกด้านหนึ่งเป็นรูปวงแหวนหรือรูปทรงกระบอกตามลำดับ หัวคอบพลาสมาทั่วไปจะใช้แท่งทั้งสแตนเป็นขั้วไฟฟ้าลบ และใช้ทรงกระบอกหรือวงแหวนทำด้วยทองแดงเป็นขั้วไฟฟ้าบวก แท่งแกรไฟต์ถ้าใช้เป็นขั้วไฟฟ้าจะทำหน้าที่เป็นขั้วบวกเสมอ ในบางกรณีจะออกแบบให้ขั้วไฟฟ้ามีลักษณะเป็นรูปวงแหวนที่มีแนวจุดศูนย์กลางร่วมกัน หรือลักษณะเป็นวงแหวนที่ขนานกันก็ได้

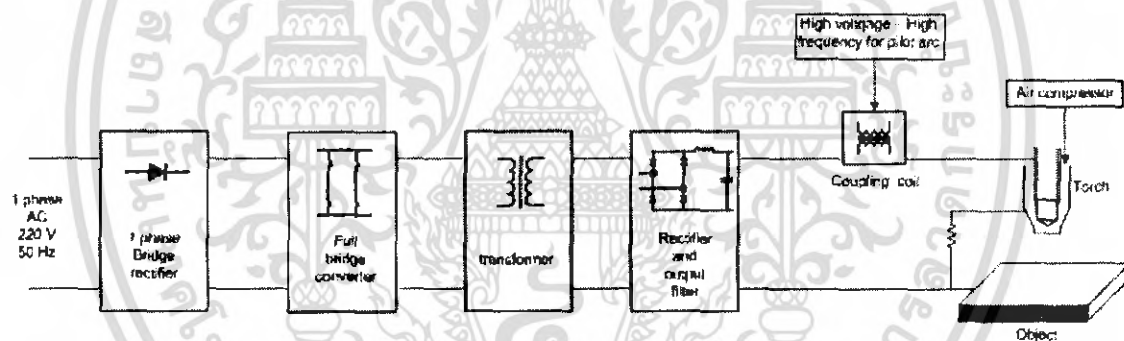
บทที่ 3

ทฤษฎีและหลักการ

3.1 แหล่งจ่ายกำลังไฟฟ้าสำหรับเครื่องตัดโลหะแบบพลาสมา

แหล่งจ่ายกำลังไฟฟ้าประกอบไปด้วยวงจรสองส่วนหลักคือวงจรแปลงผันไฟฟ้ากระแสตรงเป็นกระแสตรง (DC-DC Converter) และวงจรกำเนิดไฟฟ้าแรงดันสูงความถี่สูง (High-Voltage High-Frequency Circuit) ซึ่งจะแบ่งเป็นวงจรรย่อยดังนี้ ดังรูปที่ 3.1

- วงจรเรียงกระแสและกรองกระแส
- วงจรฟลูบริดจ์คอนเวอร์เตอร์ที่ใช้มอสเฟตกำลังเป็นตัวสวิตชิง
- หม้อแปลงความถี่สูง
- วงจรเรียงกระแสและกรองกระแสทางด้านออก
- วงจรกำเนิดไฟฟ้าแรงดันสูงความถี่สูง
- วงจรควบคุมการทำงาน
- วงจรป้องกันกระแสและแรงดันเกินพิกัด

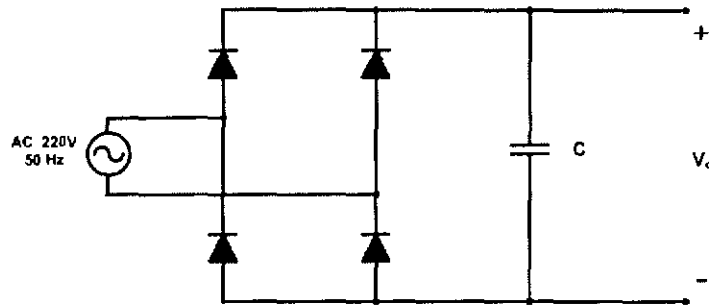


รูปที่ 3.1 โครงสร้างทางไฟฟ้าของแหล่งจ่ายกำลังไฟฟ้าของเครื่องตัดโลหะแบบพลาสมา

3.2 วงจรเรียงกระแสและกรองกระแส

วงจรเรียงกระแสและกรองกระแส นับว่าเป็นส่วนสำคัญของวงจรในส่วนอินพุทซึ่งจะทำหน้าที่เป็นแหล่งจ่ายกำลังไฟฟ้าให้แก่เครื่องตัดโลหะแบบพลาสมา โดยจะได้รับแรงดันไฟฟ้ากระแสสลับ 1 เฟส ขนาด 220 โวลต์ $\pm 10\%$ ความถี่ 50 เฮิรตซ์ จากแหล่งจ่ายกำลังไฟฟ้ากระแสสลับ มาเปลี่ยนให้เป็นแหล่งจ่ายกำลังไฟฟ้ากระแสตรง โดยใช้วงจรเรียงกระแสที่ใช้ไดโอดต่อแบบฟลูบริดจ์จัดในรูปที่ 3.2 แรงดันไฟฟ้าด้านขาออกของวงจรเรียงกระแสจะถูกกรองให้เป็นไฟฟ้ากระแสตรงที่มีการกระเพื่อมน้อยลง และมีขนาดประมาณ 300 โวลต์ โดยมีตัวเก็บประจุเป็นตัวกรอง แรงดันไฟฟ้ากระแสตรงที่ได้นี้จะทำหน้าที่เป็นแรงดันอินพุทให้กับวงจรคอนเวอร์เตอร์ต่อไป และวงจรเรียงกระแสและกรองกระแสยังเป็นตัวกำหนดค่าอัตราทอนกระแส

ของฟิวส์และวงจรกรองสัญญาณรบกวนความถี่วิทยุด้วยนั้น ไม่นุญาตให้นำไปใช้ประโยชน์ด้านการค้าไม่ว่ากรณีใดๆ ทั้งสิ้น อีกทั้งห้ามมิให้ตัดแปลงเนื้อหา และต้องอ้างอิงถึงเจ้าของเอกสารทุกครั้งที่มีการนำไปใช้



รูปที่ 3.2 วงจรเรียงกระแส

การต่อวงจรเรียงกระแสโดยตรงเข้ากับไฟฟ้า 220 โวลต์ โดยตรง เช่นนี้ เป็นการเสี่ยงการใช้หม้อแปลงแรงดันความถี่ต่ำ ทำให้สามารถลดน้ำหนักลงได้ ในกรณีวงจรกรอง 50 เฮิรท์ก็เช่นกัน การไม่ใช้ตัวเหนี่ยวนำ จะลดปัญหาเนื่องจากน้ำหนัก แต่มีข้อเสียคือ ตัวเก็บประจุของวงจรจะมีขนาดใหญ่กว่าวงจรกรองที่มีตัวเหนี่ยวนำ ในขณะที่การกระเพื่อมกระแสมีขนาดเท่ากัน และกระแสที่ไหลในตัวไดโอดมีค่ายอดที่สูงมาก แต่ก็มีข้อดีคือแรงดันไฟฟ้ากระแสตรงมีขนาดเกือบเท่ากับค่ายอดของแรงดันไฟฟ้ากระแสสลับของระบบจ่ายกระแส

การออกแบบค่าอุปกรณ์ต่างๆ ของวงจรเรียงกระแสและกรองกระแส

3.2.1 ไดโอดเรียงกระแส

การเลือกใช้ไดโอดเรียงกระแสให้เหมาะกับการใช้งานควรมีข้อควรพิจารณาดังนี้

3.2.1.1 ค่ากระแสกระชาก (I_{fsm})

กระแสกระชากสูงสุดที่ไหลผ่านไดโอดเรียงกระแสจะเกิดขึ้นในขณะที่เปิดเครื่องเมื่อตัวเก็บประจุฟิลเตอร์ยังไม่มีประจุสะสมอยู่ ค่ากระแสกระชากสูงสุดคำนวณได้จาก

$$I_{fsm} = \frac{V_p}{R_s + ESR} \quad (3.1)$$

เมื่อ V_p คือ แรงดันยอดสูงสุดของไฟสลับอินพุท

ERS คือ ค่าความต้านทานแฝงในตัวเก็บประจุค่าต่ำสุด

R_s คือ ค่าของตัวต้านทานจำกัดกระแส

โดยทั่วไปแล้วไดโอดเรียงกระแสจะมีค่าอัตราทนกระแสกระชาก I_{fsm} ประมาณ 20 ถึง 30 เท่า ของอัตราทนกระแสเฉลี่ยขณะถูกไบแอสตรงของมัน โดยไดโอดที่ใช้จะต้องมีอัตราทนกระแสกระชากมากกว่าค่ากระแสที่คำนวณได้จากสมการ ค่ากระแสกระชากอาจลดลงได้โดยการเพิ่มค่าของ R_s แต่จะทำให้เครื่องมีประสิทธิภาพลดลง เนื่องจากเกิดกำลังสูญเสียในตัวต้านทาน

3.2.1.2 ค่ากระแสสูงสุดเมื่อถูกไบแอสตรง (I_{fsm})

ค่ากระแสสูงสุดที่เกิดขึ้นในวงจรเรียงกระแส จะเกิดขึ้นในจังหวะที่ตัวเก็บประจุกรองกระแสมีการเก็บประจุอีกครั้งหลังจากคายประจุออกไปให้ไหลลด ค่ากระแสสูงสุดเมื่อถูกไบแอสตรงของไดโอดเรียงกระแส สามารถหาได้จากค่ากระแสสูงสุดของตัวเก็บประจุกรองกระแส

3.2.1.3 ค่ากระแสเฉลี่ยเมื่อถูกไบแอสตรง (I_{fm})

เป็นค่ากระแสเฉลี่ยสูงสุดที่ไดโอดเรียงกระแสจะได้รับในขณะที่ทำงานหรือนำกระแส การพิจารณาค่ากระแสนี้ทำได้โดยใช้กราฟ ในทางปฏิบัติควรเผื่อค่ากระแสเฉลี่ยสูงสุด I_{fm} ของไดโอดไว้ที่ประมาณ 1.5 ถึง 2 เท่าจากที่คำนวณได้ เพื่อเพิ่มความปลอดภัยและอายุการใช้งาน

3.1.1.4 อัตราทนแรงดันไบแอสกลับสูงสุด V_{rrm}

โดยปกติวงจรเรียงกระแสจะต้องต่อเข้ากับแรงดันไฟสลับ 220 โวลต์ ดังนั้นอัตราทนแรงดันไบแอสกลับของไดโอด ควรต้องมีค่าไม่ต่ำกว่าค่าแรงดันยอดสูงสุดของแรงดันไฟสลับ แต่ควรเผื่อค่าแรงดันไบแอสกลับ ให้มีค่ามากกว่าแรงดันยอดสูงสุดของแรงดันไฟสลับเอาไว้ด้วย สำหรับกรณีที่เกิดทรานเซียนต์ขึ้นในสายไฟสลับ

โดยทั่วไปแล้วเราสามารถคำนวณหากระแสพิกัดของไดโอดเรียงกระแสได้จากค่ากระแสประสิทธิผลของวงจรเรียงกระแสในสมการที่ 3.2

$$I_e = \frac{P_m}{V_m} \quad (3.2)$$

โดยที่ I_e คือ ค่ากระแสประสิทธิผลของวงจรเรียงกระแส
 P_m คือ กำลังไฟฟ้าด้านเข้า
 V_m คือ แรงดันไฟฟ้าด้านเข้า

3.2.2 ตัวเก็บประจุกรองกระแส

ตัวเก็บประจุมีหน้าที่กรองแรงดันไฟตรงที่ได้จากการเรียงกระแสของไดโอดให้มีค่าเรียบมากขึ้น และช่วยให้กระแสที่ได้มีค่าเพียงพอตามที่วงจรคอนเวอร์เตอร์ต้องการ การใช้งานจริงควรเลือกตัวเก็บประจุที่มีปัจจัยดังต่อไปนี้

3.2.2.1 อัตราทนกระแสระลอก (RMS Ripple Current Rating)

กระแสระลอกในตัวเก็บประจุกรองกระแสเกิดจากการชาร์จประจุและคายประจุของตัวเก็บประจุเอง ซึ่งค่ากระแสนี้เป็นผลให้ตัวเก็บประจุร้อนและอายุการใช้งานลดลง การเลือกใช้งานตัวเก็บประจุกรองกระแสจะต้องให้มีค่าอัตราทนกระแสระลอกมากกว่าค่ากระแสระลอกที่คำนวณได้เพื่อไม่ให้เกิดความร้อนกับตัวเก็บประจุขณะที่ทำงาน ใน

เอกสารนี้เป็นเอกสารที่สงวนไว้สำหรับการใช้งานเพื่อการศึกษาเท่านั้น ไม่อนุญาตให้นำไปใช้ประโยชน์ด้านการค้าไม่ว่ากรณีใดๆ ทั้งสิ้น อีกทั้งห้ามมิให้ตัดแปลงเนื้อหา และต้องอ้างอิงถึงเจ้าของเอกสารทุกครั้งที่มีการนำไปใช้

กรณีที่เกิดกระแสลอมมีค่าสูงการใช้ตัวเก็บประจุขนาดกันหลายตัวจะช่วยเพิ่มอัตราทนกระแสลอมให้ตัวเก็บประจุได้

3.2.2.2 แรงดันกระเพื่อมที่เอาต์พุทของวงจรเรียงกระแส (Ripple Voltage)

การกระเพื่อมที่แรงดันเอาต์พุทของวงจรเรียงกระแสจะมีผลโดยตรงต่อการทำงานของคอนเวอเตอร์ การกระเพื่อมที่แรงดันเอาต์พุททำให้แรงดันที่อินพุทของคอนเวอเตอร์มีค่าไม่คงที่ หากยอมให้แรงดันกระเพื่อมนี้มีค่ามากก็จะลดความสามารถในการคงค่าแรงดันที่เอาต์พุทของคอนเวอเตอร์ลงไป ปกติการออกแบบวงจรเรียงกระแสจะยอมมีค่าแรงดันกระเพื่อมไม่เกิน 10% ของค่าแรงดันเอาต์พุท ค่าของตัวเก็บประจุกรองกระแส C สามารถคำนวณได้จาก

$$C = \frac{I_e \Delta t}{\Delta V_{ripple}} \quad (3.3)$$

เมื่อ I_e คือ ค่ากระแสประสิทธิผลของวงจรเรียงกระแส
 Δt คือ ช่วงเวลาที่ตัวเก็บประจุใช้ในการคายประจุ
 ΔV_{ripple} คือ ค่ายอดถึงยอดของแรงดันกระเพื่อม

3.2.2.3 ช่วงเวลาโฮลด์อัฟ (Holdup Time)

ช่วงเวลาโฮลด์อัฟ เป็นช่วงเวลาที่วงจรสวิตซ์ยังสามารถคงค่าแรงดันเอาต์พุทได้ตามปกติที่โหลดสูงสุด เมื่อมีการหยุดจ่ายแรงดันไฟสลับหรือค่าแรงดันไฟสลับมีค่าต่ำกว่ากำหนดและเพื่อให้วงจรสวิตซ์นี้มีค่าเวลาโฮลด์อัฟ ตัวเก็บประจุที่ใช้จะต้องมีค่ามากพอที่จะจ่ายกระแสให้กับคอนเวอเตอร์เมื่อมีการหยุดจ่ายแรงดันไฟสลับ

3.2.2.4 อัตราทนแรงดัน (Voltage Rating)

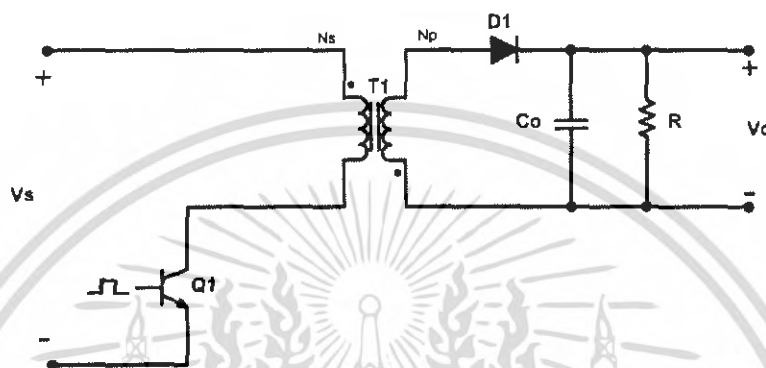
ตัวเก็บประจุกรองกระแสต้องทนแรงดันได้อย่างต่ำที่ค่าแรงดันไฟตรงเอาต์พุทของวงจรเรียงกระแส แต่เพื่อความปลอดภัยควรเผื่ออัตราทนแรงดันไว้อย่างน้อยที่ค่าแรงดันไฟตรงสูงสุดที่เป็นไปได้ของคอนเวอเตอร์ เช่น ถ้าแรงดันไฟสลับอินพุทมีค่าอยู่ในช่วง 187 ถึง 264 โวลต์ควรมีอัตราทนแรงดันอย่างต่ำที่ 400 โวลต์

3.3 วงจรแปลงผันไฟฟ้ากระแสตรงเป็นกระแสตรง (DC-DC Converter)

วงจรคอนเวอเตอร์นับว่าเป็นส่วนวงจรที่สำคัญที่สุด ซึ่งมีหน้าที่แปลงผันระดับของกระแสหรือแรงดันไฟฟ้าออกให้มีค่าเป็นไปตามสัญญาณที่ควบคุม วงจรแปลงผันไฟฟ้ากระแสตรงเป็นกระแสตรง (DC-DC Converter) มีหลายแบบ แต่ละแบบจะมีลักษณะสมบัติที่แตกต่างกันทั้งในแง่ของอัตราการแปลงผันแรงดัน (V_o/V_i) ความต่อเนื่องของกระแสต้านเข้าและต้านออก ความสามารถในการกลับทิศทางของแรงดันออก ตลอดจนความยากง่ายในการใช้วงจรดังกล่าว เอกสารนี้เป็นเอกสารที่สงวนไว้สำหรับการใช้งานเพื่อการศึกษาเท่านั้น ไม่นอนุญาตให้นำไปใช้ประโยชน์ด้านการค้าไม่ว่ากรณีใดๆ ทั้งสิ้น อีกทั้งห้ามมิให้ดัดแปลงเนื้อหา และต้องอ้างอิงถึงเจ้าของเอกสารทุกครั้งที่มีการนำไปใช้

สำหรับทิศทางการไหลของกระแสและพลังงานนั้น จะขึ้นอยู่กับชนิดและลักษณะการทำงานของ สวิตช์ที่ใช้ในวงจร ในปัจจุบันนี้ได้มีการค้นคิดรูปแบบของวงจรแปลงผันไฟฟ้ากระแสตรงเป็น กระแสตรงเพิ่มขึ้นเรื่อยๆ แต่วงจรแปลงผันไฟฟ้ากระแสตรงเป็นกระแสตรงพื้นฐานที่เป็นที่รู้จัก กันแพร่หลายจะมีเพียงไม่กี่วงจรเท่านั้น ซึ่งมีรูปแบบของวงจรและมีข้อดีข้อเสียแตกต่างกันไป ดังรายละเอียดต่อไปนี้

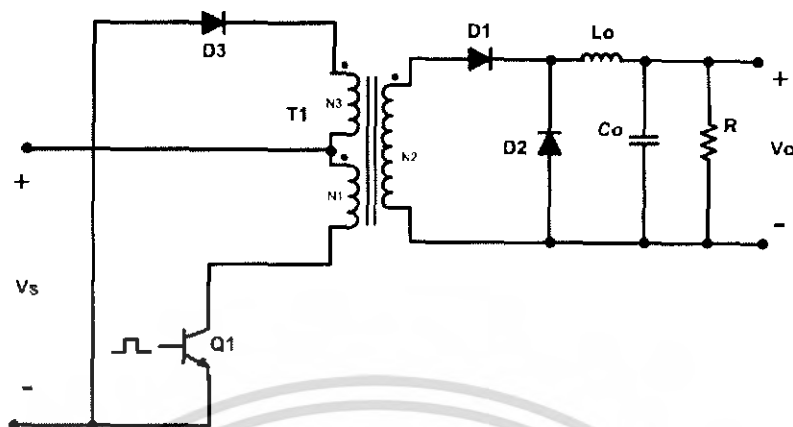
3.3.1 ฟลายแบคคอนเวอร์เตอร์ (Flyback Converter)



รูปที่ 3.3 ฟลายแบคคอนเวอร์เตอร์ (Flyback Converter)

จากรูปที่ 3.3 เพาเวอร์ทรานซิสเตอร์ Q1 ในฟลายแบคคอนเวอร์เตอร์จะทำงานใน ลักษณะเป็นสวิตช์ปิดเปิดและจะนำกระแสตามคำสั่งของสัญญาณพัลส์สี่เหลี่ยมที่ป้อนให้กับขา เบส เนื่องจากหม้อแปลง T1 จะกำหนดขดไฟโรมารี่ และเซคันดารีให้มีลักษณะกลับเฟสกันอยู่ ดังนั้นเมื่อ Q1 นำกระแสไดโอด D1 จะอยู่ในลักษณะถูกไบแอสกลับและไม่นำกระแส ทำให้มีการ สะสมพลังงานที่ขดไฟโรมารี่ของหม้อแปลง T1 แทน เมื่อ Q1 หยุดนำกระแส สนามแม่เหล็ก T1 ยุบตัวทำให้เกิดการกลับขั้วแรงดันที่ขดไฟโรมารี่และเซคันดารี D1 ก็จะถูกไบแอส ตรง พลังงานที่สะสมในขดไฟโรมารี่ของหม้อแปลงก็จะถูกถ่ายเทออกไปยังขดเซคันดารี และมี กระแสไหลผ่านไดโอด D1 ไปยังตัวเก็บประจุเอาท์พุท Co เพื่อทำการสะสมประจุ ฟลาย แบคคอนเวอร์เตอร์เป็นคอนเวอร์เตอร์ที่ให้กำลังงานได้ไม่สูงนัก โดยอยู่ในช่วงไม่เกิน 150 วัตต์ และให้ค่าสัญญาณรบกวน RF/EMI ก่อนข้างสูง แต่ใช้อุปกรณ์จำนวนน้อยและมีราคาถูก

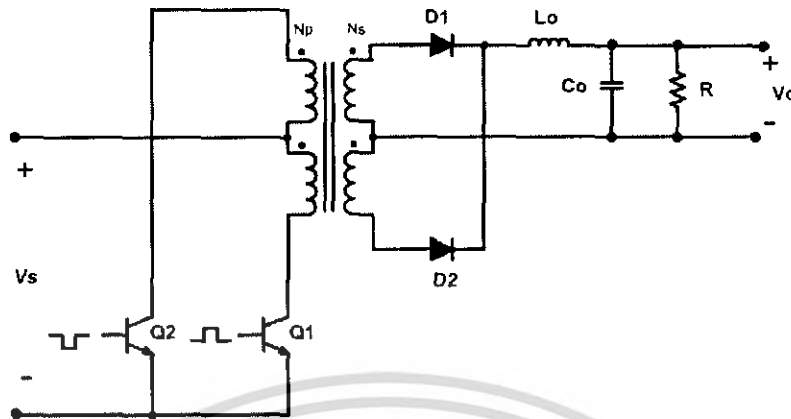
3.3.2 ฟอว์เวิร์ดคอนเวอร์เตอร์ (Forward Converter)



รูปที่ 3.4 ฟอว์เวิร์ดคอนเวอร์เตอร์ (Forward Converter)

ในรูปที่ 3.4 จะเห็นได้ว่าฟอว์เวิร์ดคอนเวอร์เตอร์มีลักษณะใกล้เคียงกับฟลายแบคคอนเวอร์เตอร์ แต่หม้อแปลง T1 ในฟอว์เวิร์ดคอนเวอร์เตอร์จะกำหนดไพรมารีและเซคันดารีให้มีเฟสตรงกัน ดังนั้นเมื่อ Q1 นำกระแส ไดโอด D1 จะอยู่ในลักษณะถูกไบแอสตรง แต่ D2 จะอยู่ในลักษณะถูกไบแอสกลับและไม่นำกระแส กระแสจึงไหลผ่านไดโอด D1 และตัวเหนี่ยวนำ L_o ไปยังตัวเก็บประจุเอาต์พุต C_o และไหลได้ขณะที่มีกระแสไหลผ่าน L_o จะมีการสะสมพลังงานไว้ในตัวมันด้วยเมื่อ Q1 หยุดนำกระแสไดโอด D1 จะอยู่ในลักษณะถูกไบแอสกลับ ทำให้ไม่มีกระแสไหลจากเซคันดารี สนามแม่เหล็กใน L_o จะยุบตัวทำให้มีการกลับขั้วแรงดันที่ตกคร่อมตัวมันอยู่ ทำให้กระแสไหลผ่านไดโอด D2 ออกไปยังโหลดได้ จะเห็นได้ว่ามีกระแสไหลผ่านโหลดได้อย่างต่อเนื่องทั้งในช่วงที่ Q1 นำกระแสและหยุดนำกระแส ทำให้มีการกระเพื่อมของแรงดันที่เอาต์พุตต่ำกว่าฟลายแบคคอนเวอร์เตอร์ ฟอว์เวิร์ดคอนเวอร์เตอร์ให้กำลังงานได้ในช่วงเดียวกันกับฟลายแบคคอนเวอร์เตอร์ แต่กระแสที่ได้จะมีการกระเพื่อมต่ำกว่า อย่างไรก็ตาม ตัวอุปกรณ์ที่เพิ่มเข้ามาจะทำให้ฟอว์เวิร์ดคอนเวอร์เตอร์นั้นมีราคาสูงกว่า

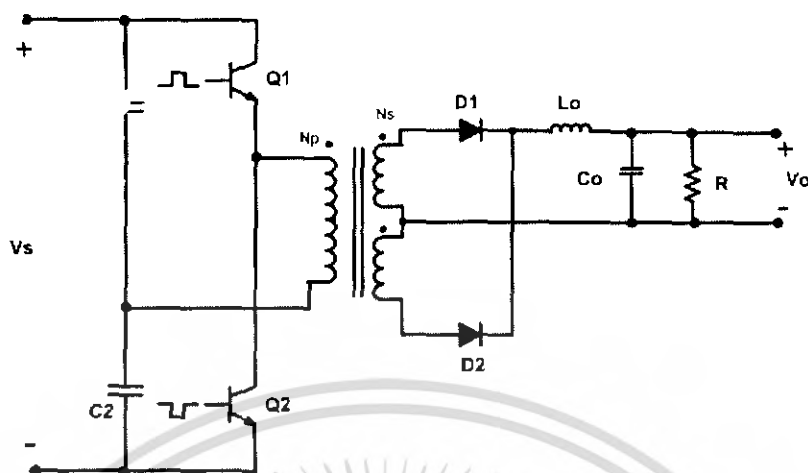
3.3.3 พุช-พูลคอนเวอร์เตอร์ (Push-Pull Converter)



รูปที่ 3.5 พุช-พูลคอนเวอร์เตอร์ (Push-Pull Converter)

พุช-พูลคอนเวอร์เตอร์ เป็นคอนเวอร์เตอร์ที่สามารถจ่ายกำลังงานได้สูงตั้งแต่ 500 วัตต์ขึ้นไปแต่มีข้อเสีย คือ มักจะเกิดการไม่สมมาตรของฟลักซ์แม่เหล็กของแกนหม้อแปลงซึ่งจะมีผลต่อการพังเสียหายของเพาเวอร์ทรานซิสเตอร์ได้ง่าย อย่างไรก็ตาม ในปัจจุบันก็มีเทคนิคการควบคุมแบบควบคุมกระแสจะทำให้ลดปัญหานี้ลงได้ ดังนั้น พุช-พูลคอนเวอร์เตอร์จึงเป็นคอนเวอร์เตอร์ที่น่าสนใจสำหรับวงจรสวิตช์ที่ต้องการกำลังงานสูงๆ จากรูปที่ 3.5 Q1 และ Q2 จะกลับกันนำกระแสในแต่ละครึ่งคาบเวลาการทำงานเมื่อ Q1 นำกระแส D1 จะอยู่ในลักษณะถูกไบแอสกลับ แต่ D2 จะอยู่ในลักษณะถูกไบแอสตรงและนำกระแสผ่าน L_o ไปยังโหลด แต่เมื่อ Q2 นำกระแส D1 จะอยู่ในลักษณะถูกไบแอสตรง แต่ D2 จะอยู่ในลักษณะถูกไบแอสกลับและนำกระแสผ่าน L_o ไปยังโหลดเช่นเดียวกัน ดังนั้นโหลดจึงมีกระแสไหลต่อเนื่องได้ตลอดเวลา กระแสที่ได้ทางเอาต์พุตจึงค่อนข้างเรียบ อย่างไรก็ตาม เพาเวอร์ทรานซิสเตอร์ที่เพิ่มเข้ามาจะมีผลต่อค่าใช้จ่ายในการสร้างพุช-พูลคอนเวอร์เตอร์เช่นกัน

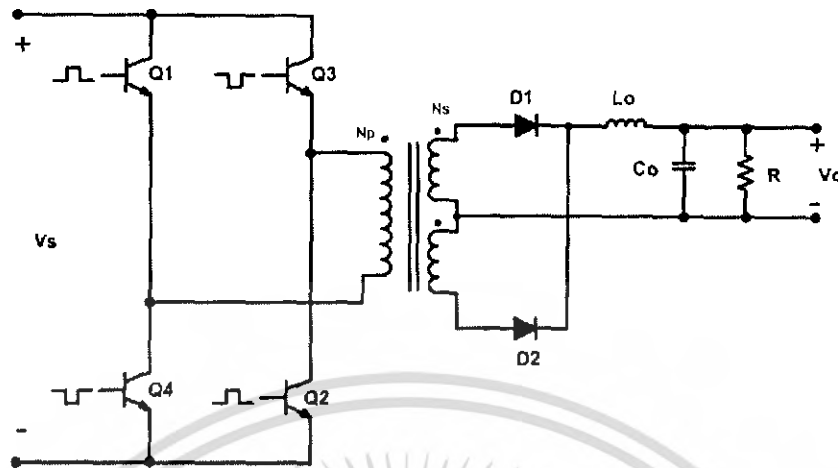
3.3.4 ฮาล์ฟบริดจ์คอนเวอร์เตอร์ (Half-bridge Converter)



รูปที่ 3.6 ฮาล์ฟบริดจ์คอนเวอร์เตอร์ (Half-bridge Converter)

ฮาล์ฟบริดจ์คอนเวอร์เตอร์จัดเป็นคอนเวอร์เตอร์ในตระกูลเดียวกับพุ่ม-พูลคอนเวอร์เตอร์ และให้กำลังงานได้ค่อนข้างสูง ข้อดีของฮาล์ฟบริดจ์คอนเวอร์เตอร์ ก็คือ เพาเวอร์ทรานซิสเตอร์ในวงจรมีค่าแรงดันตกคร่อมขณะนำกระแส น้อยกว่าคอนเวอร์เตอร์ทั้ง 3 แบบที่ได้กล่าวมาแล้ว และลดการเกิดไม่สมมาตรฟลักซ์ได้ จากรูปที่ 3.6 จะเห็นได้ว่าหากเพาเวอร์ทรานซิสเตอร์ตัวใดตัวหนึ่งนำกระแส ค่าแรงดันตกคร่อมเพาเวอร์ทรานซิสเตอร์ตัวที่เหลือจะมีค่าเพียงแรงดันอินพุตเท่านั้น เมื่อ Q1 และ Q2 สลับกันนำกระแส ผลที่ได้จะมีลักษณะเดียวกับการทำงานของพุ่ม-พูลคอนเวอร์เตอร์ ยกเว้นค่าแรงดันตกคร่อมขณะทำงานของขดไพรมารีจะมีค่าเพียงครึ่งหนึ่งของแรงดันที่อินพุต เนื่องจากผลของการต่อตัวเก็บประจุ C1 และ C2 เพื่อแบ่งครึ่งแรงดัน กระแสที่ไหลผ่านขดไพรมารีจึงมีค่าสูง ซึ่งเป็นการจำกัดกำลังงานสูงสุดของคอนเวอร์เตอร์ โดยกำลังสูงสุดที่ฮาล์ฟบริดจ์คอนเวอร์เตอร์สามารถทำได้จะอยู่ในช่วงไม่เกิน 500 วัตต์

3.3.5 ฟูลบริดจ์คอนเวอร์เตอร์ (Full-bridge Converter)



รูปที่ 3.7 ฟูลบริดจ์คอนเวอร์เตอร์ (Full-bridge Converter)

จากรูปที่ 3.7 จะเห็นได้ว่ามีเพาเวอร์ทรานซิสเตอร์ในวงจรทั้งหมดถึง 4 ตัว แต่จะทำงานสลับกันเป็นคู่ๆ โดย Q1 จะนำกระแสพร้อมกับ Q2 และ Q3 จะนำกระแสพร้อมกับ Q4 กระแสที่ไหลผ่านขดไฟโรมารี่ของหม้อแปลงจะมีลักษณะเช่นเดียวกับฮาล์ฟบริดจ์คอนเวอร์เตอร์ แต่ข้อได้เปรียบของฟูลบริดจ์คอนเวอร์เตอร์ก็คือขณะทำงานที่ขดไฟโรมารี่จะมีแรงดันตกคร่อมเท่ากับค่าแรงดันอินพุทของกระแสที่ไหลผ่านขดไฟโรมารี่จึงมีค่าต่ำกว่า ฟูลบริดจ์คอนเวอร์เตอร์สามารถจ่ายกำลังงานได้สูงกว่า ดังนั้นวงจรสวิตชิงที่ต้องการกำลังงานสูงๆ มักนิยมใช้คอนเวอร์เตอร์แบบฟูลบริดจ์เป็นหลัก

3.4 การเลือกแหล่งจ่ายกำลังไฟฟ้าแบบสวิตชิงสำหรับเครื่องตัดโลหะแบบพลาสมา

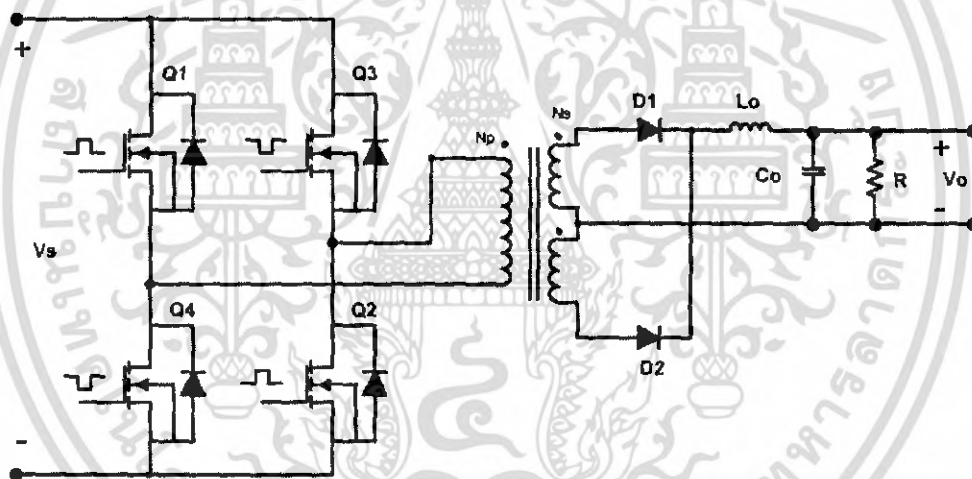
เนื่องจากข้อกำหนดในเรื่องพิกัดกำลังทางด้านออกของแหล่งจ่ายกำลังไฟฟ้าแบบสวิตชิงสำหรับเครื่องตัดโลหะแบบพลาสมามีค่าประมาณ 3,000 วัตต์ ซึ่งถือเป็นกำลังขาออกที่ค่อนข้างสูงพอสมควรดังนั้นผู้จัดทำจึงเลือก วงจรแปลงผันไฟฟ้ากระแสตรงเป็นกระแสตรงแบบฟูลบริดจ์คอนเวอร์เตอร์ (Full-Bridge Converter) มาใช้ในแหล่งจ่ายกำลังไฟฟ้าแบบสวิตชิง วงจรที่เลือกนำมาใช้นั้น มีความจำเป็นต้องใช้อุปกรณ์สวิตชิงทั้งหมดด้วยกัน 4 ตัว สำหรับตัวสวิตชิงที่จะนำมาใช้อาจเป็นเพาเวอร์ทรานซิสเตอร์หรือมอสเฟตก็ได้ แต่สำหรับงานส่วนนี้ได้ทำการเลือกใช้มอสเฟตกำลังทำหน้าที่เป็นตัวสวิตชิงในวงจรดังกล่าว การเลือกใช้ตัวสวิตชิงถึง 4 ตัวหรือหากต้องการกระแสมากขึ้นอีกก็สามารถทำการต้องขนาดสวิตชิงเข้าไปได้อีกด้วย เช่น สวิตชิง 1 ตัวประกอบไปด้วยอุปกรณ์สวิตชิงขนาดกัน 2 ตัว แต่การใช้ตัวสวิตชิงจำนวนมากๆ ก็อาจทำให้ต้องมีการเพิ่มจำนวนของวงจรขั้วนำกระแสเพิ่มมากขึ้น ทำให้ราคาโดยรวมของระบบอาจจะสูงขึ้นอีก แต่อย่างไรก็ดีของฟูลบริดจ์คอนเวอร์เตอร์นี้เหมาะสมที่จะประยุกต์ใช้งานกับวงจรแปลงผันไฟฟ้ากระแสตรงเป็นกระแสตรงที่ต้องการพิกัดกำลังใช้งานค่อนข้างสูงและ

เอกสารนี้เป็นเอกสารที่สงวนไว้สำหรับการใช้งานเพื่อการศึกษาเท่านั้น ไม่อนุญาตให้เผยแพร่หรือใช้ข้อมูลใดๆ ในการค้า
ไม่ว่ากรณีใดๆ ทั้งสิ้น อีกทั้งห้ามมิให้ดัดแปลงเนื้อหา และต้องอ้างอิงถึงเจ้าของเอกสารทุกครั้งที่มีการนำไปใช้

นอกจากนั้นข้อดีของฟูลบริดจ์คอนเวอร์เตอร์ที่น่าสนใจ คือในการออกแบบหม้อแปลงสำหรับการนำไปใช้งานกับวงจรฟูลบริดจ์คอนเวอร์เตอร์ต้องการขดลวดปฐมภูมิเพียงชุดเดียว ส่วนแรงดันที่ตกคร่อมขดลวดของหม้อแปลงทางด้านปฐมภูมิจะมีค่าไม่เกินค่ายอดของแรงดันไฟฟ้ากระแสสลับของแรงดันขาเข้า หรือไม่เกินแรงดันไฟฟ้ากระแสตรงเฉลี่ยที่ป้อนเข้าสู่วงจรฟูลบริดจ์คอนเวอร์เตอร์ ซึ่งประมาณ +310 โวลต์และ -310 โวลต์ ตัวสวิตช์ที่ใช้ในฟูลบริดจ์คอนเวอร์เตอร์นี้ จะทำงานในระดับแรงดันที่ไม่เกินค่ายอดของแรงดันไฟตรง ซึ่งประมาณ 310 โวลต์ ทำให้สามารถเลือกหาซื้อได้ง่ายในท้องตลาด ซึ่งทั้งกระแสผ่านสวิตช์จะต่ำกว่าเมื่อเปรียบเทียบกับวงจรแปลงผันไฟตรง-ไฟตรงแบบอื่นๆ ที่พิกัดกำลังเท่ากัน

สาเหตุที่เลือกใช้มอสเฟตกำลังเป็นตัวสวิตช์ในวงจรฟูลบริดจ์คอนเวอร์เตอร์มีดังนี้

- การขับนำกระแสของมอสเฟตจะทำได้ง่ายกว่าการขับนำสวิตช์ที่เป็นทรานซิสเตอร์
- มอสเฟตกำลังสามารถทำงานที่ความถี่สูงกว่าทรานซิสเตอร์
- มอสเฟตกำลัง มีความเร็วในการสวิตช์สูง ทำให้สามารถลดเวลา Dead Time ที่ใช้ป้องกันการลัดวงจรไฟฟ้าผ่านสวิตช์ในกึ่งเดียวกัน



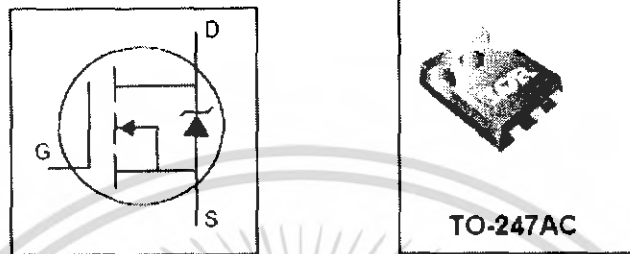
รูปที่ 3.8 วงจรฟูลบริดจ์คอนเวอร์เตอร์โดยมีมอสเฟตกำลังเป็นตัวสวิตช์

มอสเฟตกำลัง

มอสเฟตกำลังสามารถทำงานได้ดีที่ความถี่สูงตั้งแต่ 50 กิโลเฮิร์ตไปจนถึง 400 กิโลเฮิร์ต เนื่องจากมันใช้เวลาในการเปลี่ยนสถานะค่อนข้างสั้น ซึ่งจะเป็นผลดีในการลดขนาดของคอนเวอร์เตอร์ ในปัจจุบันมอสเฟตกำลังมีค่าพิกัดการทำงานของแรงดันไฟฟ้าได้มากกว่า 1,000 โวลต์ แต่มีพิกัดกระแสไฟฟ้าได้ไม่เกิน 100 แอมป์ ในส่วนวงจรขับของมอสเฟตกำลังนั้นสามารถทำได้ง่าย โดยอาจขับได้จากไอซีควบคุมแบบพัลส์วิดมอดดูเลชัน โครงสร้างของมอสเฟตกำลังที่จะใช้ในวงจรคอนเวอร์เตอร์มีทั้งแบบ N-Ch และแบบ P-Ch ทำงานในลักษณะพุช-พูล หรือทำงานเพียงตัวเดียว ซึ่งโดยส่วนมากจะใช้ N-Ch เพราะสามารถทำงานได้ที่ความถี่

เอกสารนี้เป็นเอกสารที่สงวนไว้สำหรับการใช้งานเพื่อการศึกษาเท่านั้น ไม่อนุญาตให้นำไปใช้ประโยชน์ด้านการค้าไม่ว่ากรณีใดๆ ทั้งสิ้น อีกทั้งห้ามมิให้ตัดแปลงเนื้อหา และต้องอ้างอิงถึงเจ้าของเอกสารทุกครั้งที่มีการนำไปใช้

สูงกว่าแบบ P-Ch กำลังสูญเสียที่เกิดขึ้นกับมอสเฟตกำลังขณะทำงาน จะเป็นไปได้ทั้งในขณะที่ เปลี่ยนสถานะและกำลังสูญเสียขณะนำกระแสแต่มอสเฟตกำลังจะมีช่วงเวลาเริ่มนำกระแส และ ช่วงเวลาที่เริ่มหยุดนำกระแสที่สั้นกว่าเพาเวอร์ทรานซิสเตอร์มาก เพราะมอสเฟตกำลังจะไม่มี ประจุสะสมเกิดขึ้น แต่มอสเฟตกำลังจะมีค่าความต้านทานขณะนำกระแสสูงมาก จึงมีการ สูญเสียสูงกว่าเพาเวอร์ทรานซิสเตอร์มาก



รูปที่ 3.9 มอสเฟตกำลัง

การเลือกขนาดของมอสเฟตด้วยวิธีการหากระแสพิคก์ที่จะใช้ในวงจรจากสมการที่ 3.4 โดยจะต้องนำไปเลือกหาขนาดมอสเฟตที่เหมาะสมหากไม่สามารถหาได้ ก็สามารถทำการขนาน มอสเฟตเข้าไปเพื่อเพิ่มพิคก์กระแสได้เช่นกัน

$$I_p = \frac{P_{in}}{T_d V_{in}} \quad (3.4)$$

โดยที่ I_p = กระแสพิคก์ที่ใช้เลือกมอสเฟต
 P_{in} = กำลังไฟฟ้าต้านเข้า
 T_d = Temperature Derating (0.8)
 V_{in} = แรงดันไฟฟ้าต้านเข้า

3.5 คอนเวอร์เตอร์ฟูลบริดจ์แบบสวิตชิงขณะแรงดันไฟฟ้าเป็นศูนย์

(Full-Bridge Zero Voltage Switching PWM Converter; ZVS-PWM)

แหล่งจ่ายไฟแบบสวิตชิงโดยทั่วไปจะใช้หลักการพัลส์วิตช์มอดูเลต ซึ่งมีโครงสร้างของ วงจรที่ง่าย ราคาถูก การควบคุมไม่ยาก แต่เมื่อความถี่สูงขึ้น คุณสมบัติเฉพาะของอุปกรณ์ (Parasitic Element) มีผลขึ้นอย่างชัดเจน เช่น ตัวเก็บประจุต้านเอาร์พุกของมอสเฟต ความ เหนียวนำรั่วไหลของหม้อแปลงหรือความเก็บประจุที่รอยต่อของไดโอดในวงจรเรียงกระแส เป็น ต้น ทำให้เกิดความสูญเสียในขณะสวิตชิง (Switching Loss) มากขึ้น เนื่องจากผลของ dv/dt และ di/dt ความสูญเสีย ขณะสวิตชิงจะยิ่งมากขึ้นเมื่อความถี่สูงขึ้น แต่คอนเวอร์เตอร์แบบบริ โชแนนท์จะลดความสูญเสียขณะสวิตชิง โดยมีอุปกรณ์ประกอบ LC ทำให้เกิดสัญญาณคลื่นไซน์

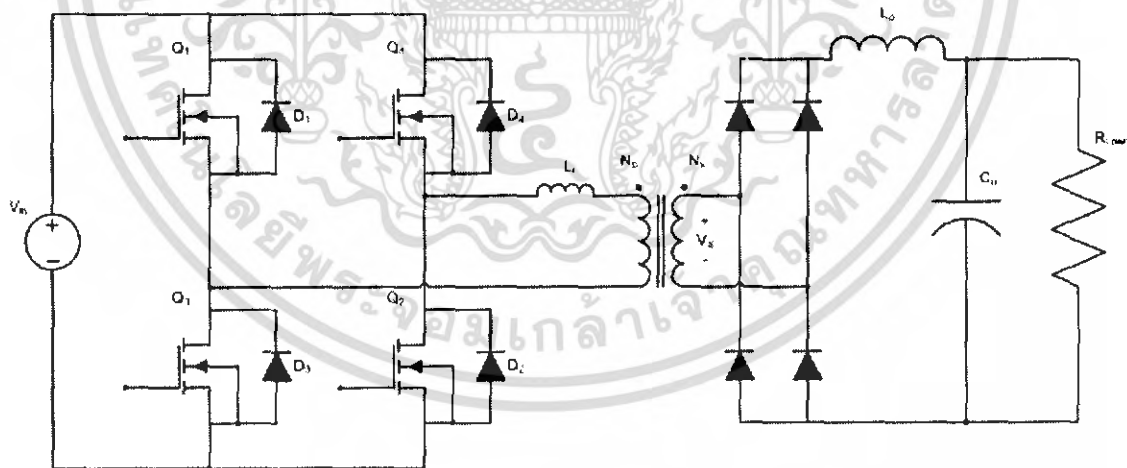
เอกสารนี้เป็นทรัพย์สินทางปัญญาของสถาบันวิจัยและพัฒนาพลังงานทดแทนชีวมวล มหาวิทยาลัยเทคโนโลยีพระจอมเกล้าเจ้าคุณทหารลาดกระบัง
 ไม่ว่ากรณีใดๆ ทั้งสิ้น อีกทั้งห้ามมิให้คัดแปลงเนื้อหา และต้องอ้างอิงถึงเจ้าของเอกสารทุกครั้งที่มีการนำไปใช้

และสามารถทำให้เกิดสภาวะสวิตช์ที่แรงดันเป็นศูนย์ (Resonant Zero Voltage Switching) หรือ สวิตช์ที่กระแสเป็นศูนย์ (Resonant Zero Current Switching) ช่วยลดการสูญเสียขณะสวิตช์ ลดแรงดันเกิน (Surge Voltage) และกระแสกระชาก (Inrush Current) ทำให้ทำงานในสภาวะความถี่สูงได้ เป็นผลให้มีขนาดเล็กลง และกำลังต่อหน่วย (Power Density) มีค่าสูง แต่มีข้อเสียที่ต้องใช้อุปกรณ์ที่มีแรงดันสูงเนื่องจากสภาวะเรโซแนนท์ และใช้วงจรควบคุมที่มีความยุ่งยากมาก เพราะช่วงความถี่ในการควบคุมกว้าง แล้วยังยุ่งยากต่อการออกแบบวงจรกรองแรงดัน

จากข้อดีและข้อเสียของพัลส์สวิตช์มอดูเลต และเรโซแนนท์ ทั้งสองหลักการทำให้เกิดการสวิตช์ที่แรงดันศูนย์ด้วยพัลส์สวิตช์มอดูเลตโดยใช้โครงสร้างของคอนเวอร์เตอร์ฟูลบริดจ์ควบคุมโดยการเลื่อนเฟสความถี่คงที่ เป็นคอนเวอร์เตอร์พัลส์สวิตช์มอดูเลตสวิตช์ที่แรงดันศูนย์โดยฟูลบริดจ์ (Full-Bridge Zero Voltage Switch PWM Converter)

3.5.1 โครงสร้างของวงจรหลัก

ใช้โครงสร้างของวงจรฟูลบริดจ์มีมอสเฟตเป็นสวิตช์ ($Q_1 - Q_2$) เพื่อเปลี่ยนแรงดันกระแสตรงขาเข้า (V_m) เป็นแรงดันกระแสสลับความถี่สูง (f_s) จ่ายให้หม้อแปลงเพื่อปรับแรงดัน มีความเหนี่ยวนำเรโซแนนท์ (L_r) ต่ออนุกรมกับขดลวดปฐมภูมิ ด้านทุติยภูมิเรียงกระแสด้วยวงจรบริดจ์ไดโอด แล้วมีความเหนี่ยวนำ (L_r) และความเก็บประจุ (C_r) เป็นวงจรกรองแรงดัน มีความต้านทาน (R_{load}) เป็นภาระ ส่วนไดโอด $D_1 - D_2$ เป็นไดโอดภายในมอสเฟต (Internal anti-parallel diodes) แสดงดังรูปที่ 3.10



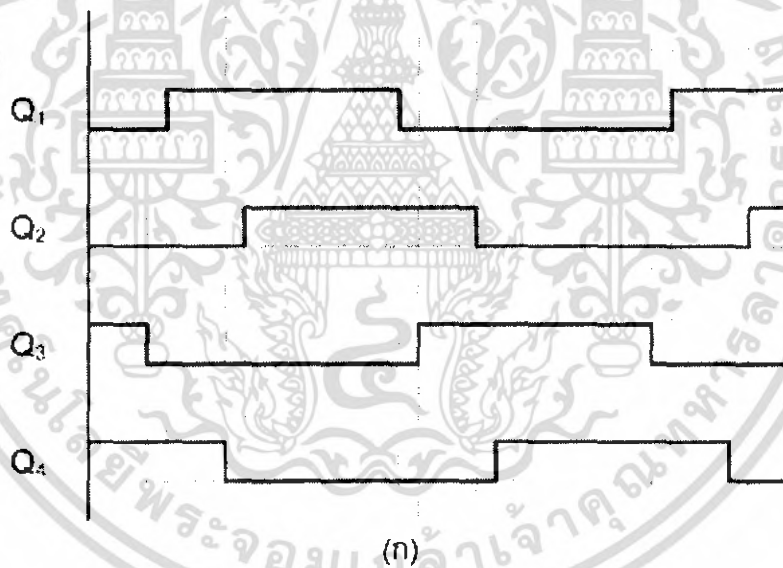
รูปที่ 3.10 วงจรหลักคอนเวอร์เตอร์พัลส์สวิตช์มอดูเลตสวิตช์ที่แรงดันศูนย์แบบฟูลบริดจ์

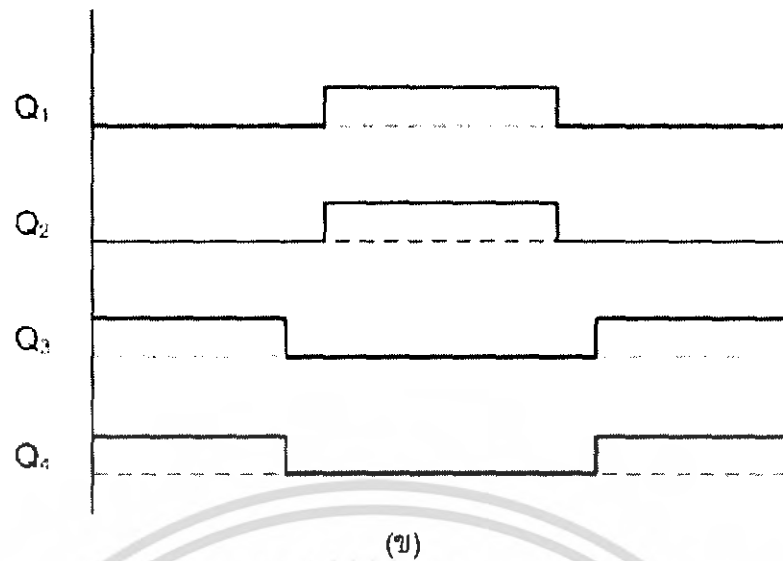
เอกสารนี้เป็นเอกสารที่สงวนไว้สำหรับการใช้งานเพื่อการศึกษาเท่านั้น ไม่อนุญาตให้นำไปใช้ประโยชน์ด้านการค้าไม่ว่ากรณีใดๆ ทั้งสิ้น อีกทั้งห้ามมิให้ดัดแปลงเนื้อหา และต้องอ้างอิงถึงเจ้าของเอกสารทุกครั้งที่มีการนำไปใช้

3.5.2 โครงสร้างของวงจรเลื่อนเฟส

ในการควบคุมคอนเวอร์เตอร์ฟูลบริดจ์ให้เกิดสภาวะสวิตช์ที่แรงดันศูนย์นั้นมีความแตกต่างจากการควบคุมคอนเวอร์เตอร์ฟูลบริดจ์แบบพัลส์วิดท์มอดูเลตแบบธรรมดา แต่ยังคงใช้หลักการพัลส์วิดท์มอดูเลตเหมือนกัน ในหัวข้อนี้จะขอกล่าวถึงการควบคุมคอนเวอร์เตอร์ฟูลบริดจ์แบบพัลส์วิดท์มอดูเลตธรรมดา ก่อน เพื่อเปรียบเทียบกับ การควบคุมคอนเวอร์เตอร์ฟูลบริดจ์แบบให้เกิดสภาวะสวิตช์ที่แรงดันศูนย์ แล้วนำเสนอวงจรเลื่อนเฟสในตอนท้าย

การควบคุมคอนเวอร์เตอร์ฟูลบริดจ์แบบพัลส์วิดท์มอดูเลตธรรมดา จากโครงสร้างวงจรในรูปที่ 3.10 จะควบคุมให้ Q_1 และ Q_2 ทำงานพร้อมกัน แล้วในสภาวะต่อมา ก็จะควบคุมให้ Q_3 และ Q_4 ทำงานพร้อมกัน ดังแสดงการทำงานในรูปที่ 3.11 (ก) แต่การควบคุมคอนเวอร์เตอร์ฟูลบริดจ์แบบให้เกิดสภาวะสวิตช์ที่แรงดันศูนย์นั้น Q_1 , Q_2 , Q_3 และ Q_4 ทำงานไม่พร้อมกัน แต่ยังคงรักษาช่วงเวลาการส่งผ่านพลังงานเช่นเดียวกับแบบธรรมดา ที่อยู่ในช่วง Q_1 และ Q_2 ทำงานพร้อมกันในสภาวะต่อมาในช่วง Q_3 และ Q_4 ทำงานพร้อมกันดังแสดงในรูปที่ 3.11 (ข) โดยสัญญาณดังรูปนี้สามารถสร้างขึ้นจากการนำสัญญาณวงจรควบคุมแบบพัลส์วิดท์มอดูเลตที่สร้างจากไมโครคอนโทรลเลอร์มาใช้





รูปที่ 3.11 สัญญาณการควบคุมการทำงานของมอสเฟต

(ก) แบบพัลส์สวิตช์มอดูเลตแบบธรรมดา

(ข) แบบทำให้เกิดสภาวะสวิตช์ที่แรงดันศูนย์

การทำงานของวงจรเลื่อนเฟส โดยรับสัญญาณจากวงจรควบคุมซึ่งใช้หลักการพัลส์สวิตช์มอดูเลต เราสามารถทำได้โดยการเขียนโปรแกรมลงในไมโครคอนโทรลเลอร์เพื่อส่งสัญญาณขับออกมาจากเอาต์พุตแล้วนำไปเข้าสู่ชุดแยกกราวทางไฟฟ้าต่อไป

3.5.3 สภาวะการสวิตช์ที่แรงดันศูนย์

คอนเวอร์เตอร์พัลส์สวิตช์มอดูเลตสวิตช์ที่แรงดันไฟฟ้าศูนย์มีสัญญาณขับขาเกด แรงดันและกระแสปฐมภูมิและแรงดันทุติยภูมิ ตามรูปที่ 3.12 ซึ่งการขับขาเกดจะเลื่อนเฟสให้ต่างกันระหว่างข้างซ้ายและข้างขวา ตามดิวตี้ไซเคิล (Duty Cycle, D) การปิดสวิตช์ที่แรงดันศูนย์จะต้องใช้พลังงานสะสมจากความเหนี่ยวนำเรโซแนนท์ ซึ่งอยู่ในสภาวะกระแสต่อเนื่อง ในการวิเคราะห์จะนำค่าคุณสมบัติเฉพาะของอุปกรณ์มาคิดด้วยเช่น ความเก็บประจุด้านเอาต์พุตของมอสเฟต จะอธิบายเป็นสภาวะตามลำดับ ดังต่อไปนี้

สภาวะที่ 1 ($t_1' - t_2$) : Q_4 และ D_1 นำกระแส ลूपกระแสเนื่องจากการเหนี่ยวนำเรโซแนนท์ ไหลผ่านหม้อแปลง

สภาวะที่ 2 ($t_2 - t_2'$) : เมื่อเวลา $t = t_2$, Q_4 เปิดวงจร กระแสที่ผ่านความเหนี่ยวนำเรโซแนนท์ ยังคงไหลคายประจุและเก็บประจุ ความเก็บประจุด้านเอาต์พุตของ Q_2 และ Q_4 ทำให้ D_2 ปิดวงจร หลังจาก D_2 นำกระแส Q_2 จะถูกสั่งปิดวงจรในสภาวะไม่มีแรงดันดกคร่อม โดยพลังงานสะสมที่อยู่ในความเหนี่ยวนำเรโซแนนท์ จะต้องมากกว่าพลังงานที่ความเก็บประจุต้องการถึงจะเกิดสภาวะสวิตช์ที่แรงดันศูนย์

เอกสารนี้เป็นเอกสารที่สงวนไว้สำหรับการใช้งานเพื่อการศึกษาเท่านั้น ไม่อนุญาตให้นำไปใช้ประโยชน์ด้านการค้าไม่ว่ากรณีใดๆ ทั้งสิ้น อีกทั้งห้ามมิให้ดัดแปลงเนื้อหา และต้องอ้างอิงถึงเจ้าของเอกสารทุกครั้งที่มีการนำไปใช้

สภาวะที่ 3 ($t'_2 - t_3$) : ไดโอด D_1 และ D_2 นำกระแส และพลังงานในความเหนี่ยวนำ
เรโซแนนซ์ถูกผลักกลับไปยังแหล่งจ่าย แรงดันที่ V_{ds} ยังเป็นศูนย์จนกระทั่ง $t = t_3$ กระแสความ
เหนี่ยวนำเป็นศูนย์ D_1 และ D_2 จึงเปิดวงจร

สภาวะที่ 4 ($t_3 - t_4$) : ที่เวลานี้กระแสไหลผ่าน Q_1 , Q_2 และ L , จากศูนย์ ด้วย
คุณสมบัติความเหนี่ยวนำ

สภาวะที่ 5 ($t_4 - t_5$) : ที่เวลา $t = t_4$ กระแสปฐมภูมิมีค่ามากกว่ากระแสทุติยภูมิ ไดโอด
เรียงกระแส นำกระแสเป็นการส่งพลังงานจากปฐมภูมิไปยังทุติยภูมิ

สภาวะที่ 6 ($t_5 - t'_5$) : ที่เวลา $t = t_5$ สัญญาณควบคุมจะสั่งให้ Q_1 เปิดวงจร แต่
เนื่องจากความเหนี่ยวนำเรโซแนนซ์ จะทำให้กระแายังคงไหลอยู่ผ่าน D_3 และ Q_2 ทำให้ V_{ds}
ของ Q_3 มีค่าเป็นศูนย์ สัญญาณควบคุมจะสั่งให้ Q_3 ปิดวงจร

สภาวะที่ 7 ($t'_5 - t_6$) : กระแสไหลเนื่องจากความเหนี่ยวนำยังคงไหลผ่าน D_3 และ D_2

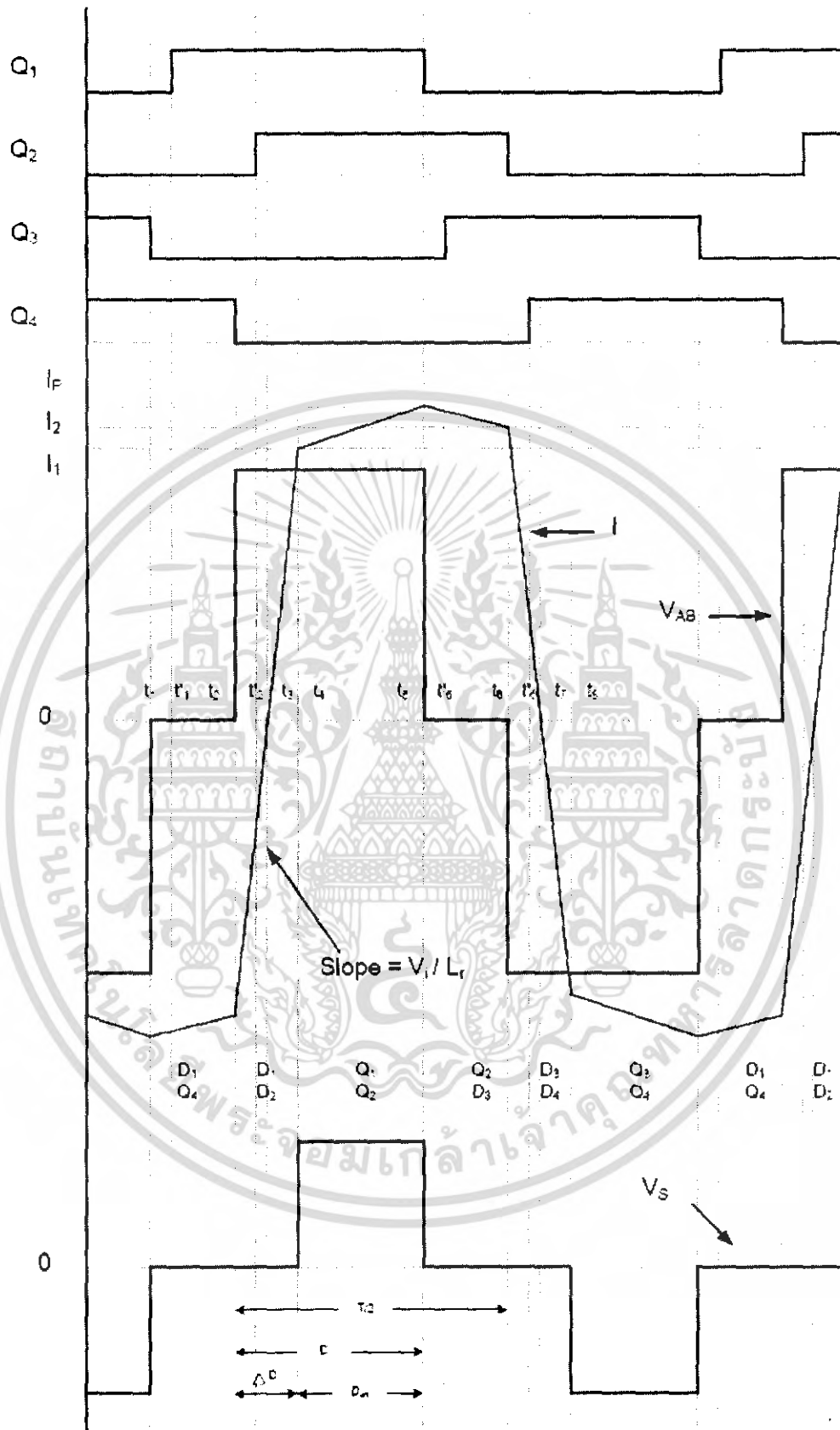
สภาวะที่ 8 ($t_6 - t'_6$) : ที่เวลา $t = t_6$ Q_2 จะถูกสั่งให้เปิดวงจร กระแสจากความ
เหนี่ยวนำจะเก็บประจุของ Q_2 จากศูนย์โวลต์ถึง V_m และคายประจุความเก็บประจุของ Q_4
จาก V_m เป็นศูนย์ที่ $t = t'_6$ D_4 จะนำกระแสและ Q_4 จะถูกสั่งให้ปิดวงจร

สภาวะที่ 9 ($t'_6 - t_7$) : D_3 และ D_4 นำกระแส และกระแสจากความเหนี่ยวนำ
เรโซแนนซ์จะไหลไปยังแหล่งจ่าย เมื่อกระแสเป็นศูนย์ D_3 และ D_4 จะเปิดวงจร

สภาวะที่ 10 ($t_7 - t_8$) : Q_3 และ Q_4 จะนำกระแสขณะแรงดันเป็นศูนย์

สภาวะที่ 11 ($t_8 - t_1$) : ที่ $t = t_8$ กระแสปฐมภูมิมีค่าเท่ากับกระแสทุติยภูมิ

สภาวะที่ 12 ($t_1 - t'_1$) : เป็นการเริ่มด้วย Q_3 สั่งเปิด ความเก็บประจุของ Q_3 และ Q_4
ถูกเก็บประจุและคายประจุจนแรงดันของ Q_1 เป็นศูนย์เป็นเวลาที่ยังสั่งให้ Q_1 ปิดวงจร
ต่อจากนั้นก็กลับไปสู่สภาวะที่ 1 อีกครั้ง



รูปที่ 3.12 รูปสัญญาณการสวิตช์ที่แรงดันศูนย์

เอกสารนี้เป็นเอกสารที่สงวนไว้สำหรับการใช้งานเพื่อการศึกษาเท่านั้น ไม่อนุญาตให้นำไปใช้ประโยชน์ด้านการค้า ไม่ว่าจะกรณีใดๆ ทั้งสิ้น อีกทั้งห้ามมิให้ดัดแปลงเนื้อหา และต้องอ้างอิงถึงเจ้าของเอกสารทุกครั้งที่มีการนำไปใช้

3.5.4 การวิเคราะห์เชิงสมการแต่ละสภาวะการทำงาน

ในสภาวะเรโซแนนท์ Q_2 ปิดวงจรและ Q_4 เปิดวงจร ที่ช่วงเวลา t_2 (หรือ Q_2 เปิดวงจรและ Q_4 ปิดวงจร ที่ช่วงเวลา t_6) ซึ่งพลังงานที่สะสมใน L_r จะต้องมากกว่า ความต้องการพลังงานของความเก็บประจุด้านเอาต์พุตของ Q_2 และ Q_4 (C_{MOS2} และ C_{MOS4}) และความเก็บประจุของหม้อแปลง (C_{TR}) จึงจะเกิดการสวิตช์ที่แรงดันศูนย์

$$E = \frac{1}{2}L_r I_2^2 > \frac{4}{3}C_{MOS}V_{in}^2 + \frac{1}{2}C_{TR}V_{in}^2 \quad (3.5)$$

โดย $C_{MOS1} = C_{MOS2} = C_{MOS3} = C_{MOS4} = C_{MOS}$
 ฉะนั้นค่ากระแสวิกฤตที่เริ่มทำให้เกิดการสวิตช์ที่แรงดันศูนย์

$$\begin{aligned} I_{crit} &= I_2 \\ \frac{1}{2}L_r I_{crit}^2 &= \frac{4}{3}C_{MOS}V_{in}^2 + \frac{1}{2}C_{TR}V_{in}^2 \\ I_{crit}^2 &= \frac{2}{L_r} \left(\frac{4}{3}C_{MOS}V_{in}^2 + \frac{1}{2}C_{TR}V_{in}^2 \right) \\ I_{crit} &= \sqrt{\frac{2}{L_r} \left(\frac{4}{3}C_{MOS}V_{in}^2 + \frac{1}{2}C_{TR}V_{in}^2 \right)} \end{aligned} \quad (3.6)$$

กระแสที่ผ่าน L_r ที่เวลา t_2 หาได้จาก

$$I_2 = \frac{N_s}{N_p} \left(I_{Load} + \frac{\Delta I}{2} - \frac{V_{out}}{L_r} (1-D) \frac{T}{2} \right) \quad (3.7)$$

การสวิตช์ที่แรงดันศูนย์จะเกิดเมื่อ I_2 มากกว่า I_{crit} ฉะนั้น

$$\begin{aligned} I_{crit} &> I_2 \\ &< \frac{N_s}{N_p} \left(I_{Load} + \frac{\Delta I}{2} - \frac{V_{out}}{L_r} (1-D) \frac{T}{2} \right) \\ \frac{N_s}{N_p} I_{crit} &< I_{Load} + \frac{\Delta I}{2} - \frac{V_{out}}{L_r} (1-D) \frac{T}{2} \\ I_{Load} &< \frac{N_s}{N_p} I_{crit} + \frac{\Delta I}{2} - \frac{V_{out}}{L_r} (1-D) \frac{T}{2} \end{aligned} \quad (3.8)$$

อัตราขยายแรงดันของ ZVS-PWM หาได้จาก

เอกสารนี้เป็นเอกสารที่สงวนไว้สำหรับการใช้งานเพื่อการศึกษาเท่านั้น ไม่อนุญาตให้นำไปใช้ประโยชน์ด้านการค้า ไม่ว่ากรณีใดๆ ทั้งสิ้น อีกทั้งห้ามมิให้ตัดแปลงเนื้อหา และต้องอ้างอิงถึงเจ้าของเอกสารทุกครั้งที่มีการนำไปใช้

$$\frac{V_{out}}{V_{in}} = \frac{N_s}{N_p} D_{eff} \quad (3.9)$$

$$D = D_{eff} + \Delta D \quad (3.10)$$

โดยส่วนสูญเสียของตัวตีไซเคิล หาได้จากขอบขาขึ้นและขอบขาลงของกระแสปฐมภูมิ
ในรูปที่ 3.12

$$\Delta D = \frac{I_1 + I_2}{\frac{V_{in}}{L_r} \cdot \frac{T}{2}} \quad (3.11)$$

$$\Delta D = \frac{N_s}{N_p} \left(\frac{2I_{Load}}{\frac{V_{in}}{L_r} \cdot \frac{T}{2}} - \frac{V_{out}}{L_f} (1-D) \frac{T}{2} \right) \quad (3.12)$$

จากสมการที่ 3.12 และสมการที่ 3.10

$$\begin{aligned} D &= \frac{V_{out}}{V_{in}} \frac{N_s}{N_p} + \frac{N_s}{N_p} \left(\frac{2I_{Load}}{\frac{V_{in}}{L_r} \cdot \frac{T}{2}} - \frac{V_{out}}{L_f} (1-D) \frac{T}{2} \right) \\ &= D_{eff} + \frac{N_s}{N_p} \left(\frac{2I_{Load}}{\frac{V_{in}}{L_r} \cdot \frac{T}{2}} - \frac{V_{out}}{L_f} (1-D) \frac{T}{2} \right) \\ &= D_{eff} + \frac{N_s}{N_p} \cdot \frac{2L_r}{V_{in}} \left(2 \frac{V_{out}}{R} - \frac{V_{out}}{L_f} (1-D) \frac{T}{2} \right) \\ &= D_{eff} + \frac{N_s}{N_p} \frac{V_{out}}{V_{in}} \cdot \frac{2L_r}{T} \left(2 \frac{1}{R} - \frac{1}{L_f} (1-D) \frac{T}{2} \right) \\ &= D_{eff} + \left(\frac{N_p}{N_s} \frac{V_{out}}{V_{in}} \right) \frac{2L_r}{T} \left(2 \frac{1}{R} - \frac{1}{L_f} (1-D) \frac{T}{2} \right) \left(\frac{N_s}{N_p} \right)^2 \\ &= D_{eff} + D_{eff} \left(\frac{4L_r}{TR} - \frac{L_r}{L_f} (1-D) \right) \left(\frac{N_s}{N_p} \right)^2 \end{aligned}$$

เอกสารนี้เป็นเอกสารที่สงวนไว้สำหรับการใช้งานเพื่อการศึกษาเท่านั้น ไม่อนุญาตให้นำไปใช้ประโยชน์ด้านการค้า
ไม่ว่ากรณีใดๆ ทั้งสิ้น อีกทั้งห้ามมิให้ดัดแปลงเนื้อหา และต้องอ้างอิงถึงเจ้าของเอกสารทุกครั้งที่มีการนำไปใช้

$$\begin{aligned}
D &= D_{eff} + \frac{4L_r D_{eff}}{TR} - \frac{L_r D_{eff}}{L'_f} + \frac{L_r D_{eff} D}{L'_f} \\
D - \frac{L_r D_{eff} D}{L'_f} &= D_{eff} + \frac{4L_r D_{eff}}{TR} - \frac{L_r D_{eff}}{L'_f} \\
\left(1 - \frac{L_r D_{eff}}{L'_f}\right) D &= D_{eff} + \frac{4L_r D_{eff}}{TR} - \frac{L_r D_{eff}}{L'_f} \\
D &= \frac{D_{eff} + \frac{4L_r D_{eff}}{TR} - \frac{L_r D_{eff}}{L'_f}}{1 - \frac{L_r D_{eff}}{L'_f}} \\
&= \frac{D_{eff} + \frac{4L_r}{TR} - \frac{L_r}{L'_f}}{\frac{1}{D_{eff}} - \frac{L_r}{L'_f}} \\
D &= \frac{D_{eff} + \frac{4L_r}{TR} - \frac{L_r}{L'_f}}{\frac{1}{D_{eff}} - \frac{L_r}{L'_f}} \quad (3.13)
\end{aligned}$$

ถ้าให้ $(1 - D)$ มีค่าน้อยมากเมื่อเทียบกับ $2I_{Load}$ จากสมการที่ 3.12 จะได้

$$\Delta D = \frac{\frac{N_s}{N_p} \frac{V_{out}}{V_{in}} \frac{2L_r}{T} (2I_{Load})}{L_r \cdot 2} \quad (3.14)$$

แทนในสมการที่ 3.10

$$\begin{aligned}
D &= D_{eff} + \frac{\frac{N_s}{N_p} \frac{V_{out}}{V_{in}} \frac{2L_r}{T} (2I_{Load})}{L_r \cdot 2} \\
&= D_{eff} + \frac{N_s V_{out}}{N_p V_{in}} \frac{2L_r}{T} \left(\frac{2}{R}\right) \\
&= D_{eff} + \left(\frac{N_p V_{out}}{N_s V_{in}}\right) \frac{2L_r}{T} \left(\frac{2}{R}\right) \left(\frac{N_s}{N_p}\right)^2
\end{aligned}$$

เอกสารนี้เป็นเอกสารที่สงวนไว้สำหรับการใช้งานเพื่อการศึกษาเท่านั้น ไมออนุญาตให้นำไปใช้ประโยชน์ด้านการค้า
ไม่ว่ากรณีใดๆ ทั้งสิ้น อีกทั้งห้ามมิให้ดัดแปลงเนื้อหา และต้องอ้างอิงถึงเจ้าของเอกสารทุกครั้งที่มีการนำไปใช้

$$\begin{aligned}
&= D_{eff} + D_{eff} \left(\frac{4L_r}{TR} \right) \left(\frac{N_s}{N_p} \right)^2 \\
&= D_{eff} \left(1 + \frac{4L_r}{TR'} \right) \\
D_{max} \geq D &= \frac{N_p V_{out}}{N_s V_{in}} \left(1 + \frac{4L_r}{R' f_s} \right) \quad (3.15)
\end{aligned}$$

3.5.5 หลักการออกแบบ

จากรูปที่ 3.12 ความชันของกระแสปฐมภูมิที่เวลา $t_2 - t_4$ หรือ $t_6 - t_8$ แปรผกผันกับ L_r เมื่อพิจารณาให้ V_{in} คงที่จากสมการที่ 3.6 ค่า L_r คำนวณจากค่ากระแสปฐมภูมิต่ำสุดที่ต้องการให้เกิดการสวิตช์ที่แรงดันศูนย์ ถ้าหากต้องการให้เกิดการสวิตช์ที่แรงดันศูนย์ที่กระแสค่าน้อยๆ ค่า L_r จะต้องมีค่ามาก แต่เมื่อกระแสมากขึ้น จากสมการที่ 3.11 ค่า ΔD มีค่ามากขึ้น ส่งผลให้ค่า D_{eff} จากสมการที่ 3.9 มีค่าน้อยลงทำให้ไม่สามารถรักษา V_{out} ไว้ได้จากสมการที่ 3.9 จะต้องชดเชยด้วยการลดค่า N_p/N_s ถึงจะรักษาแรงดัน V_{out} ไว้ได้ แต่ผลจากค่า D_{eff} ที่น้อยจะทำให้อุปกรณ์ในกระแสสูงที่เวลาน้อย เป็นการสร้างความเครียดให้กับอุปกรณ์สวิตช์ และต้องใช้อุปกรณ์สวิตช์ที่ทนกระแสสูง โดยปกติจะออกแบบให้เกิดการสวิตช์ที่แรงดันศูนย์ที่ 50% ถึง 100% ของกระแสพิกัด

เมื่อกำหนดช่วงกระแสภาระที่ให้เกิดการสวิตช์ที่แรงดันศูนย์ ทำให้ทราบค่า L_r ถ้าพิจารณาที่ความถี่ เมื่อความถี่ลดลงนั้นหมายถึงคาบเวลามีค่ามากขึ้น แต่ ΔD มีค่าเท่าเดิมทำให้ D_{eff} มีค่ามากขึ้นส่งผลให้ N_p/N_s ในการออกแบบมีค่ามากขึ้นได้

3.6 หม้อแปลงสวิตชิงความถี่สูง

หม้อแปลงสวิตชิงความถี่สูง (Switching Transformer) จัดเป็นอุปกรณ์สำคัญสำหรับสวิตชิงเพาเวอร์ซัพพลาย ผู้ออกแบบสวิตชิงเพาเวอร์ซัพพลายจึงจำเป็นที่จะต้องคำนึงถึง

1. รูปแบบที่เป็นไปได้ในลักษณะต่างๆของหม้อแปลง
2. ความเหมาะสมในการใช้งาน
3. การคำนวณขนาดของแกนเฟอร์ไรต์ และขนาดลวดทองแดง
4. ความปลอดภัยทางไฟฟ้า
5. การสูญเสียในหม้อแปลง

3.6.1 ส่วนประกอบของหม้อแปลงสวิตชิง

หม้อแปลงสวิตชิงจะมีหน้าที่หลักในการลดทอนแรงดันไฟตรงที่อินพุตคอนเวอร์เตอร์ซึ่งอาจมีค่าสูง ให้มีค่าลดลงเป็นแรงดันไฟฟ้าค่าต่ำที่เอาต์พุตและทำให้เกิดการแยกจากกันทางไฟฟ้าระหว่างแรงดันอินพุตและแรงดันเอาต์พุตที่ได้ เพื่อป้องกันอันตรายจากการถูกไฟฟ้าดูด โดยส่วนประกอบที่สำคัญของหม้อแปลงสวิตชิงประกอบไปด้วย

เอกสารนี้เป็นเอกสารที่สงวนไว้สำหรับการใช้งานเพื่อการศึกษาเท่านั้น ไม่อนุญาตให้นำไปใช้ประโยชน์ด้านการค้าไม่ว่ากรณีใดๆ ทั้งสิ้น อีกทั้งห้ามมิให้ดัดแปลงเนื้อหา และต้องอ้างอิงถึงเจ้าของเอกสารทุกครั้งที่มีการนำไปใช้

3.6.1.1 แกนเฟอร์ไรต์ (Ferrite core)

เฟอร์ไรต์เป็นวัสดุประเภทเฟอร์โรแมกเนติก (Ferromagnetic material) การเหนี่ยวนำแม่เหล็กบนแกนเฟอร์ไรต์จะมีผลทำให้เกิดความหนาแน่นแม่เหล็กสูงกว่าการเหนี่ยวนำแม่เหล็กที่เกิดขึ้นบนแกนอากาศ โดยแกนเฟอร์ไรต์มีค่าอิมพีแดนซ์แม่เหล็กค่อนข้างสูงและเกิดการสูญเสียในตัวมันต่ำที่ความถี่สูงๆ ดังนั้นหม้อแปลงสวิตชิงจึงนิยมใช้แกนเฟอร์ไรต์มากที่สุด โดยจะมีรูปร่างแตกต่างกันออกไปขึ้นอยู่กับการใช้งานและมาตรฐานการออกแบบ

3.6.1.2 บอบบิ้น (Bobbin)

บอบบิ้นหรือแบบรองพัน ปกติจะทำจากพลาสติกชนิดทนความร้อนได้สูงและไม่ติดไฟ โดยบอบบิ้นจะช่วยให้การพันขดลวดบนแกนเฟอร์ไรต์สะดวกขึ้น และป้องกันปัญหาการเกิดลัดวงจรระหว่างขดลวดกับแกนเฟอร์ไรต์ได้ โดยจะมีขนาดมาตรฐานตามมาตรฐานของแกนเฟอร์ไรต์

3.6.1.3 ลวดทองแดงอาบน้ำยา (Enamelled Copper Wire)

การพันขดลวดทั้งไพรมารีและเซคันดารีของหม้อแปลงสวิตชิงที่กำลังไม่สูงนัก ปกติจะใช้ลวดทองแดงอาบน้ำยาพันบนแกนบอบบิ้นเพื่อให้ได้จำนวนรอบตามที่ต้องการ ขนาดของลวดขดลวดทองแดงที่พันนั้น ขึ้นอยู่กับค่ากระแสสูงสุดที่ผ่านลวด ความถี่และผลข้างเคียงอื่น ๆ

3.6.1.4 เทปฉนวน (Insulation Tape)

เทปฉนวนจะมีหน้าที่สำหรับพันเป็นตัวรองระหว่างชั้นของขดลวดในหม้อแปลงสวิตชิง และทำการแยกส่วนทางไฟฟ้าระหว่างขดไพรมารีและขดเซคันดารีด้วยวัสดุที่ใช้ทำเป็นเทปฉนวนอาจเป็นพวกไมลาร์ (Mylar) หรือโพลีเอสเตอร์ (Polyester) การเลือกใช้จะขึ้นอยู่กับการออกแบบและค่าความปลอดภัยที่ต้องการจากหม้อแปลงสวิตชิงเป็นหลัก

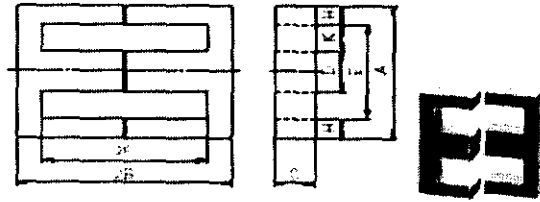
3.6.2 การเลือกใช้แกนเฟอร์ไรต์

3.6.2.1 ลักษณะและขนาดมาตรฐานของแกนเฟอร์ไรต์

โดยทั่วไปแกนเฟอร์ไรต์สำหรับหม้อแปลงสวิตชิง จะถูกผลิตออกมาที่ขนาดและรูปทรงต่างๆ ตามมาตรฐานเดียวกัน เช่น EI, EE, ETD หรือแกนแบบ POT เป็นต้น ปกติจะผลิตทำแกนเฟอร์ไรต์ออกมาในลักษณะคู่ประกบ และเพื่อความสะดวกในการประกอบเข้ากับบอบบิ้นโดยจะทำให้ทางเดินของฟลักซ์แม่เหล็กที่เกิดขึ้นในแกนเฟอร์ไรต์มีลักษณะเป็นวงบรรจบได้

EE Series

EE CORE
CORE SHAPES AND DIMENSIONS CHARACTERISTICS

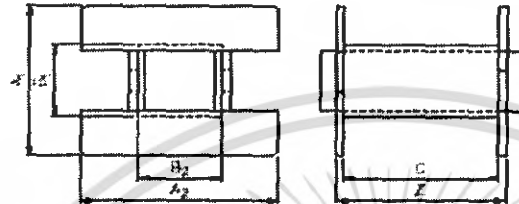


PRODUCT IDENTIFICATION

PE22	EE	320	.250	.20
(1)	(2)	(3)	(4)	(5)

- (1) Material name
- (2) Shape
- (3) Dimension A
- (4) Dimension 2B
- (5) Dimension C

EE CORE BOBBIN



รูปที่ 3.13 แสดงตัวอย่างขนาดของแกนเฟอร์ไรต์แบบ EE

ตารางที่ 3.1 ตารางแสดงรายละเอียดของแกนเฟอร์ไรต์แบบ EE

Part No.	A ₁ (nl MF) ±25%	Dimensions (mm)									
		A	2B	C	D	E	2F	H	R	K	K-2F(mm ²)
FE22 EE70-91-19	3300	70.0±1.5	81.0±1.0	12.5±0.5	19.5±0.5	40.5min	71.0±1.0	10.0±0.5	0	15.3	1086
PC40 EE70-91-19	4910	70.0±1.5	81.0±1.0	12.5±0.5	19.5±0.5	40.5min	71.0±1.0	10.0±0.5	0	15.3	1086
FE22 EE80-76-20	3500	80.0±1.5	76.0±1.0	20.0±0.5	20.0±0.5	58.5min	55.0±0.8	10.0±0.5	0.5max	20.0	1100
PC40 EE80-76-20	5720	80.0±1.5	76.0±1.0	20.0±0.5	20.0±0.5	58.5min	55.0±0.8	10.0±0.5	0.5max	20.0	1100
FE22 EE90-56-16	3200	90.0±2.0	56.4±1.0	16.5±0.5	25.0±1.0	63.0min	30.4±1.0	12.5±0.5	0.5max	20.0	628
PC40 EE90-56-16	7380	90.0±2.0	56.4±1.0	16.5±0.5	25.0±1.0	63.0min	30.4±1.0	12.5±0.5	0.5max	20.0	628
FE22 EE320-250-20 ¹⁾	—	320.0±5.0	250.0±1.0	20.0±1.0	100.0±2.4	217.0min	150.0±0.0	50.0±1.0	0	66.0	7950
PC40 EE320-250-20 ²⁾	—	320.0±5.0	250.0±1.0	20.0±1.0	100.0±2.4	217.0min	150.0±0.0	50.0±1.0	0	66.0	7950
FE22 EE70-108-31H	6390	70.0±1.5	108.0±1.0	31.6±0.5	22.2±0.5	46.3min	85.6±1.0	11.1±0.5	2.0max	12.8	1096
PC40 EE70-108-31H	7970	70.0±1.5	108.0±1.0	31.6±0.5	22.2±0.5	46.3min	85.6±1.0	11.1±0.5	2.0max	12.8	1096

¹⁾ Measuring condition: T=23°C, f=1kHz, I_m=0.4Arms
²⁾ EE320x250x20-Z is a bonded product.

Part No.	Core factor C ₁ (mm ⁻¹)	C ₂ (10 ⁻³ mm ⁻¹)	A ₁ (mm ²)	g/1mm ³	Volume(g)	Weight(g)
FE22 EE70-91-19	0.52779	0.13669	385	204	78693	394
PC40 EE70-91-19	0.52779	0.13669	385	204	78693	394
FE22 EE80-76-20	0.44979	0.11038	406	182	73910	372
PC40 EE80-76-20	0.44979	0.11038	406	182	73910	372
FE22 EE90-56-16	0.33583	0.06009	419	141	59050	306
PC40 EE90-56-16	0.33583	0.06009	419	141	59050	306
FE22 EE320-250-20	0.20954	0.01443	2000	577	1151166	6150
PC40 EE320-250-20	0.20954	0.01443	2000	577	1151166	6150
FE22 EE70-108-31H	0.32982	0.04695	703	232	162900	815
PC40 EE70-108-31H	0.32982	0.04695	703	232	162900	815

EE CORE BOBBIN

Part No.	Dimensions (mm)						Cross sectional winding area A ₁ (mm ²)	Average winding length L ₁ (mm)	Weight W ₁ (g)	Material
	A ₁	A ₂	B ₁	B ₂	C	Z				
EE-80-S	56.5±0.5	61.0±0.5	25.2±0.5	26.2±0.5	47.5±2.5	51.5±2.5	747	188	32	FR1
EE-80-W	56.5±0.5	61.5±0.7	25.2±0.5	45.8±0.5	47.5±2.5	51.5±2.5	747	209	41	FR1

3.6.2.2 ลักษณะสมบัติของเนื้อสารที่ใช้ทำแกนเฟอร์ไรต์

ชนิดของเนื้อสารแกนเฟอร์ไรต์ที่แตกต่างกัน จะทำให้คุณสมบัติทางแม่เหล็ก
ของแกนเฟอร์ไรต์แตกต่างกันด้วยถึงแม้จะมีขนาดเท่ากันทุกประการก็ตาม ดังนั้นใน

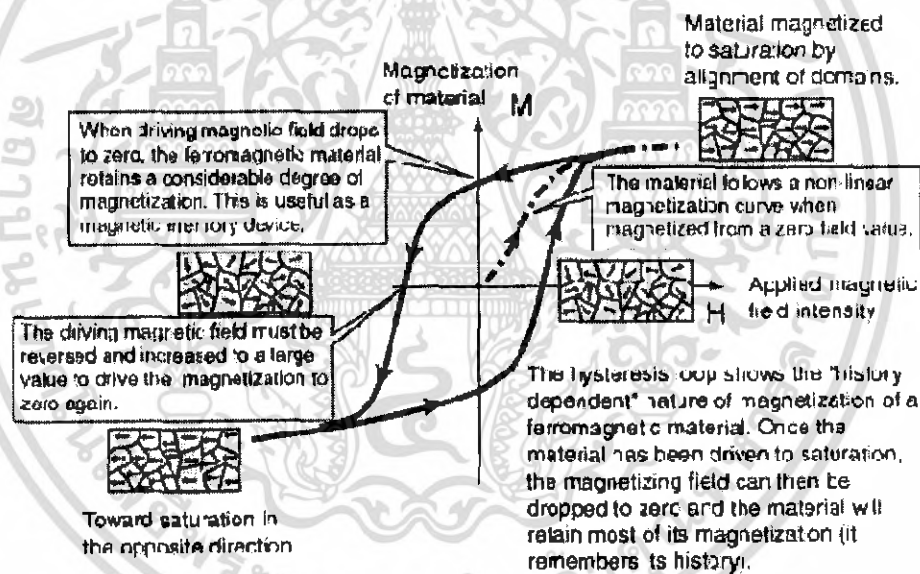
เอกสารนี้เป็นเอกสารที่สงวนไว้สำหรับการใช้งานเพื่อการศึกษาเท่านั้น ไม่อนุญาตให้นำไปใช้ประโยชน์ด้านการค้า
ไม่ว่ากรณีใดๆ ทั้งสิ้น อีกทั้งห้ามมิให้ดัดแปลงเนื้อหา และต้องอ้างอิงถึงเจ้าของเอกสารทุกครั้งที่มีการนำไปใช้

แผ่นข้อมูลเนื้อสารที่ให้มากับแกนเฟอร์ไรต์จะต้องมีรายละเอียดคุณสมบัติของเนื้อสาร แสดงไว้เสมอ โดยข้อมูลสำคัญที่เราจะทำความเข้าใจและศึกษาไว้คือ

1. วงรอบฮีสเทอรีซิส (Hysteresis Loop)
2. กำลังสูญเสียในแกน (Core Loss)

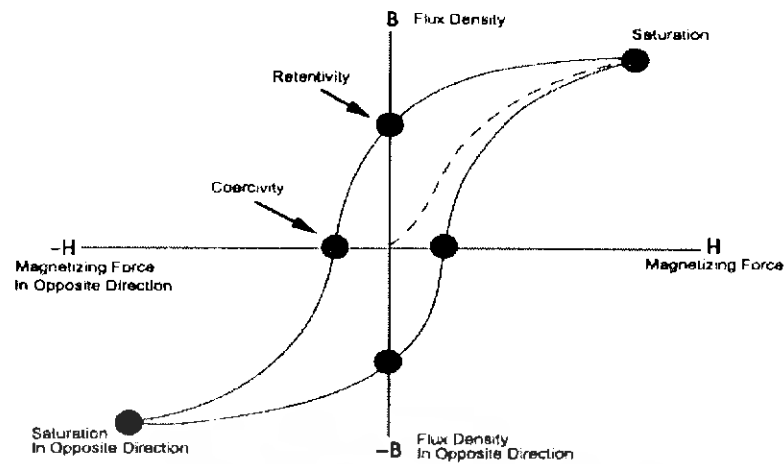
1. วงรอบฮีสเทอรีซิส (Hysteresis Loop)

ภายในเนื้อสารของเฟอร์โรแมกเนติกนั้นจะประกอบไปด้วยพื้นที่เล็กๆ ที่เรียกว่าโดเมน (Domain) ซึ่งในแต่ละพื้นที่เล็กๆ ดังกล่าวจะมีการเรียงตัวของโมเมนต์แม่เหล็ก (Magnetic Moment) ในทิศทางเดียวกัน ทำให้สารแม่เหล็กมีค่าสูง โดยจะขึ้นอยู่กับอุณหภูมิคูรี (T_c : Curie Temperature) ซึ่งถ้าหากอุณหภูมิที่ใช้งานมีค่าสูงกว่าอุณหภูมิคูรีจะมีผลทำให้การเรียงตัวของโมเมนต์แม่เหล็ก กระจายไม่เรียงตัวไปในทิศทางเดียวกัน ถ้าทำให้สารเฟอร์โรแมกเนติก เย็นตัวลง การจัดเรียงตัวของโมเมนต์แม่เหล็ก จะเรียงตัวกันใหม่ในทิศทางที่ไม่แน่นอนทำให้ ผลรวมของสนามแม่เหล็กมีค่าเป็นศูนย์ ดังนั้นถ้าทำให้วัสดุเฟอร์โรแมกเนติกมีอุณหภูมิสูงกว่า อุณหภูมิคูรีจะหมายถึง การล้างแม่เหล็ก (Demagnetize) วัสดุเฟอร์โรแมกเนติกดังกล่าว



รูปที่ 3.14 การเรียงตัวของโมเมนต์แม่เหล็ก (Magnetic Moment)

เอกสารนี้เป็นเอกสารที่สงวนไว้สำหรับการใช้งานเพื่อการศึกษาเท่านั้น ไม่อนุญาตให้นำไปใช้ประโยชน์ด้านการค้า ไม่ว่ากรณีใดๆ ทั้งสิ้น อีกทั้งห้ามมิให้ดัดแปลงเนื้อหา และต้องอ้างอิงถึงเจ้าของเอกสารทุกครั้งที่มีการนำไปใช้



รูปที่ 3.15 การหาวงรอบฮิสเตอรีซิสของสารเฟอร์โรแมกเนติก

สำหรับการหาวงรอบฮิสเตอรีซิสของสารเฟอร์โรแมกเนติกจะเริ่มต้นจาก การที่ทำให้สาร มีความร้อนสูงกว่าอุณหภูมิคูรี เพื่อให้โดเมนภายในสารของแม่เหล็กกระจายไม่เรียงตัวไปในทิศทางเดียวกันทั้งหมด จากนั้นทำการป้อนแรงเคลื่อนแม่เหล็กโดยผ่านทางกระแสไฟฟ้าไหลผ่านขดลวดทองแดง เมื่อกระแสไฟฟ้ามีค่าสูงขึ้น ก็จะทำให้โดเมนเกิดการเรียงตัวกันตามทิศทางของความเข้มสนามแม่เหล็ก (H) จนกระทั่งค่าความเข้มสนามแม่เหล็กถึงค่า H_m ซึ่งนั่นก็หมายถึงจุดที่ค่าความหนาแน่นเส้นแรงแม่เหล็กเกิดการอิ่มตัว (Saturate) ตามทางเส้นปะไปถึงจุด a ดังแสดงในรูปที่ 3.15 และเมื่อทำการลดค่าความเข้มสนามแม่เหล็กลง ($H=0$) ค่าความหนาแน่นเส้นแรงแม่เหล็กก็จะลดลงถึงค่าความหนาแน่นเส้นแรงแม่เหล็กตกค้าง (Retentivity) ที่จุด b ซึ่งจะคงค่าความหนาแน่นเส้นแรงแม่เหล็กตั้งนี้ตลอดไป ถึงแม้ว่าจะหยุดป้อนความเข้มสนามแม่เหล็กแล้วก็ตาม และถ้าหากต้องการที่จะทำให้ค่าความหนาแน่นเส้นแรงแม่เหล็กตกค้างนี้หมดไปจะต้องทำการป้อนค่าความเข้มสนามแม่เหล็กเท่ากับ H_c (Coercive Force) ที่จุด c จากนั้นทำการกลับทิศทางป้อนความเข้มสนามแม่เหล็กอีกครั้ง ค่าความหนาแน่นเส้นแรงแม่เหล็กก็จะเพิ่มขึ้นจากจุด d ไปจุด e ไปจุด f และสิ้นสุดที่จุด a แสดงดังรูปที่ ก็จะได้วงรอบฮิสเตอรีซิส ซึ่งวงรอบฮิสเตอรีซิสดังกล่าวจะมีความสมมาตรกล่าวคือจะมีพื้นที่ซีกบวกเท่ากับซีกลบนั่นเอง

2. กำลังสูญเสียในแกน (Core Loss)

สำหรับกำลังสูญเสียในแกนเหล็กจะประกอบไปด้วย กำลังสูญเสียเนื่องจากฮิสเตอรีซิส (Hysteresis Loss) และกำลังไฟฟ้าสูญเสียเนื่องจากกระแสวนภายในแกนแม่เหล็ก (Eddy Current Loss) ซึ่งจะมีรายละเอียดดังนี้

2.1 กำลังสูญเสียเนื่องจากฮิสเตอรีซิส (Hysteresis loss)

จากพื้นที่ภายในกราฟ B - H ในรูปที่ 3.15 ซึ่งหมายถึง ค่าความสูญเสียที่เกิดขึ้นทุกคาบของแรงดันหรือกระแสไฟฟ้าด้านเข้าที่ป้อนให้กับสารแม่เหล็กนั้นโดยจะเรียกความสูญเสีย

ดังกล่าวว่ากำลังสูญเสียเนื่องจากฮิสเตอรีซิส (P_h) จะมีหน่วยเป็นวัตต์ ซึ่งหาได้จาก

เอกสารนี้เป็นเอกสารที่สงวนไว้สำหรับการใช้งานเพื่อการศึกษาเท่านั้น ไม่อนุญาตให้นำไปใช้ประโยชน์ด้านการค้า ไม่ว่ากรณีใดๆ ทั้งสิ้น อีกทั้งห้ามมิให้ตัดแปลงเนื้อหา และต้องอ้างอิงถึงเจ้าของเอกสารทุกครั้งที่มีการนำไปใช้

$$P_h = \left(\frac{1}{2} B H V_c\right) \cdot f \quad (3.16)$$

จากสมการดังกล่าวทำให้ทราบได้ว่า ถ้ากำหนดให้ค่าความหนาแน่นเส้นแรงแม่เหล็ก (B) ซึ่งเป็นค่าสูงสุดมีค่าเท่ากับ B_m ปริมาตรแกน (V_c) มีค่าคงที่ ความสูญเสียฮิสเตอรีซิสก็จะขึ้นอยู่กับอัตราการเปลี่ยนแปลงของเส้นแรงแม่เหล็ก กล่าวอีกนัยหนึ่งก็คือถ้าความถี่ใช้งานมีค่าสูงขึ้นจะทำให้กำลังสูญเสียเนื่องจากฮิสเตอรีซิสมีค่าสูงขึ้นนั่นเอง และเมื่อเราแทนความเข้มของสนามแม่เหล็กจะได้สมการ

$$P_h = \left(\frac{1}{2} \frac{B_m^2}{\mu} V_c\right) \cdot f \quad (3.17)$$

จากสมการดังกล่าวทำให้ทราบได้ว่า ถ้ากำหนดให้ค่าความหนาแน่นเส้นแรงแม่เหล็ก (B) ปริมาตรแกน (V_c) ค่าความถี่ใช้งาน (f) มีค่าคงที่ ความสูญเสียฮิสเตอรีซิสก็จะขึ้นอยู่กับค่าความซาบซึมแม่เหล็ก (μ) โดยถ้าเลือกแกนแม่เหล็กที่มีความซาบซึมได้สูงๆ ก็จะทำให้ค่าความสูญเสียฮิสเตอรีซิสมีค่าต่ำ และในทำนองเดียวกันถ้าเลือกแกนแม่เหล็กที่มีความซาบซึมได้ต่ำๆ ก็จะทำให้ค่าความสูญเสียฮิสเตอรีซิสมีค่าสูง

2.2 กำลังไฟฟ้าสูญเสียเนื่องจากกระแสวนในแกนแม่เหล็ก (Eddy Current Loss)

พิจารณาโดยใช้กฎของฟาราเดย์ โดยค่าแรงเคลื่อนไฟฟ้าเหนี่ยวนำที่ขดลวดทองแดงแต่ละขดจะเท่ากับ

$$E_1 = N_1 \frac{d\phi}{dt} \quad (3.18)$$

$$E_2 = N_2 \frac{d\phi}{dt} \quad (3.19)$$

$$E_3 = N_3 \frac{d\phi}{dt} \quad (3.20)$$

สมการที่ 3.18 และ 3.19 จะเป็นแรงเคลื่อนไฟฟ้าเหนี่ยวนำของหม้อแปลงไฟฟ้าทางด้านปฐมภูมิและทุติยภูมิตามลำดับ ในขณะที่สมการที่ 3.20 จะเป็นแรงเคลื่อนไฟฟ้าที่เกิดขึ้นภายในแกนแม่เหล็กโดยจะมีค่าจำนวนรอบ (N_3) เท่ากับหนึ่ง เป็นผลทำให้เกิดกระแสวน (I_3) ภายในแกนแม่เหล็ก ซึ่งกระแสไหลวนดังกล่าวจะทำให้เกิดความร้อนภายในแกนแม่เหล็กนั้น สำหรับค่ากำลังสูญเสียเนื่องจากกระแสไหลวน (P_e) สามารถนิยามได้ดังนี้

$$P_e = K_e f^2 B_m^2 \quad (3.21)$$

เอกสารนี้เป็นเอกสารที่สงวนไว้สำหรับการใช้งานเพื่อการศึกษาเท่านั้น ไม่อนุญาตให้นำไปใช้ประโยชน์ด้านการค้า ไม่ว่ากรณีใดๆ ทั้งสิ้น อีกทั้งห้ามมิให้คัดแปลงเนื้อหา และต้องอ้างอิงถึงเจ้าของเอกสารทุกครั้งที่มีการนำไปใช้

- โดยที่ P_c หมายถึง กำลังสูญเสียเนื่องจากกระแสไหลวน
 K_e หมายถึง ค่าคงที่ซึ่งจะขึ้นอยู่กับเนื้อสารที่นำมาทำแกนแม่เหล็ก
 B_m หมายถึง ความหนาแน่นเส้นแรงแม่เหล็กสูงสุด

ดังนั้นกำลังสูญเสียในแกน (P_c) จะหาได้จาก

$$P_c = P_h + P_e \quad (3.22)$$

3.6.3 การเลือกใช้ลวดทองแดง

3.6.3.1 ลักษณะและขนาดมาตรฐานของเส้นลวดทองแดง

โดยทั่วไปแล้วเส้นลวดทองแดงจะถูกผลิตออกมาที่ขนาดและรูปทรงต่าง ๆ ตามมาตรฐาน เช่น AWG (American Wire Gauge), SWG (Standard Wire Gauge) และ BWG (Birmingham Wire Gauge) ซึ่งแต่ละมาตรฐานจะมีเบอร์ต่างๆ ซึ่งแต่ละเบอร์จะบอกขนาดของเส้นผ่าศูนย์กลางและพื้นที่หน้าตัดของเส้นลวดดังแสดงตารางที่ 3.2

ตารางที่ 3.2 ตารางแสดงขนาดของเส้นลวดทองแดง

Wire Gauge Table

A.W.G. in the table stands for American Wire Gauge (or Brown & Sharpe Wire Gauge).

S.W.G. stands for British Standard Wire Gauge. B.W.G. stands for Birmingham Wire Gauge.

Gauge			Diameter		Area		Gauge			Diameter		Area		
A.W.G. (B&S)	SWG	B.W.G.	mm	mm ²	A.W.G. (B&S)	SWG	B.W.G.	mm	mm ²	A.W.G. (B&S)	SWG	B.W.G.	mm	mm ²
-	22	22	0.711	0.3973	-	31	-	0.295	0.06819	-	-	-	-	-
22	-	-	0.644	0.3256	29	-	-	0.256	0.16422	-	-	-	-	-
-	23	23	0.635	0.3167	-	32	-	0.274	0.05908	-	-	-	-	-
-	-	-	0.610	0.2919	30	-	-	0.255	0.15097	-	-	-	-	-
23	-	-	0.573	0.2581	-	31	31	0.254	0.05067	-	-	-	-	-
-	24	24	0.559	0.2452	-	34	-	0.234	0.14088	-	-	-	-	-
24	-	-	0.511	0.2047	-	-	32	0.229	0.04104	-	-	-	-	-
-	25	25	0.508	0.2027	31	-	-	0.227	0.14038	-	-	-	-	-
-	26	26	0.457	0.1642	-	35	-	0.213	0.03575	-	-	-	-	-
25	-	-	0.455	0.1623	-	-	33	0.203	0.13243	-	-	-	-	-
-	27	-	0.417	0.1363	32	-	-	0.202	0.03203	-	-	-	-	-
-	-	27	0.406	0.1297	-	36	-	0.192	0.10927	-	-	-	-	-
26	-	-	0.405	0.1293	33	-	-	0.180	0.02540	-	-	-	-	-
-	28	-	0.376	0.1110	-	-	34	0.176	0.10483	-	-	-	-	-
27	-	-	0.361	0.1021	-	37	-	0.173	0.02343	-	-	-	-	-
-	-	28	0.356	0.09932	34	-	-	0.161	0.10014	-	-	-	-	-
-	29	-	0.345	0.09372	-	38	-	0.152	0.01824	-	-	-	-	-
-	-	29	0.330	0.08563	35	-	-	0.142	0.01597	-	-	-	-	-
28	-	-	0.321	0.08067	-	39	-	0.132	0.01370	-	-	-	-	-
-	30	-	0.315	0.07791	36	-	35	0.127	0.01267	-	-	-	-	-
-	-	30	0.315	0.07297	-	40	-	0.122	0.01167	-	-	-	-	-

เอกสารนี้เป็นเอกสารที่สงวนไว้สำหรับการใช้งานเพื่อการศึกษาเท่านั้น ไม่อนุญาตให้นำไปใช้ประโยชน์ด้านการค้า
 ไม่ว่ากรณีใดๆ ทั้งสิ้น อีกทั้งห้ามมิให้ตัดแปลงเนื้อหา และต้องอ้างอิงถึงเจ้าของเอกสารทุกครั้งที่มีการนำไปใช้

3.6.3.2 กำลังไฟฟ้าสูญเสียในลวดทองแดง

เนื่องจากสนามแม่เหล็กที่เกิดจากกระแสไฟฟ้าในสายตัวนำทองแดงจะไม่ได้ปรากฏล้อมรอบสายตัวนำทองแดงเท่านั้น แต่จะปรากฏภายในสายตัวนำทองแดงด้วยเช่นกัน และถ้ากำหนดให้กระแสไฟฟ้าที่ไหลในตัวนำทองแดงเป็นไฟฟ้ากระแสตรงที่มีความสม่ำเสมอเท่าๆ กัน (Uniform Current) จะได้ว่าค่าความเหนี่ยวนำภายในสายตัวนำทองแดง (L_{int}) จะมีค่าน้อยลงเมื่อรัศมี (r) เพิ่มขึ้น กล่าวอีกนัยหนึ่งก็คือค่ากระแสไฟฟ้าที่จุดศูนย์กลางของตัวนำทองแดงจะมีค่าน้อยที่สุด เพราะความต้านทานมีค่าเท่ากันตลอดพื้นที่ผิวของตัวนำทองแดง ในขณะที่ค่าความเหนี่ยวนำมีค่าสูงสุดที่จุดศูนย์กลางของตัวนำทองแดง ทำให้ค่าอิมพีแดนซ์ที่จุดศูนย์กลางของสายตัวนำทองแดงมีค่ามากที่สุดนั่นเอง และค่ากระแสไฟฟ้าที่ไหลในสายตัวนำทองแดงที่ผิวจะมีค่าเพิ่มขึ้นเมื่อห่างจากจุดศูนย์กลางของตัวนำทองแดงเป็นลำดับ สำหรับกรณีไฟฟ้ากระแสสลับนั้น ค่าความหนาแน่นของกระแสไฟฟ้าจะแปรตามความถี่ใช้งาน และยิ่งความถี่ที่ใช้งานมีค่าสูงขึ้นก็จะทำให้ค่ากระแสไฟฟ้าจะอยู่เฉพาะบริเวณผิวของตัวนำทองแดง ซึ่งผลที่เกิดขึ้นดังกล่าวจะเรียกว่า ปรากฏการณ์ทางผิว (Skin effect)

โดยที่ค่าความต้านทานรวมทั้งที่เกิดจากไฟฟ้ากระแสตรงและความต้านทานไฟฟ้ากระแสสลับที่เกิดจากผลของปรากฏการณ์ทางผิวจะเท่ากับ

$$R_{ac} = R_{dc} + R_{se} = R_{dc}(1 + F) \quad (3.23)$$

โดยที่ R_{ac} หมายถึง ความต้านทานไฟฟ้ากระแสสลับ

R_{dc} หมายถึง ความต้านทานไฟฟ้ากระแสตรง

R_{se} หมายถึง ความต้านทานไฟฟ้าที่เกิดจากผลของปรากฏการณ์ทางผิวซึ่งจะนิยามได้จาก

$$R_{se} = R_{dc} \cdot F \quad (3.24)$$

$$\frac{R_{ac}}{R_{dc}} = 1 + F \quad (3.25)$$

เมื่อ F หมายถึง ตัวประกอบปรากฏการณ์ทางผิว (Skin Effect Factor) ซึ่งจะได้เป็นฟังก์ชันของ $\frac{d}{\delta}$ โดยที่

$$\delta = \sqrt{\frac{2\rho_c}{\mu \cdot \omega}} = \sqrt{\frac{\rho_c}{\pi \cdot \mu_0 \cdot \mu_c \cdot f}} \quad (3.26)$$

เอกสารนี้เป็นเอกสารที่สงวนไว้สำหรับการใช้งานเพื่อการศึกษาเท่านั้น ไม่อนุญาตให้นำไปใช้ประโยชน์ด้านการค้าไม่ว่ากรณีใดๆ ทั้งสิ้น อีกทั้งห้ามมิให้ตัดแปลงเนื้อหา และต้องอ้างอิงถึงเจ้าของเอกสารทุกครั้งที่มีการนำไปใช้

โดยที่ δ หมายถึง ความหนาของผิวตัวนำทองแดงกระแส (Skin Depth)
 ρ_c หมายถึง ค่าความต้านทานไฟฟ้าจำเพาะของสายตัวนำทองแดง
 μ_c หมายถึง ค่าความซาบซึมได้สัมพัทธ์ของสายตัวนำทองแดง
 d หมายถึง ค่าเส้นผ่านศูนย์กลางของสายตัวนำทองแดง

เนื่องจากค่าความต้านทานไฟฟ้ากระแสตรงและกระแสไฟฟ้าสลับสามารถหาได้จาก

$$R_{dc} = \rho_c \cdot \frac{l}{A} = \rho_c \cdot \frac{l}{(\pi \cdot r^2)} \quad (3.27)$$

$$R_{ac} = \rho_c \cdot \frac{l}{A} = \rho_c \cdot \frac{l}{\pi \cdot (r^2 - (r - \delta)^2)} = \rho_c \cdot \frac{l}{\pi \cdot r^2 \left(\frac{2\delta}{r} - \left(\frac{\delta}{r} \right)^2 \right)} \quad (3.28)$$

นำสมการที่ 3.27 หารด้วยสมการ 3.28 จะได้

$$\frac{R_{ac}}{R_{dc}} = \frac{1}{\left(\frac{2\delta}{r} - \left(\frac{\delta}{r} \right)^2 \right)} \quad (3.29)$$

เมื่อพิจารณาสมการที่ 3.29 จะเห็นได้ว่าถ้าทำให้ค่ารัศมีของสายตัวนำทองแดงมีค่าเท่ากับความหนาของผิวตัวนำทองแดงกระแส ($r = \delta$) จะทำให้ค่าความต้านทานไฟฟ้ากระแสสลับต่อไฟฟ้ากระแสตรงมีค่าเท่ากับหนึ่ง ดังนั้นถ้าทำให้รัศมีของสายตัวนำทองแดง (r) ที่ใช้มีค่าน้อยกว่าหรือเท่ากับของความหนาของผิวตัวนำทองแดงกระแส $r \leq \delta$ ก็จะทำให้ผลของปรากฏการณ์ทางผิว (Skin Effect) ของตัวนำทองแดงมีค่าน้อยมากจนสามารถละเว้นไม่นำมาพิจารณาได้ นอกจากนั้นการเลือกใช้ตัวนำทองแดงที่มีพื้นที่หน้าตัดของสายตัวนำทองแดงมีขนาดใหญ่มากกว่าความหนาของผิวตัวนำทองแดงกระแส ก็จะไม่มีความจำเป็นการนำกระแสไฟฟ้าได้เลย

ดังนั้นในทางปฏิบัติ จึงนิยมใช้สายตัวนำทองแดงที่มีพื้นที่หน้าตัดเท่ากับความหนาของผิวตัวนำทองแดงกระแสจำนวนหลายๆ เส้น นั่นคือ เลือกรัศมีของลวดทองแดงที่เล็กกว่าความหนาของผิวตัวนำทองแดงกระแส (Skin Depth) ที่ความถี่สูงสุดที่ใช้งาน โดยที่ สำหรับค่ากำลังสูญเสียจากกระแสไฟฟ้าไหลเฉพาะที่ผิวของตัวนำทองแดงจะหาได้จาก

$$P_{cu,se} = 22 \cdot k_{Cu} \cdot \frac{R_{ac}}{R_{dc}} \cdot J_{rms}^2 \quad \frac{mW}{cm^3} \quad (3.30)$$

เอกสารนี้เป็นเอกสารที่สงวนไว้สำหรับการใช้งานเพื่อการศึกษาเท่านั้น ไม่อนุญาตให้นำไปใช้ประโยชน์ด้านการค้าไม่ว่ากรณีใดๆ ทั้งสิ้น อีกทั้งห้ามมิให้ดัดแปลงเนื้อหา และต้องอ้างอิงถึงเจ้าของเอกสารทุกครั้งที่มีการนำไปใช้

โดยที่ k_{Cu} หมายถึง ตัวประกอบการบรรจุขดลวดต่อพื้นที่ (Copper Fill Factor)

$$J_{rms} = \frac{I_{rms}}{A} \text{ หมายถึง ค่าความหนาแน่นกระแสในสายตัวนำทองแดง}$$

3.6.4 การออกแบบหม้อแปลงสวิตชิงความถี่สูง

ในการออกแบบหม้อแปลงสวิตชิงความถี่สูง สิ่งที่ต้องคำนึงถึงในการออกแบบก็คือ การเลือกอุปกรณ์

1. ชนิด ลักษณะโครงสร้าง และขนาดของแกนแม่เหล็ก
2. ชนิด รูปร่าง ขนาด และจำนวนรอบที่ใช้ในการพัน N_1 และ $N_2 \dots N_n$
3. ชนิด และลักษณะของฉนวน
4. ลักษณะโครงสร้างของ Case ตลอดจนการระบายความร้อน
5. คุณสมบัติทางไฟฟ้า และเชิงกลอื่นๆ

ข้อกำหนด

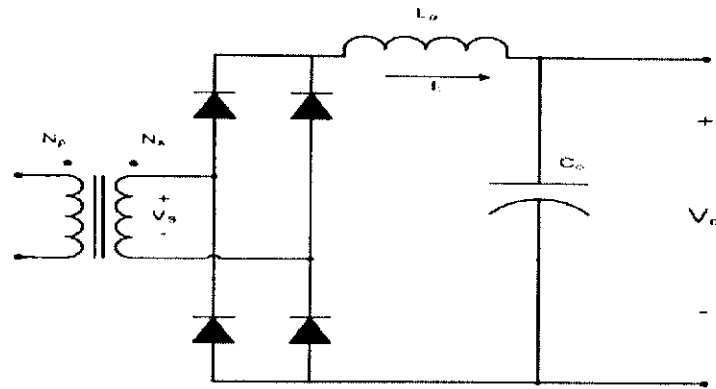
1. ขนาดของกำลังออก
2. ขนาดและรูปร่างรวมทั้งความถี่ของกระแสและแรงดัน
3. กำลังสูญเสีย ประสิทธิภาพ
4. Voltage Regulation
5. คุณสมบัติทางไฟฟ้าและเชิงกลอื่นๆ

ขีดจำกัด

1. ความหนาแน่นสนามแม่เหล็กอิ่มตัวของแกนแม่เหล็ก
2. กำลังสูญเสียในลวดทองแดงและในแกนแม่เหล็ก
3. คุณสมบัติอื่น เช่น Permeability (μ)

3.7 วงจรเรียงกระแสและวงจรกรองทางด้านออก

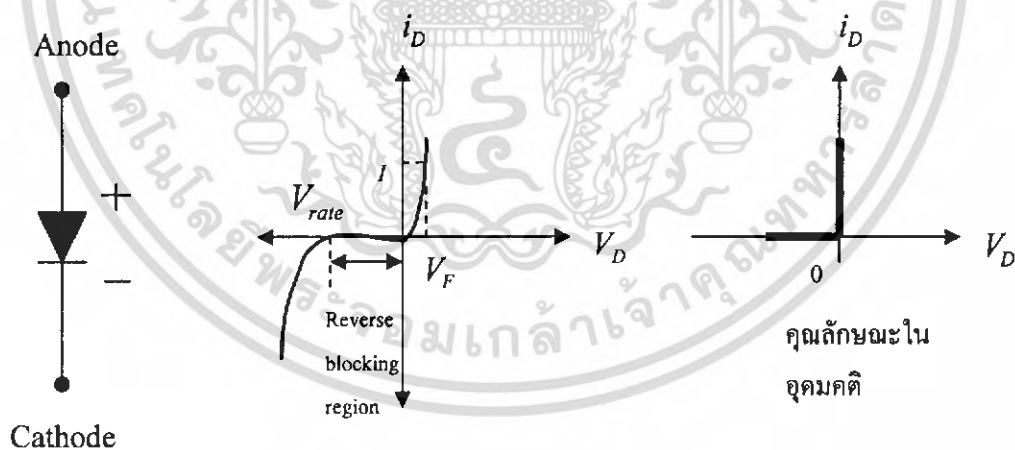
วงจรเรียงกระแสและวงจรกรองทางด้านออก ซึ่งจะประกอบไปด้วยส่วนหลักๆ คือ ไดโอด ตัวเก็บประจุและตัวเหนี่ยวนำ ทั้งนี้เพราะเราต้องการได้แรงดันไฟฟ้ากระแสตรง เพื่อเป็นแหล่งจ่ายกำลังไฟฟ้าเพิ่มเติมให้กับกระบวนการที่เปลี่ยนสถานะของก๊าซให้เป็นพลาสมา เพราะแรงดันไฟฟ้ากระแสตรง จะทำให้เกิดให้พลาสมาคงสถานะขณะเกิดพลาสมาได้ดีกว่าแรงดันไฟฟ้ากระแสสลับ ในส่วนของวงจรเรียงกระแสและวงจรกรองทางด้านออกสามารถแสดงให้เห็นได้ดังรูปที่ 3.16



รูปที่ 3.16 แสดงส่วนของวงจรเรียงกระแสและวงจรกรองทางต้านออก

3.7.1 ไดโอด

ไดโอดเป็นสวิตช์อิเล็กทรอนิกส์ที่ง่ายที่สุด ดังรูปที่ 3.17 แสดงถึงสัญลักษณ์ของไดโอดและคุณลักษณะของกระแสและแรงดันไฟฟ้าขณะในสภาวะทำงานอยู่ตัว (Steady-State) เมื่อไดโอดถูกไบอัสไปข้างหน้า (Forward Biased) ไดโอดจะนำกระแสโดยมีแรงดันไฟฟ้าตกคร่อมเล็กน้อยระดับหนึ่งโวลต์ และเมื่อไดโอดถูกไบอัสย้อนกลับ (Reverse Biased) จะมีกระแสรั่วขนาดน้อยมากจนอาจถือได้ว่าไม่มีกระแสไหลผ่านตัวไดโอดจนกระทั่งถึงจุดแรงดันไฟฟ้าเบรกตาวนย้อนกลับ (Reverse Breakdown Voltage) ซึ่งในทางปฏิบัติจะต้องออกแบบให้ไดโอดไม่ทำงานจนถึงแรงดันไฟฟ้าเบรกตาวนย้อนกลับเพื่อความปลอดภัย

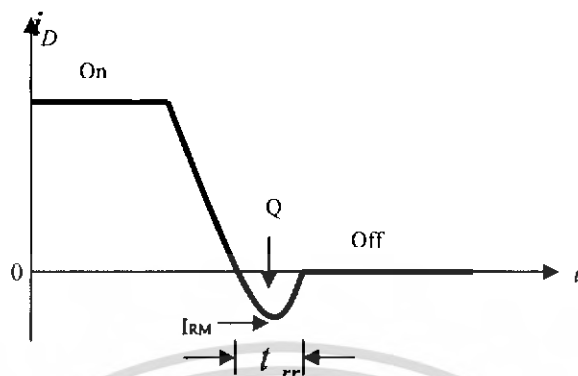


รูปที่ 3.17 สัญลักษณ์ คุณลักษณะของกระแสและแรงดันไฟฟ้าของไดโอด

สำหรับคุณลักษณะของกระแสและแรงดันไฟฟ้าแบบอุดมคตินั้น เช่น ในขณะที่ไดโอดนำกระแส และแรงดันไฟฟ้าตกคร่อมไดโอดจะมีค่าเป็นศูนย์ในแบบอุดมคติและขณะที่ไดโอดไม่นำกระแสหรือในช่วงไดโอดถูกไบอัสย้อนกลับไดโอดจะต้องสามารถทนแรงดันไฟฟ้าย้อนกลับได้

เอกสารนี้เป็นเอกสารที่สงวนไว้สำหรับการใช้งานเพื่อการศึกษาเท่านั้น ไม่อนุญาตให้นำไปใช้ประโยชน์ด้านการค้า ไม่ว่าจะกรณีใดๆ ทั้งสิ้น อีกทั้งห้ามมิให้ตัดแปลงเนื้อหา และต้องอ้างอิงถึงเจ้าของเอกสารทุกครั้งที่มีการนำไปใช้

สูงมาก ซึ่งเหมาะสำหรับการวิเคราะห์ในการทำงานของตัวแปลงกำลังแต่ไม่ใช้สำหรับการออกแบบสำหรับใช้งานจริง



รูปที่ 3.18 ไดโอดขณะหยุดนำกระแส

เมื่อไดโอดเริ่มนำกระแส อาจพิจารณาได้ว่าเป็นการสวิตช์ซึ่งในอุดมคติเพราะว่าช่วงเวลาเริ่มนำกระแส (Turn-on Time) จะเร็วมากเมื่อเทียบกับช่วงเวลาภาวะช่วงคู่ (Transient) ในวงจรกำลัง แต่ในช่วงเวลาหยุดนำกระแส (Turn-off Time) จะมีกระแสไดโอดย้อนกลับในช่วงเวลาฟื้นตัวย้อนกลับ (Reverse Recovery Time, t_{rr}) ดังแสดงในรูปที่ 3.18 ก่อนที่จะกลับสู่ศูนย์ โดยกระแสฟื้นตัวย้อนกลับ (ค่าเป็นลบ) จะกวาดล้างประจุในไดโอดให้หมดไปและเพื่อป้องกันแรงดันไฟฟ้าย้อนกลับได้ กระแสฟื้นตัวย้อนกลับจะมีผลทำให้เกิดแรงดันไฟฟ้าเกิน (Over Voltage) ในวงจรที่มีความเป็นเหนี่ยวนำ วงจรส่วนใหญ่ค่ากระแสฟื้นตัวย้อนกลับจะไม่ค่อยมีผลต่อคุณลักษณะด้านเข้าและด้านออกของตัวแปลงกำลัง ดังนั้นไดโอดจะถูกพิจารณาเสมือนเป็นอุดมคติในช่วงขณะไม่นำกระแส โดยไดโอดจะแบ่งชนิดของไดโอดออกตามความต้องการในการประยุกต์ใช้งาน จะแบ่งออกเป็น 3 กลุ่ม คือ

1. **Schottky Diodes** มักจะใช้เมื่อต้องการแรงดันไฟฟาดกคร่อมและเวลาฟื้นตัวย้อนกลับน้อยๆ ในปัจจุบันแรงดันขณะกระแสจะมีค่าประมาณ 0.3 โวลต์ ในขณะที่เวลาฟื้นตัวย้อนกลับโดยทั่วไปจะมีค่าอยู่ในหน่วยนาโนวินาที ซึ่งมักจะใช้ในวงจรแรงดันไฟฟ้าด้านออกต่างๆ ไดโอดนี้จะทนแรงดันไฟฟ้าได้ระดับ 50 - 100 โวลต์ และพิกัดไฟฟ้าประมาณ 300 แอมป์

2. **ไดโอดฟื้นตัวเร็ว (Fast-recovery หรือ High speed diode)** มักจะใช้ในวงจรสวิตช์ความถี่สูงสำหรับวงจรแปลงผันกำลัง และใช้คู่กับสวิตช์แบบควบคุมได้ที่ต้องการเวลาฟื้นตัวย้อนกลับน้อยๆ ไดโอดกำลังขนาดพิกัดแรงดันไฟฟ้า 6,000 โวลต์ และกระแสไฟฟ้า 1,100 แอมป์จะมีค่าเวลาฟื้นตัวย้อนกลับประมาณ 0.1-5 ไมโครวินาที



รูปที่ 3.19 ไดโอดฟื้นตัวเร็ว (Fast-Recovery Diode)

2. ไดโอดความถี่ต่ำ (Line-Frequency Diodes หรือ General Purpose Diode)

ไดโอดชนิดนี้ถูกออกแบบสำหรับใช้งานที่ความถี่ต่ำ เช่น ความถี่ไฟฟ้าในบ้าน 50 เฮิร์ต และมักจะออกแบบให้แรงดันไฟฟ้าตกคร่อมไดโอดต่ำที่สุดเท่าที่จะทำได้ ผลของไดโอดใช้งานที่ความถี่ต่ำทำให้มีช่วงเวลาฟื้นตัวย้อนกลับยาว แต่ในช่วงเวลาฟื้นตัวย้อนกลับของไดโอดดังกล่าวจะสั้นเมื่อเปรียบเทียบกับคาบเวลาของความถี่ไฟฟ้าในบ้าน หรือความถี่ต่ำ ปัจจุบันไดโอดมีพิกัดแรงดันไฟฟ้า 6,000 โวลต์ และพิกัดกระแสไฟฟ้า 4,500 แอมป์

ในการพิจารณาพิกัดของไดโอดหาได้จากสมการดังต่อไปนี้

$$I_{f(av)} = I_{out} \times D \quad (3.31)$$

เมื่อ $I_{f(av)}$ คือ กระแสเดินหน้าเฉลี่ยสูงสุด (Maximum average forward current)
 I_{out} คือ กระแสทางด้านขาออก
 D คือ ตัวประกอบของวัฏจักรงาน จากข้อกำหนด พิกัดนำกระแสทางด้านขาออกที่โหลดเต็มพิกัดประมาณ 40 แอมป์ ที่วัฏจักรทำงาน = 0.5

3.7.2 ตัวเหนี่ยวนำ

สำหรับตัวเหนี่ยวนำในวงจรอิเล็กทรอนิกส์กำลังอาจจะต่ออยู่เพียงตัวเดียวในระบบ ทำหน้าที่เป็นโหลดหรือเป็นค่าพารามิเตอร์แฝง เช่น เป็นตัวเหนี่ยวนำตัวเอง (Self Inductance) ของสายตัวนำที่ใช้ในระบบไฟฟ้ากำลัง ตัวเหนี่ยวนำแฝงที่ขาของตัวอุปกรณ์อิเล็กทรอนิกส์กำลัง และตัวเหนี่ยวนำรั่วไหลในหม้อแปลงไฟฟ้า เป็นต้น โดยที่ความสัมพันธ์ระหว่างกระแสและแรงดันไฟฟ้าของตัวเหนี่ยวนำไฟฟ้ากรณีสภาวะชั่วขณะจะเท่ากับ

$$V_L = L \frac{di_L}{dt} \quad (3.32)$$

$$i_L(t) = i_L(t_1) + \frac{1}{L} \int_{t_1}^t V_L dt \quad t > t_1 \quad (3.33)$$

เอกสารนี้เป็นเอกสารที่สงวนไว้สำหรับการใช้งานเพื่อการศึกษาเท่านั้น ไม่อนุญาตให้นำไปใช้ประโยชน์ด้านการค้า ไม่ว่ากรณีใดๆ ทั้งสิ้น อีกทั้งห้ามมิให้ตัดแปลงเนื้อหา และต้องอ้างอิงถึงเจ้าของเอกสารทุกครั้งที่มีการนำไปใช้

โดยที่ $i_L(t_1)$ หมายถึง ค่ากระแสไฟฟ้าเริ่มต้นที่เวลา t_1 ของตัวเหนี่ยวนำ

จากสมการ 3.32 และ 3.33 จะเห็นได้ว่า กรณีที่ค่าความเหนี่ยวนำของตัวเหนี่ยวนำไฟฟ้ามีค่าสูงและพิจารณาช่วงเวลาสั้นมากๆ เท่ากับ dt อาจจะถือได้ว่ากระแสไฟฟ้าที่ไหลผ่านตัวเหนี่ยวนำไฟฟ้างดงกล่าว เป็นไฟฟ้ากระแสตรงคงที่ (Constant Current) เพราะอัตราการเปลี่ยนแปลงของกระแสไฟฟ้าที่ไหลผ่านตัวเหนี่ยวนำมีค่าเป็นศูนย์ ซึ่งสามารถเขียนเป็นสมการได้ดังนี้

$$\frac{di_L}{dt} = \frac{V_L}{L} \approx 0 \quad (3.34)$$

หรือกล่าวอีกในหนึ่งคือ "กระแสตัวเหนี่ยวนำเปลี่ยนแปลงทันทีทันใดไม่ได้" ดังนั้นถ้าค่าความเหนี่ยวนำของตัวเหนี่ยวนำมีค่าสูงมากๆ ก็อาจจะถือได้ว่าตัวเหนี่ยวนำดังกล่าวนั้นเปรียบเสมือนเป็นแหล่งจ่ายไฟฟ้ากระแสตรง (DC Current Source) ตลอดช่วงเวลา dt ซึ่งวงจรสมมูลของตัวเหนี่ยวนำไฟฟ้าที่มีค่าสูงๆ ดังกล่าว จะนิยมใช้ในกรณีที่ตัวเหนี่ยวนำไฟฟ้าต่อกับวงจรที่มีแหล่งจ่ายเป็นวงจรพัลส์ความถี่สูง



รูปที่ 3.20 ภาพตัวอย่างจริงของตัวเหนี่ยวนำไฟฟ้า

3.7.2.1 การหาขนาดของตัวเหนี่ยวนำ

ในการหาขนาดของตัวเหนี่ยวนำ จะกำหนดให้ค่า Ripple ของกระแสทางด้านออก (ΔI_{out}) จะมีค่าสูงสุดไม่เกิน 20% ของกระแสเฉลี่ยทางด้านออก ดังนั้นค่าตัวเหนี่ยวนำ หาได้จากสมการต่อไปนี้

$$L = \frac{E_{out} \cdot T_{off}}{0.2 \cdot I_L} \quad (3.35)$$

เมื่อ E_{out} คือ แรงดันไฟฟ้ากระแสทางด้านออก

เอกสารนี้เป็นเอกสารที่สงวนไว้สำหรับการใช้งานเพื่อการศึกษาเท่านั้น ไม่อนุญาตให้นำไปใช้ประโยชน์ด้านการค้าไม่ว่ากรณีใดๆ ทั้งสิ้น อีกทั้งห้ามมิให้ตัดแปลงเนื้อหา และต้องอ้างอิงถึงเจ้าของเอกสารทุกครั้งที่มีการนำไปใช้

- T_{off} คือ ช่วงเวลาหยุดนำกระแสของสวิตช์ เนื่องจากค่า Ripple ของกระแสทางด้านออกสูงสุดจะเกิดขึ้นที่ Duty Cycle = 0.5 ดังนั้นค่า T_{off} ที่จะทำให้ Ripple สูงสุด = $\frac{1}{2}T$
- I_L คือ กระแสโหลดที่พิกัด

3.7.2.2 การออกแบบตัวเหนี่ยวนำ

ในการออกแบบตัวเหนี่ยวนำ (Inductor Design) สิ่งที่ต้องคำนึงถึงในการออกแบบก็คือ

การเลือกอุปกรณ์

1. ชนิด ลักษณะโครงสร้าง และขนาดของแกนแม่เหล็ก
2. ชนิด รูปร่าง ขนาด และจำนวนรอบที่ใช้ในการพัน N_1 และ $N_2 \dots N_n$
3. ชนิด และลักษณะของฉนวน
4. ลักษณะโครงสร้างของ Case ตลอดจนการระบายความร้อน
5. คุณสมบัติทางไฟฟ้า และเชิงกลอื่นๆ

ข้อกำหนด

1. ขนาดของกำลังออก
2. ขนาดและรูปร่างรวมทั้งความถี่ ของกระแสและแรงดัน
3. กำลังสูญเสีย ประสิทธิภาพ
4. Voltage Regulation
5. คุณสมบัติทางไฟฟ้า และเชิงกลอื่นๆ
6. ขีดจำกัด
7. ความหนาแน่นสนามแม่เหล็กอิ่มตัวของแกนแม่เหล็ก
8. กำลังสูญเสียในลวดทองแดงและในแกนแม่เหล็ก
9. คุณสมบัติอื่น เช่น Permeability (μ)

3.7.3 ตัวเก็บประจุ

การหาตัวเก็บประจุสำหรับวงจรกรองด้านออก หาได้จากสมการต่อไปนี้

$$C_{out} = \frac{\Delta I_{out}}{8 \cdot f \cdot \Delta v_{out}} \quad (3.36)$$

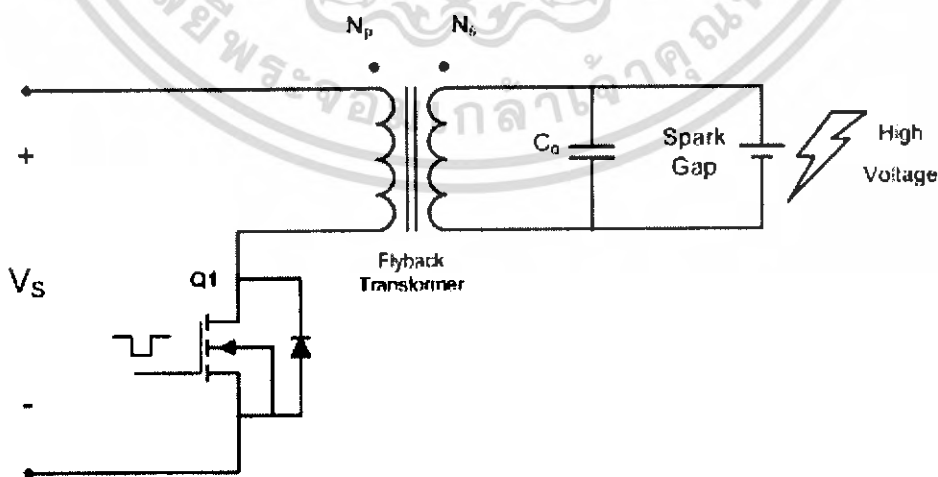
- เมื่อ ΔI_{out} คือ 20% ของกระแสเฉลี่ยทางด้านออก
 Δv_{out} คือ แรงดันกระเพื่อมทางด้านออก

3.8 วงจรกำเนิดไฟฟ้าแรงดันสูงความถี่สูง

ในส่วนของต้นกำเนิดไฟฟ้าแรงดันสูงของแหล่งจ่ายกำลังสวิตชิงของเครื่องตัดโลหะแบบพลาสมา ที่ได้ออกแบบขึ้นนี้เป็นส่วนสำคัญมากส่วนหนึ่ง เพราะการทำให้เกิดอาร์คพลาสมาโดยวิธีไฟฟ้าแรงดันสูงความถี่สูงนี้นิยมใช้กันแพร่หลาย ในกรณีที่แอโนดและแคโทดไม่สามารถที่จะเคลื่อนที่เข้ามาแตะกัน เพื่อทำให้เกิดอาร์คได้เราจึงมีความจำเป็นที่จะต้องใช้เครื่องกำเนิดไฟฟ้าแรงดันสูงความถี่สูงเข้าช่วย เพื่อให้เกิดอาร์คซึ่งเป็นปรากฏการณ์ของก๊าซโดยทั่วๆ ไปที่มีโอกาสจะเกิดอาร์คอิสระจาง่าย (Arc Discharge) เมื่อได้รับไฟฟ้าแรงดันสูงความถี่สูงโดยที่อาร์คความถี่สูงที่เกิดขึ้นนี้จะทำหน้าที่เป็นแนวทางเดินให้เกิดอาร์คหลัก ที่ได้จากวงจรแปลงผันไฟฟ้ากระแสตรงเป็นกระแสตรงที่ได้ออกแบบขึ้น เมื่อเกิดอาร์คในช่วงแรกแล้วในช่วงเวลาอันสั้นก็จะทำให้เกิดอาร์คหลักกรอบช่องว่างที่เป็นทางผ่านของพลาสมาก๊าซ ซึ่งถ้าเป็นลักษณะเช่นนี้เราอาจถือได้ว่า ได้เกิดอาร์คหลักคงที่พร้อมทั้งลำพลาสมาและไม่จำเป็นต้องใช้เครื่องกำเนิดไฟฟ้าแรงดันสูงความถี่สูงอีกต่อไป

สำหรับต้นกำเนิดไฟฟ้าแรงดันสูงความถี่สูงที่ได้ทดลองทำขึ้นนั้น จะทำงานในช่วงแรงดัน ประมาณ 3 กิโลโวลต์ ในช่วงความถี่ 40 กิโลเฮิรท์ โดยจะอาศัยหลักการของการเรโซแนนซ์ความถี่ของตัวเก็บประจุ Co และตัวเหนี่ยวนำ Lo ของ Coupling Coil จากการอาร์คของไฟฟ้าแรงดันสูงความถี่สูงที่สปาร์คแกป (Spark Gap) และเชื่อมโยงความถี่สูงออกมาใช้งานที่วงจรต้านขาออกของวงจรแปลงผันไฟฟ้ากระแสตรงเป็นกระแสตรงแบบฟลูบริดจ์ ในทางปฏิบัติแล้วจะใช้แหล่งจ่ายไฟฟ้ากระแสตรงประมาณ 50 โวลต์ จ่ายให้กับวงจรแปลงผันไฟฟ้าแล้วเข้าสู่ขดลวดทางด้านปฐมภูมิและแรงไฟฟาด้านทางทุติยภูมิเป็น 3 กิโลโวลต์ เป็นต้นกำเนิดไฟฟ้าแรงสูง ซึ่งในทางปฏิบัติจะใช้วงจร Flyback Converter หรือ Push-Pull Converter ในการทำงานของส่วนนี้

3.8.1 แหล่งกำเนิดไฟฟ้าแรงดันสูงความถี่สูงด้วยวงจรฟลายแบคคอนเวอร์เตอร์



รูปที่ 3.21 แหล่งกำเนิดไฟฟ้าแรงดันสูงความถี่สูงด้วยวงจรฟลายแบคคอนเวอร์เตอร์

เอกสารนี้เป็นเอกสารที่สงวนไว้สำหรับการใช้งานเพื่อการศึกษาเท่านั้น ไม่อนุญาตให้นำไปใช้ประโยชน์ด้านการค้า ไม่ว่าจะกรณีใดๆ ทั้งสิ้น อีกทั้งห้ามมิให้คัดแปลงเนื้อหา และต้องอ้างอิงถึงเจ้าของเอกสารทุกครั้งที่มีการนำไปใช้

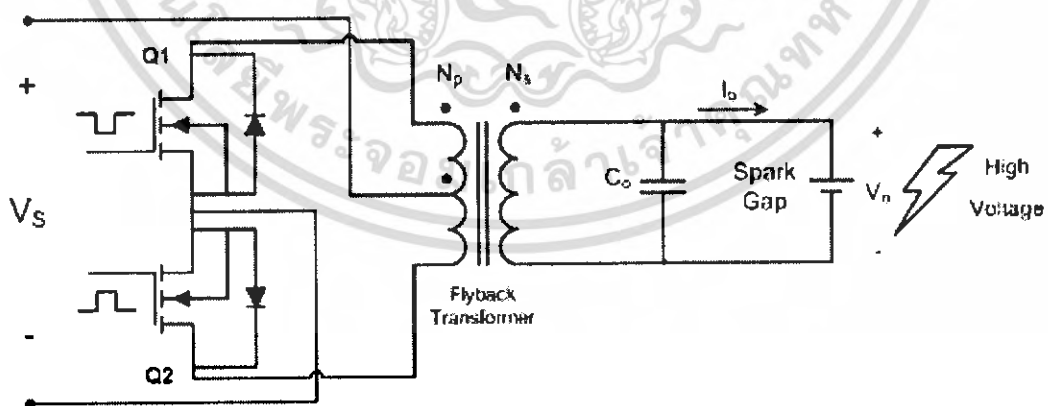
วงจรฟลายแบคคอนเวอร์เตอร์จัดอยู่ในประเภทการป้อนแบบแรงดันไฟฟ้า (Voltage feed) โดยมีรูปโครงสร้างของวงจรบั๊ก-บูสต์คอนเวอร์เตอร์แล้วนำมาประยุกต์ใช้ทำให้เกิด วงจรฟลายแบคคอนเวอร์เตอร์ในรูปที่ 3.21

รูปแบบของวงจรฟลายแบคคอนเวอร์เตอร์และวงจรสมมูลที่ใช้ในการวิเคราะห์การทำงานของวงจรแสดงในรูปที่ 3.21 เพื่อง่ายต่อการวิเคราะห์หลักการทำงานของวงจร จะกำหนดเงื่อนไขของการวิเคราะห์ดังต่อไปนี้

1. อุปกรณ์อิเล็กทรอนิกส์กำลัง ทั้งหมด เช่น สวิตช์และไดโอด จะถือว่าเป็นอุดมคติ
2. วงจรสมมูลของหม้อแปลงไฟฟ้า จะถือว่าเป็นอุดมคติคือไม่มีตัวเหนี่ยวนำรั่ว (Leakage Inductance) แต่จะมีค่าตัวเหนี่ยวนำทำแม่เหล็ก (Magnetizing Inductor : L_m) ขนานอยู่ต่อกับขดลวดด้านปฐมภูมิ (N_p) เท่านั้น
3. ตัวเก็บประจุด้านออกจะมีขนาดใหญ่มาก จนถือได้ว่าแรงดันไฟฟ้าด้านออกของวงจรมีค่าคงที่
4. พิจารณาวงจรขณะที่ทำงานในสภาวะคงตัวเท่านั้น ซึ่งหมายถึง แรงดันและกระแสไฟฟ้าจะเป็นสัญญาณรายคาบ
5. ค่าดีวตีไซเคิล (Duty Cycle) ของสวิตช์ D จะมีช่วงเวลาชื่อนำกระแสเท่ากับ DT และมีช่วงเวลาชื่อนำกระแสเท่ากับ $(1-D)T$

สำหรับการทำงานของวงจรฟลายแบคจะคล้ายกับการทำงานของวงจรบั๊ก-บูสต์ โดยตัวเหนี่ยวนำทำแม่เหล็ก (L_m) จะสะสมพลังงานขณะสวิตช์นำกระแส และจะคายพลังงานไปยังโหลดขณะสวิตช์ไม่นำกระแส การวิเคราะห์การทำงานของวงจรจะพิจารณาการทำงานของสวิตช์ทั้ง 2 สถานะ

3.8.2 แหล่งกำเนิดไฟฟ้าแรงดันสูงความถี่สูงด้วยวงจรพุช-พูลคอนเวอร์เตอร์



รูปที่ 3.22 แหล่งกำเนิดไฟฟ้าแรงดันสูงความถี่สูงด้วยวงจรพุช-พูลคอนเวอร์เตอร์

วงจรพุช-พูลคอนเวอร์เตอร์ หรือเรียกว่า วงจรพุช-พูลอินเวอร์เตอร์ (Push-Pull Inverter) ในรูปที่ 3.22 ต้องการหม้อแปลงแบบที่มีแท็บกลางด้านปฐมภูมิ โดยจะสมมติให้เอกสารนี้เป็นเอกสารที่สงวนไว้สำหรับการใช้งานเพื่อการศึกษาเท่านั้น ไม่อนุญาตให้นำไปใช้ประโยชน์ด้านการค้า ไม่ว่ากรณีใดๆ ทั้งสิ้น อีกทั้งห้ามมิให้คัดแปลงเนื้อหา และต้องอ้างอิงถึงเจ้าของเอกสารทุกครั้งที่มีการนำไปใช้

กระแสไฟฟ้าด้านออก i_o ไหลอย่างต่อเนื่องและ เมื่อสวิตช์ Q_1 นำกระแส และสวิตช์ Q_2 ต้องไม่นำกระแส สวิตช์ Q_1 จะนำกระแสขณะ i_o เป็นบวก และ D_1 จะนำกระแสขณะ i_o เป็นลบ ซึ่งหากไม่พิจารณาทิศทางของกระแส i_o จะได้แรงดันไฟฟ้าด้านออก $V_o = V_s / n$ เมื่อ n เป็นอัตราส่วนจำนวนรอบด้านปฐมภูมิต่อรอบทุติยภูมิของหม้อแปลง ในทำนองเดียวกันเมื่อสวิตช์เมื่อสวิตช์ Q_2 นำกระแส ซึ่งสวิตช์ Q_1 ต้องไม่นำกระแส จะได้แรงดันไฟฟ้าด้านออก $V_o = -V_s / n$

การสปาร์กแก๊บสามารถขึ้นได้เมื่อ สวิตช์ Q_1 และ Q_2 นำและหยุดนำกระแสจะทำให้เกิดแรงดันและกระแสตกคร่อมและไหลผ่าน C_o ทำให้เกิดการชาร์จประจุขึ้นเมื่อแรงดันรูปคลื่นต่อไปมารวมกับแรงดันที่ตกคร่อม C_o จะทำให้เกิดแรงดันที่สูงขึ้นและเกิดความเครียดสนามไฟฟ้าบริเวณขั้วแอโนดและแคโทดของสปาร์กแก๊บ ทำให้เกิดการเบรกดาวด์ผ่านอากาศแรงดันที่ C_o ก็จะคายประจุจนหมด แล้วเริ่มการเก็บประจุในรูปคลื่นต่อไป

วงจรถูก-พลูอินเวอร์เตอร์สามารถสวิตช์ในแบบ PWM หรือรูปคลื่นเหลี่ยมสำหรับแรงดันไฟฟ้าด้านออกจะสามารถควบคุมได้จากสมการที่ 3.37

$$\hat{V}_{o1} = m_a \frac{V_s}{n} \text{ เมื่อ } m_a \leq 1.0 \quad (3.37)$$

$$\frac{V_s}{n} < \hat{V}_{o1} < \frac{4 V_s}{\pi n} \text{ เมื่อ } m_a > 1.0 \quad (3.38)$$

สวิตช์จะต้องทนแรงดันไฟฟ้ายอดและกระแสไฟฟ้าดตามพิกัดที่คำนวณได้จากสมการที่ 3.39

$$V_Q = 2V_s \text{ และ } I_Q = i_{o,peak} / n \quad (3.39)$$

ข้อดีสามประการหลักการของวงจรถูก-พลูอินเวอร์เตอร์คือ

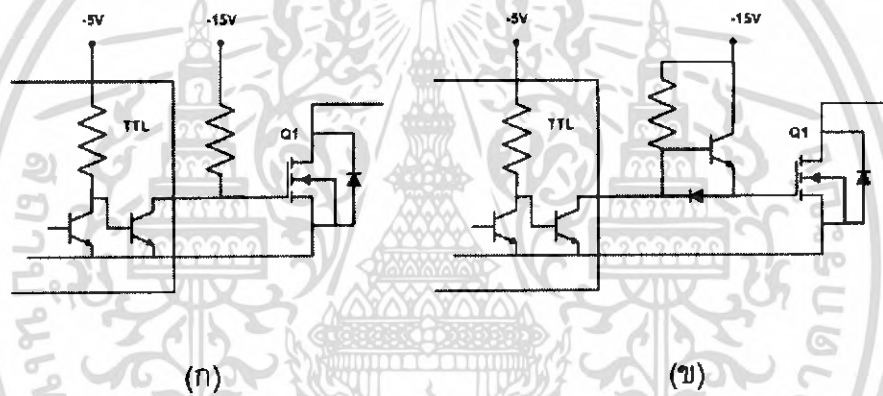
1. ในการนำกระแสแต่ละครั้งจะมีสวิตช์เพียงตัวเดียวเท่านั้นที่นำกระแส จึงเหมาะสำหรับการประยุกต์ใช้งานที่มีระดับแหล่งจ่ายแรงดันไฟฟ้ากระแสตรงค่าต่ำๆ เช่น วงจรประจุแบตเตอรี่ เพื่อลดแรงดันตกคร่อมสวิตช์ให้น้อยที่สุด หรือหมายถึงการสูญเสียจากการนำกระแสผ่านสวิตช์เรียกว่าความสูญเสียจากการนำกระแส (Conduction Loss)
2. สวิตช์ทั้งสองตัวจ้ามีกราวน์ร่วมกัน (Common Ground) แต่ข้อเสียของวงจรถูก-พลูอินเวอร์เตอร์ก็คือยากที่จะหลีกเลี่ยงการอิมตัวเนื่องจากไฟฟ้ากระแสตรงในหม้อแปลง
3. มีการแยกกำลังไฟฟ้าระหว่างด้านแหล่งจ่ายกับด้านโหลดออกจากกัน

3.9 วงจรขับเพาเวอร์มอสเฟต

การขับเพาเวอร์มอสเฟต ให้นำกระแสที่แตกต่างจากขับกระแสไบแอส ในเพาเวอร์ทรานซิสเตอร์ สำหรับเพาเวอร์ทรานซิสเตอร์กระแสจะไหลผ่านคอลเล็กเตอร์และอิมิตเตอร์ได้ก็ต่อเมื่อมีกระแสไบแอสไหลผ่านที่เบสและอิมิตเตอร์ แต่เพาเวอร์มอสเฟตจะมีกระแสไหลผ่านเดรนและซอร์สได้ก็ต่อเมื่อแรงดันดักคร่อมที่ขาเกตและซอร์สมีค่าอย่างต่ำเท่ากับค่าแรงดันขีดเริ่ม (Threshold Voltage) แต่ใช้กระแสต่ำ การขับเพาเวอร์มอสเฟต ให้นำกระแสจึงทำได้ง่ายและยุ่งยากน้อยกว่าเพาเวอร์ทรานซิสเตอร์มาก

3.9.1 วงจรขับเพาเวอร์มอสเฟตด้วย TTL

การขับเพาเวอร์มอสเฟตด้วย ไอซี TTL โดยตรงนั้นสามารถทำได้แต่ไอซี TTL มีขีดจำกัดในการจ่ายกระแสและรับกระแสที่เอาต์พุต ซึ่งมีผลต่อความเร็วในการเปลี่ยนสถานะของเพาเวอร์มอสเฟตและทำให้เกิดกำลังงานสูญเสียสูงได้ การต่อวงจรขับชนิดนี้จึงจำเป็นต้องเพิ่มตัวอุปกรณ์อื่นๆ เพื่อช่วยในการเปลี่ยนสถานะของเพาเวอร์มอสเฟตเป็นไปอย่างรวดเร็ว

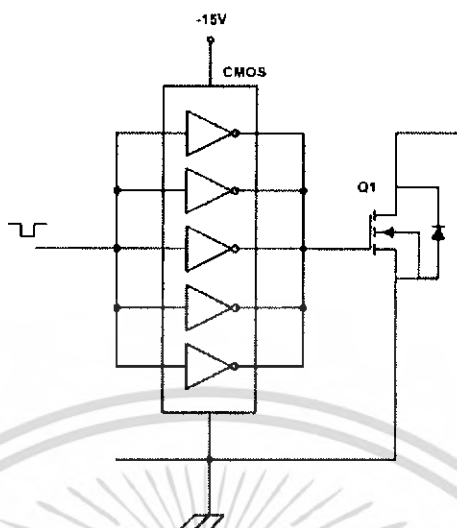


รูปที่ 3.23 แสดงการขับเพาเวอร์มอสเฟตด้วยไอซี TTL

รูปที่ 3.23 (ก) แสดงวงจรขับด้วยไอซี TTL ที่มีเอาต์พุตเป็นแบบคอลเล็กเตอร์เปิด การต่อพูล์อัฟฟริซิสเตอร์เข้าช่วย เพื่อให้มีแรงดันสูงพอที่จะขับเพาเวอร์มอสเฟตให้ทำงานและการหยุดนำกระแสของเพาเวอร์มอสเฟตเป็นไปได้อย่างรวดเร็วแม้แต่ความเร็วขณะเริ่มนำกระแสมีค่าจำกัดอยู่เนื่องจากกระแสยังถูกจำกัดด้วยพูล์อัฟฟริซิสเตอร์

รูปที่ 3.23 (ข) ทรานซิสเตอร์จะช่วยในการจ่ายกระแสได้มากขึ้นทำให้ความเร็วในการนำกระแสของเพาเวอร์มอสเฟตดีขึ้น และลดกำลังสูญเสียในตัว ไอซี TTL ด้วยและวงจรขับจะเพิ่มทรานซิสเตอร์เข้ามาอีกหนึ่งตัวเพื่อให้การคายประจุที่ขาเกตเป็นไปอย่างรวดเร็วและทำให้ความเร็วขณะเริ่มหยุดนำกระแสเป็นไปได้อย่างรวดเร็วมากขึ้น

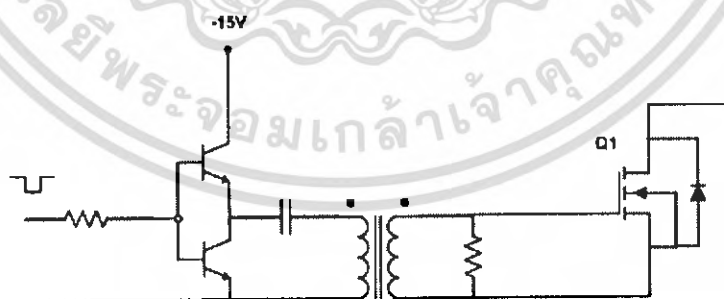
3.9.2 วงจรขับเพาเวอร์มอสเฟตด้วยไอซี CMOS



รูปที่ 3.24 แสดงการขับเพาเวอร์มอสเฟตด้วยไอซี CMOS

เพาเวอร์มอสเฟตสามารถต่อโดยตรงเข้ากับไอซี CMOS ได้ในส่วนเอาต์พุทของไอซี COMS จะเป็นเฟตต่อกันในลักษณะคอมพลิเม็นตารี ซึ่งสามารถทำงานได้ที่แรงดันไฟเลี้ยงตั้งแต่ 3 ถึง 8 โวลต์ โดยทั่วไปจะใช้ 12 ถึง 15 โวลต์ เพื่อให้เหมาะสมการขับเพาเวอร์มอสเฟต สำหรับการขับเพาเวอร์มอสเฟตที่ต้องนำกระแสสูงๆ การต่อ CMOS ในลักษณะขนานกันจะสามารถเพิ่มกระแสที่ขาเกต และทำให้ความเร็วในการเปลี่ยนสถานะของเพาเวอร์มอสเฟตเป็นไปอย่างรวดเร็วยิ่งขึ้น

3.9.3 วงจรขับเพาเวอร์มอสเฟตด้วยหม้อแปลง



รูปที่ 3.25 แสดงวงจรขับเพาเวอร์มอสเฟตด้วยหม้อแปลง

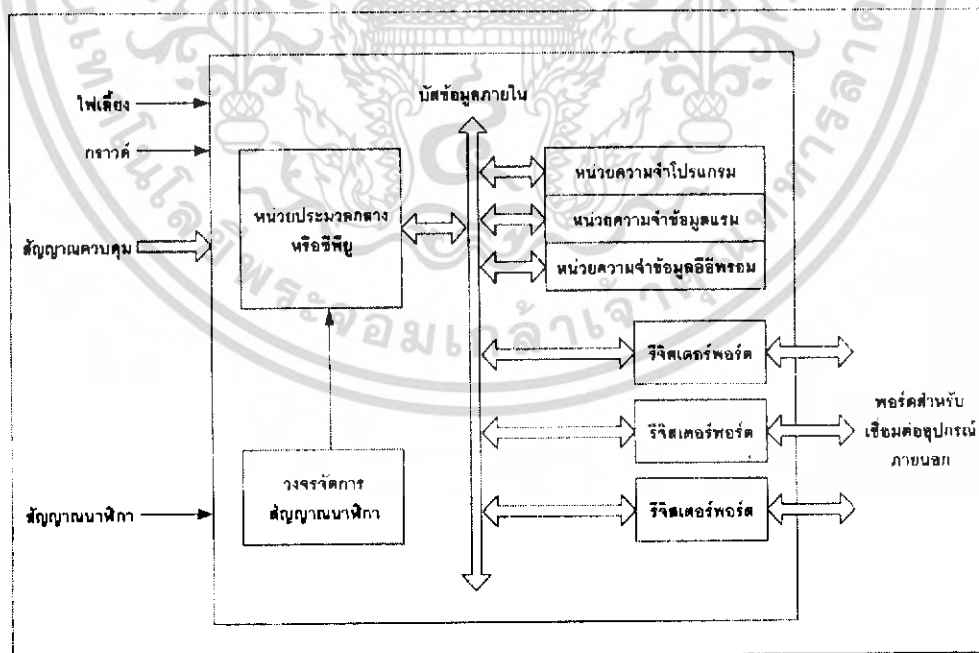
ในกรณีของคอนเวอร์เตอร์แบบฮาล์ฟบริดจ์และฟูลบริดจ์ วงจรขับเพาเวอร์มอสเฟตตัวบนตัวล่างจะต้องมีการแยกกราวด์ออกจากกัน จึงจำเป็นต้องให้หม้อแปลงหรือในกรณีที่ต้องการขับเพาเวอร์มอสเฟตมากกว่า 1 ตัว พร้อมกันก็จากต้องใช้หม้อแปลงช่วย การต่อหม้อแปลงฟิลล์ช็อกเอกสารนี้เป็นเอกสารที่สงวนไว้สำหรับการใช้งานเพื่อการศึกษาเท่านั้น ไม่อนุญาตให้นำไปใช้ประโยชน์ด้านการค้า ไม่ว่าจะกรณีใดๆ ทั้งสิ้น อีกทั้งห้ามมิให้คัดแปลงเนื้อหา และต้องอ้างอิงถึงเจ้าของเอกสารทุกครั้งที่มีการนำไปใช้

เข้ากับขาเกตและวงจรถวลุมโดยตรงอาจเกิดปัญหาการเลื่อนระดับของแรงดันเอาท์พุทที่หม้อแปลง และอาจมีปัญหาในการทำงานของเพาเวอร์มอสเฟตได้ การต่อวงจรถับเพาเวอร์มอสเฟตด้วยหม้อแปลงจึงควรทำในลักษณะดังรูปที่ 3.25

3.10 ไมโครคอนโทรลเลอร์

ไมโครคอนโทรลเลอร์ (Microcontroller) มาจากคำ 2 คำ คำหนึ่งคือ ไมโคร (micro) หมายถึง ขนาดเล็ก และคำว่า คอนโทรลเลอร์ (Controller) หมายถึง ตัวควบคุมหรืออุปกรณ์ควบคุม ดังนั้นไมโครคอนโทรลเลอร์ จึงหมายถึง อุปกรณ์ขนาดเล็ก แต่ในตัวอุปกรณ์ควบคุมขนาดเล็กนี้ได้บรรจุความสามารถที่คล้ายคลึงกับระบบคอมพิวเตอร์ที่คนโดยส่วนใหญ่คุ้นเคย กล่าวคือ ภายในตัวของไมโครคอนโทรลเลอร์ได้รวมเอาซีพียู, หน่วยความจำและพอร์ต ซึ่งเป็นส่วนประกอบที่สำคัญของระบบคอมพิวเตอร์เข้าไว้ด้วยกัน โดยได้บรรจุรวมกันอยู่ภายใต้ตัวถังเดียวกัน ดังในรูปที่ 3.26 ซึ่งแสดงส่วนประกอบหลักที่สำคัญและกลไกการทำงานเบื้องต้นของไมโครคอนโทรลเลอร์

ซีพียูจะติดต่อกับหน่วยความจำโปรแกรมเพื่ออ่านคำสั่งที่ระบุไว้ โดยจะต้องทำการอ้างตำแหน่งของหน่วยความจำผ่านสายสัญญาณที่เรียกว่า บัสแอดเดรส (Address bus) แล้วทำการอ่านข้อมูลคำสั่งออกมาจากหน่วยความจำโปรแกรมในแอดเดรสนั้นๆ หลังจากนั้นก็ทำการประมวลผล โดยมีหน่วยความจำข้อมูลแรมเป็นที่พักของข้อมูลที่อยู่ในระหว่างการประมวลผล หรืออาจมองว่าหน่วยความจำข้อมูลแรม



รูปที่ 3.26 แสดงโครงสร้างและส่วนประกอบหลักเบื้องต้นของไมโครคอนโทรลเลอร์

เอกสารนี้เป็นเอกสารที่สงวนไว้สำหรับการใช้งานเพื่อการศึกษาเท่านั้น ไม่อนุญาตให้นำไปใช้ประโยชน์ด้านการค้า ไม่ว่ากรณีใดๆ ทั้งสิ้น อีกทั้งห้ามมิให้คัดแปลงเนื้อหา และต้องอ้างอิงถึงเจ้าของเอกสารทุกครั้งที่มีการนำไปใช้

เป็นเสมือนกระดาดาทดในการคำนวณก็ได้ ข้อมูลในการประมวลผลนั้นจะถูกส่งผ่านสายสัญญาณที่เรียกว่า บัสข้อมูล (Data Bus) แล้วส่งต่อไปยัง อุปกรณ์ภายนอกผ่านทางพอร์ตอินพุตเอาต์พุต

3.10.1 การทำงานของไมโครคอนโทรลเลอร์

ไมโครคอนโทรลเลอร์จะสามารถทำงานได้เมื่อจ่ายไฟเลี้ยงและต่อวงจรกำเนิดสัญญาณนาฬิกาให้แก่มัน จากนั้นซีพียูภายในไมโครคอนโทรลเลอร์ จะติดต่อกับหน่วยความจำโปรแกรมเพื่ออ่านข้อมูลคำสั่งแล้วทำงานตามคำสั่งที่บรรจุอยู่ในหน่วยความจำโปรแกรมนั้นหมายความว่า ต้องมีการเขียนข้อมูลลงในหน่วยความจำโปรแกรมก่อน โดยไมโครคอนโทรลเลอร์แต่ละเบอร์ก็จะมีรูปแบบของข้อมูลคำสั่งที่แตกต่างกันออกไป ซึ่งจะต้องอาศัยกระบวนการเขียนโปรแกรม (Programming) ภาษาที่ใช้ในการเขียนโปรแกรมสามารถแบ่งได้ 2 ระดับคือ ภาษาสูง (High language) และภาษาแอสเซมบลี (Assembly language) โดยปกติไมโครคอนโทรลเลอร์ต้องการโปรแกรมที่เขียนด้วยภาษาแอสเซมบลี เพราะเนื่องจากสามารถทำงานได้รวดเร็วผ่านกระบวนการแปลงข้อมูลคำสั่งเป็นข้อมูลเลขฐานสิบหกเพื่อทำงานตามคำสั่งเพียง 1 ขั้นตอนคือแปลงจากภาษาแอสเซมบลีเป็นข้อมูลเลขฐานสิบหก หรือที่เรียกว่า ออปโค้ด (Op-code) แต่ข้อเสียของการเขียนโปรแกรมด้วยภาษาแอสเซมบลีคือ ผู้เขียนต้องทำความเข้าใจในชุดคำสั่งของไมโครคอนโทรลเลอร์ในเบอร์นั้นๆ อย่างท่องแท้ และเมื่อเปลี่ยนเบอร์ไมโครคอนโทรลเลอร์ก็ต้องทำการเรียนรู้และทำความเข้าใจชุดคำสั่งใหม่ ซึ่งอาจทำให้เสียเวลามาก และการเขียนโปรแกรมด้วยภาษาแอสเซมบลี ผู้เขียนต้องมีทักษะในการเขียนโปรแกรมสูงพอสมควร และเข้าใจถึงสถาปัตยกรรมของไมโครคอนโทรลเลอร์เป็นอย่างดี

ในขณะที่การเขียนโปรแกรมด้วยภาษาสูง ตัวอย่างเช่น ภาษาซี ภาษาเบสิก จะต้องผ่านกระบวนการที่เรียกว่า คอมไพล์ (Compile) เพื่อแปลงภาษาระดับสูงเหล่านั้นเป็นภาษาเครื่องหรือออปโค้ดของไมโครคอนโทรลเลอร์เบอร์นั้นๆ เสียก่อนและโปรแกรมที่ใช้ในการคอมไพล์นั้นเรียกว่า คอมไพเลอร์ (compiler) มักจะมีราคาแพง เมื่อใช้เครื่องมือทางซอฟต์แวร์ตัวนี้ ทำให้ผู้เขียนโปรแกรมอาจไม่จำเป็นต้องศึกษาสถาปัตยกรรมและชุดคำสั่งของไมโครคอนโทรลเลอร์เบอร์นั้นๆ อย่างลึกซึ้งเท่ากับการเขียนโปรแกรมด้วยภาษาแอสเซมบลี ทั้งนี้เพราะคอมไพเลอร์จะทำหน้าที่ในส่วนนี้แทน ดังนั้นเมื่อผู้ใช้งานเปลี่ยนเบอร์ไมโครคอนโทรลเลอร์ก็เพียงแค่จัดหาโปรแกรมคอมไพเลอร์ที่เหมาะสมมาใช้งาน และศึกษาสถาปัตยกรรมของไมโครคอนโทรลเลอร์เบอร์ใหม่อีกเพียงเล็กน้อยก็สามารถใช้งานได้ แต่ข้อเสียของการใช้คอมไพเลอร์คือ ราคาแพงมาก

3.10.2 โครงสร้างและคุณสมบัติของไมโครคอนโทรลเลอร์ 16F628

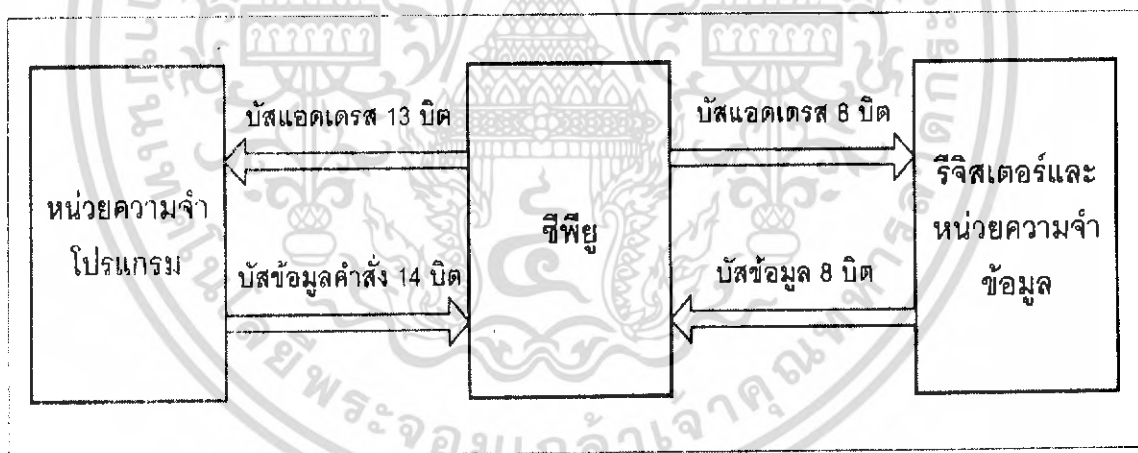
ไมโครคอนโทรลเลอร์ตระกูล PIC เป็นไมโครคอนโทรลเลอร์ที่มีสถาปัตยกรรมแบบฮาร์วาร์ด (Harvard Architecture) กล่าวคือ มีการจัดแยกหน่วยความจำโปรแกรมและหน่วยความจำข้อมูลออกจากกัน มีบัสสำหรับติดต่อแยกกัน ดังแสดงในรูปที่ 3.27 จะเห็นได้ว่าซีพียูภายในไมโครคอนโทรลเลอร์จะติดต่อกับหน่วยความจำโปรแกรมด้วยบัสของแอดเดรส 13 บิต

เอกสารนี้เป็นเอกสารที่สงวนไว้สำหรับการใช้งานเพื่อการศึกษาเท่านั้น ไม่อนุญาตให้นำไปใช้ประโยชน์ด้านการค้าไม่ว่ากรณีใดๆ ทั้งสิ้น อีกทั้งห้ามมิให้คัดแปลงเนื้อหา และต้องอ้างอิงถึงเจ้าของเอกสารทุกครั้งที่มีการนำไปใช้

และบัสของข้อมูลหน่วยความจำโปรแกรม 14 บิต ในขณะที่บัสติดต่อหน่วยความจำข้อมูลและรีจิสเตอร์ภายในเป็นแบบ 8 บิต

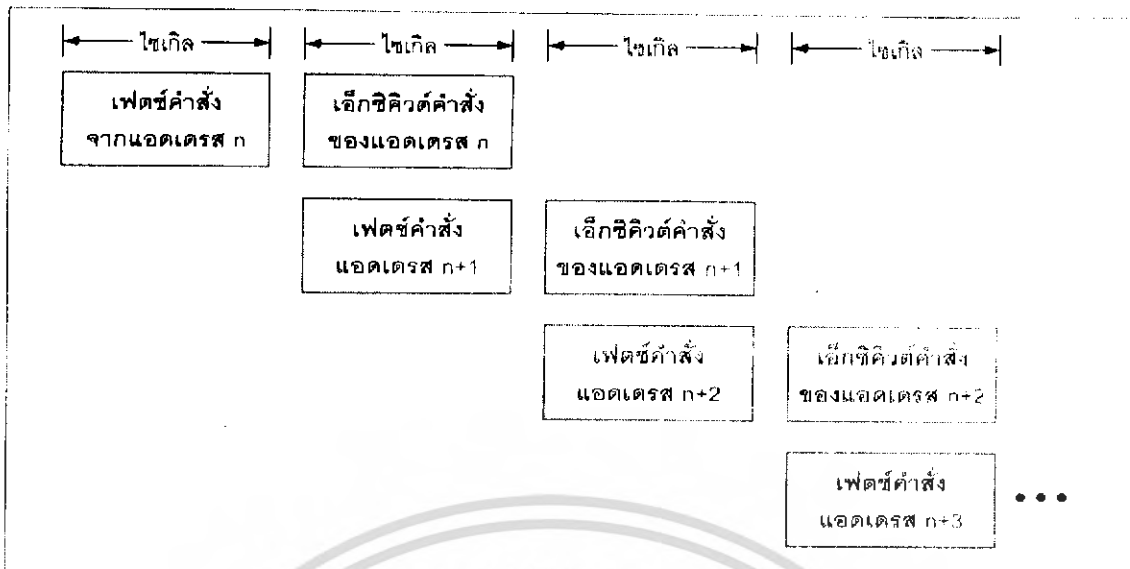
นอกจากการจัดสถาปัตยกรรมภายในแบบนี้แล้ว การกระทำคำสั่งทำงานของไมโครคอนโทรลเลอร์ PIC ยังใช้กระบวนการที่เรียกว่า ไปป์ไลน์ (Pipeline) ทำให้สามารถเฟตช์คำสั่งถัดไป ในขณะที่กำลังเอ็กซีคิวต์คำสั่งในปัจจุบัน ส่งผลให้ความเร็วในการทำงานของไมโครคอนโทรลเลอร์เพิ่มมากขึ้น นั่นจึงเป็นที่มา ของความสามารถในการกระทำคำสั่ง 1 คำสั่งภายในสัญญาณนาฬิกา 1 ลูก (กระบวนการเฟตช์) เป็นกระบวนการเรียกคำสั่งออกจากหน่วยความจำโปรแกรมแล้วทำการแปลคำสั่งนั้นให้ไปอยู่ในรหัสเลขฐาน 16 เพื่อให้ซีพียูเข้าใจ ส่วนกระบวนการเอ็กซีคิวต์ (Execute) เป็นการกระทำคำสั่งให้เกิดผลลัพธ์ตามที่คำสั่งนั้นๆกำหนด สำหรับกระบวนการไปป์ไลน์แสดงดังในรูปที่ 3.28

เมื่อเริ่มต้นกระทำคำสั่งที่ 1 ซีพียูจะเฟตช์คำสั่งจากหน่วยความจำโปรแกรมที่แอดเดรส n จากนั้นทำการเอ็กซีคิวต์ในไซเกิลต่อมา และที่ไซเกิลของการเอ็กซีคิวต์คำสั่งที่แอดเดรส n นั้น ซีพียูก็จะเริ่มต้นเฟตช์คำสั่งจากแอดเดรส $n+1$ ทันที เมื่อเอ็กซีคิวต์คำสั่งที่แอดเดรส n เรียบร้อย ซีพียูก็จะสามารถเอ็กซีคิวต์คำสั่งแอดเดรส $n+1$ ต่อเนื่องกันไปได้ในทันที และในทำนองเดียวกัน ขณะที่กำลังเอ็กซีคิวต์คำสั่งแอดเดรส $n+1$ ซีพียูก็จะดำเนินการเฟตช์คำสั่งที่แอดเดรส $n+2$ ต่อไป

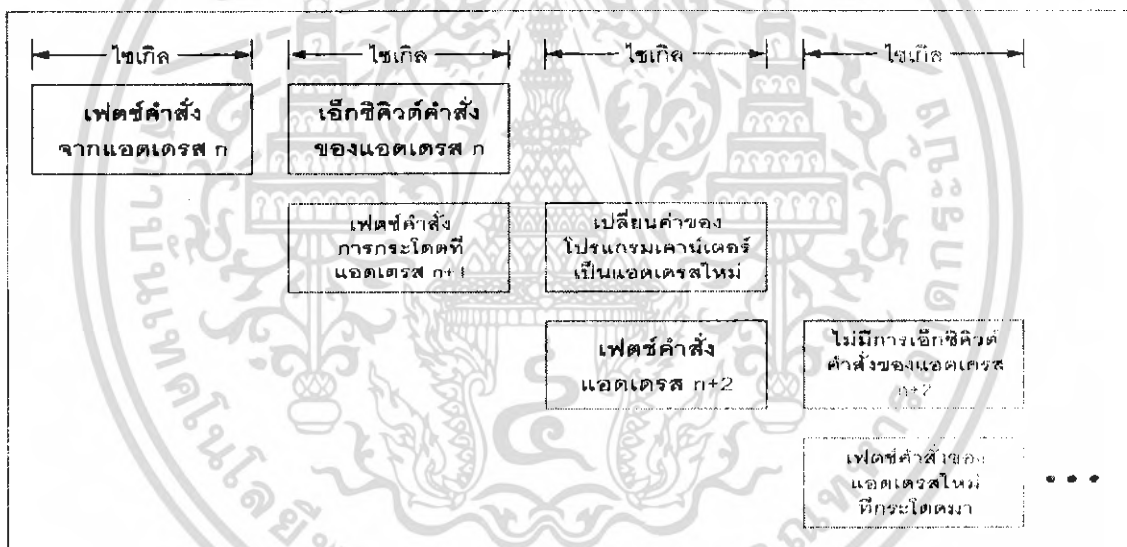


รูปที่ 3.27 โดอะแกรมการทำงานพื้นฐานของไมโครคอนโทรลเลอร์ที่ใช้สถาปัตยกรรมแบบฮาร์วาร์ด

เอกสารนี้เป็นเอกสารที่สงวนไว้สำหรับการใช้งานเพื่อการศึกษาเท่านั้น ไม่อนุญาตให้นำไปใช้ประโยชน์ด้านการค้า ไม่ว่ากรณีใดๆ ทั้งสิ้น อีกทั้งห้ามมิให้คัดแปลงเนื้อหา และต้องอ้างอิงถึงเจ้าของเอกสารทุกครั้งที่มีการนำไปใช้



รูปที่ 3.28 แสดงไดอะแกรมของกระบวนการไปป์ไลน์ที่ใช้ไมโครคอนโทรลเลอร์ PIC



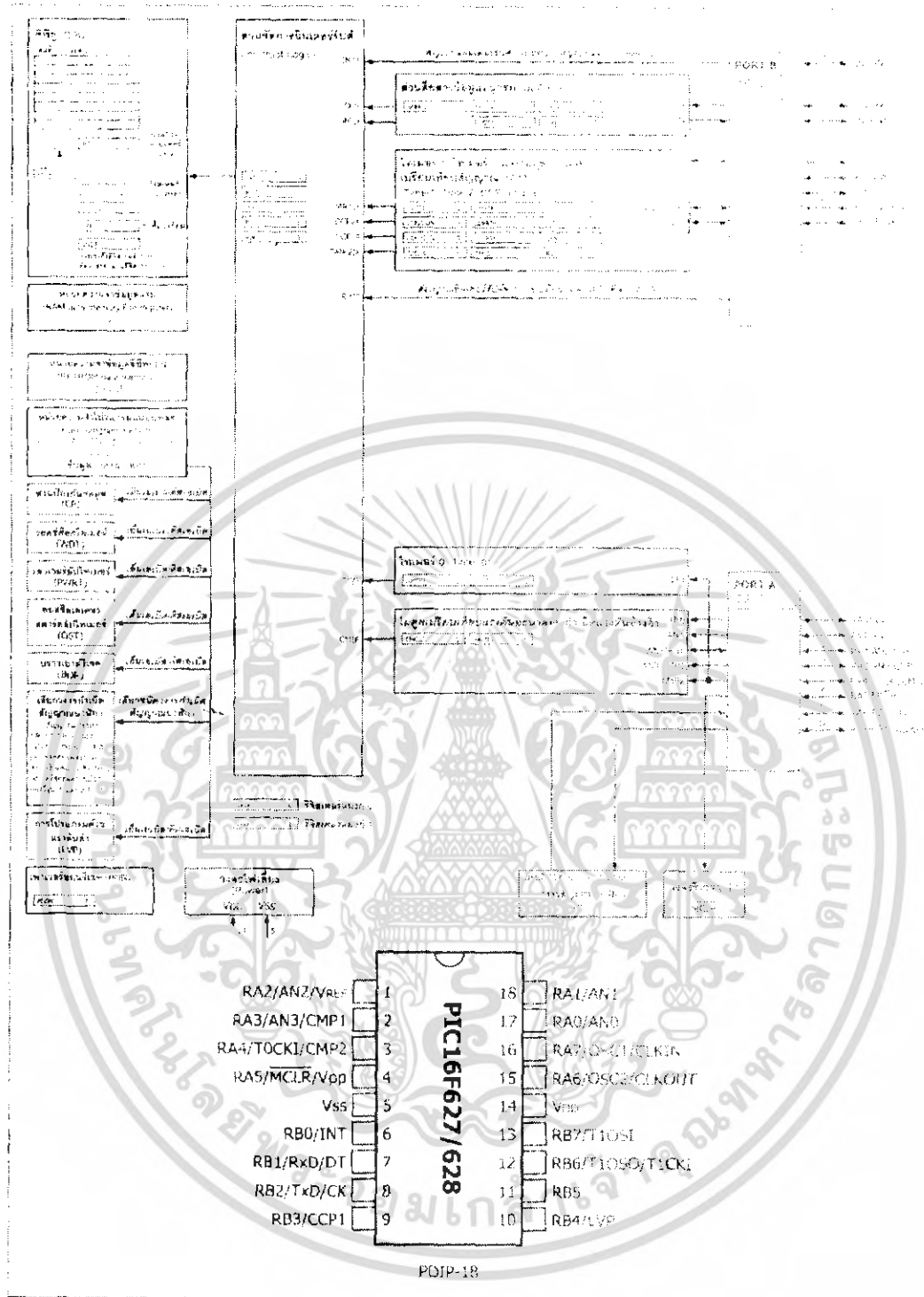
รูปที่ 3.29 แสดงไดอะแกรมของกระบวนการไปป์ไลน์เมื่อกระทำคำสั่งการกระโดด

แต่ถ้าคำสั่งที่กระทำนั้นเป็นคำสั่งการกระโดด จะมีขั้นตอนที่เพิ่มขึ้นมา ดังแสดงในรูปที่ 3.29 เมื่อทำการเอ็กซีคิวต์คำสั่งที่แอดเดรส n ซีพียูก็จะทำการเฟตช์คำสั่งที่แอดเดรส $n+1$ ปรากฏว่าคำสั่งที่แอดเดรส $n+1$ นั้นเป็นคำสั่งการกระโดด ดังนั้นในไซเกิลถัดไปจึงยังไม่เกิดการเอ็กซีคิวต์ในทันที แต่จะเป็นการเปลี่ยนค่าของโปรแกรมเคาน์เตอร์ (PC : Program Counter) ซึ่งเป็นรีจิสเตอร์ที่ใช้ในการระบุแอดเดรสถัดไปที่ซีพียูจะไปทำงาน ทำให้เกิดการกระโดดไปยังแอดเดรสใหม่ ในระหว่างที่เกิดการกระโดดไปยังแอดเดรสใหม่นั้น ซีพียูจะทำการเฟตช์คำสั่งที่แอดเดรส $n+2$ ต่อไปตามขั้นตอนปกติแต่ทว่าเมื่อการกระโดดสิ้นสุดลง แอดเดรสเอกสารนี้เป็นเอกสารที่สงวนไว้สำหรับการใช้งานเพื่อการศึกษาเท่านั้น ไม่อนุญาตให้นำไปใช้ประโยชน์ด้านการค้า ไม่ว่ากรณีใดๆ ทั้งสิ้น อีกทั้งห้ามมิให้คัดแปลงเนื้อหา และต้องอ้างอิงถึงเจ้าของเอกสารทุกครั้งที่มีการนำไปใช้

ของการทำงานเปลี่ยนไป จึงไม่เกิดการเอ็กซีคิวต์คำสั่งที่แอดเดรส $n+2$ แต่จะเกิดการเฟตช์คำสั่งที่แอดเดรสใหม่กระโดดมาแทน จากนั้นจึงเข้าสู่กระบวนการทำงานตามปกติต่อไป ดังนั้นคำสั่งการกระโดด จึงต้องใช้ขนาดของหน่วยความจำมากกว่า 1 ไบต์ ส่งผลให้ต้องใช้สัญญาณนาฬิกาในการกระทำคำสั่งในกลุ่มนี้ 2 ลูก ซึ่งแตกต่างจากคำสั่งอื่นๆ ของไมโครคอนโทรลเลอร์ PIC ที่ใช้สัญญาณนาฬิกาเพียง 1 ลูก

3.10.3 โครงสร้างของไมโครคอนโทรลเลอร์ PIC16F628

แสดงดังในรูปที่ 3.30 ซึ่งเป็นส่วนประกอบหลักก็จะเหมือนกับไมโครคอนโทรลเลอร์ PIC16F628 แต่จะมีส่วนที่เพิ่มเติมเข้ามามากพอควร ได้แก่ วงจรบราวเอาต์รีเซต (Brown-out reset) สำหรับสร้างสัญญาณรีเซตซีพียูเมื่อไฟเลี้ยงลดต่ำลงเกินกว่าที่กำหนด, วงจรโปรแกรมข้อมูลด้วยแรงดันต่ำ (Low-Voltage Programming), ไทเมอร์ที่มีมากถึง 3 ตัว, โมดูลแรงดันเปรียบเทียบ (Reference Voltage Module), โมดูลเปรียบเทียบแรงดันอะนาล็อก 2 ชุด (Analog Comparator), วงจรสื่อสารอนุกรม (USART : Universal Synchronous Asynchronous Receiver Transmitter) และโมดูลตรวจจับสัญญาณ-เปรียบเทียบข้อมูล-วงจรถ่ายสัญญาณมอดูเลชันทางความกว้างของพัลส์หรือ PWM (CCP : Capture Compare Pulse-width modulation module) นอกจากนี้ขนาดของหน่วยความจำทั้งส่วนโปรแกรม, ข้อมูล, รีจิสเตอร์ และหน่วยความจำอีอีพรอมในไมโครคอนโทรลเลอร์ PIC16F628 ก็มีเพิ่มมากขึ้น



รูปที่ 3.30 ไดอะแกรมโครงสร้างการทำงานและการจัดขาของไมโครคอนโทรลเลอร์ PIC16F628

เอกสารนี้เป็นเอกสารที่สงวนไว้สำหรับการใช้งานเพื่อการศึกษาเท่านั้น ไม่อนุญาตให้นำไปใช้ประโยชน์ด้านการค้าไม่ว่ากรณีใดๆ ทั้งสิ้น อีกทั้งห้ามมิให้ดัดแปลงเนื้อหา และต้องอ้างอิงถึงเจ้าของเอกสารทุกครั้งที่มีการนำไปใช้

3.10.4 คุณสมบัติทางเทคนิคของ PIC16F62X

1. ซีพียูเป็นแบบ RISC (Reduce Instruction-Set Computer) มีคำสั่งใช้งานเพียง 35 คำสั่ง ความถี่สัญญาณนาฬิกา ตั้งแต่ไฟตรงถึง 20 เมกกะเฮิร์ต (สูงสุด)
2. ขนาดหน่วยความจำโปรแกรม 1 กิโลวัตต์ สำหรับ PIC16F627 และ 2 กิโลวัตต์ สำหรับ PIC16F628
3. หน่วยความจำแรมข้อมูล 224 ไบต์
4. หน่วยความจำข้อมูลอีอีพรอม 128 ไบต์
5. ตอบสนองแหล่งกำเนิดอินเดอริ์ปต์ได้ 10 แหล่ง
6. มีสแต็ก 8 ระดับ
7. มีวงจรเพาเวอร์อนรีเซต (POR), เพาเวอร์อัปไทเมอร์ (PWRT) และออสซิลเลเตอร์สตาร์ทอัปไทเมอร์ (OST)
8. มีวอตช์ด็อกไทเมอร์ (WDT) ที่มีวงจรออสซิลเลเตอร์ในตัว ทำให้มีความน่าเชื่อถือในการทำงานสูง
9. เลือกป้องกันข้อมูลทั้งในหน่วยความจำโปรแกรมและหน่วยความจำข้อมูล และเลือกระดับการป้องกันได้
10. เลือกใช้วงจรกำเนิดสัญญาณนาฬิกาได้ 6 โหมดหลัก
 - a. โหมด EC ใช้สัญญาณนาฬิกาจากภายนอก
 - b. โหมด ER ใช้ตัวต้านทานภายนอก
 - c. โหมด INTRC ใช้วงจร RC ภายในไมโครคอนโทรลเลอร์มี 2 ความถี่ให้เลือก
 - d. โหมด LP ใช้คริสตอลพลังงานต่ำ ความถี่สูงสุดไม่เกิน 200 กิโลเฮิร์ต
 - e. โหมด XT ใช้คริสตอล ความถี่ตั้งแต่ 100 กิโลเฮิร์ต สูงสุดไม่เกิน 4 เมกกะเฮิร์ต
 - f. โหมด HS ใช้คริสตอลความถี่สูง สูงสุดไม่เกิน 20 เมกกะเฮิร์ต (ต้องใช้กับรุ่นที่รองรับความถี่ 20 เมกกะเฮิร์ตด้วย)
11. สามารถโปรแกรมในวงจรได้
12. กระแสซิงก์และซอร์สของพอร์ต 25 มิลลิแอมป์
13. สามารถโปรแกรมโดยใช้แรงดัน +5 โวลต์ ได้
14. ไฟเลี้ยง +3 ถึง +5.5 โวลต์
15. ขาพอร์ตปกติ 15 บิต สูงสุด 16 บิต เมื่อทำงานในโหมด INTRC และกำหนดให้ MCLR เป็นพอร์ตอินพุต
16. ไทเมอร์ 3 ตัว (ไทเมอร์ 0, 1, 2)
17. มีโมดูล CCP (Capture/Compare/PWM) 1 ชุด
18. มีโมดูลเปรียบเทียบแรงดันอะนาลอก 2 ชุด
19. มีโมดูลสร้างแรงดันอ้างอิง
20. มีโมดูลสื่อสารข้อมูลอนุกรม USART

เอกสารนี้เป็นเอกสารที่สงวนไว้สำหรับการใช้งานเพื่อการศึกษาเท่านั้น ไม่อนุญาตให้นำไปใช้ประโยชน์ด้านการค้าไม่ว่ากรณีใดๆ ทั้งสิ้น อีกทั้งห้ามมิให้ตัดแปลงเนื้อหา และต้องอ้างอิงถึงเจ้าของเอกสารทุกครั้งที่มีการนำไปใช้

21. มิโมคูลตรวจจับระดับแรงดันไฟเลี้ยงหรือบราวเอาต์ดีเท็กชัน (Brown-out Detection) เพื่อสร้างสัญญาณรีเซตซีพียูหรือเรียกว่า บราวเอาต์รีเซต (Brown-out reset :BOR)
22. การใช้พลังงานไฟฟ้าในกรณีไม่ขับโหลด
23. น้อยกว่า 2 มิลลิแอมป์ ที่ +5 โวลต์ และสัญญาณนาฬิกา 4 เมกกะเฮิร์ต 15 ไมโครแอมป์ ที่ +3 โวลต์ และสัญญาณนาฬิกา 32 กิโลเฮิร์ต
24. น้อยกว่า 1 ไมโครแอมป์ ในโหลดประหยัดพลังงานหรือสแตนด์บายที่ไฟเลี้ยง

3.11 หัวคอบพลาสมา (Torch)

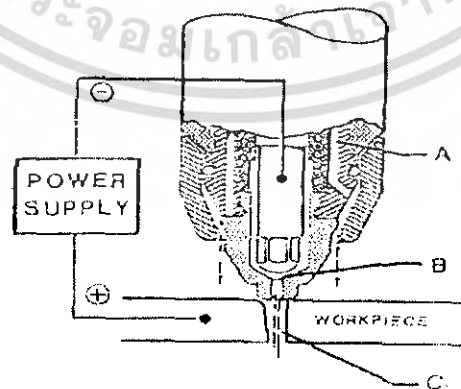
วัสดุที่นิยมนำมาใช้เป็นขั้วไฟฟ้าในต้นกำเนิดอาร์คพลาสมามี 3 ชนิด คือ ทั้งสแตนทองแดง และแกรไฟต์

ทั้งสแตน

ตามปกติแล้วจะใช้ทั้งสแตนเป็นขั้วไฟฟ้าสลับ ทั้งสแตนที่ใช้จะเป็นโลหะบริสุทธิ์ หรือจะมีทอเรียมหรือเซอร์โคเนียปนอยู่ด้วย เหตุที่ใช้ทั้งสแตนเป็นขั้วไฟฟ้า เพราะทั้งสแตนมีคุณสมบัติให้อิเล็กตรอนเมื่อได้รับความร้อน (Thermionic Emission) ได้ง่ายและมีจุดหลอมตัวสูง

ทองแดง

ตามปกติจะใช้ทองแดงเป็นขั้วไฟฟ้าบวก โดยจะนิยมใช้เนื่องจาก นำความร้อน และนำไฟฟ้าได้ดี ของเสียของทองแดงคือมีจุดหลอมตัวต่ำ การใช้ทองแดงเป็นขั้วไฟฟ้าจึงต้องมีการระบายความร้อนได้เพียงพอ หรือมีกลไกมาหมุนตรงบริเวณที่รองรับอาร์ค เพื่อกระจายความร้อนมิให้ได้รับมากเกินไปจนเกิดหลอมละลายได้ถ้ากำลังไฟฟ้าที่ใช้ไม่สูงมากนัก ถ้ากำลังไฟฟ้าไม่สูงมากนัก จะใช้ก๊าซที่นำมาทำเป็นพลาสมาก๊าซ การออกแบบลักษณะขั้วไฟฟ้ามีความสำคัญมากในงานต้นกำเนิดพลาสมา เนื่องจากการออกแบบที่ไม่เหมาะสม จะทำให้เกิดอาร์คไม่ทั่วถึง เป็นผลให้พลาสมาที่เกิดขึ้นไม่เสถียรภาพ โดยปกติจะออกแบบให้ขั้วไฟฟ้าด้านหนึ่งมีลักษณะเป็นแท่ง อีกด้านหนึ่งเป็นวงแหวน หรือรูปทรงกระบอก ดังรูปที่ 3.31



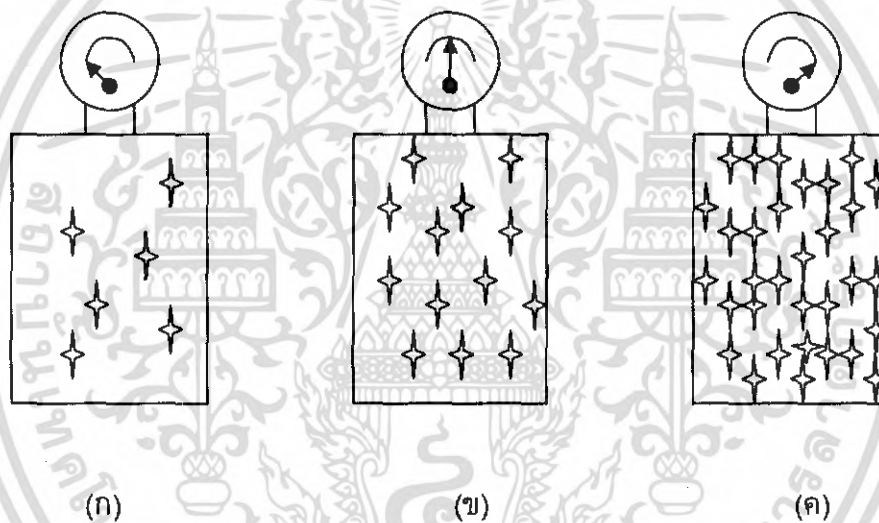
รูปที่ 3.31 แสดงหัวคอบพลาสมา

เอกสารนี้เป็นเอกสารที่สงวนไว้สำหรับการใช้งานเพื่อการศึกษาเท่านั้น ไม่อนุญาตให้นำไปใช้ประโยชน์ด้านการค้าไม่ว่ากรณีใดๆ ทั้งสิ้น อีกทั้งห้ามมิให้ตัดแปลงเนื้อหา และต้องอ้างอิงถึงเจ้าของเอกสารทุกครั้งที่มีการนำไปใช้

พลาสติกก๊าซจะผ่านเข้ามาเรื่อยๆ ขั้วไฟฟ้าผ่านอาร์ค แล้วพุ่งผ่านรูขั้วไฟฟ้า ที่เจาะไว้ออกไป ด้านนอก Zone A เพื่อเป็นการระบายความร้อนออกจากคอมพลาสติก อีกส่วนหนึ่งจะผ่านบริเวณ ขั้วไฟฟ้าทั้งสอง Zone B ใน Zone C นั้นเป็น Zone ที่ก๊าซถูกเปลี่ยนสถานะเป็นพลาสติกโดย สมบูรณ์ และอุณหภูมิที่สูงของพลาสติกที่เกิดขึ้นได้ถูกส่งผ่านไปยังชิ้นงาน

3.12 เครื่องอัดอากาศ (Air compressor)

เครื่องอัดอากาศ (Air compressor) จะทำหน้าที่ผลิตลม เพื่อที่จะนำมาใช้เป็นพลาสติก ก๊าซ โดยจะเพิ่มความดันของอากาศ หรือก๊าซให้สูงขึ้น โดยที่ความดันของก๊าซ จะมีผลโดยตรง กับอุณหภูมิของก๊าซ นั่นคือ เมื่อความดันของก๊าซเพิ่มขึ้น อุณหภูมิของก๊าซก็จะเพิ่มขึ้นด้วย เช่นกัน เราสามารถอธิบายได้จากรูปที่ 3.32



รูปที่ 3.32 แสดงโมเลกุลและความดันของก๊าซ

จากรูปที่ (ก) แสดงภาพของโมเลกุลในบรรยากาศ โมเลกุลเคลื่อนที่แต่ความเร็วไม่ถึง ดังนั้นแรงกระแทกผนังจึงน้อยเพิ่มความดันจึงขึ้นน้อย

จากรูปที่ (ข) แสดงภาพของโมเลกุลในบรรยากาศเมื่อมีอุณหภูมิสูงขึ้น โมเลกุลจะเคลื่อนที่รวดเร็วขึ้น จึงทำให้แรงกระแทกสูงขึ้น เพิ่มความดันจึงสูงขึ้น และถ้าเปิดภาชนะโมเลกุล ก็จะออกมาจากภาชนะ

จากรูปที่ (ค) ก๊าซถูกอัด ความหนาแน่นสูงขึ้น ทำให้เกิดแรงกระแทกสูงกระทำกับฝาผนัง มีผลทำให้ความดันสูงขึ้น

เอกสารนี้เป็นเอกสารที่สงวนไว้สำหรับการใช้งานเพื่อการศึกษาเท่านั้น ไม่อนุญาตให้นำไปใช้ประโยชน์ด้านการค้า ไม่ว่ากรณีใดๆ ทั้งสิ้น อีกทั้งห้ามมิให้ตัดแปลงเนื้อหา และต้องอ้างอิงถึงเจ้าของเอกสารทุกครั้งที่มีการนำไปใช้

คุณสมบัติทางกายภาพของอากาศ ก่อนที่จะถูกอัดเครื่องอัดอากาศนั้นจะประกอบด้วย 1 ส่วนออกซิเจน และ 4 ส่วนไนโตรเจนโดยปริมาตร ซึ่งรายละเอียดขององค์ประกอบของอากาศ แสดงดังตารางที่ 3.3

ตารางที่ 3.3 ตารางแสดงองค์ประกอบของอากาศ

องค์ประกอบของอากาศ	ไนโตรเจน (N_2)	ออกซิเจน (O_2)	อาร์กอน (A_r)	คาร์บอนไดออกไซด์ (CO_2)	ไอน้ำ ฝุ่น น้ำมัน ฯลฯ
ร้อยละโดยปริมาตร (%)	79.09	20.95	0.93	0.03	มีบ้าง
ร้อยละโดยน้ำหนัก (%)	75.53	23.14	1.28	0.05	มีบ้าง

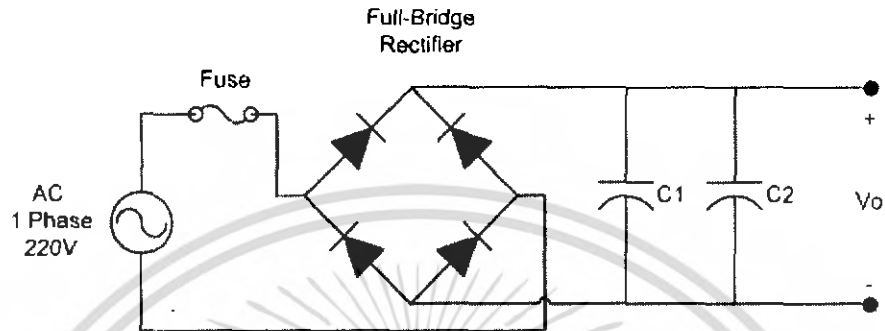
ถ้าคิดอย่างละเอียดแล้วจะพบว่า อากาศเป็นก๊าซผสมซึ่งประกอบด้วย ไนโตรเจน ออกซิเจนและก๊าซเฉื่อย ดังนั้นจากการศึกษา พบว่าอากาศที่ผ่านการอัดด้วยเครื่องอัดอากาศ (Air Compressor) มีความเหมาะสมอย่างยิ่งที่เราจะนำมาเป็น พลาสมาก๊าซ สำหรับเป็นต้นกำเนิดความร้อน และสำหรับงานวิจัยนี้จะใช้พลาสมาก๊าซจากเครื่องอัดอากาศที่ความดันประมาณ 3.1 – 6.5 บาร์

เอกสารนี้เป็นเอกสารที่สงวนไว้สำหรับการใช้งานเพื่อการศึกษาเท่านั้น ไม่อนุญาตให้นำไปใช้ประโยชน์ด้านการค้า ไม่ว่ากรณีใดๆ ทั้งสิ้น อีกทั้งห้ามมิให้ตัดแปลงเนื้อหา และต้องอ้างอิงถึงเจ้าของเอกสารทุกครั้งที่มีการนำไปใช้

บทที่ 4

การออกแบบแหล่งจ่ายกำลังไฟฟ้าแบบสวิตซิ่ง

4.1 วงจรเรียงกระแสและกรองกระแส



รูปที่ 4.1 วงจรเรียงกระแสความถี่ต่ำและฟิวส์

4.1.1 การเลือกฟิวส์

เนื่องจากการเลือกใช้งานมอสเฟต IRFP460 ที่มีขนาดทนแรงดัน 500 โวลต์ และทนกระแสสูงสุดได้ 20 แอมป์ แต่เมื่อนำมาใช้งานจริงที่สภาวะอุณหภูมิที่สูงขึ้นก็จะทำให้กระแสพิกัดของมอสเฟตลดลงดังนั้นจะต้องนำอุณหภูมิที่ใช้งานไปหาค่ากระแสจากกราฟคุณสมบัติของมอสเฟตดังรูปที่ 4.2

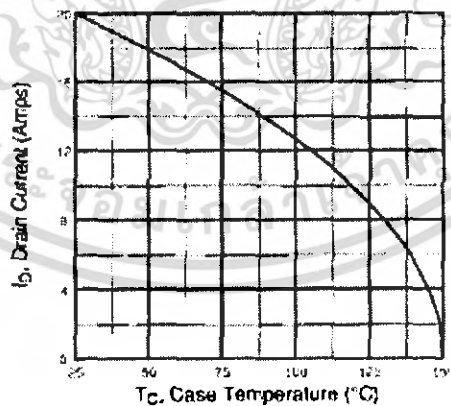


Fig 9. Maximum Drain Current Vs. Case Temperature

รูปที่ 4.2 กราฟแสดงความสัมพันธ์ระหว่างกระแสพิกัดและอุณหภูมิ

เอกสารนี้เป็นเอกสารที่สงวนไว้สำหรับการใช้งานเพื่อการศึกษาเท่านั้น ไม่อนุญาตให้นำไปใช้ประโยชน์ด้านการค้า ไม่ว่ากรณีใดๆ ทั้งสิ้น อีกทั้งห้ามมิให้ตัดแปลงเนื้อหา และต้องอ้างอิงถึงเจ้าของเอกสารทุกครั้งที่มีการนำไปใช้

เมื่อนำมอสเฟตมาใช้งานจะเลือกใช้ที่อุณหภูมิประมาณ 60°C ดังนั้นกระแสพิกัดของมอสเฟตจะเป็น 15 แอมป์ และเมื่อนำมอสเฟตมาต่อขนานกันจะได้กระแสพิกัดที่ 30 แอมป์ ดังนั้นเราจะเลือกใช้ฟิวส์ที่มีขนาด 30 แอมป์

4.1.2 การเลือกขนาดของไดโอดเรียงกระแสแบบฟลูบริดจ์

การเลือกไดโอดเรียงกระแสนั้นจะต้องคำนึงถึงขนาดกระแสพิกัดที่ไหลผ่านไดโอด โดยจะคำนวณได้จากสมการที่ 3.2

$$I_e = \frac{P_{in}}{V_m}$$

$$\begin{aligned} \text{แรงดันไฟฟ้ากระแสสลับด้านเข้า} &= 220 \text{ โวลต์} \\ \text{ค่ายอดของแรงดันไฟฟ้ากระแสสลับ (} V_m \text{)} &= 220 \times 1.414 \text{ โวลต์} \\ &= 310 \text{ โวลต์} \\ \text{แรงดันกระแสเฟอิม (} V_r \text{)} &= 0.10 \times 310 \text{ โวลต์} \\ &= 31 \text{ โวลต์} \\ \text{แรงดันไฟฟ้ากระแสตรงเฉลี่ย} &= \text{แรงดันไฟฟ้ากระแสตรงสูงสุด} - \left(\frac{V_r}{2}\right) \text{ โวลต์} \\ &= 310 - (31/2) \text{ โวลต์} \\ &= 294.5 \text{ โวลต์} \\ \text{เมื่อ } P_m &= 4,000 \text{ วัตต์, } V_m = 294.5 \text{ โวลต์} \\ \text{ดังนั้น } I_e &= \text{กำลังไฟฟ้านำเข้าสูงสุด} / \text{แรงดันไฟฟ้ากระแสตรงเฉลี่ย} \\ &= 4,000 / 294.5 \\ &= 13.5 \text{ แอมป์} \end{aligned}$$

4.1.3 การคำนวณหาตัวเก็บประจุ

การคำนวณค่าความจุไฟฟ้า C สามารถได้ดังนี้

สำหรับข้อกำหนดของแหล่งจ่ายกำลังแบบสวิดซึ่ง สำหรับเครื่องตัดโลหะแบบพลาสมามีกำลังไฟฟ้านำเข้าประมาณ 4,000 วัตต์ ดังนั้น ค่าตัวเก็บประจุ C หาได้จากสมการที่ 3.3

$$C = \frac{I_e \Delta t}{\Delta V_{ripple}}$$

โดยที่ $I_e = 13.5$ แอมป์

เวลา $t \approx 1/2$ ของคาบเวลาไฟฟ้ากระแสสลับด้านเข้า

เอกสารนี้เป็นเอกสารที่สงวนไว้สำหรับการใช้งานเพื่อการศึกษาเท่านั้น ไม่อนุญาตให้นำไปใช้ประโยชน์ด้านการค้าไม่ว่ากรณีใดๆ ทั้งสิ้น อีกทั้งห้ามมิให้ตัดแปลงเนื้อหา และต้องอ้างอิงถึงเจ้าของเอกสารทุกครั้งที่มีการนำไปใช้

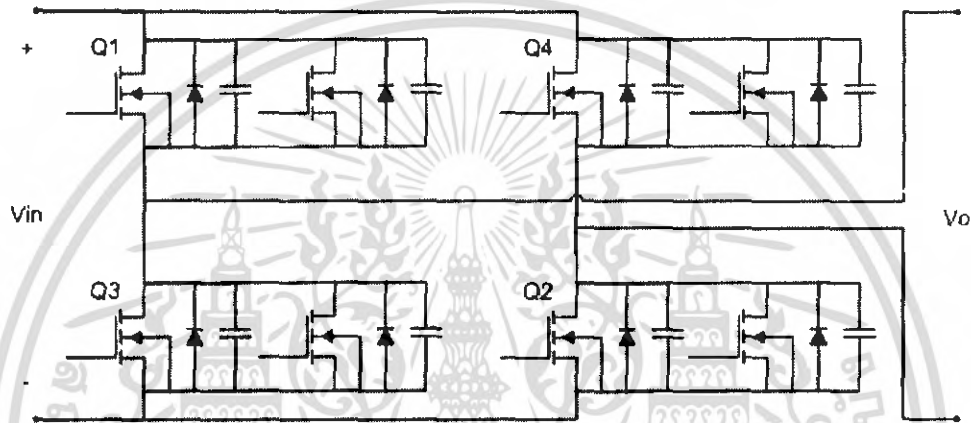
(ไฟกระแสสลับ 50 Hz, คาบเวลา 20 มิลลิวินาที)

≈ 10 มิลลิวินาที

$$\begin{aligned} \text{ดังนั้นค่า } C \text{ ที่ต้องการคือ} &= 13.5 \times 0.01 / 31 \\ &= 4,355 \text{ ไมโครฟารัด} \end{aligned}$$

สำหรับคาปาซิเตอร์ที่เลือกใช้จะเป็นแบบอิเล็กโทรไลต์ ซึ่งต้องมีขนาดความจุรวม 4,500 ไมโครฟารัด โดยในที่นี้จะเลือกเป็น C1, C2 ≈ 2,500 ไมโครฟารัด 450 โวลต์

4.2 วงจรฟลูบริดจ์คอนเวอร์เตอร์



รูปที่ 4.3 วงจรฟลูบริดจ์คอนเวอร์เตอร์

การหาขนาดของสวิตช์

ขนาดของแรงดันสูงสุดคร่อมสวิตช์ ที่ใช้ในวงจรฟลูบริดจ์คอนเวอร์เตอร์ จะมีค่าไม่เกิน 310 โวลต์ สำหรับกรณีแรงดันจากแหล่งจ่ายเป็น 220 โวลต์ และสามารถหาขนาดของสวิตช์ได้โดยใช้สมการ

$$\begin{aligned} \text{ขนาดแรงดันของสวิตช์มอสเฟสกำลัง} &= 220 \times \sqrt{2} = 310 \text{ โวลต์} \\ \text{และจากสมการที่ 3.4} & \end{aligned}$$

$$I_p = \frac{P_m}{T_d V_m}$$

โดยที่ $P_m = 4,000$ วัตต์, $T_d = 0.8$, $V_m = 310$ โวลต์

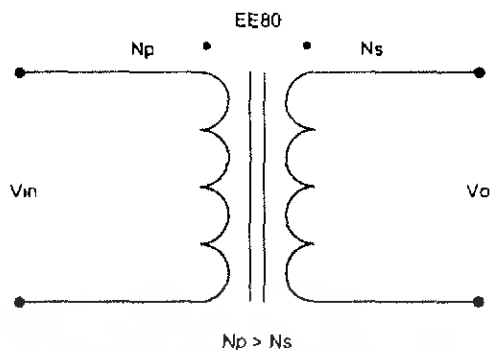
$$\begin{aligned} \text{ดังนั้น } I_p &= 4,000 / (0.8 \times 310) \\ &= 16 \text{ แอมป์} \end{aligned}$$

ทำการเลือกมอสเฟตที่ทนกระแสพิกัด 20 แอมป์ และทนแรงดัน 310 โวลต์

จะได้มอสเฟต IRFP 460 ขนานกัน 2 ตัว

เอกสารนี้เป็นเอกสารที่สงวนไว้สำหรับการใช้งานเพื่อการศึกษาเท่านั้น ไม่อนุญาตให้นำไปใช้ประโยชน์ด้านการค้า ไม่ว่ากรณีใดๆ ทั้งสิ้น อีกทั้งห้ามมิให้ตัดแปลงเนื้อหา และต้องอ้างอิงถึงเจ้าของเอกสารทุกครั้งที่มีการนำไปใช้

4.3 หม้อแปลงสวิตชิงความถี่สูง



รูปที่ 4.4 หม้อแปลงความถี่สูงแบบแกน EE80

ขั้นตอนการออกแบบการคำนวณหม้อแปลงสวิตชิงความถี่สูง

1. ข้อกำหนดการออกแบบหม้อแปลง

1. แรงดันไฟฟ้าด้านเข้า	$310 \pm 15\%$	โวลต์
2. ความถี่ที่ใช้งาน	40	กิโลเฮิรต์
3. แรงดันไฟฟ้าด้านออกที่พิกัด	100	โวลต์
4. กำลังไฟฟ้าด้านออกที่พิกัด	4000	วัตต์
5. กระแสไฟฟ้าด้านออกที่พิกัด	40	แอมป์

2. กำหนดขนาดของแกนแม่เหล็ก

การเลือกหรือกำหนดขนาดแกนแม่เหล็กมีวิธีการคำนวณ 2 วิธี

1. Area Product Ap Approach
2. Core Geometry Kg Approach

ในที่นี้จะขอกล่าวถึงเฉพาะในกรณี Area Product Ap Approach เพราะเป็นวิธีที่ง่าย เหมาะสำหรับกับบุคคลที่กำลังเริ่มศึกษาที่ยังไม่มีประสบการณ์

2.1 การออกแบบโดยใช้วิธีการคำนวณแบบ Ap Approach

1. กำหนดหาค่า Area Product ซึ่งเป็นการหาค่าผลคูณระหว่างพื้นที่หน้าตัดของแกนเหล็ก (S) กับพื้นที่ของช่องหน้าต่าง (W) ดังสมการที่ 4.1

$$A_p = W \cdot S = \frac{P_{out}}{2 \cdot k \cdot B_{max} \cdot f \cdot J} \quad (4.1)$$

เมื่อ k คือ ขีดจำกัดของหน้าต่าง มีค่าในช่วง 0.3 - 0.6

B_{max} คือ ความหนาแน่นของฟลักซ์แม่เหล็ก ซึ่งค่า B_{max} จะขึ้นกับชนิดของ

แกนแม่เหล็กในแต่ละชนิด

เอกสารนี้เป็นเอกสารที่สงวนไว้สำหรับการใช้งานเพื่อการศึกษาเท่านั้น ไม่อนุญาตให้นำไปใช้ประโยชน์ด้านการค้า ไม่ว่ากรณีใดๆ ทั้งสิ้น อีกทั้งห้ามมิให้ดัดแปลงเนื้อหา และต้องอ้างอิงถึงเจ้าของเอกสารทุกครั้งที่มีการนำไปใช้

f คือ ความถี่ในการใช้งาน

J คือ ค่าความหนาแน่นกระแสในสายตัวนำทองแดง ($J_{rms} = \frac{I_{rms}}{A}$) โดยวิธีนี้เป็นการออกแบบที่ใช้อุณหภูมิเพิ่ม (T_{rise}) ซึ่งอยู่ในรูปของความหนาแน่นกระแสในสายตัวนำทองแดง $J = 3 - 5 \frac{A}{mm^2}$

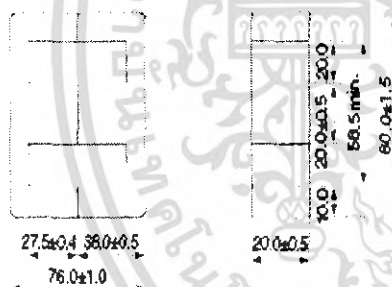
$$\text{ดังนั้น } A_p = W \cdot S = \frac{4000}{2 \cdot 0.6 \cdot 0.25 \cdot 40k \cdot 3 \times 10^{-6}} = 0.11 \times 10^6$$

2. เลือกชนิด ลักษณะโครงสร้างและขนาดของแกนแม่เหล็ก โดยเลือกขนาดของแกนให้ A_p มากกว่า 0.11×10^{-6} โดยเลือกแกนเฟอร์ไรต์ ชนิด EE80x76x20 เนื่องจาก มีค่า A_p มากกว่า 0.11×10^{-6} ซึ่งมีค่า

$$A_p = 2 \cdot A_c \cdot A_{cw}$$

$$A_p = 2 \cdot 400 \times 1100 = 0.8 \times 10^6$$

EE80X76X20



Parameter

Core constant	C1	mm ⁻¹	0.44878
	C2= 10 ⁻²	mm ⁻³	0.1106
Effective magnetic path length	l_e	mm	192
Effective cross-sectional area	A_e	mm ²	406
Effective core volume	V_e	mm ³	73910
Cross-sectional center leg area	A_c	mm ²	400
Minimum cross-sectional area	A_{min}^*	mm ²	400LC*
Winding cross-sectional area	A_{cw}	mm ²	1100
Weight(approx.)		g	372

* The symbol followed A min. value shows minimum cross-sectional area part. C is center pole part, L is outer pole part, B is the back part.

Part No.	AL-value*(mH/N ²)	Calculated output power(kW) (forward converter mode)
PE22 EE80X76X20	4590±25%	1.4(100KHz)
PC40 EE80X76X20	5720±25%	1.5(100KHz)

* AL-value: T=23°C, I=1KHz, Hm=0.4A/m

รูปที่ 4.5 ลักษณะโครงสร้างและขนาดของแกนแม่เหล็ก

3. คำนวณหาจำนวนรอบขดลวดเหนี่ยวนำทางด้านปฐมภูมิ (N_1) และทางด้านทุติยภูมิ (N_2) ซึ่งหาได้จากสมการที่ 4.2 ดังนี้

$$N_1 = \frac{V_1}{2 \cdot B_{max} \cdot S \cdot f} \quad (4.2)$$

เอกสารนี้เป็นเอกสารที่สงวนไว้สำหรับการใช้งานเพื่อการศึกษาเท่านั้น ไม่อนุญาตให้นำไปใช้ประโยชน์ด้านการค้าไม่ว่ากรณีใดๆ ทั้งสิ้น อีกทั้งห้ามมิให้ดัดแปลงเนื้อหา และต้องอ้างอิงถึงเจ้าของเอกสารทุกครั้งที่มีการนำไปใช้

$$= \frac{310}{2 \cdot 0.25 \cdot (20 \times 40) \cdot 10^{-6} \cdot 40k} = 19.4 \approx 20 \text{ รอบ}$$

$$N_1 = \frac{V_2}{2 \cdot B_{\max} \cdot S \cdot f} \quad (4.3)$$

$$= \frac{100}{2 \cdot 0.25 \cdot (20 \times 40) \cdot 10^{-6} \cdot 40k} = 6.25 \approx 7 \text{ รอบ}$$

คำนวณหาขนาดของขดลวดตัวนำ (A_w) เมื่อ

$$N_1 A_{w1} = N_2 A_{w2} \quad (4.4)$$

$$A_{w2} = \frac{I_{2,rms}}{J} = \frac{40}{3} = 13.3 \text{ mm}^2$$

$$A_{w1} = \frac{N_2 A_{w2}}{N_1} = \frac{N_2}{N_1} \cdot \frac{I_{2,rms}}{J} = \frac{7}{20} \cdot \frac{40}{3} = 4.6 \text{ mm}^2$$

5. เลือกขนาดของขดลวดทองแดงให้ A_w ใหญ่กว่า 13.3 และ 4.6 นั่นคือ 14 และ 5 ตามลำดับ

6. เลือกเบอร์ขดลวด โดยจะต้องหาค่าความหนาของผิวตัวนำทองแดงกระแส (Skin depth) ก่อน จากสมการที่ 3.26

$$\delta = \sqrt{\frac{2\rho_c}{\mu \cdot \omega}} = \sqrt{\frac{2 \cdot 2 \times 10^{-8}}{4\pi \times 10^{-7} \cdot 2 \cdot \pi \cdot 40k}} = 0.503 \text{ mm}$$

โดยเลือกรัศมีของขดลวดทองแดงที่เล็กกว่าค่าความหนาของผิวตัวนำทองแดงกระแส (Skin depth) จากตารางที่ 3.2 เลือกเบอร์ของขดลวดทองแดง เบอร์ SWG27 มีเส้นผ่านศูนย์กลางเท่ากับ 0.417 mm พื้นที่หน้าตัดเท่ากับ 0.1363 mm²

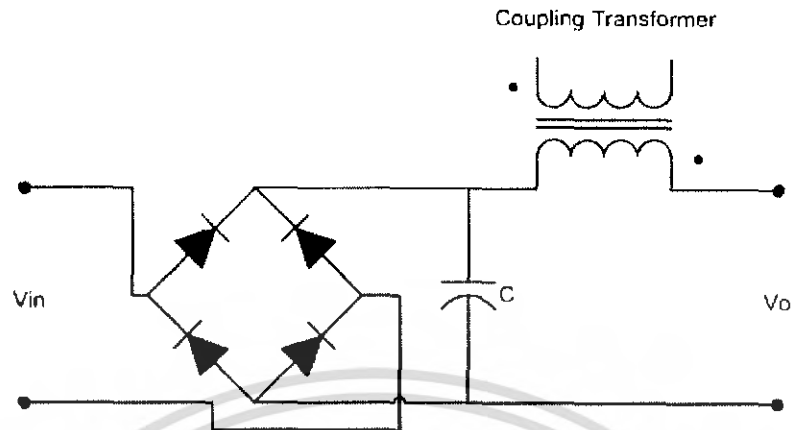
7. หาจำนวนเส้นที่มาตีเกลียวทางด้านปฐมภูมิและทุติยภูมิได้ดังนี้

$$\text{จำนวนเส้นทางด้านปฐมภูมิ} = \frac{A_{w1}}{0.1363} = \frac{5}{0.1363} = 36.2 \approx 37 \text{ เส้น}$$

$$\text{จำนวนเส้นทางด้านปฐมภูมิ} = \frac{A_{w2}}{0.1363} = \frac{14}{0.1363} = 101.4 \approx 102 \text{ เส้น}$$

เอกสารนี้เป็นเอกสารที่สงวนไว้สำหรับการใช้งานเพื่อการศึกษาเท่านั้น ไม่อนุญาตให้นำไปใช้ประโยชน์ด้านการค้า ไม่ว่ากรณีใดๆ ทั้งสิ้น อีกทั้งห้ามมิให้ตัดแปลงเนื้อหา และต้องอ้างอิงถึงเจ้าของเอกสารทุกครั้งที่มีการนำไปใช้

4.4 วงจรเรียงกระแสและวงจรกรองทางด้านออก



รูป 4.6 วงจรเรียงกระแสและวงจรกรองทางด้านออก

4.4.1 ไดโอด

จากสมการที่ 3.31 เราจะสามารถหาขนาดของกระแสพิกัดของไดโอด

$$I_{f(av)} = I_{out} \times D$$

ดังนั้น

$$I_{f(av)} = (\text{กำลังด้านออกที่พิกัด/แรงดันด้านออกที่พิกัด}) \times 0.5$$

$$I_{f(av)} = \frac{3000}{100} \times 0.5 = 15 \text{ แอมป์}$$

ดังนั้น ในทางปฏิบัติได้เลือกใช้ไดโอดที่ทนกระแส $I_{f(av)}$ ได้ในขนาดพิกัด 30 แอมป์

4.4.2 ตัวเหนี่ยวนำ

จากสมการที่ 3.35

$$L = \frac{E_{out} \cdot T_{off}}{0.2 \cdot I_L}$$

ดังนั้นจะหาขนาดของ L ได้ดังนี้

$$T_{off} = \frac{1}{2} \times 25 \times 10^{-6} = 12.5 \times 10^{-6} \text{ วินาที}$$

เอกสารนี้เป็นเอกสารที่สงวนไว้สำหรับการใช้งานเพื่อการศึกษาเท่านั้น ไม่อนุญาตให้นำไปใช้ประโยชน์ด้านการค้าไม่ว่ากรณีใดๆ ทั้งสิ้น อีกทั้งห้ามมิให้ตัดแปลงเนื้อหา และต้องอ้างอิงถึงเจ้าของเอกสารทุกครั้งที่มีการนำไปใช้

$$L = \frac{100 \times 12.5 \times 10^{-6}}{0.2 \cdot 40} = 156.25 \text{ ไมโครเซนรี}$$

ขั้นตอนการออกแบบการคำนวณตัวเหนี่ยวนำ

การออกแบบโดยใช้วิธีการคำนวณแบบ Ap Approach

1. คำนวณหาค่า Area Product ซึ่งเป็นการหาค่าผลคูณระหว่างพื้นที่หน้าตัดของแกนเหล็ก (S) กับพื้นที่ของช่องหน้าต่าง (W) ดังสมการที่ 4.5

$$A_p = W \cdot S = \frac{L \cdot I_{peak}^2}{k \cdot B_{max} \cdot J} \quad (4.5)$$

เมื่อ k คือ ขีดจำกัดของหน้าต่าง มีค่าในช่วง 0.3 - 0.6

B_{max} คือ ความหนาแน่นของฟลักซ์แม่เหล็ก ซึ่งค่า B_{max} จะขึ้นกับชนิดของแกนแม่เหล็กในแต่ละชนิด

J คือ ค่าความหนาแน่นกระแสในสายตัวนำทองแดง ($J_{rms} = \frac{I_{rms}}{A}$) โดยวิธีนี้เป็นการออกแบบที่ใช้อุณหภูมิเพิ่ม (T_{rise}) ซึ่งอยู่ในรูปของความหนาแน่นกระแสในสายตัวนำทองแดง $J = 3-5 \frac{A}{mm^2}$

ดังนั้น

$$A_p = W \cdot S = \frac{156.25 \times 10^{-6} \times 40^2}{0.6 \cdot 0.25 \cdot 3 \times 10^{-6}} = 0.55 \times 10^6$$

2. เลือกชนิด ลักษณะโครงสร้างและขนาดของแกนแม่เหล็ก โดยเลือกขนาดของแกนให้ A_p มากกว่า 0.11×10^6 โดยเลือกแกนเฟอร์ไรต์ ชนิด EE80x76x20 เนื่องจาก มีค่า A_p มากกว่า 0.11×10^6 ซึ่งมีค่า

$$A_p = 2 \cdot A_c \times A_{cw}$$

$$A_p = 2 \cdot 400 \times 1100 = 0.8 \times 10^6$$

3. คำนวณหาจำนวนรอบขดลวดเหนี่ยวนำ (N) ซึ่งหาได้จากสมการที่ 4.6

$$N = \frac{L \cdot I_{peak}}{B_{max} \cdot S} \quad (4.6)$$

$$= \frac{156.25 \times 10^{-6} \times 40}{0.25 \cdot (20 \times 20) \times 10^{-6}} = 62.5 \approx 63 \text{ รอบ}$$

เอกสารนี้เป็นเอกสารที่สงวนไว้สำหรับการใช้งานเพื่อการศึกษาเท่านั้น เมื่อนุญาตให้นำไปใช้ประโยชน์ด้านการค้าไม่ว่ากรณีใดๆ ทั้งสิ้น อีกทั้งห้ามมิให้ตัดแปลงเนื้อหา และต้องอ้างอิงถึงเจ้าของเอกสารทุกครั้งที่มีการนำไปใช้

4. คำนวณหาขนาดของขดลวดตัวนำ (A_w) เมื่อ

$$A_w = \frac{I_{2,rms}}{J} = \frac{40}{3} = 13.3 \text{ mm}^2$$

5. เลือกขนาดของขดลวดทองแดงให้ A_w ใหญ่กว่า 13.3 นั่นคือ 14 mm^2 เลือกเบอร์ขดลวด โดยจะต้องหาค่าความหนาของผิวตัวนำทองแดงกระแส (Skin depth) ก่อน จากสมการที่ 3.26

$$\delta = \sqrt{\frac{2\rho_c}{\mu \cdot \omega}} = \sqrt{\frac{2 \cdot 2 \times 10^{-8}}{4\pi \times 10^{-7} \cdot 2 \cdot \pi \cdot 40k}} = 0.503 \text{ mm}$$

โดยเลือกรัศมีของขดลวดทองแดงที่เล็กกว่าค่าความหนาของผิวตัวนำทองแดงกระแส (Skin depth) จากตาราง เลือกเบอร์ของขดลวดทองแดง เบอร์ SWG27 มีเส้นผ่านศูนย์กลางเท่ากับ 0.417 mm พื้นที่หน้าตัดเท่ากับ 0.1363 mm^2 หาจำนวนเส้นที่มอดิเกลียวได้ดังนี้

$$\text{จำนวนเส้นลวดทองแดง} = \frac{A_{w2}}{0.1363} = \frac{14}{0.1363} = 101.4 \approx 102 \text{ เส้น}$$

4.4.3 ตัวเก็บประจุ

จากสมการที่ 3.36

จากข้อกำหนด

$$\begin{aligned} \Delta I_{out} &= 0.20 \times 40 \\ &= 8 \text{ แอมป์} \\ \Delta v_{out} &= 0.10 \text{ โวลต์} \\ f &= 40000 \text{ เฮิรท์} \end{aligned}$$

ดังนั้น ตัวเก็บประจุ

$$C_{out} = \frac{8}{8 \times 40000 \times 0.10}$$

$$= 250 \text{ ไมโครฟารัด}$$

ในทางปฏิบัติเลือกใช้ตัวเก็บประจุขนาด 300 ไมโครฟารัด

เอกสารนี้เป็นเอกสารลิขสิทธิ์สงวนไว้สำหรับการเรียนเพื่อการศึกษาเท่านั้น เมื่ออนุญาตให้นำไปใช้ประโยชน์ด้านการค้า ไม่ว่าจะกรณีใดๆ ทั้งสิ้น อีกทั้งห้ามมิให้ตัดแปลงเนื้อหา และต้องอ้างอิงถึงเจ้าของเอกสารทุกครั้งที่มีการนำไปใช้

4.5 วงจรกำเนิดไฟฟ้าแรงดันสูงความถี่สูง

จากสมการที่ 4.7

$$V_{out} = 2\delta_{max} V_m \left(\frac{N_s}{N_p} \right) \tag{4.7}$$

ดังนั้น

ซึ่งในที่นี้จะกำหนดให้ $\delta_{max} = \text{Duty Cycle} = 0.46$

$V_m = 50 \text{ Vdc}$, $N_p = 40$ รอบ, $N_s = 2000$ รอบ

$$V_{out} = 0.92 \times 50 \times \left(\frac{2000}{40} \right) = 2,300V$$

ปริมาตรของแกนจากในสมการที่ 4.1 $A_p = W \cdot S = \frac{P_{out}}{2 \cdot k \cdot B_{max} \cdot f \cdot J}$

ดังนั้น

$$P_{out} = 230 \text{ Watt}, k = 0.3-0.6, B_{max} = 0.25, f = 40 \text{ kHz}, J = 3 - 5 \frac{A}{mm^2}$$

$$A_p = W \cdot S = \frac{230}{2 \cdot 0.6 \cdot 0.25 \cdot 40k \cdot 3 \times 10^{-6}} = 6,388.89$$

MECHANICAL DIMENSIONS (mm)

PART	CORE TYPE	FIG.	A	B	C	D	E	L	S	T
0_44125UC	U core	3	41.78 ± 0.1	25.4 ± 0.13	11.94 ± 0.25	15.9 ± 0.2	18.8 ± 0.56	-	3.18 ± 0.13	34.66 nom
0_44130UC	U core	3	41.78 ± 0.11	30.5 ± 0.3	11.94 ± 0.25	20.8 nom	18.8 ± 0.56	-	3.18 ± 0.13	34.66 nom
0_45716UC	U core	3	57.65 ± 1.7	28.6 +0, -0.4	15.9 ± 0.4	15.5 ± 1, -0	27.8 ± 0.9	-	4.8 ± 0.2	49.8 ± 0.8

FIGURE 1

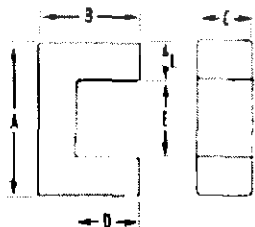


FIGURE 2

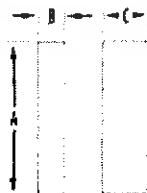
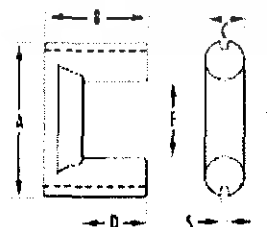


FIGURE 3



รูปที่ 4.7 แกนเหล็กเฟอร์ไรต์ที่ใช้สำหรับเป็นหม้อแปลงฟลายแบค

เอกสารนี้เป็นเอกสารที่สงวนไว้สำหรับการใช้งานเพื่อการศึกษาเท่านั้น ไม่อนุญาตให้นำไปใช้ประโยชน์ด้านการค้าไม่ว่ากรณีใดๆ ทั้งสิ้น อีกทั้งห้ามมิให้ดัดแปลงเนื้อหา และต้องอ้างอิงถึงเจ้าของเอกสารทุกครั้งที่มีการนำไปใช้

กระแสสูงสุด (I_c) ที่จะผ่านมอสเฟตแต่ละตัวขณะนำกระแสในสมการที่ 4.8 คือ

$$I_c = \frac{P_{out}}{\eta \delta_{I(max)} V_m} \tag{4.8}$$

ดังนั้นจะได้

$$P_{out} = 230 \text{ Watt}, \delta_{max} = 0.46, V_m = 50 \text{ Vdc}, \eta = 0.8$$

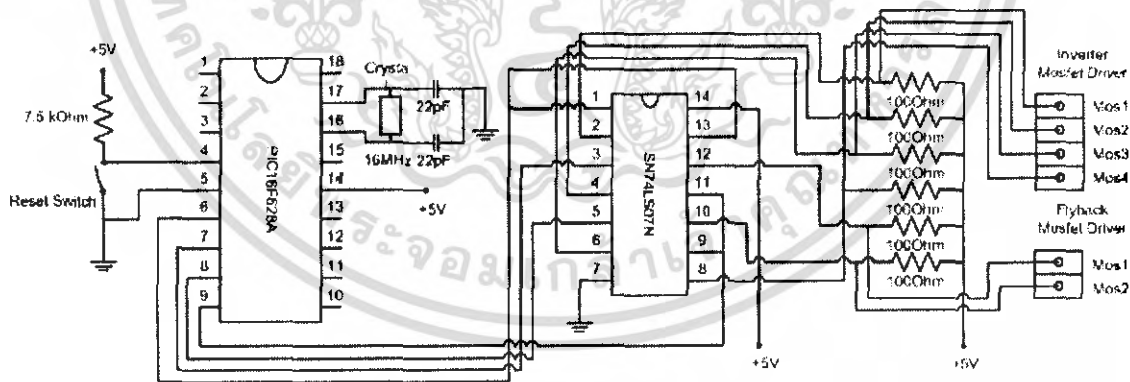
$$\delta_{I(max)} = 0.46 \times 2 = 0.92$$

$$I_c = \frac{230}{0.8 \times 0.92 \times 50} = 6.25 \text{ A}$$

ดังนั้นจะต้องเลือกมอสเฟตที่ทนกระแส 50V, 6.25A

4.6 วงจรควบคุม

PIC16F628A จะทำหน้าที่ในการสร้างสัญญาณขับมอสเฟตแต่ละตัว โดยการเขียนโปรแกรมลงไปในตัวไมโครคอนโทรลเลอร์ และจะได้สัญญาณออกที่ขา 6, 7, 8 และ 9 โดยลักษณะสัญญาณจะถูกเลื่อนเฟสเรียบร้อยแล้ว สัญญาณที่ได้ยังไม่สามารถนำไปขับมอสเฟตได้โดยตรงแต่จะต้องผ่านบัฟเฟอร์ SN74LS07N ทำหน้าที่ขยายสัญญาณ แล้วส่งผ่านไปขับขาเกตของมอสเฟต IRF510 ต่อไป

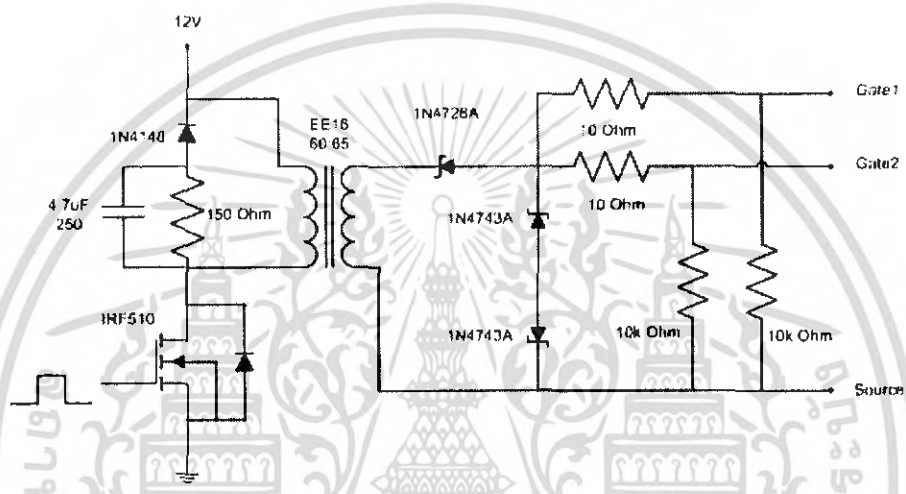


รูปที่ 4.8 วงจรควบคุมและจ่ายแรงดันสัญญาณ

เอกสารนี้เป็นเอกสารที่สงวนไว้สำหรับการใช้งานเพื่อการศึกษาเท่านั้น ไม่อนุญาตให้นำไปใช้ประโยชน์ด้านการค้า ไม่ว่ากรณีใดๆ ทั้งสิ้น อีกทั้งห้ามมิให้ดัดแปลงเนื้อหา และต้องอ้างอิงถึงเจ้าของเอกสารทุกครั้งที่มีการนำไปใช้

4.7 วงจรขับเพาเวอร์มอสเฟตหรือวงจรแยกกราวด์

เมื่อสัญญาณที่ถูกเลื่อนเฟสที่ได้จากการเขียนโปรแกรมลงใน PIC จะถูกส่งผ่านเข้ามาขาเกตของมอสเฟต IRF510 จะทำหน้าที่ในการสวิตช์แรงดัน 12V ผ่านหม้อแปลงแยกกราวด์ โดยใช้หม้อแปลงขนาด EE16 พันลวดเป็น 1:1 ตัวเก็บประจุ 4.7 μ F, ความต้าน 150 Ω , ไดโอด 1N4148 จะช่วยลดกระแสที่เกิดขึ้นในช่วงหยุดนำกระแสของหม้อแปลง สัญญาณแรงดันขนาด 12V จะถูกส่งผ่านไปทางทุติยภูมิ และซีเนอร์ไดโอด 1N4743A ทั้ง 2 ตัวจะทำหน้าที่ในตัดขนาดแรงดันที่เกิน 13V แล้วจะได้สัญญาณขับขาเกตที่คร่อมความต้านทาน 10k Ω ดังรูปที่ 4.9 โดยจะได้สัญญาณขับขาเกต G1-S, G2-S



รูปที่ 4.9 วงจรแยกกราวด์ขับขาเกตของมอสเฟต

เอกสารนี้เป็นเอกสารที่สงวนไว้สำหรับการใช้งานเพื่อการศึกษาเท่านั้น ไม่อนุญาตให้นำไปใช้ประโยชน์ด้านการค้า ไม่ว่าจะกรณีใดๆ ทั้งสิ้น อีกทั้งห้ามมิให้ดัดแปลงเนื้อหา และต้องอ้างอิงถึงเจ้าของเอกสารทุกครั้งที่มีการนำไปใช้

บทที่ 5

ผลการทดลอง

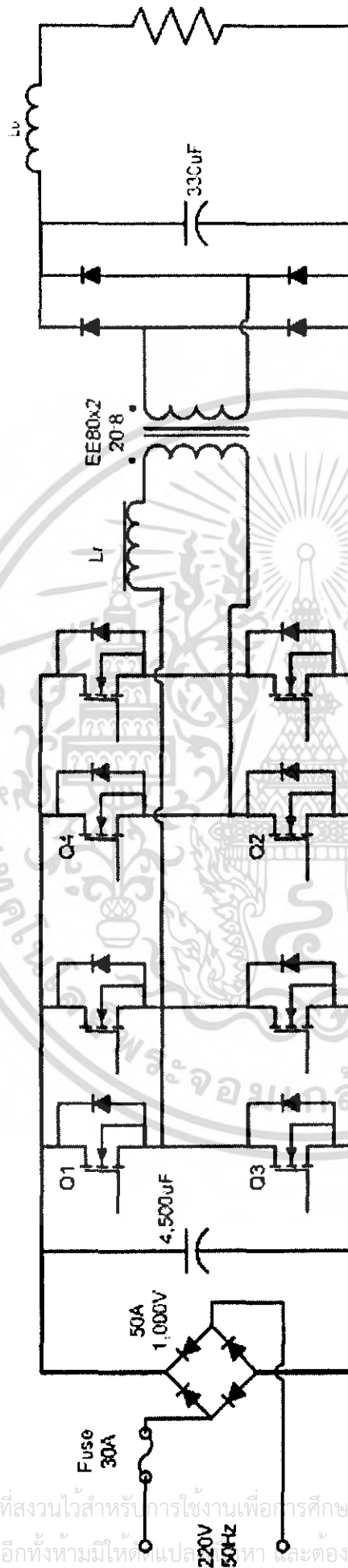
การทดลองนี้จะทำการทดสอบสัญญาณรูปคลื่นแรงดันที่ได้จากการจ่ายโหลดโดยใช้ โหลดที่เป็นหลอดไฟฟ้าในการทดสอบเพื่อหาพิกัดกำลังไฟฟ้าของแหล่งจ่ายกำลังไฟฟ้า กระแสตรงโดยใช้วงจรแปลงผันกำลังไฟฟ้ากระแสตรงเป็นกระแสตรง

อุปกรณ์ที่ใช้ในการทดสอบครั้งนี้

- | | |
|--------------------------------------|-----------|
| 1. Digital Oscilloscopes รุ่น DL1620 | 1 เครื่อง |
| 2. สาย Probe 1×10 | 1 เส้น |
| 3. สาย Probe 1×100 | 1 เส้น |
| 4. Differential Probe 1×200 | 1 ชุด |



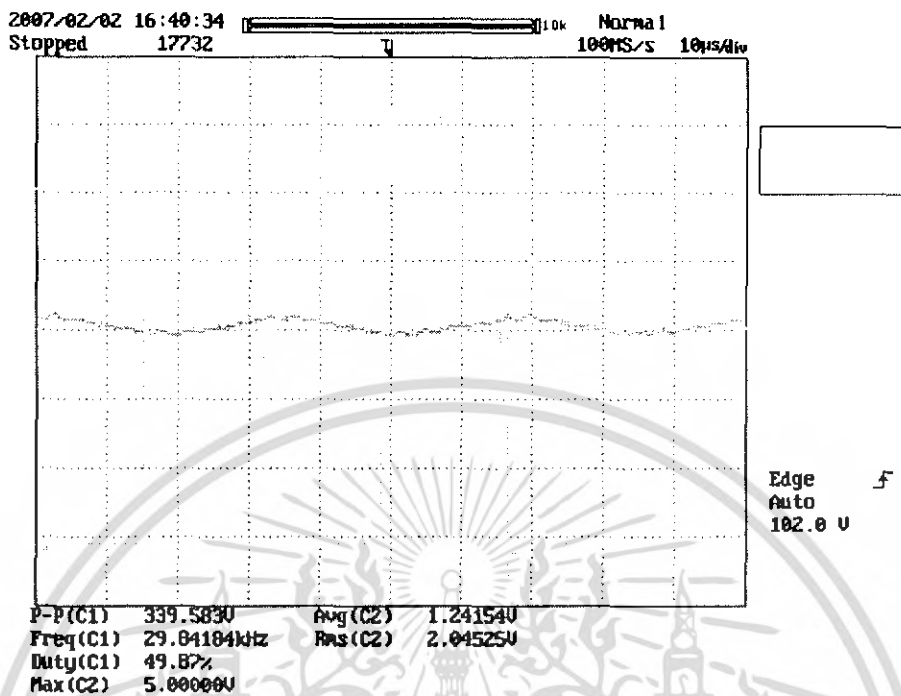
เอกสารนี้เป็นเอกสารที่สงวนไว้สำหรับการใช้งานเพื่อการศึกษาเท่านั้น ไม่อนุญาตให้นำไปใช้ประโยชน์ด้านการค้า ไม่ว่ากรณีใดๆ ทั้งสิ้น อีกทั้งห้ามมิให้ตัดแปลงเนื้อหา และต้องอ้างอิงถึงเจ้าของเอกสารทุกครั้งที่มีการนำไปใช้



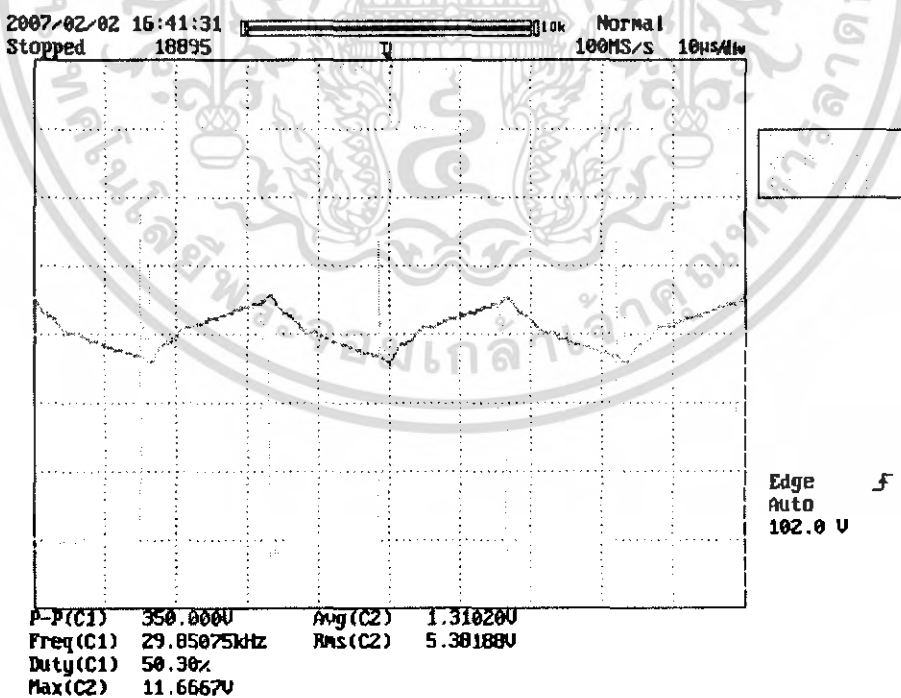
รูปที่ 5.1 วงจรไฟฟ้าของแหล่งจ่ายกำลังไฟฟ้ากระแสตรง

เอกสารนี้เป็นเอกสารที่สงวนไว้สำหรับการใช้งานเพื่อการศึกษาเท่านั้น ไม่อนุญาตให้นำไปใช้ประโยชน์ด้านการค้า
ไม่ว่ากรณีใดๆ ทั้งสิ้น อีกทั้งห้ามมิให้ดัดแปลง 220V 50Hz และต้องอ้างอิงถึงเจ้าของเอกสารทุกครั้งที่มีการนำไปใช้

5.1 ผลทดสอบรูปสัญญาณ



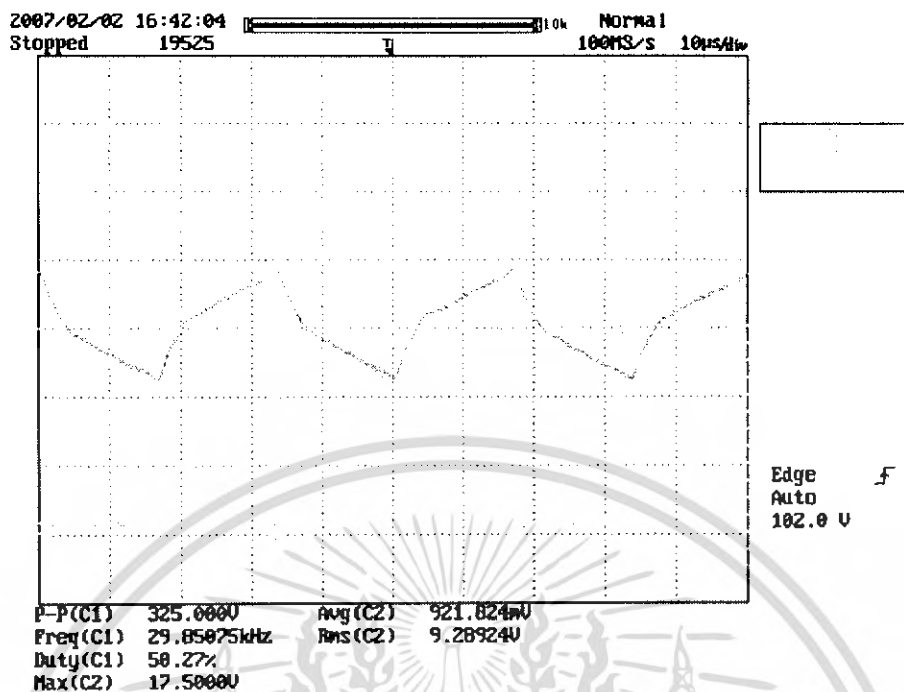
รูปที่ 5.2 แรงดันและกระแสที่ขดลวดปฐมภูมิของหม้อแปลงขณะไม่มีโหลด
CH1=[50V/div], CH2=[20V/div]



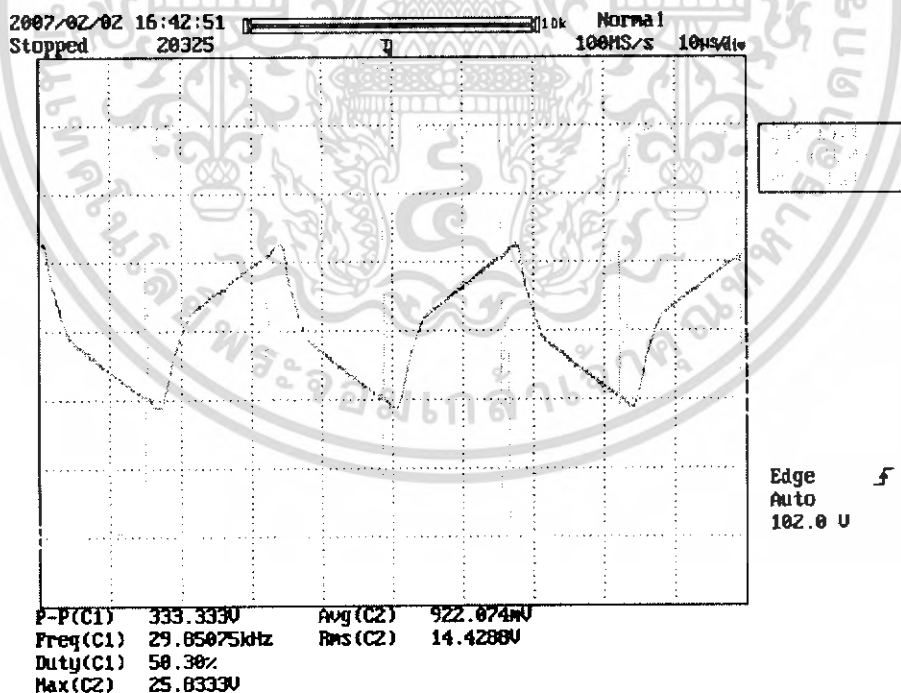
รูปที่ 5.3 แรงดันและกระแสที่ขดลวดปฐมภูมิของหม้อแปลงขณะมีโหลด 10 แอมป์

CH1=[50V/div], CH2=[20V/div]

เอกสารนี้เป็นเอกสารที่สงวนไว้สำหรับการใช้งานเพื่อการศึกษาเท่านั้น ไม่อนุญาตให้นำไปใช้ประโยชน์ด้านการค้า
ไม่ว่ากรณีใดๆ ทั้งสิ้น อีกทั้งห้ามมิให้ดัดแปลงเนื้อหา และต้องอ้างอิงถึงเจ้าของเอกสารทุกครั้งที่มีการนำไปใช้

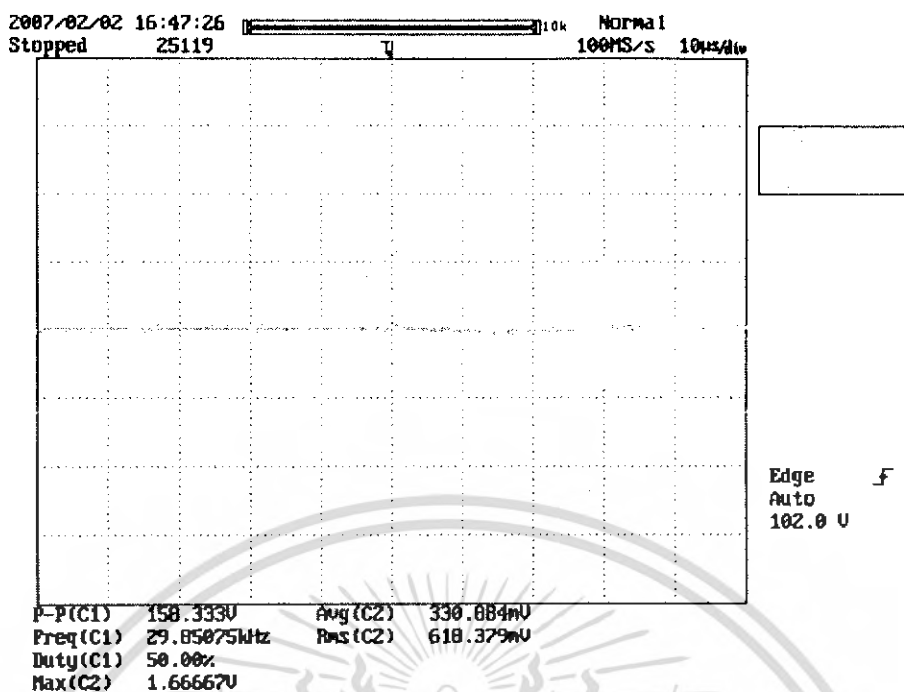


รูปที่ 5.4 แรงดันและกระแสที่ขดลวดปฐมภูมิของหม้อแปลงขณะมีโหลด 20 แอมป์
CH1=[50V/div], CH2=[20V/div]

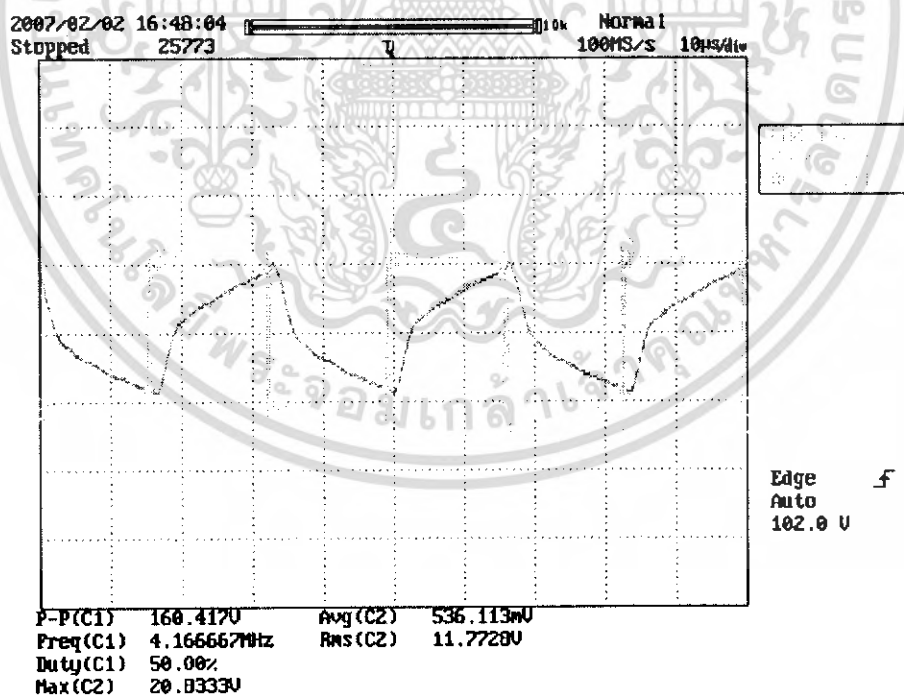


รูปที่ 5.5 แรงดันและกระแสที่ขดลวดปฐมภูมิของหม้อแปลงขณะมีโหลด 30 แอมป์
CH1=[50V/div], CH2=[20V/div]

เอกสารนี้เป็นเอกสารที่สงวนไว้สำหรับการใช้งานเพื่อการศึกษาเท่านั้น ไม่อนุญาตให้นำไปใช้ประโยชน์ด้านการค้า ไม่ว่าจะกรณีใดๆ ทั้งสิ้น อีกทั้งห้ามมิให้ตัดแปลงเนื้อหา และต้องอ้างอิงถึงเจ้าของเอกสารทุกครั้งที่มีการนำไปใช้

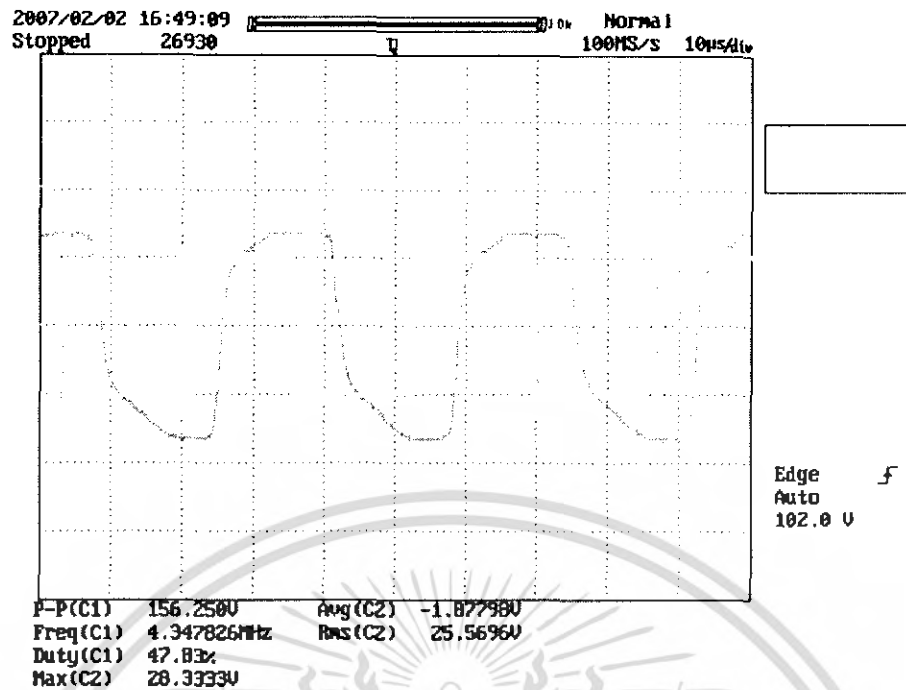


รูปที่ 5.6 แรงดันและกระแสที่ขดลวดทุติยภูมิของหม้อแปลงขณะไม่มีโหลด
CH1=[50V/div], CH2=[20V/div]

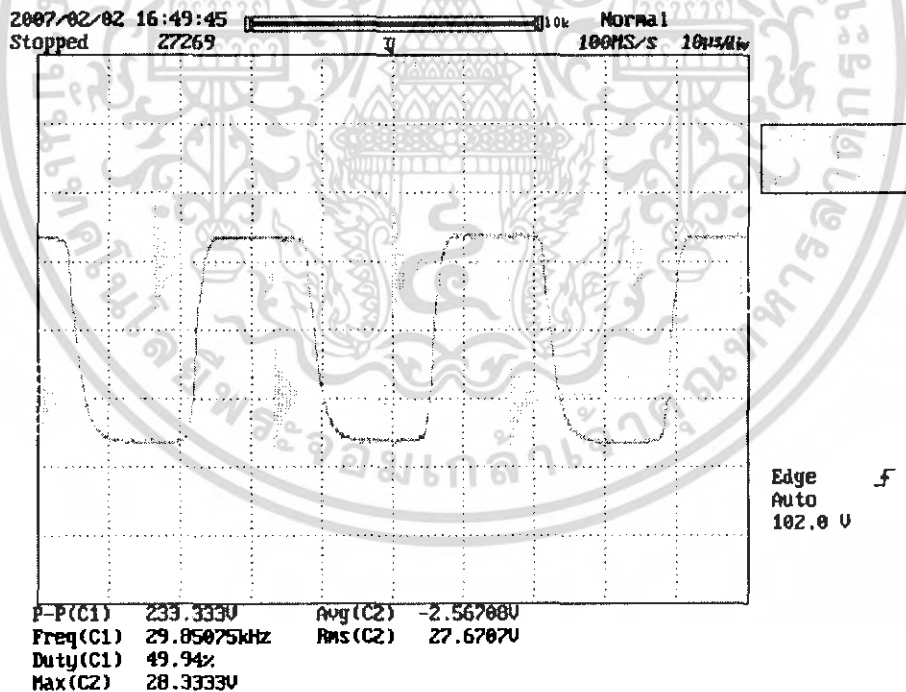


รูปที่ 5.7 แรงดันและกระแสที่ขดลวดทุติยภูมิของหม้อแปลงขณะมีโหลด 10 แอมป์
CH1=[50V/div], CH2=[20V/div]

เอกสารนี้เป็นเอกสารที่สงวนไว้สำหรับการใช้งานเพื่อการศึกษาเท่านั้น ไม่อนุญาตให้นำไปใช้ประโยชน์ด้านการค้า
ไม่ว่ากรณีใดๆ ทั้งสิ้น อีกทั้งห้ามมิให้ตัดแปลงเนื้อหา และต้องอ้างอิงถึงเจ้าของเอกสารทุกครั้งที่มีการนำไปใช้

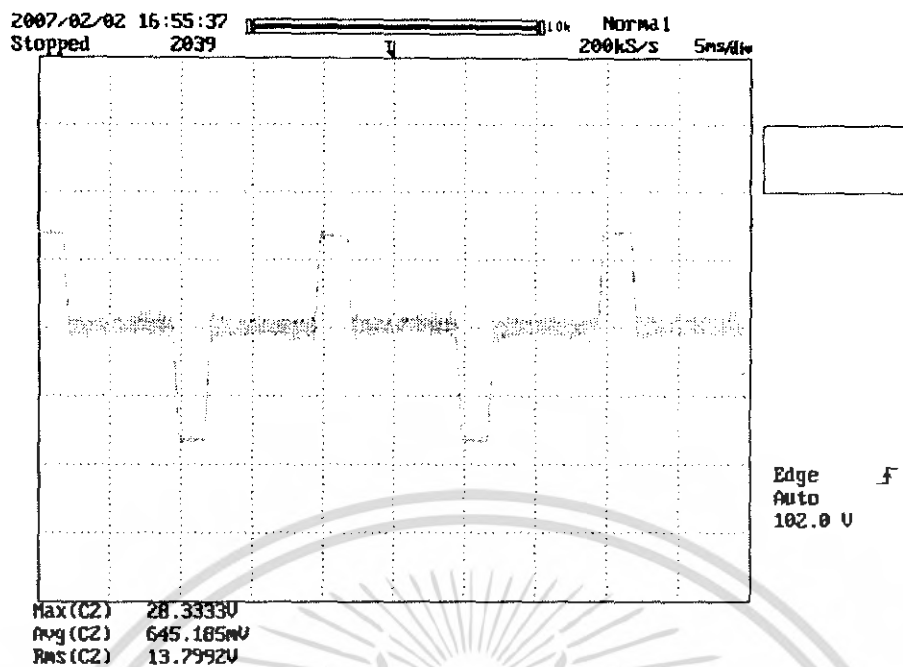


รูปที่ 5.8 แรงดันและกระแสที่ขดลวดทุติยภูมิของหม้อแปลงขณะมีโหลด 20 แอมป์
CH1=[50V/div], CH2=[20V/div]

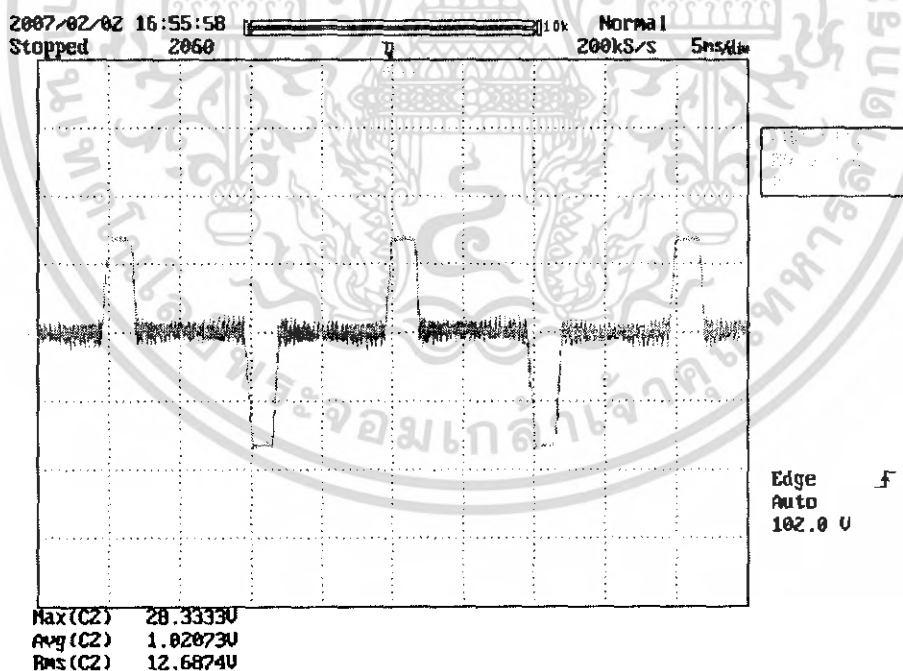


รูปที่ 5.9 แรงดันและกระแสที่ขดลวดทุติยภูมิของหม้อแปลงขณะมีโหลด 30 แอมป์
CH1=[50V/div], CH2=[20V/div]

เอกสารนี้เป็นเอกสารที่สงวนไว้สำหรับการใช้งานเพื่อการศึกษาเท่านั้น ไม่อนุญาตให้นำไปใช้ประโยชน์ด้านการค้า
ไม่ว่ากรณีใดๆ ทั้งสิ้น อีกทั้งห้ามมิให้ตัดแปลงเนื้อหา และต้องอ้างอิงถึงเจ้าของเอกสารทุกครั้งที่มีการนำไปใช้

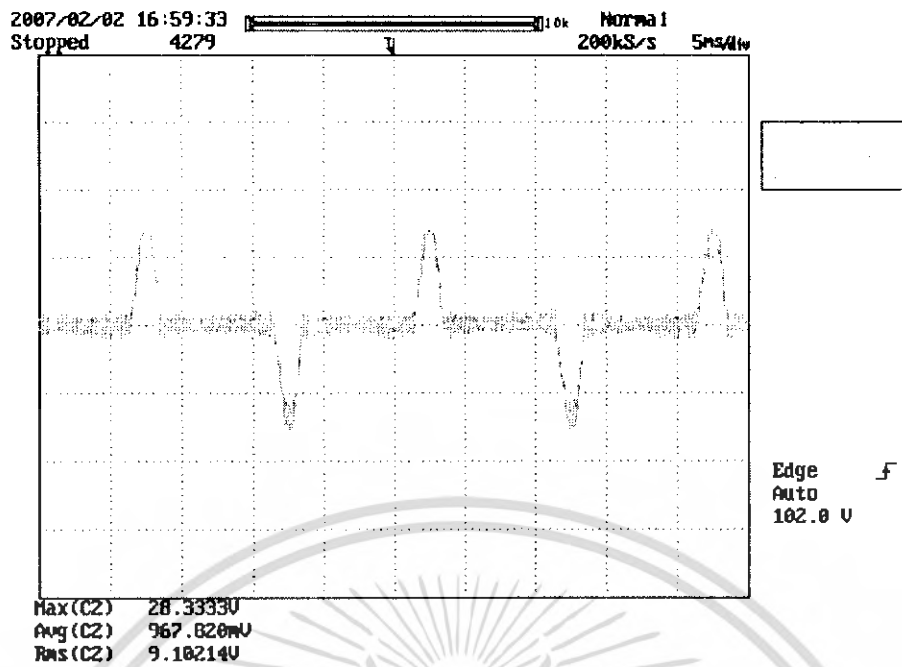


รูปที่ 5.10 กระแสอินพุท 30 แอมป์
CH2=[20V/div]

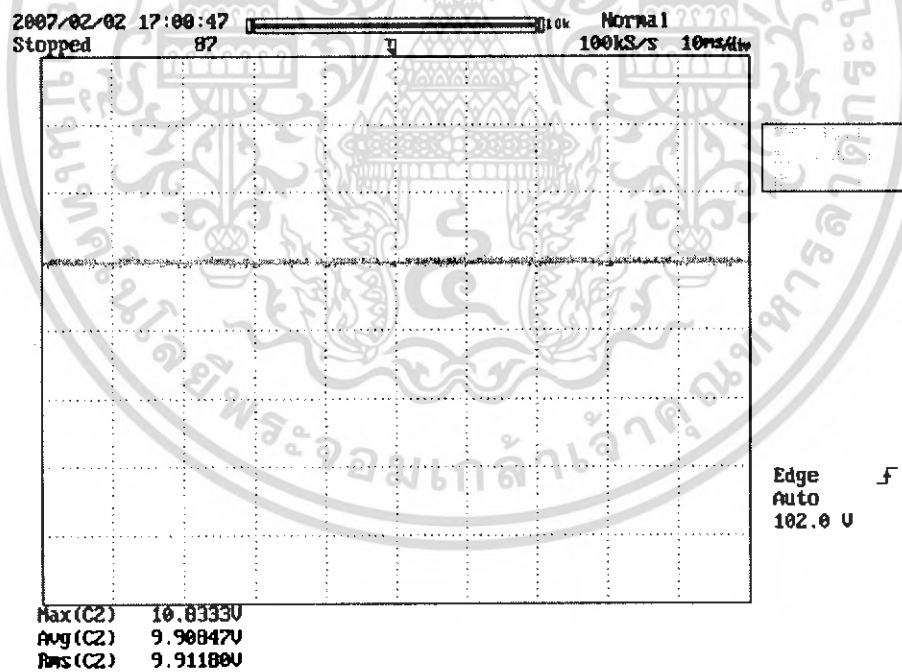


รูปที่ 5.11 กระแสอินพุท 20 แอมป์
CH2=[20V/div]

เอกสารนี้เป็นเอกสารที่สงวนไว้สำหรับการใช้งานเพื่อการศึกษาเท่านั้น ไม่อนุญาตให้นำไปใช้ประโยชน์ด้านการค้า ไม่ว่ากรณีใดๆ ทั้งสิ้น อีกทั้งห้ามมิให้ดัดแปลงเนื้อหา และต้องอ้างอิงถึงเจ้าของเอกสารทุกครั้งที่มีการนำไปใช้

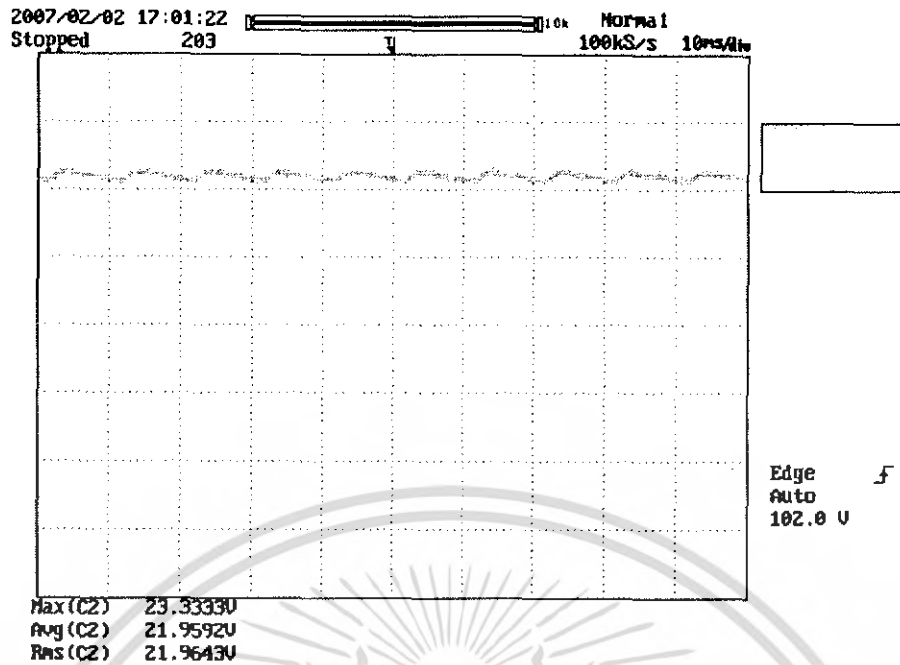


รูปที่ 5.12 กระแสอินพุท 10 แอมป์
CH2=[20V/div]



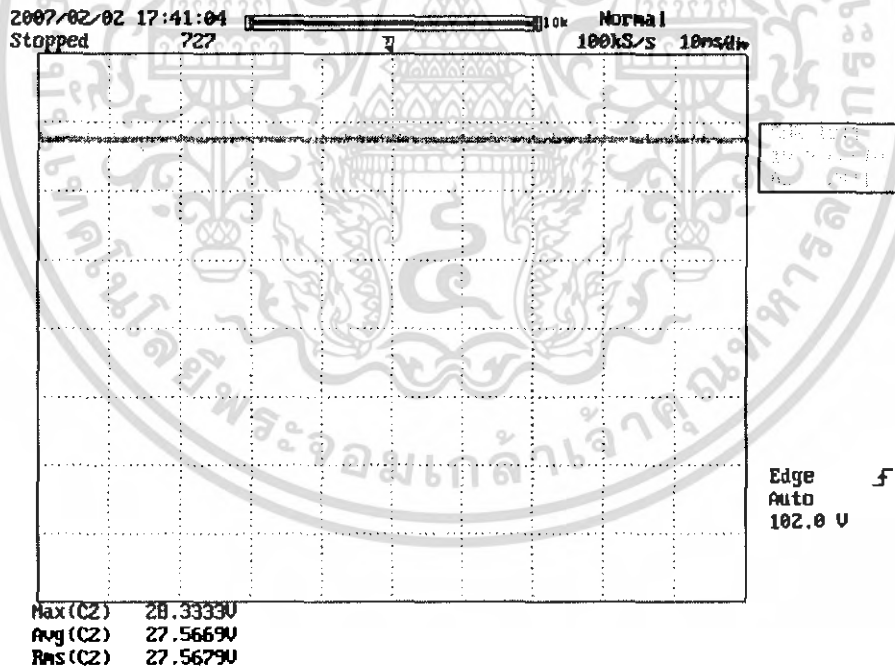
รูปที่ 5.13 กระแสเอาต์พุท 10 แอมป์
CH2=[10V/div]

เอกสารนี้เป็นเอกสารที่สงวนไว้สำหรับการใช้งานเพื่อการศึกษาเท่านั้น ไม่อนุญาตให้นำไปใช้ประโยชน์ด้านการค้า
ไม่ว่ากรณีใดๆ ทั้งสิ้น อีกทั้งห้ามมิให้คัดแปลงเนื้อหา และต้องอ้างอิงถึงเจ้าของเอกสารทุกครั้งที่มีการนำไปใช้



รูปที่ 5.14 กระแสเอาต์พุต 20 แอมป์

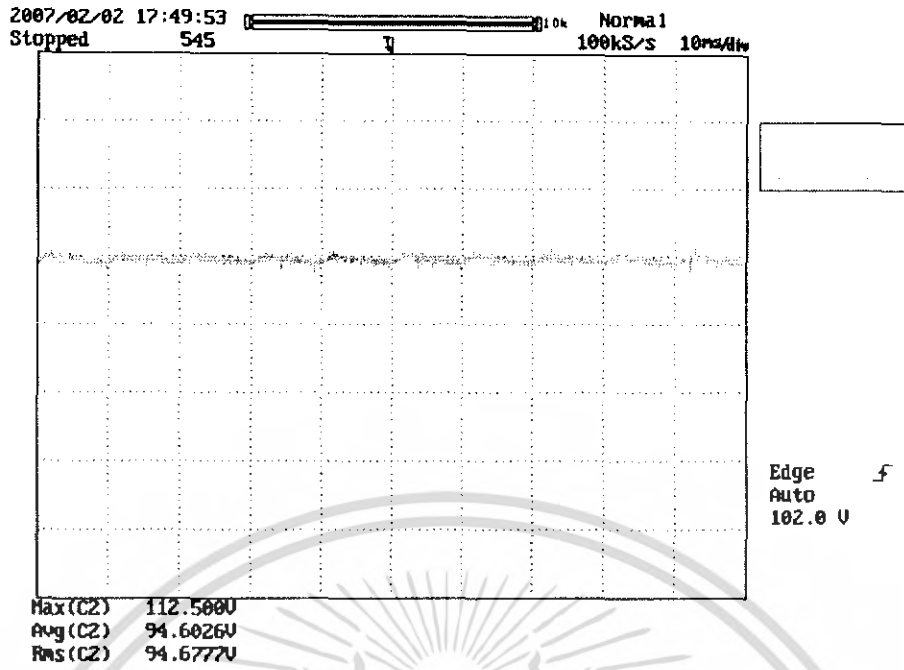
CH2=[10V/div]



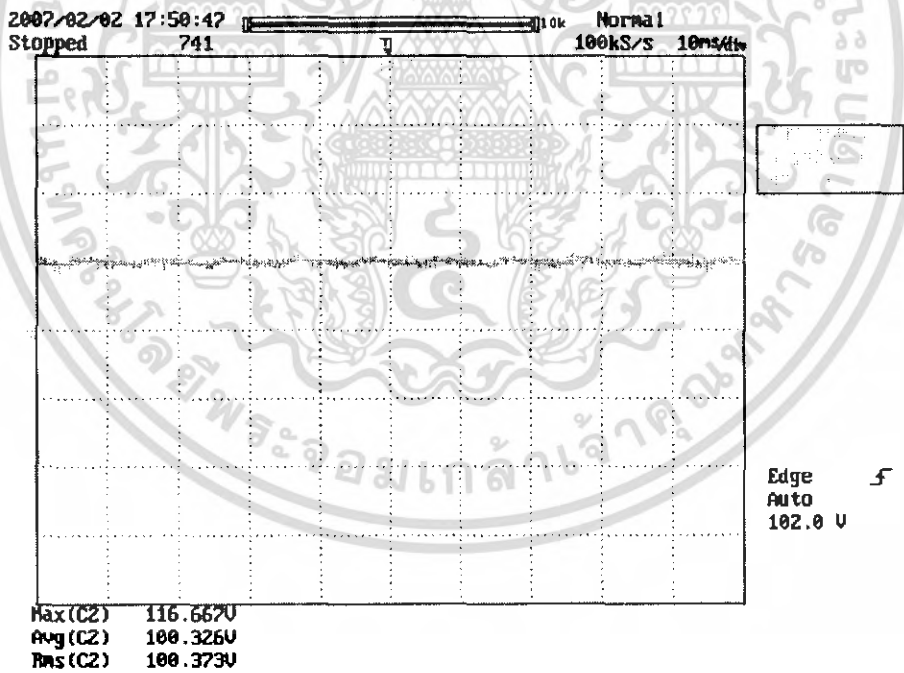
รูปที่ 5.15 กระแสเอาต์พุต 30 แอมป์

CH2=[10V/div]

เอกสารนี้เป็นเอกสารที่สงวนไว้สำหรับการใช้งานเพื่อการศึกษาเท่านั้น ไม่อนุญาตให้นำไปใช้ประโยชน์ด้านการค้า
ไม่ว่ากรณีใดๆ ทั้งสิ้น อีกทั้งห้ามมิให้ดัดแปลงเนื้อหา และต้องอ้างอิงถึงเจ้าของเอกสารทุกครั้งที่มีการนำไปใช้

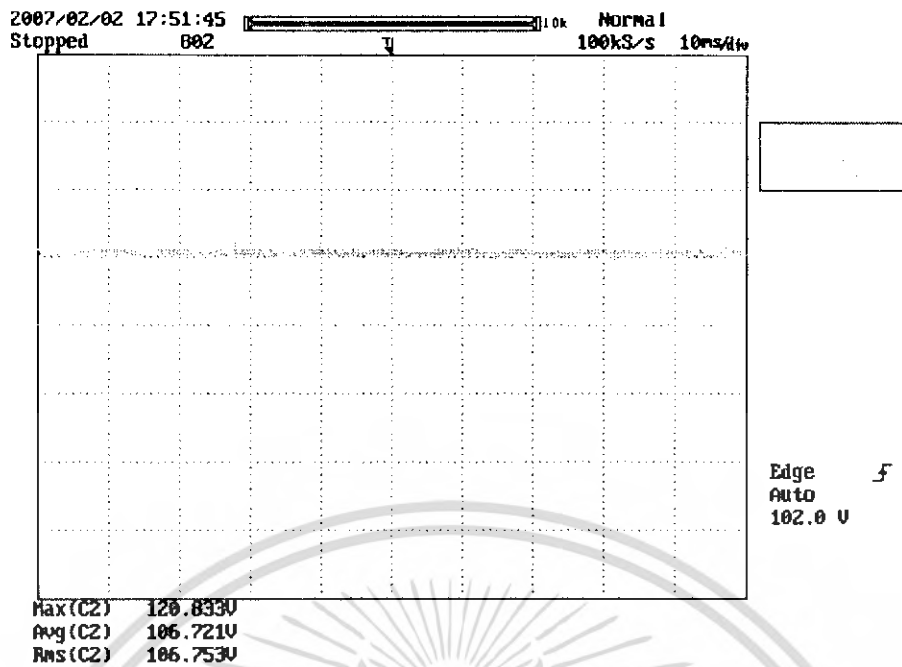


รูปที่ 5.16 แรงดันเอาต์พุตขณะมีโหลด กระแส 30 แอมป์
CH2=[0.1kV/div]

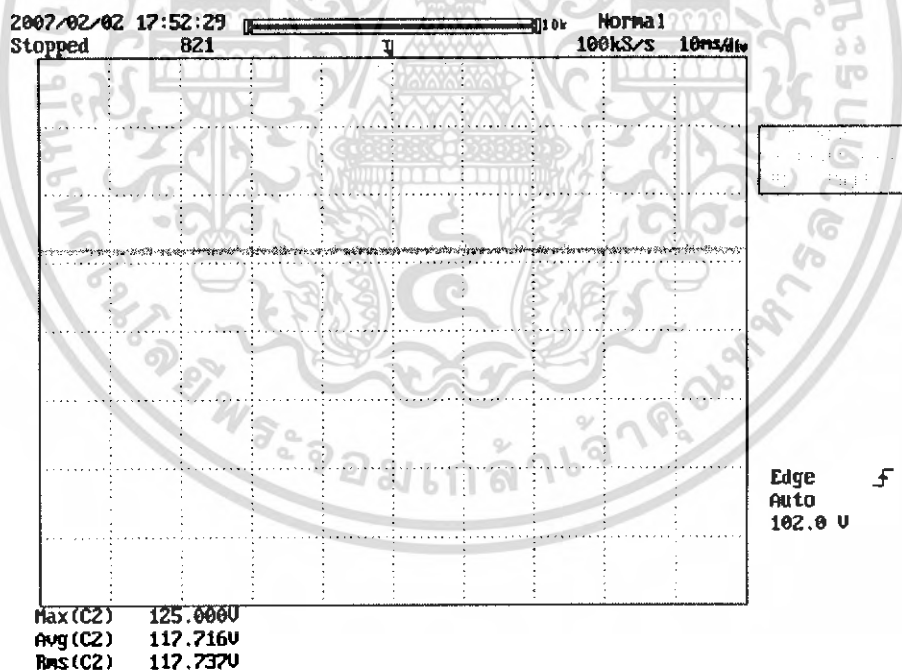


รูปที่ 5.17 แรงดันเอาต์พุตขณะมีโหลด กระแส 20 แอมป์
CH2=[0.1kV/div]

เอกสารนี้เป็นเอกสารที่สงวนไว้สำหรับการใช้งานเพื่อการศึกษาเท่านั้น ไม่อนุญาตให้นำไปใช้ประโยชน์ด้านการค้า
ไม่ว่ากรณีใดๆ ทั้งสิ้น อีกทั้งห้ามมิให้ดัดแปลงเนื้อหา และต้องอ้างอิงถึงเจ้าของเอกสารทุกครั้งที่มีการนำไปใช้



รูปที่ 5.18 แรงดันเอาต์พุตขณะมีโหลด กระแส 10 แอมป์
CH2=[0.1kV/div]



รูปที่ 5.19 แรงดันเอาต์พุตขณะไม่มีโหลด
CH2=[0.1kV/div]

เอกสารนี้เป็นเอกสารที่สงวนไว้สำหรับการใช้งานเพื่อการศึกษาเท่านั้น ไม่อนุญาตให้นำไปใช้ประโยชน์ด้านการค้า ไม่ว่ากรณีใดๆ ทั้งสิ้น อีกทั้งห้ามมิให้ตัดแปลงเนื้อหา และต้องอ้างอิงถึงเจ้าของเอกสารทุกครั้งที่มีการนำไปใช้

5.2 ผลการทดลองกำลังไฟฟ้าและประสิทธิภาพ

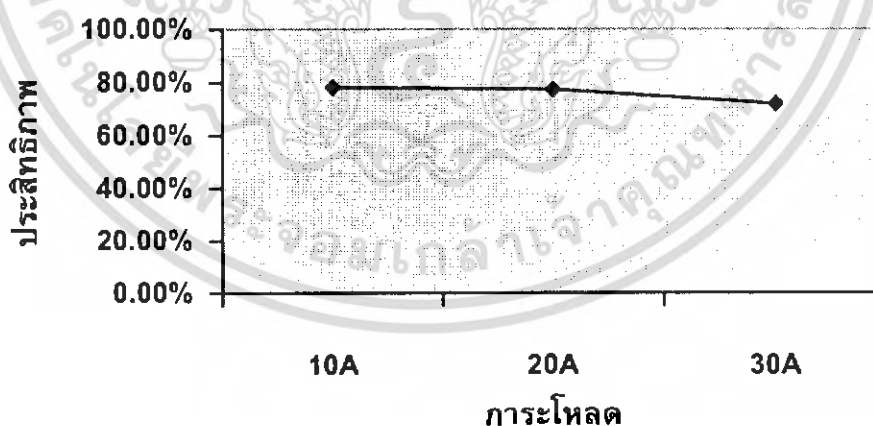
ตารางที่ 5.1 ตารางแสดงแรงดัน, กระแส และกำลังไฟฟ้านอก

ด้านขาออก		
กระแส	แรงดัน	พลังงานขาออก
9.91 A	106.72 Vdc	1,057.60 W
21.96 A	100.33 Vdc	2,203.25 W
27.56 A	94.60 Vdc	2,607.74 W

ตารางที่ 5.2 ตารางแสดงประสิทธิภาพของแหล่งจ่ายกำลังไฟฟ้ากระแสตรงเป็นกระแสตรง

โหลดด้านออก	พลังงานขาเข้า	พลังงานขาออก	ประสิทธิภาพ %
10 A	1,352.43 W	1,057.60 W	78.20%
20 A	2,845.11 W	2,203.25 W	77.44 %
30 A	3,621.86 W	2,607.74 W	72.00%

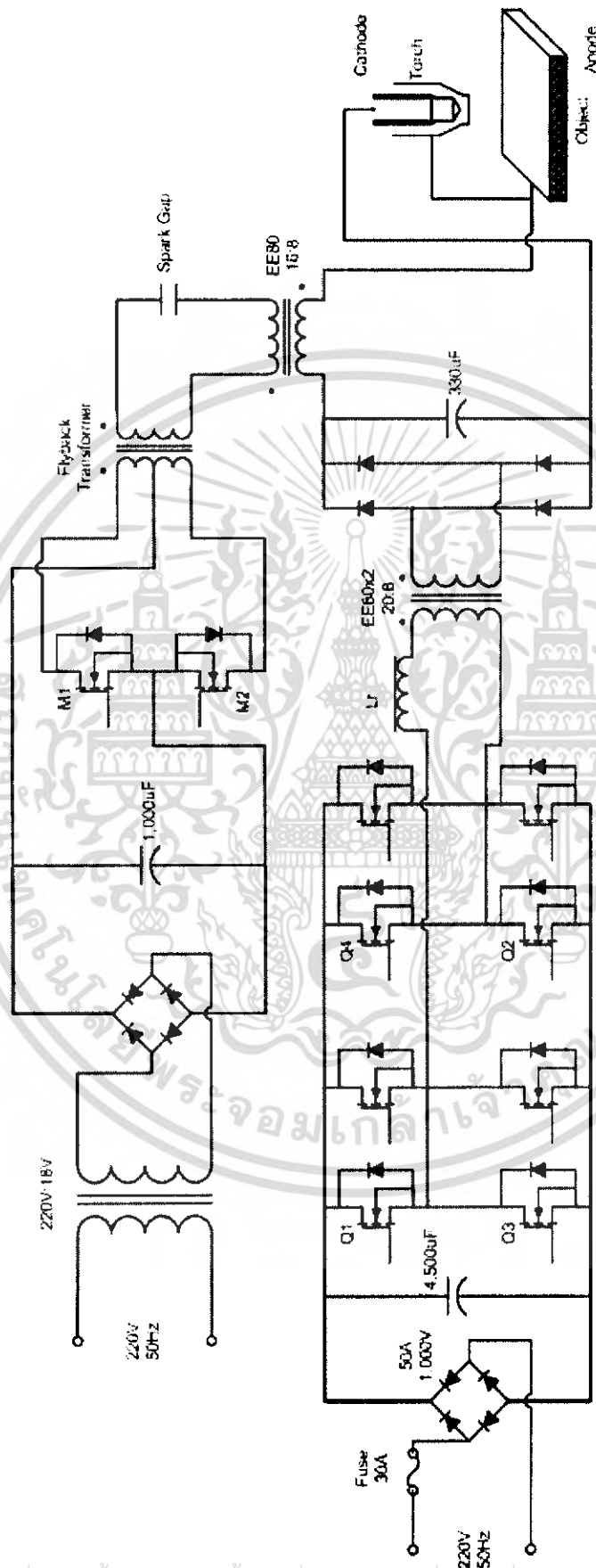
ประสิทธิภาพของแหล่งจ่ายกำลังไฟฟ้า



รูปที่ 5.20 รูปกราฟแสดงประสิทธิภาพของแหล่งจ่ายกำลังไฟฟ้ากระแสตรง

เอกสารนี้เป็นเอกสารที่สงวนไว้สำหรับการใช้งานเพื่อการศึกษาเท่านั้น ไม่อนุญาตให้นำไปใช้ประโยชน์ด้านการค้า ไม่ว่าจะกรณีใดๆ ทั้งสิ้น อีกทั้งห้ามมิให้ตัดแปลงเนื้อหา และต้องอ้างอิงถึงเจ้าของเอกสารทุกครั้งที่มีการนำไปใช้

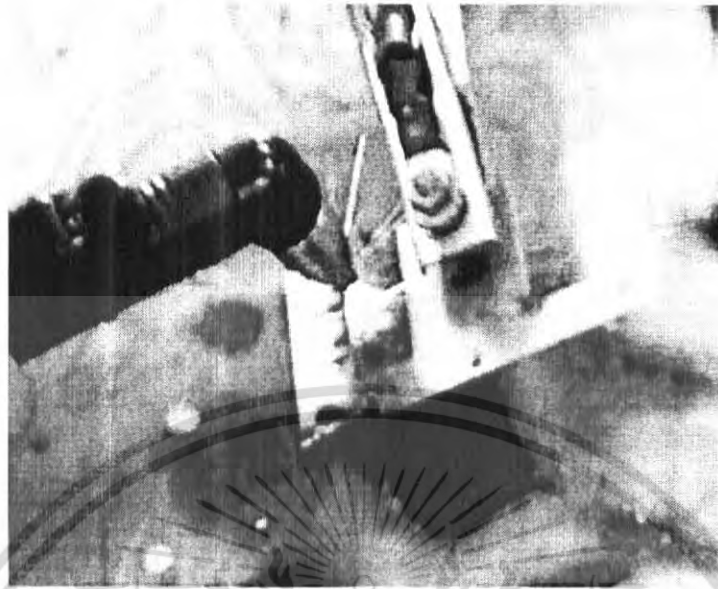
5.3 การทดสอบตัดชิ้นงานโลหะ



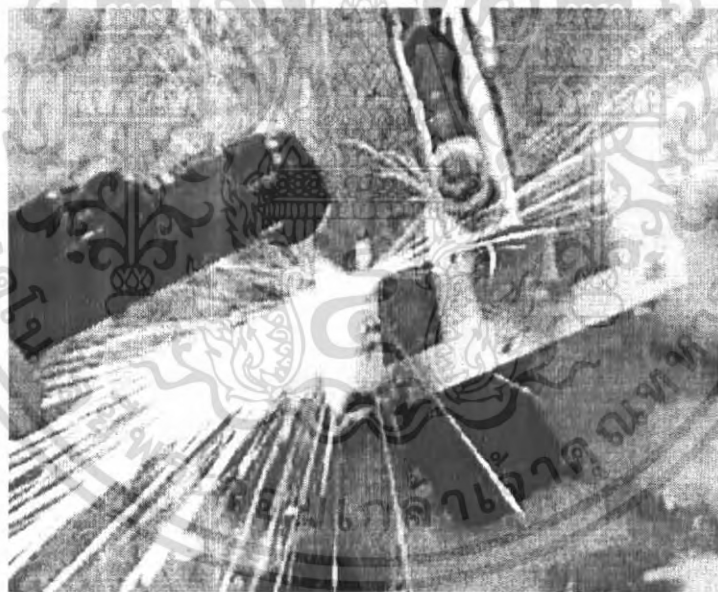
รูปที่ 5.21 วงจรไฟฟ้ารวมของเครื่องตัดโลหะแบบพลาสมา

เอกสารนี้เป็นเอกสารที่สงวนไว้สำหรับการใช้งานเพื่อการศึกษาเท่านั้น ไม่อนุญาตให้นำไปใช้ประโยชน์ด้านการค้า ไม่ว่าจะกรณีใดๆ ทั้งสิ้น อีกทั้งห้ามมิให้ตัดแปลงเนื้อหา และต้องอ้างอิงถึงเจ้าของเอกสารทุกครั้งที่มีการนำไปใช้

การเกิดลําพลาสมา

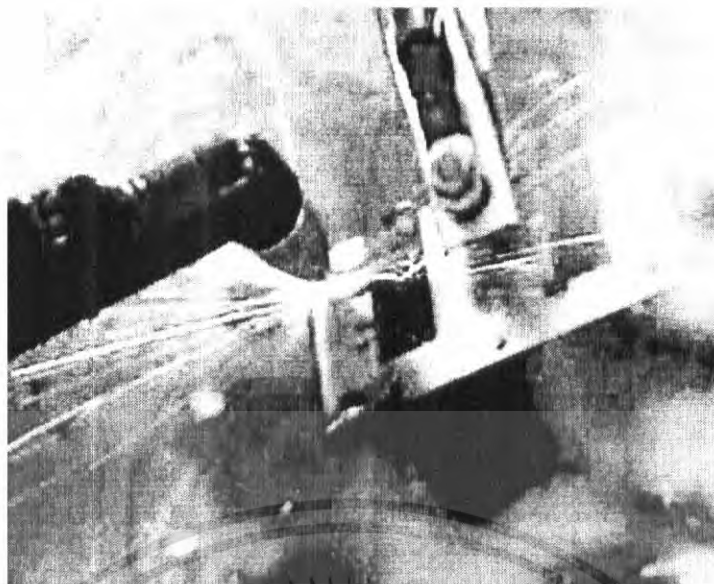


รูปที่ 5.22 เริ่มเกิดลําพลาสมา



รูปที่ 5.23 เกิดลําพลาสมาเต็มในขณะที่ทำการตัด

เอกสารนี้เป็นเอกสารที่สงวนไว้สำหรับการใช้งานเพื่อการศึกษาเท่านั้น ไม่อนุญาตให้นำไปใช้ประโยชน์ด้านการค้า ไม่ว่าจะกรณีใดๆ ทั้งสิ้น อีกทั้งห้ามมิให้ดัดแปลงเนื้อหา และต้องอ้างอิงถึงเจ้าของเอกสารทุกครั้งที่มีการนำไปใช้



รูปที่ 5.24 การตัดโลหะด้วยลำพลาสมา



เอกสารนี้เป็นเอกสารที่สงวนไว้สำหรับการใช้งานเพื่อการศึกษาเท่านั้น ไม่อนุญาตให้นำไปใช้ประโยชน์ด้านการค้า
ไม่ว่ากรณีใดๆ ทั้งสิ้น อีกทั้งห้ามมิให้ดัดแปลงเนื้อหา และต้องอ้างอิงถึงเจ้าของเอกสารทุกครั้งที่มีการนำไปใช้

บทที่ 6

สรุปและเสนอแนวทางที่จะดำเนินการ

6.1 สรุปและวิจารณ์ผลการทดลอง

การออกแบบเครื่องตัดโลหะแบบพลาสมาที่มีแนวคิดที่จะใช้วงจรที่ง่ายไม่ซับซ้อนมีจำนวนวงจรมีน้อยเพื่อให้เกิดความน่าเชื่อถือในการทำงานมากที่สุด การสร้างสัญญาณขับมอสเฟตจาก PIC มีสัญญาณที่เสถียรทำให้มอสเฟตทำงานได้อย่างสมบูรณ์ และการนำอากาศมาใช้เป็นพลาสมาที่ก๊าซนั้นเนื่องจากอากาศสามารถหาได้ง่ายและมีอยู่โดยทั่วไป เป็นการประหยัดเมื่อเทียบกับก๊าซชนิดอื่นๆ

การอาร์คของลำพลาสมาจะเกิดขึ้นได้ง่ายเมื่อมีการเกิดอาร์คไฟฟ้าแรงดันสูงความถี่สูง เมื่อเราทำการทดลองในที่นี้จะทำให้อาร์คหลักเกิดตามได้โดยง่าย โลหะจะถูกหลอมเหลวและขาดออกจากกันด้วยความร้อนที่สูง การใช้งานนานๆ ก็อาจจะทำให้แท่ง Cathode ที่อยู่ภายในของหัวคอบหรือหัวตัดหลอมเหลวทำให้เสียรูปทรง ลำอาร์คก็จะเป็นลำเรียวยาว ดังนั้นจะต้องคอยตัวเช็คและเปลี่ยนหัวใหม่

การใช้เทคนิคการสวิตซ์ที่แรงดันสูงจะช่วยให้น้ำหนักของแผ่นระบายอากาศเล็กลง แต่ก็ต้องคำนึงถึงการเชื่อมเฟสที่ถูกต้องรวมไปถึงกระแสจะเกิดขึ้นในขณะที่ทำการตัดจริง กระแสที่สูงจะก่อให้เกิดอันตรายต่ออุปกรณ์มอสเฟต เพราะในขณะที่ทำการตัด จะเหมือนลักษณะการลัดวงจรเพราะมีค่าความต้านทานที่ต่ำมาก

ข้อเสียของเครื่องตัดโลหะแบบพลาสมาในครั้งนี้

1. การทำให้เกิดลำอาร์คหลักยังทำได้ยากเนื่องจากข้อจำกัดทั้งแรงดันและกระแส
2. ยังขาดวงจรป้องกันและวงจรป้องกันไฟฟ้า
3. ไม่สามารถปรับขนาดของอุปกรณ์ให้เล็กลงตามที่คาดหวังไว้
4. ลักษณะแนวตัดยังไม่เป็นเส้นขนาดเล็กละเอียดและตัดโลหะได้บางลง

ปัญหาที่พบในการทดลอง

1. พิกัดกำลังไฟฟ้าของเครื่องยังไม่มากเพียงพอที่จะตัดโลหะขนาดหนาได้
2. มักเกิดกระแสเกินพิกัดในขณะที่ทำการตัดซึ่งอาจจะทำให้เกิดความเสียหายกับมอสเฟตได้

6.2 แนวทางที่จะดำเนินการ

เนื่องจากโครงการเครื่องตัดโลหะแบบพลาสมาในปีนี้จัดทำขึ้นเป็นครั้งแรก จึงเป็นเครื่องต้นแบบเพื่อเป็นแนวทางในการศึกษาและพัฒนาต่อไป ตั้งแต่การพัฒนาให้พิกัดกำลังไฟฟ้าเพิ่มมากขึ้น ทำให้เกิดแนวอาร์คหลักต่อเนื่องมากขึ้นทำให้การตัดโลหะเกิดความสวยงาม และต้องมีการพัฒนางจรป้องกันและวงจรป้องกัน และลดขนาดของอุปกรณ์เพิ่มเสถียรภาพในการทำงานให้สูงขึ้น สุดท้ายก็จัดเข้ากล่องโลหะให้สะดวกในการไปใช้งานจริง

บรรณานุกรม

- [1] N. Mohan, T .M. Underland, and W.P. Robins, **Power Electronics Converter Application and Design**, John Wiley & Sons, Inc., 1989.
- [2] Abraham I. Pressman, **Switching Power Supply Design**, McGraw-Hill, 1991
- [3] Roth, J. Reece, **Industrial Plasma Engineering**, Bristol, Institute of Physics, 1995
- [4] วีระเชษฐ์ ขันเงิน และวุฒิพล ธาราธีรเศรษฐ์, อิเล็กทรอนิกส์กำลัง, ภาควิชาวิศวกรรมไฟฟ้า, คณะวิศวกรรมศาสตร์, สถาบันเทคโนโลยีพระจอมเกล้าเจ้าคุณทหารลาดกระบัง, กรุงเทพฯ, สำนักพิมพ์ ห้างหุ้นส่วนจำกัด วี.เจ.พรินติ้ง, 2547
- [5] ปราบฤต เหลียงประดิษฐ์, “แหล่งจ่ายไฟแบบสวิตชิงความถี่สูงที่แรงดันสวิตซ์ศูนย์”, วิทยานิพนธ์วิศวกรรมศาสตรมหาบัณฑิต, สถาบันเทคโนโลยีพระจอมเกล้าเจ้าคุณทหารลาดกระบัง, 2543
- [6] ขวลิต เปี่ยมวาริ และคณะ, “เครื่องเชื่อมอิเล็กทรอนิกส์ความถี่สูง”, วิทยานิพนธ์วิศวกรรมศาสตรบัณฑิต, สาขาวิชาวิศวกรรมไฟฟ้า, สถาบันเทคโนโลยีพระจอมเกล้าเจ้าคุณทหารลาดกระบัง, 2546
- [7] สุริยา ธงชัย, “แหล่งจ่ายกำลังแบบสวิตชิงของเครื่องตัดโลหะแบบพลาสมา”, วิทยานิพนธ์วิศวกรรมศาสตรบัณฑิต, สาขาวิชาวิศวกรรมไฟฟ้า, จุฬาลงกรณ์มหาวิทยาลัย, 2536
- [8] บุญวัฒน์ ว่องไวทวีทรัพย์ และประเสริฐ แก้วกาญจน์, “เครื่องตัดโลหะด้วยลำพลาสมา”, วิทยานิพนธ์วิศวกรรมศาสตรบัณฑิต, สาขาวิชาวิศวกรรมอิเล็กทรอนิกส์, สถาบันเทคโนโลยีพระจอมเกล้าเจ้าคุณทหารลาดกระบัง, 2546

เอกสารนี้เป็นเอกสารที่สงวนไว้สำหรับการใช้งานเพื่อการศึกษาเท่านั้น ไม่อนุญาตให้นำไปใช้ประโยชน์ด้านการค้าไม่ว่ากรณีใดๆ ทั้งสิ้น อีกทั้งห้ามมิให้ดัดแปลงเนื้อหา และต้องอ้างอิงถึงเจ้าของเอกสารทุกครั้งที่มีการนำไปใช้

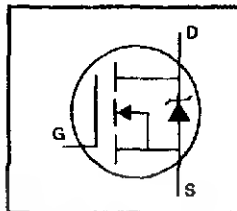
ภาคผนวก



เอกสารนี้เป็นเอกสารที่สงวนไว้สำหรับการใช้งานเพื่อการศึกษาเท่านั้น ไม่อนุญาตให้นำไปใช้ประโยชน์ด้านการค้า
ไม่ว่ากรณีใดๆ ทั้งสิ้น อีกทั้งห้ามมิให้ดัดแปลงเนื้อหา และต้องอ้างอิงถึงเจ้าของเอกสารทุกครั้งที่มีการนำไปใช้

HEXFET® Power MOSFET

- Dynamic dv/dt Rating
- Repetitive Avalanche Rated
- Isolated Central Mounting Hole
- Fast Switching
- Ease of Paralleling
- Simple Drive Requirements



$$V_{DSS} = 500V$$

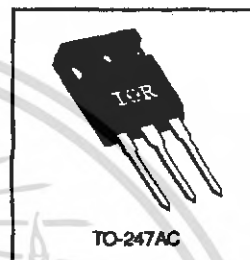
$$R_{DS(on)} = 0.27\Omega$$

$$I_D = 20A$$

Description

Third Generation HEXFETs from International Rectifier provide the designer with the best combination of fast switching, ruggedized device design, low on-resistance and cost-effectiveness.

The TO-247 package is preferred for commercial-industrial applications where higher power levels preclude the use of TO-220 devices. The TO-247 is similar but superior to the earlier TO-218 package because of its isolated mounting hole. It also provides greater creepage distance between pins to meet the requirements of most safety specifications.



TO-247AC

 DATA
 SHEETS

Absolute Maximum Ratings

Parameter	Max.	Units
I_D @ $T_C = 25^\circ\text{C}$	Continuous Drain Current, $V_{GS} @ 10\text{ V}$	20
I_D @ $T_C = 100^\circ\text{C}$	Continuous Drain Current, $V_{GS} @ 10\text{ V}$	13
I_{DM}	Pulsed Drain Current $\text{\textcircled{D}}$	80
P_D @ $T_C = 25^\circ\text{C}$	Power Dissipation	280
	Linear Derating Factor	2.2
V_{GS}	Gate-to-Source Voltage	± 20
E_{AS}	Single Pulse Avalanche Energy $\text{\textcircled{D}}$	960
I_{AR}	Avalanche Current $\text{\textcircled{D}}$	20
E_{AR}	Repetitive Avalanche Energy $\text{\textcircled{D}}$	28
dv/dt	Peak Diode Recovery dv/dt $\text{\textcircled{D}}$	3.5
T_J	Operating Junction and Storage Temperature Range	-55 to +150
T_{SOLD}	Soldering Temperature, for 10 seconds	300 (1.6mm from case)
	Mounting Torque, 6-32 or M3 screw	10 lbf-in (1.1 N-m)


Thermal Resistance

Parameter	Min.	Typ.	Max.	Units
$R_{\theta JC}$	Junction-to-Case	—	0.45	$^\circ\text{C/W}$
$R_{\theta CS}$	Case-to-Sink, Flat, Greased Surface	0.24	—	
$R_{\theta JA}$	Junction-to-Ambient	—	40	


เอกสารนี้เป็นเอกสารที่สงวนไว้สำหรับการใช้งานเพื่อการศึกษาเท่านั้น ไม่อนุญาตให้นำไปใช้ประโยชน์ด้านการค้า
 ไม่ว่ากรณีใดๆ ทั้งสิ้น อีกทั้งห้ามมิให้ดัดแปลงเนื้อหา และต้องอ้างอิงถึงเจ้าของเอกสารทุกครั้งที่มีการนำไปใช้

IRFP460

Electrical Characteristics @ $T_J = 25^\circ\text{C}$ (unless otherwise specified)

	Parameter	Min.	Typ.	Max.	Units	Test Conditions
$V_{(BR)DSS}$	Drain-to-Source Breakdown Voltage	500	—	—	V	$V_{GS}=0V, I_D=250\mu A$
$\Delta V_{(BR)DSS}/\Delta T_J$	Breakdown Voltage Temp. Coefficient	—	0.63	—	V/°C	Reference to 25°C , $I_D=1\text{mA}$
$R_{DS(on)}$	Static Drain-to-Source On-Resistance	—	—	0.27	Ω	$V_{GS}=10V, I_D=12A$ ①
$V_{GS(th)}$	Gate Threshold Voltage	2.0	—	4.0	V	$V_{DS}=V_{GS}, I_D=250\mu A$
g_{fs}	Forward Transconductance	13	—	—	S	$V_{DS}=50V, I_D=12A$ ①
I_{DSS}	Drain-to-Source Leakage Current	—	—	25	μA	$V_{DS}=500V, V_{GS}=0V$
		—	—	250	μA	$V_{DS}=400V, V_{GS}=0V, T_J=125^\circ\text{C}$
I_{GSS}	Gate-to-Source Forward Leakage	—	—	100	nA	$V_{GS}=20V$
	Gate-to-Source Reverse Leakage	—	—	-100	nA	$V_{GS}=-20V$
Q_g	Total Gate Charge	—	—	210	nC	$I_D=20A$
Q_{gs}	Gate-to-Source Charge	—	—	29	nC	$V_{DS}=400V$
Q_{gd}	Gate-to-Drain ("Miller") Charge	—	—	110	nC	$V_{GS}=10V$ See Fig. 6 and 13 ①
$t_{d(on)}$	Turn-On Delay Time	—	18	—	ns	$V_{DD}=250V$
t_r	Rise Time	—	59	—	ns	$I_D=20A$
$t_{d(off)}$	Turn-Off Delay Time	—	110	—	ns	$R_G=4.3\Omega$
t_f	Fall Time	—	58	—	ns	$R_D=13\Omega$ See Figure 10 ①
L_D	Internal Drain Inductance	—	5.0	—	nH	Between lead, 6 mm (0.25in.) from package and center of die contact 
L_S	Internal Source Inductance	—	13	—	nH	
C_{iss}	Input Capacitance	—	4200	—	pF	$V_{GS}=0V$
C_{oss}	Output Capacitance	—	870	—	pF	$V_{DS}=25V$
C_{rss}	Reverse Transfer Capacitance	—	350	—	pF	$f=1.0\text{MHz}$ See Figure 5

Source-Drain Ratings and Characteristics

	Parameter	Min.	Typ.	Max.	Units	Test Conditions
I_S	Continuous Source Current (Body Diode)	—	—	20	A	MOSFET symbol showing the integral reverse p-n junction diode. 
I_{SM}	Pulsed Source Current (Body Diode) ①	—	—	80	A	
V_{SD}	Diode Forward Voltage	—	—	1.8	V	$T_J=25^\circ\text{C}, I_S=20A, V_{GS}=0V$ ②
t_{rr}	Reverse Recovery Time	—	570	860	ns	$T_J=25^\circ\text{C}, I_S=20A$
Q_{rr}	Reverse Recovery Charge	—	5.7	8.8	μC	$di/dt=100A/\mu s$ ③
t_{on}	Forward Turn-On Time	Intrinsic turn-on time is negligible (turn-on is dominated by L_S+L_D)				

Notes:

- ① Repetitive rating; pulse width limited by max. junction temperature (See Figure 11)
- ② $V_{DD}=50V$, starting $T_J=25^\circ\text{C}$, $L=4.3\text{mH}$, $R_G=25\Omega$, $I_{AS}=20A$ (See Figure 12)
- ③ $I_{SD}\leq 20A$, $di/dt\leq 160A/\mu s$, $V_{DD}\leq V_{(BR)DSS}$, $T_J\leq 150^\circ\text{C}$
- ④ Pulse width $\leq 300\mu s$; duty cycle $\leq 2\%$.

เอกสารนี้เป็นเอกสารที่สงวนไว้สำหรับการใช้งานเพื่อการศึกษาเท่านั้น ไม่อนุญาตให้นำไปใช้ประโยชน์ด้านการค้า
ไม่ว่ากรณีใดๆ ทั้งสิ้น อีกทั้งห้ามมิให้ตัดแปลงเนื้อหา และต้องอ้างอิงถึงเจ้าของเอกสารทุกครั้งที่มีการนำไปใช้

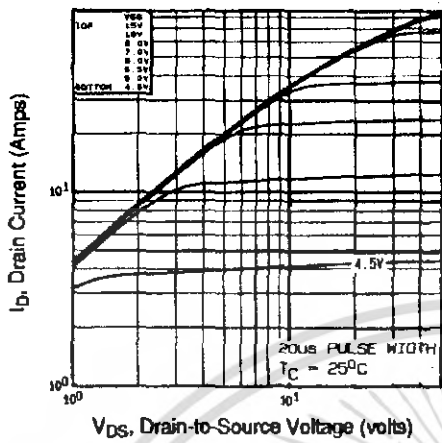


Fig 1. Typical Output Characteristics, $T_C=25^\circ\text{C}$

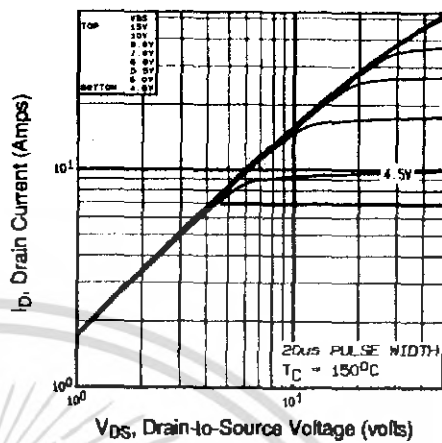


Fig 2. Typical Output Characteristics, $T_C=150^\circ\text{C}$

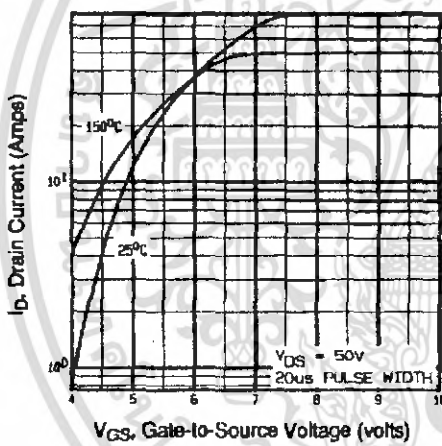


Fig 3. Typical Transfer Characteristics

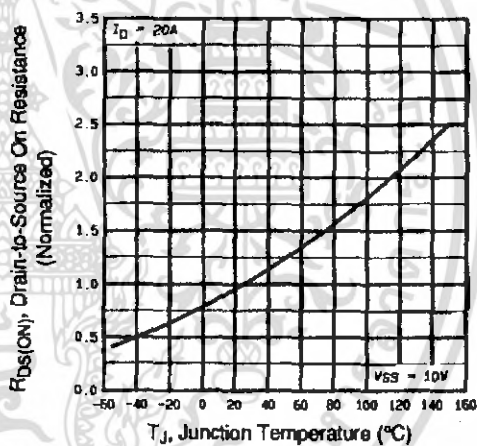


Fig 4. Normalized On-Resistance Vs. Temperature

DATA SHEETS

เอกสารนี้เป็นเอกสารที่สงวนไว้สำหรับการใช้งานเพื่อการศึกษาเท่านั้น ไม่อนุญาตให้นำไปใช้ประโยชน์ด้านการค้า ไม่ว่ากรณีใดๆ ทั้งสิ้น อีกทั้งห้ามมิให้คัดแปลงเนื้อหา และต้องอ้างอิงถึงเจ้าของเอกสารทุกครั้งที่มีการนำไปใช้

IRFP460

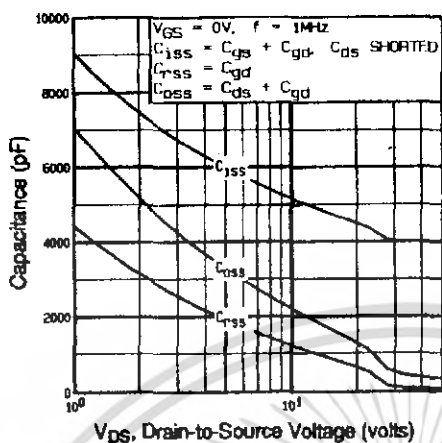


Fig 5. Typical Capacitance Vs. Drain-to-Source Voltage

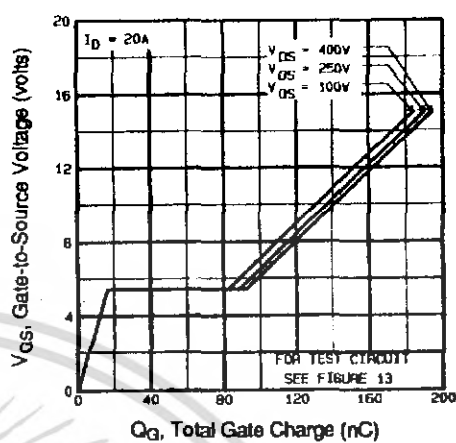


Fig 6. Typical Gate Charge Vs. Gate-to-Source Voltage

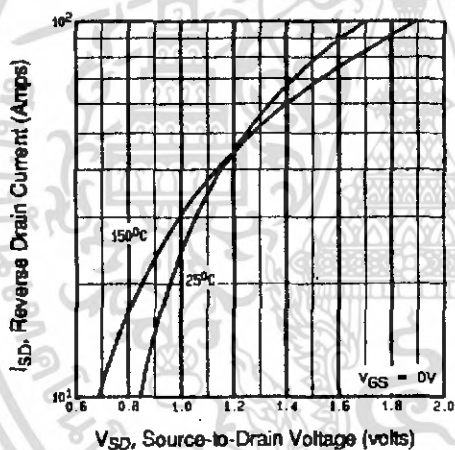


Fig 7. Typical Source-Drain Diode Forward Voltage

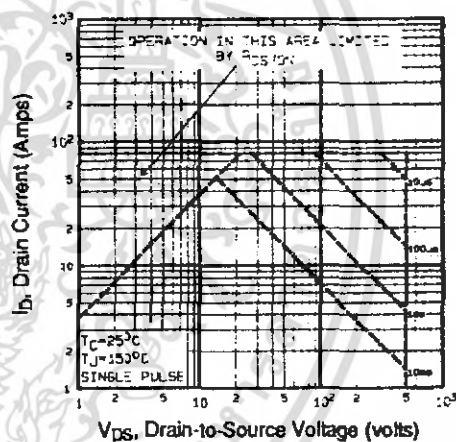


Fig 8. Maximum Safe Operating Area

เอกสารนี้เป็นเอกสารที่สงวนไว้สำหรับการใช้งานเพื่อการศึกษาเท่านั้น ไม่อนุญาตให้นำไปใช้ประโยชน์ด้านการค้า ไม่ว่าจะกรณีใดๆ ทั้งสิ้น อีกทั้งห้ามมิให้ดัดแปลงเนื้อหา และต้องอ้างอิงถึงเจ้าของเอกสารทุกครั้งที่มีการนำไปใช้



IRFP460

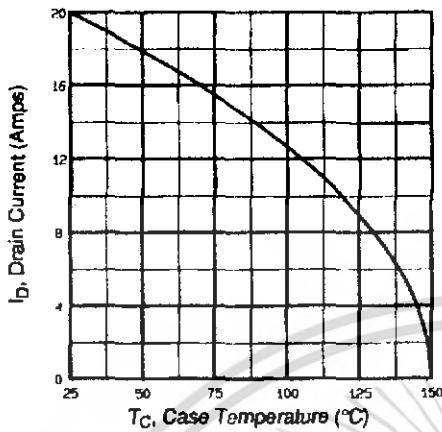


Fig 9. Maximum Drain Current Vs. Case Temperature

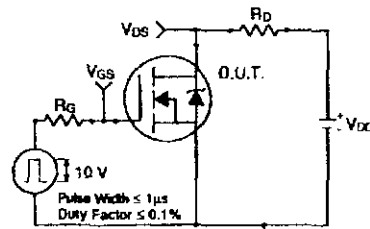


Fig 10a. Switching Time Test Circuit

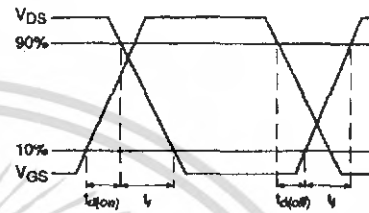


Fig 10b. Switching Time Waveforms

DATA SHEETS

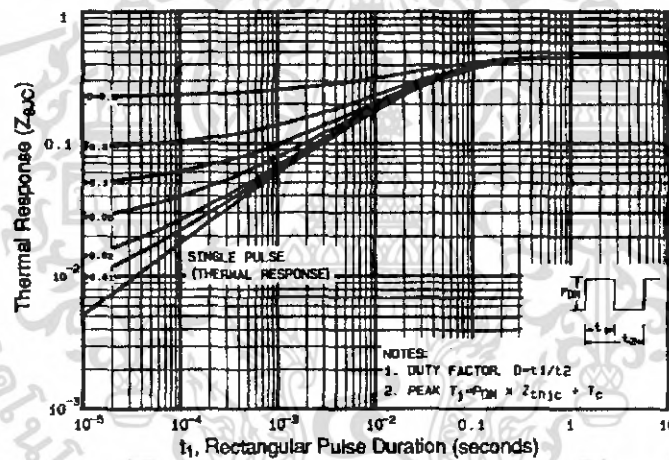


Fig 11. Maximum Effective Transient Thermal Impedance, Junction-to-Case

เอกสารนี้เป็นเอกสารที่สงวนไว้สำหรับการใช้งานเพื่อการศึกษาเท่านั้น ไม่อนุญาตให้นำไปใช้ประโยชน์ด้านการค้า ไม่ว่ากรณีใดๆ ทั้งสิ้น อีกทั้งห้ามมิให้ดัดแปลงเนื้อหา และต้องอ้างอิงถึงเจ้าของเอกสารทุกครั้งที่มีการนำไปใช้

IRFP460

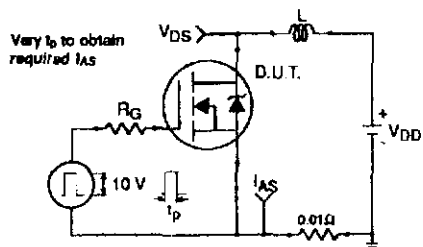


Fig 12a. Unclamped Inductive Test Circuit

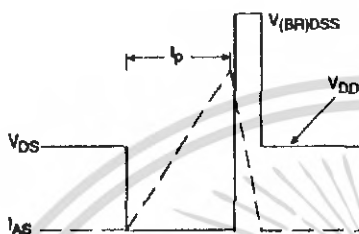


Fig 12b. Undamped Inductive Waveforms

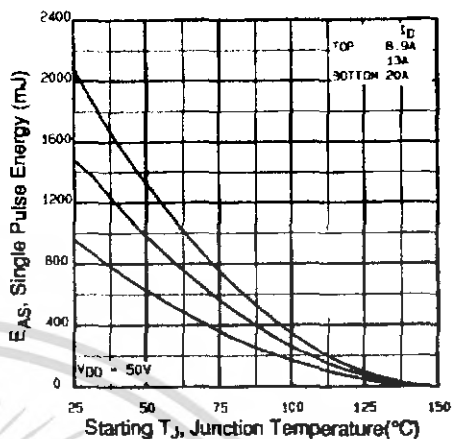


Fig 12c. Maximum Avalanche Energy Vs. Drain Current

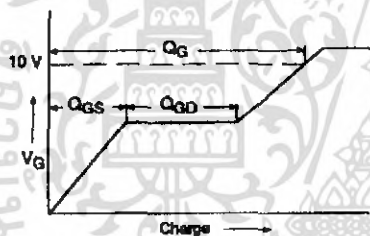


Fig 13a. Basic Gate Charge Waveform

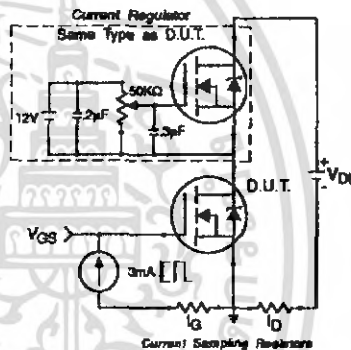


Fig 13b. Gate Charge Test Circuit


Appendix A: Figure 14, Peak Diode Recovery dv/dt Test Circuit – See page 1505

Appendix B: Package Outline Mechanical Drawing – See page 1511

Appendix C: Part Marking Information – See page 1517



International
IR Rectifier

เอกสารนี้เป็นเอกสารที่สงวนไว้สำหรับการใช้งานเพื่อการศึกษาเท่านั้น ไม่อนุญาตให้นำไปใช้ประโยชน์ด้านการค้า ไม่ว่ากรณีใดๆ ทั้งสิ้น อีกทั้งห้ามมิให้ดัดแปลงเนื้อหา และต้องอ้างอิงถึงเจ้าของเอกสารทุกครั้งที่มีการนำไปใช้



GBPC 40, 50 SERIES

High Current 40, 50 AMPS. Single Phase Glass Passivated Bridge Rectifiers

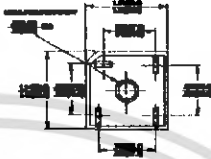



Voltage Range
50 to 1000 Volts
Current
40, 50.0 Amperes

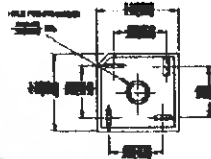
Features


- ◇ UL Recognized File # E-96005
- ◇ The plastic material used carries Underwriters Laboratory Flammability Recognition 94V-0
- ◇ Integrally molded heatsink provide very low thermal resistance for maximum heat dissipation
- ◇ Universal 4-way terminals; snap-on, wrap-around, solder or P.C. board mounting
- ◇ Surge overload ratings 400 amperes
- ◇ Terminals solderable per MIL-STD-202, Method 208
- ◇ Typical I_r less than 0.2 μ A
- ◇ High temperature soldering guaranteed: 260°C / 10 seconds / .375" (9.5mm) lead lengths
- ◇ Isolated voltage from case to lead over 2500 volts

GBPC40



GBPC40-M





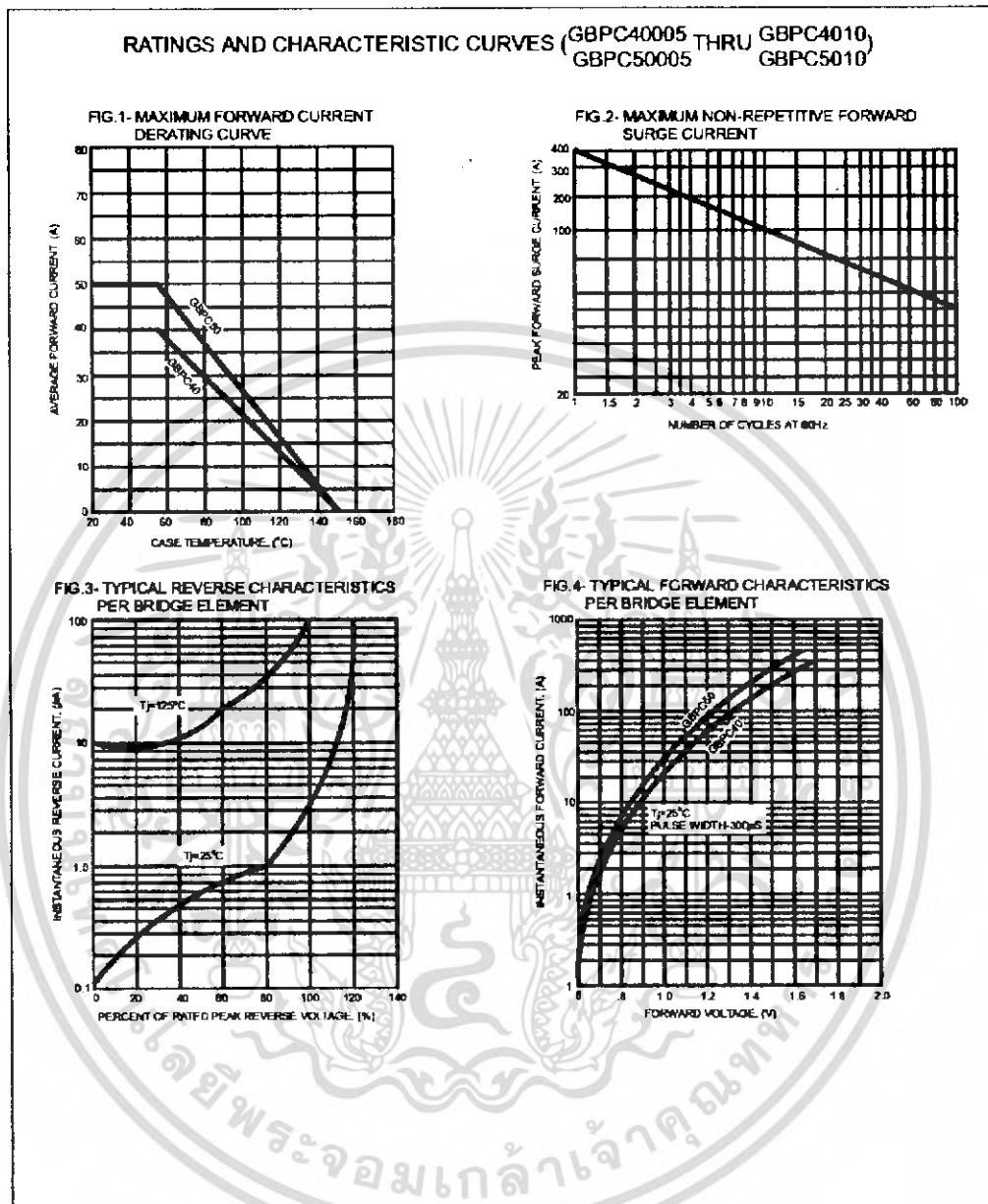
Dimensions in inches and (millimeters)

Maximum Ratings and Electrical Characteristics
Rating at 25°C ambient temperature unless otherwise specified.
Single phase, half wave, 60 Hz, resistive or inductive load.
For capacitive load, derate current by 20%

Type Number	-005	-01	-02	-04	-06	-08	-10	Units
Maximum Recurrent Peak Reverse Voltage	50	100	200	400	600	800	1000	V
Maximum RMS Voltage	35	70	140	280	420	560	700	V
Maximum DC Blocking Voltage	50	100	200	400	600	800	1000	V
Maximum Average Forward Rectified Current @ $T_c = 55^\circ\text{C}$					40.0			A
					50.0			A
Peak Forward Surge Current, Single Sine-wave Superimposed on Rated Load (JEDEC method)					400			A
					400			A
Maximum Instantaneous Forward Voltage Drop Per Element at Specified Current					1.1			V
								μ A
Maximum DC Reverse Current at Rated DC Blocking Voltage Per Element					10			$^\circ\text{C/W}$
Typical Thermal Resistance (Note 1) R θ JC					1.5			$^\circ\text{C}$
Operating and Storage Temperature Range T_J, T_{stg}					-50 to +150			$^\circ\text{C}$

Notes. 1. Thermal Resistance from Junction to Case.
2. Suffix "M" - Terminal Location Face to Face.

เอกสารนี้เป็นเอกสารที่สงวนไว้สำหรับการใช้งานเพื่อการศึกษาเท่านั้น ไม่อนุญาตให้นำไปใช้ประโยชน์ด้านการค้า ไม่ว่าจะกรณีใดๆ ทั้งสิ้น อีกทั้งห้ามมิให้ตัดแปลงเนื้อหา และต้องอ้างอิงถึงเจ้าของเอกสารทุกครั้งที่มีการนำไปใช้



เอกสารนี้เป็นเอกสารที่สงวนไว้สำหรับการใช้งานเพื่อการศึกษาเท่านั้น ไม่อนุญาตให้นำไปใช้ประโยชน์ด้านการค้า
ไม่ว่ากรณีใดๆ ทั้งสิ้น อีกทั้งห้ามมิให้คัดแปลงเนื้อหา และต้องอ้างอิงถึงเจ้าของเอกสารทุกครั้งที่มีการนำไปใช้

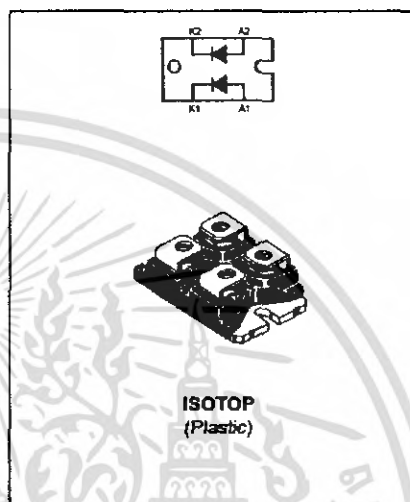


BYV255V

HIGH EFFICIENCY FAST RECOVERY RECTIFIER DIODES

FEATURES

- SUITED FOR SMPS
- VERY LOW FORWARD LOSSES
- NEGLIGIBLE SWITCHING LOSSES
- HIGH SURGE CURRENT CAPABILITY
- HIGH AVALANCHE ENERGY CAPABILITY
- INSULATED:
Insulating voltage = 2500 V_{RMS}
Capacitance = 55 pF



DESCRIPTION

Dual rectifier suited for switchmode power supply and high frequency DC to DC converters. Packaged in ISOTOP™ this device is intended for use in low voltage, high frequency inverters, free wheeling and polarity protection applications.

ABSOLUTE MAXIMUM RATINGS

Symbol	Parameter		Value	Unit
I _{F(RMS)}	RMS forward current		150	A
I _{F(AV)}	Average forward current $\delta = 0.5$	T _c =110°C	100	A
I _{F-SM}	Surge non repetitive forward current	t _p =10ms sinusoidal	1600	A
T _{stg} T _j	Storage and junction temperature range		- 40 to + 150	°C

Symbol	Parameter	Value	Unit
V _{RRM}	Repetitive peak reverse voltage	200	V

ISOTOP is a trademark of STMicroelectronics.

May 2000 - Ed : 2E

1/5

เอกสารนี้เป็นเอกสารที่สงวนไว้สำหรับการใช้งานเพื่อการศึกษาเท่านั้น ไม่อนุญาตให้นำไปใช้ประโยชน์ด้านการค้า
ไม่ว่ากรณีใดๆ ทั้งสิ้น อีกทั้งห้ามมิให้ดัดแปลงเนื้อหา และต้องอ้างอิงถึงเจ้าของเอกสารทุกครั้งที่มีการนำไปใช้

BYV255V**THERMAL RESISTANCE**

Symbol	Parameter	Value	Unit	
Rth (j-c)	Junction to case	Per diode	0.4	°C/W
		Total	0.25	
Rth (c)	Coupling	0.1	°C/W	

When the diodes 1 and 2 are used simultaneously :

$$T_J - T_c (\text{diode 1}) = P(\text{diode 1}) \times R_{th(j-c)}(\text{Per diode}) + P(\text{diode 2}) \times R_{th(c)}$$

ELECTRICAL CHARACTERISTICS (Per diode)**STATIC CHARACTERISTICS**

Symbol	Test Conditions		Min.	Typ.	Max.	Unit
I _R *	T _J = 25°C	V _R = V _{RRM}			100	μA
	T _J = 100°C				10	mA
V _F **	T _J = 125°C	I _F = 100 A			0.85	V
	T _J = 125°C	I _F = 200 A			1.00	
	T _J = 25°C	I _F = 200 A			1.15	

Pulse test : * tp = 5 ms, duty cycle < 2 %

** tp = 380 μs, duty cycle < 2 %

RECOVERY CHARACTERISTICS

Symbol	Test Conditions		Min.	Typ.	Max.	Unit
t _{rr}	T _J = 25°C	I _F = 0.5A I _R = 1A			55	ns
		I _F = 1A V _R = 30V			80	
t _{fr}	T _J = 25°C	I _F = 1A V _{FR} = 1.1 x V _F		10		ns
V _{FP}	T _J = 25°C	I _F = 1A		1.5		V

TURN-OFF SWITCHING CHARACTERISTICS

Symbol	Test Conditions		Min.	Typ.	Max.	Unit
I _{RM}	T _J = 100°C	I _F = 100A L _p @ 0.05μH V _{cc} @ 0.6 V _{RRM}	dI _F /dt = -200A/μs		16	A
			dI _F /dt = -400A/μs	24		

Fig.1 : Average forward power dissipation versus average forward current.

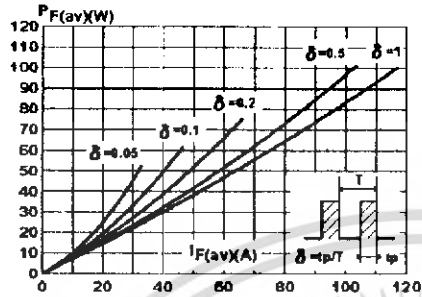


Fig.2 : Peak current versus form factor.

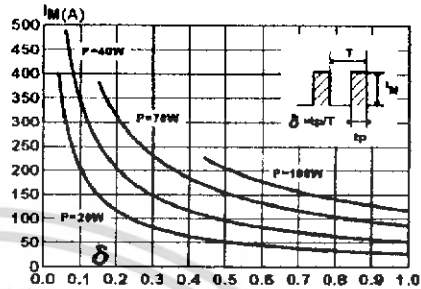


Fig.3 : Forward voltage drop versus forward current (maximum values).

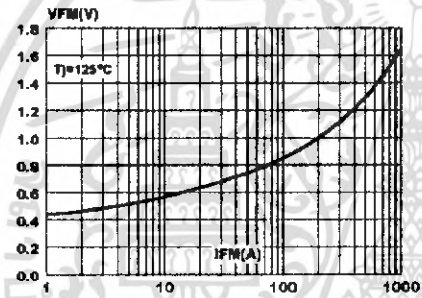


Fig.4 : Relative variation of thermal impedance junction to case versus pulse duration.

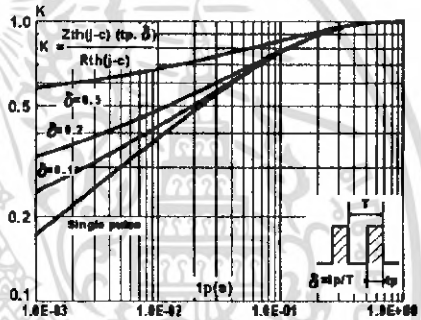


Fig.5 : Non repetitive surge peak forward current versus overload duration.

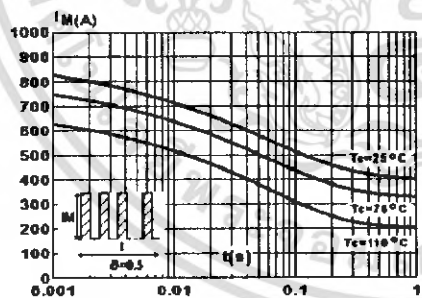
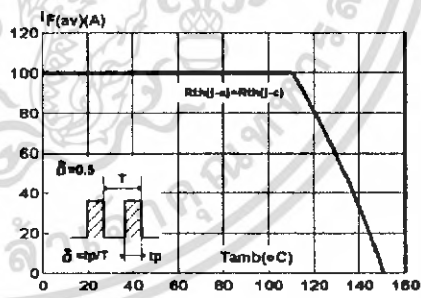


Fig.6 : Average current versus ambient temperature. (duty cycle: 0.5)



เอกสารนี้เป็นเอกสารที่สงวนไว้สำหรับการใช้งานเพื่อการศึกษาเท่านั้น ไม่อนุญาตให้นำไปใช้ประโยชน์ด้านการค้า ไม่ว่ากรณีใดๆ ทั้งสิ้น อีกทั้งห้ามมิให้ตัดแปลงเนื้อหา และต้องอ้างอิงถึงเจ้าของเอกสารทุกครั้งที่มีการนำไปใช้

BYV265V

Fig.7 : Junction capacitance versus reverse voltage applied (Typical values)

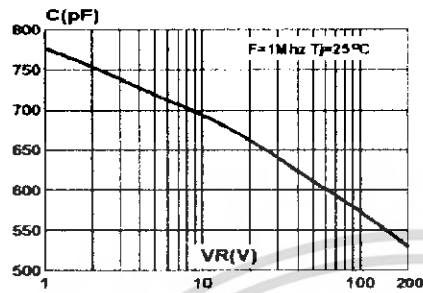


Fig.8 : Recovery charges versus diF/dt.

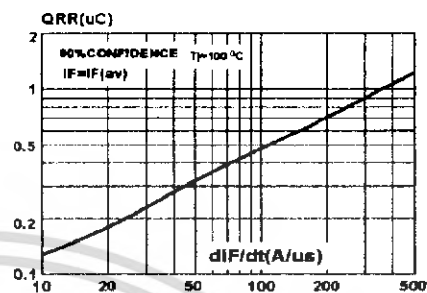


Fig.9 : Peak reverse current versus diF/dt.

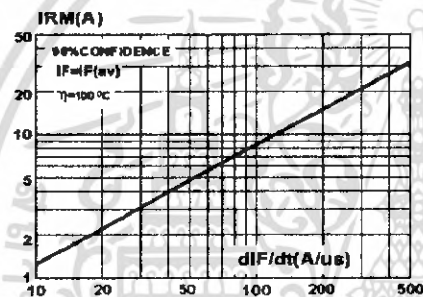
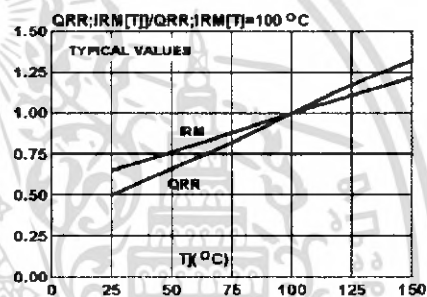


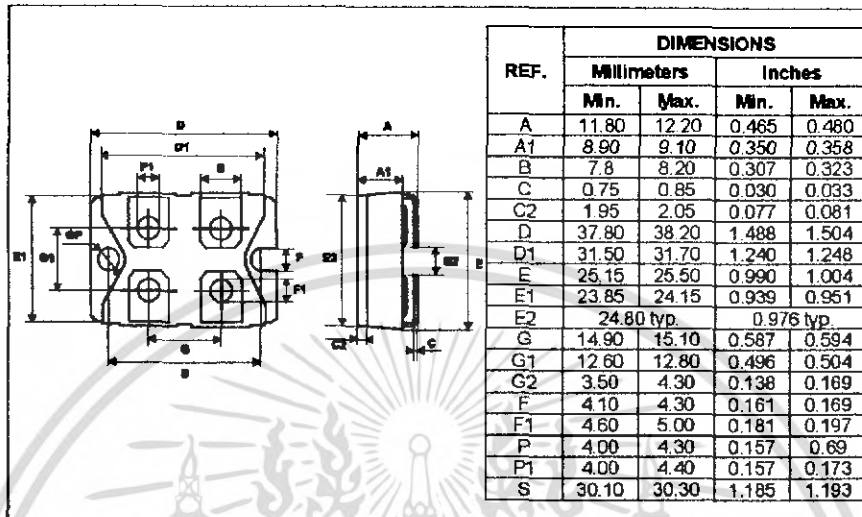
Fig.10 : Dynamic parameters versus junction temperature.



เอกสารนี้เป็นเอกสารที่สงวนไว้สำหรับการใช้งานเพื่อการศึกษาเท่านั้น ไม่อนุญาตให้นำไปใช้ประโยชน์ด้านการค้า
ไม่ว่ากรณีใดๆ ทั้งสิ้น อีกทั้งห้ามมิให้คัดแปลงเนื้อหา และต้องอ้างอิงถึงเจ้าของเอกสารทุกครั้งที่มีการนำไปใช้

BYV255V

PACKAGE MECHANICAL DATA
ISOTOP



- Marking : Type number
- Cooling method : C
- Weight : 27 g
- Epoxy meets UL94, V0

Information furnished is believed to be accurate and reliable. However, STMicroelectronics assumes no responsibility for the consequences of use of such information nor for any infringement of patents or other rights of third parties which may result from its use. No license is granted by implication or otherwise under any patent or patent rights of STMicroelectronics. Specifications mentioned in this publication are subject to change without notice. This publication supersedes and replaces all information previously supplied. STMicroelectronics products are not authorized for use as critical components in life support devices or systems without express written approval of STMicroelectronics.

The ST logo is a registered trademark of STMicroelectronics

© 2000 STMicroelectronics - Printed in Italy - All rights reserved.

STMicroelectronics GROUP OF COMPANIES

Australia - Brazil - China - Finland - France - Germany - Hong Kong - India - Italy - Japan - Malaysia
Malta - Morocco - Singapore - Spain - Sweden - Switzerland - United Kingdom - U.S.A.

<http://www.st.com>



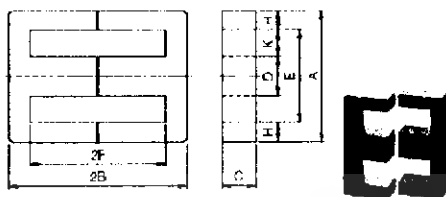
เอกสารนี้เป็นเอกสารที่สงวนไว้สำหรับการใช้งานเพื่อการศึกษาเท่านั้น ไม่อนุญาตให้นำไปใช้ประโยชน์ด้านการค้า
ไม่ว่ากรณีใดๆ ทั้งสิ้น อีกทั้งห้ามมิให้ดัดแปลงเนื้อหา และต้องอ้างอิงถึงเจ้าของเอกสารทุกครั้งที่มีการนำไปใช้



EE Series

EE CORE
CORE SHAPES AND DIMENSIONS/CHARACTERISTICS

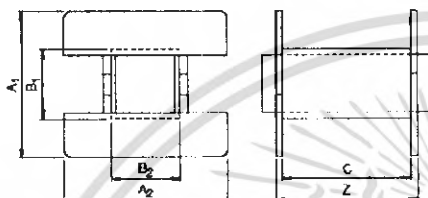
PRODUCT IDENTIFICATION



PF22	EE	320 × 250 × 20
(1)	(2)	(3) (4) (5)

- (1) Material name
- (2) Shape
- (3) Dimension A
- (4) Dimension 2B
- (5) Dimension C

EE CORE BOBBIN



Bobbin is optional parts

Part No.	A ₁ * (mm ²) ±2.5%	Dimensions (mm)									
		A	2B	C	D	E	2F	H	R	K	K×2F (mm ²)
PE22 EE70×91×19	3930	70.0±1.5	91.0±1.0	19.5±0.5	19.5±0.5	49.5min	71.0±1.0	10.0±0.5	0	15.3	1098
PC40 EE70×91×19	4810										
PE22 EE90×76×20	4580	80.0±1.5	76.0±1.0	20.0±0.5	20.0±0.5	59.5min	55.0±0.8	10.0±0.5	0.5max	20.0	1100
PC40 EE90×76×20	5720										
PE22 EE90×56×16	5960	90.0±2.0	56.4±1.0	18.5±0.5	25.0±1.0	63.0min	90.4±1.0	12.5±0.5	0.8max	20.0	608
PC40 EE90×56×16	7380										
PE22 EE320×250×20 ^②		320.0±5.0	250.0±1.0	20.0±1.0	100.0±2.4	217.0min	190.0±3.0	50.0±1.0	0	60.0	7950
PC40 EE320×250×20 ^②											
PE22 EE70×108×31N	6360	70.0±1.5	108.0±1.0	31.6±0.5	22.2±0.5	48.3min	85.8±1.0	11.1±0.5	2.0max	12.8	1098
PC40 EE70×108×31N	7970										

*1 Measuring condition: T=23°C, I=1W/2, H_{dc}=0.4A/m
 ② EE320×250×20-Z is a bonded product.

Part No.	Core factor						Weight (g)
	C ₁ (mm ⁻¹)	C ₂ × 10 ³ (mm ⁻³)	A _w (mm ²)	l _w (mm)	W _w (mm ³)		
PE22 EE70×91×19	0.52779	0.13669	388	204	78690	364	
PC40 EE70×91×19							
PE22 EE90×76×20	0.44878	0.11058	406	182	73810	372	
PC40 EE90×76×20							
PE22 EE90×56×16	0.33583	0.09000	419	141	58050	306	
PC40 EE90×56×16							
PE22 EE320×250×20	0.28854	0.01443	2000	577	1154160	6150	
PC40 EE320×250×20							
PE22 EE70×108×31N	0.32992	0.04695	705	232	162900	815	
PC40 EE70×108×31N							

EE CORE BOBBIN

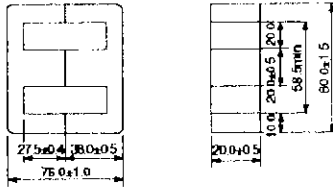
Part No.	Dimensions (mm)						Cross-sectional winding area A _w (mm ²)	Average winding length l _w (mm)	Weight (g)	Material
	A ₁	A ₂	B ₁	B ₂	C	Z				
BE-80-S	58.5±0.5	61.0±0.5	25.2±0.5	25.2±0.5	47.5±2.5	51.5±2.5	747	158	32	PBT
BE-80-W	58.5±0.5	61.5±0.7	25.2±0.5	45.6±0.5	47.5±2.5	51.5±2.5	747	208	41	PBT

* All specifications are subject to change without notice.

เอกสารนี้เป็นเอกสารที่สงวนไว้สำหรับการใช้งานเพื่อการศึกษาเท่านั้น ไม่อนุญาตให้นำไปใช้ประโยชน์ด้านการค้า
 ไม่ว่ากรณีใดๆ ทั้งสิ้น อีกทั้งห้ามมิให้คัดแปลงเนื้อหา และต้องอ้างอิงถึงเจ้าของเอกสารทุกครั้งที่มีการนำไปใช้



EE80X76X20



Parameter

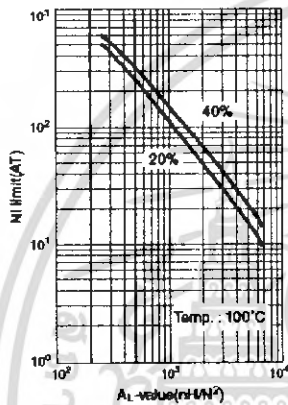
Core constant	C ₁	mm ⁻¹	0.44878
	C ₂	10 ⁻² mm ⁻³	0.1106
Effective magnetic path length	ℓ _e	mm	182
Effective cross-sectional area	A _e	mm ²	408
Effective core volume	V _e	mm ³	73910
Cross-sectional center leg area	A _c	mm ²	400
Minimum cross-sectional area	A _{min}	mm ²	400LC*
Winding cross-sectional area	A _{cw}	mm ²	1100
Weight(approx.)		g	372

* The symbol followed A min value shows minimum cross-sectional area part.
C is center pole part, L is outer pole part, B is the back part

Part No.	AL-value*(nH/N ²)	Calculated output power(kW) (forward converter mode)
PE22 EE80X76X20	4590±25%	1.4(100kHz)
PC40 EE80X76X20	5720±25%	1.5(100kHz)

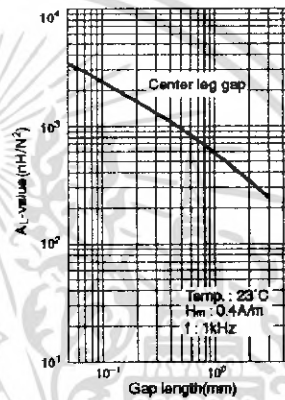
* AL-value: T=23°C, f=1kHz, H_m=0.4A/m

NI limit vs. AL-value for PE22 EE80X76X20

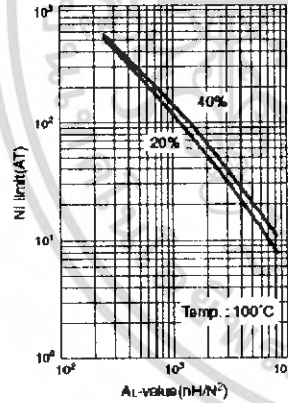


When applied magnetic field providing NI to a setting core for arbitrary AL-value, show each NI value when decreased 20% and 40% from initial AL-value.

AL-value vs. Air gap length for PE22 EE80X76X20

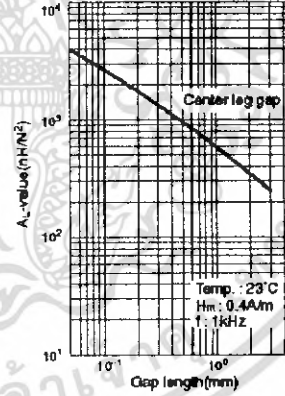


NI limit vs. AL-value for PC40 EE80X76X20



When applied magnetic field providing NI to a setting core for arbitrary AL-value, show each NI value when decreased 20% and 40% from initial AL-value.

AL-value vs. Air gap length for PC40 EE80X76X20



* All specifications are subject to change without notice

001-02 / 20060426 / e16_2

เอกสารนี้เป็นเอกสารที่สงวนไว้สำหรับการใช้งานเพื่อการศึกษาเท่านั้น ไม่อนุญาตให้นำไปใช้ประโยชน์ด้านการค้า
ไม่ว่ากรณีใดๆ ทั้งสิ้น อีกทั้งห้ามมิให้คัดแปลงเนื้อหา และต้องอ้างอิงถึงเจ้าของเอกสารทุกครั้งที่มีการนำไปใช้

Wire Gauge Table

A.W.G. in the table stands for American Wire Gauge (or Brown & Shupe Wire Gauge)
 S.W.G. stands for British Standard Wire Gauge. B.W.G. stands for Birmingham Wire Gauge.

Gauge				Gauge				Gauge						
A.W.G. (B.S.)	S.W.G.	B.W.G.	Diameter mm	Area mm ²	A.W.G. (B.S.)	S.W.G.	B.W.G.	Diameter mm	Area mm ²	A.W.G. (B.S.)	S.W.G.	B.W.G.	Diameter mm	Area mm ²
-	7/0	5/0	12.700	126.7	-	-	11	2.413	4.573	-	31	-	0.295	0.04819
-	6/0	-	11.786	109.1	-	-	11	2.337	4.289	-	29	-	0.286	0.04622
4/0	-	-	11.484	107.2	11	-	-	2.305	4.172	-	32	-	0.274	0.05900
-	-	4/0	11.532	104.4	-	-	14	2.108	3.491	-	30	-	0.255	0.05097
-	5/0	-	10.973	94.56	12	-	-	2.053	3.309	-	31	31	0.254	0.05067
-	-	3/0	10.795	91.52	-	-	14	2.032	3.243	-	34	-	0.234	0.04289
3/0	-	-	10.404	85.03	-	15	15	1.829	2.627	-	-	32	0.229	0.04104
-	4/0	-	10.180	81.07	13	-	-	1.826	2.624	-	31	-	0.227	0.04039
-	-	2/0	9.652	73.17	-	-	16	1.651	2.141	-	35	-	0.213	0.03875
-	3/0	-	9.449	70.12	14	-	-	1.629	2.081	-	-	33	0.203	0.03243
2/0	-	-	9.266	67.42	-	16	-	1.626	2.075	32	-	-	0.202	0.03203
-	2/0	-	8.839	61.36	-	-	17	1.473	1.705	-	36	-	0.199	0.02927
-	-	1/0	8.636	58.58	15	-	-	1.450	1.650	33	-	-	0.180	0.02540
1/0	-	-	8.252	53.49	-	17	-	1.422	1.589	-	-	34	0.178	0.02483
-	1/0	-	8.230	53.19	16	-	-	1.291	1.309	-	37	-	0.173	0.02343
-	2	2	7.620	49.60	-	-	18	1.245	1.217	34	-	-	0.160	0.02014
1	-	-	7.348	42.41	-	18	-	1.219	1.167	-	36	-	0.152	0.01824
-	-	2	7.214	40.87	17	-	-	1.150	1.037	35	-	-	0.143	0.01597
-	2	-	7.010	38.60	-	-	19	1.047	0.8930	-	39	-	0.132	0.01370
-	-	3	6.579	33.99	18	-	-	1.024	0.8226	36	-	35	0.127	0.01267
2	-	-	6.544	33.69	-	19	-	1.016	0.8107	-	40	-	0.122	0.01167
-	3	-	6.401	32.18	-	20	-	0.914	0.6567	37	-	-	0.113	0.01005
-	-	4	6.045	28.70	19	-	-	0.912	0.6529	-	41	-	0.112	0.009810
-	4	-	5.893	27.27	-	-	20	0.889	0.6207	-	42	36	0.102	0.008107
3	-	-	5.827	26.66	-	21	21	0.813	0.5188	38	-	-	0.101	0.007968
-	-	5	5.586	24.52	20	-	-	0.812	0.5174	-	43	-	0.0914	0.006567
-	5	-	5.385	22.77	21	-	-	0.723	0.4168	39	-	-	0.0897	0.004319
4	-	-	5.189	21.15	-	22	22	0.711	0.3973	-	44	-	0.0813	0.005189
-	-	6	5.156	20.88	22	-	-	0.644	0.3256	40	-	-	0.0799	0.005022
-	6	-	4.871	18.68	-	23	23	0.635	0.3167	41	45	-	0.0711	0.003973
5	-	-	4.621	16.77	-	-	-	0.610	0.2919	42	-	-	0.0633	0.003151
-	-	7	4.572	16.42	23	-	-	0.579	0.2581	-	46	-	0.0610	0.002919
-	7	-	4.478	15.70	-	24	24	0.559	0.2452	43	-	-	0.0564	0.002408
-	-	8	4.191	13.80	24	-	-	0.511	0.2047	-	47	-	0.0508	0.002027
6	-	-	4.113	13.30	-	25	25	0.508	0.2027	44	-	-	0.0502	0.001902
-	8	-	4.064	12.97	-	26	26	0.457	0.1642	45	-	-	0.0447	0.001572
-	-	9	3.759	11.10	25	-	-	0.455	0.1623	-	48	-	0.0406	0.001297
7	-	-	3.665	10.55	-	27	-	0.417	0.1363	46	-	-	0.0398	0.001246
-	9	-	3.658	10.51	-	-	27	0.408	0.1297	47	-	-	0.0385	0.0009884
-	-	10	3.404	9.098	26	-	-	0.405	0.1288	48	-	-	0.0316	0.0007838
8	-	-	3.264	8.368	-	28	-	0.376	0.1110	-	49	-	0.0305	0.0007297
-	10	-	3.251	8.302	27	-	-	0.361	0.1021	49	-	-	0.0281	0.0006216
-	-	11	3.048	7.297	-	-	28	0.356	0.09932	-	50	-	0.0254	0.0005067
-	11	-	2.946	6.818	-	29	-	0.345	0.09172	50	-	-	0.0251	0.0004929
9	-	-	2.906	6.632	-	-	29	0.330	0.08543	-	-	-	-	-
-	-	12	2.769	6.020	28	-	-	0.321	0.08097	-	-	-	-	-
-	12	-	2.642	5.481	-	30	-	0.315	0.07791	-	-	-	-	-
10	-	-	2.588	5.262	-	-	30	0.305	0.07297	-	-	-	-	-

เอกสารนี้เป็นเอกสารที่สงวนไว้สำหรับการใช้งานเพื่อการศึกษาเท่านั้น ไม่อนุญาตให้นำไปใช้ประโยชน์ด้านการค้า
 ไม่ว่ากรณีใดๆ ทั้งสิ้น อีกทั้งห้ามมิให้ตัดแปลงเนื้อหา และต้องอ้างอิงถึงเจ้าของเอกสารทุกครั้งที่มีการนำไปใช้